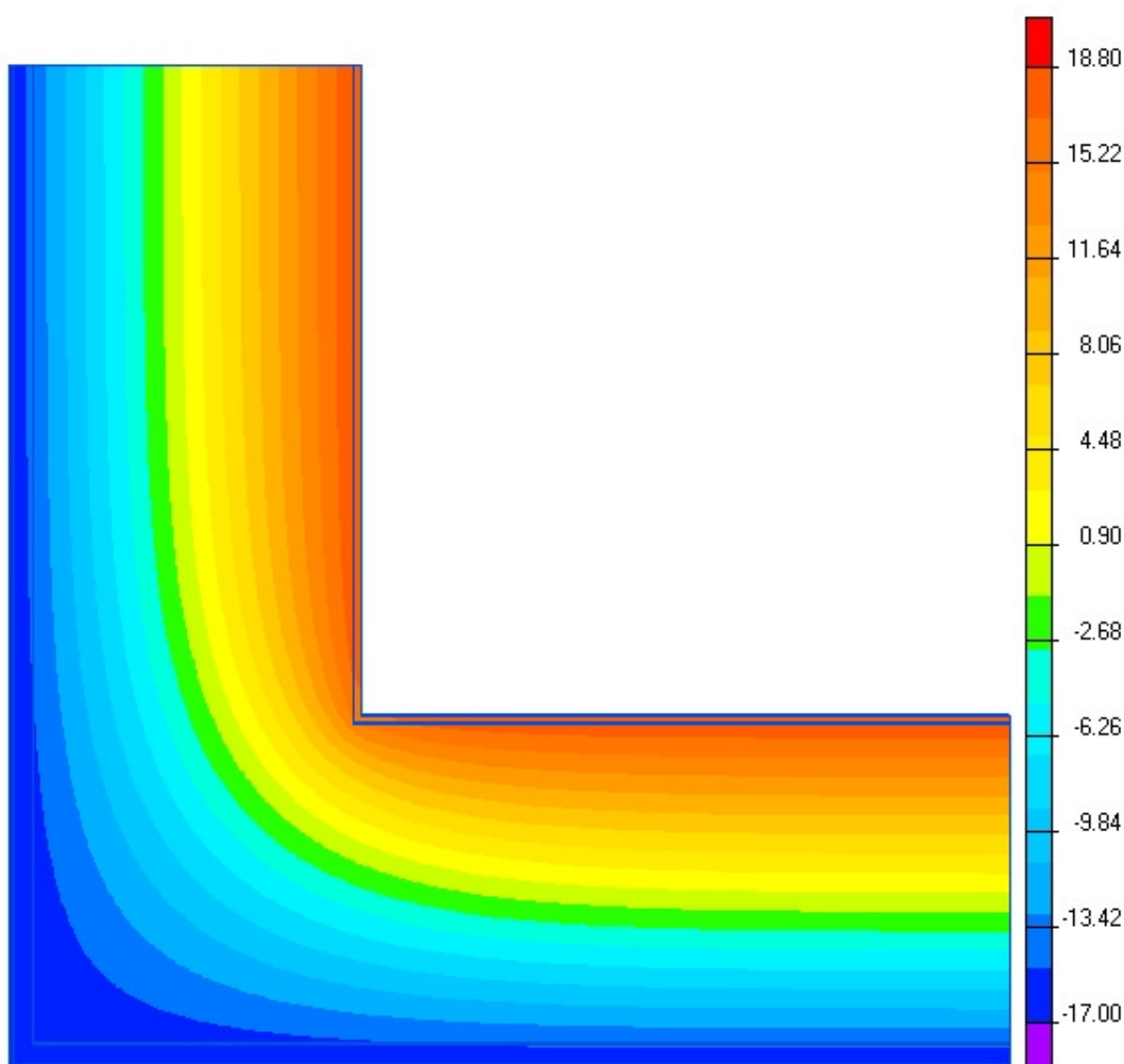
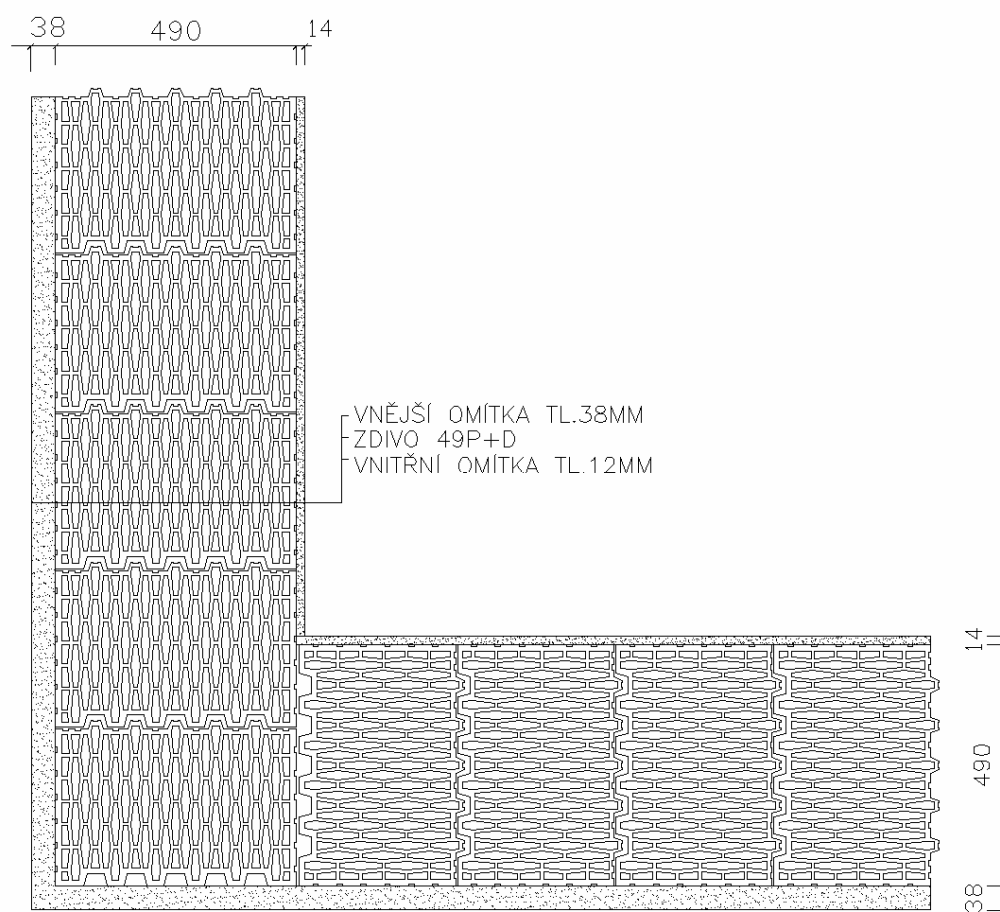


158 Detail rohu obvodového zdiva při exteriéru na vnější straně P+D 490 mm		
lineární činitel prostupu tepla - interiér $\psi_i$ W/(m.K)	lineární činitel prostupu tepla - exteriér $\psi_e$ W/(m.K)	teplotní faktor $f_{Rsi}$ -
0,073	-0,193	0,8263

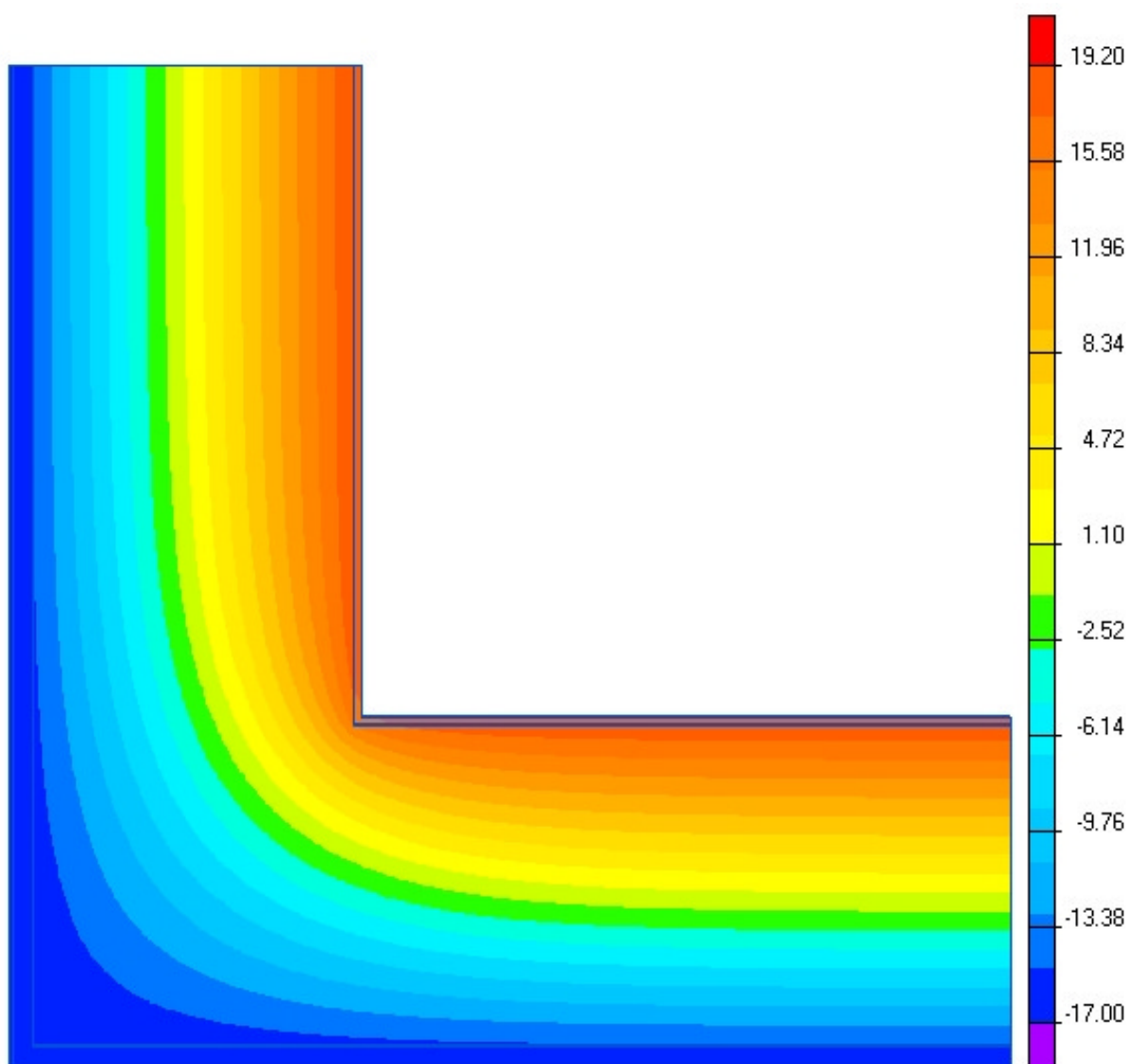




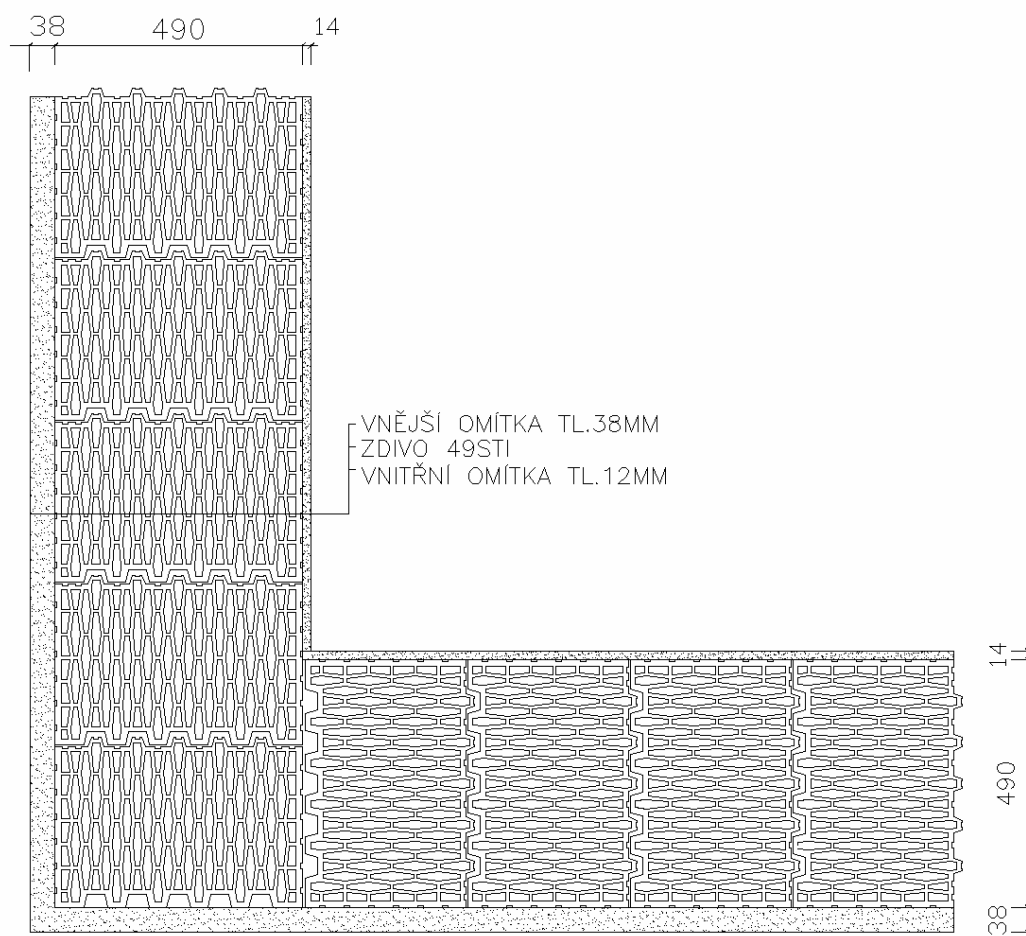




159 Detail rohu obvodového zdiva při exteriéru na vnější straně STI 490 mm		
lineární činitel prostupu tepla - interiér $\psi_i$ W/(m.K)	lineární činitel prostupu tepla - exteriér $\psi_e$ W/(m.K)	teplotní faktor $f_{Rsi}$ -
0,058	-0,154	0,8546

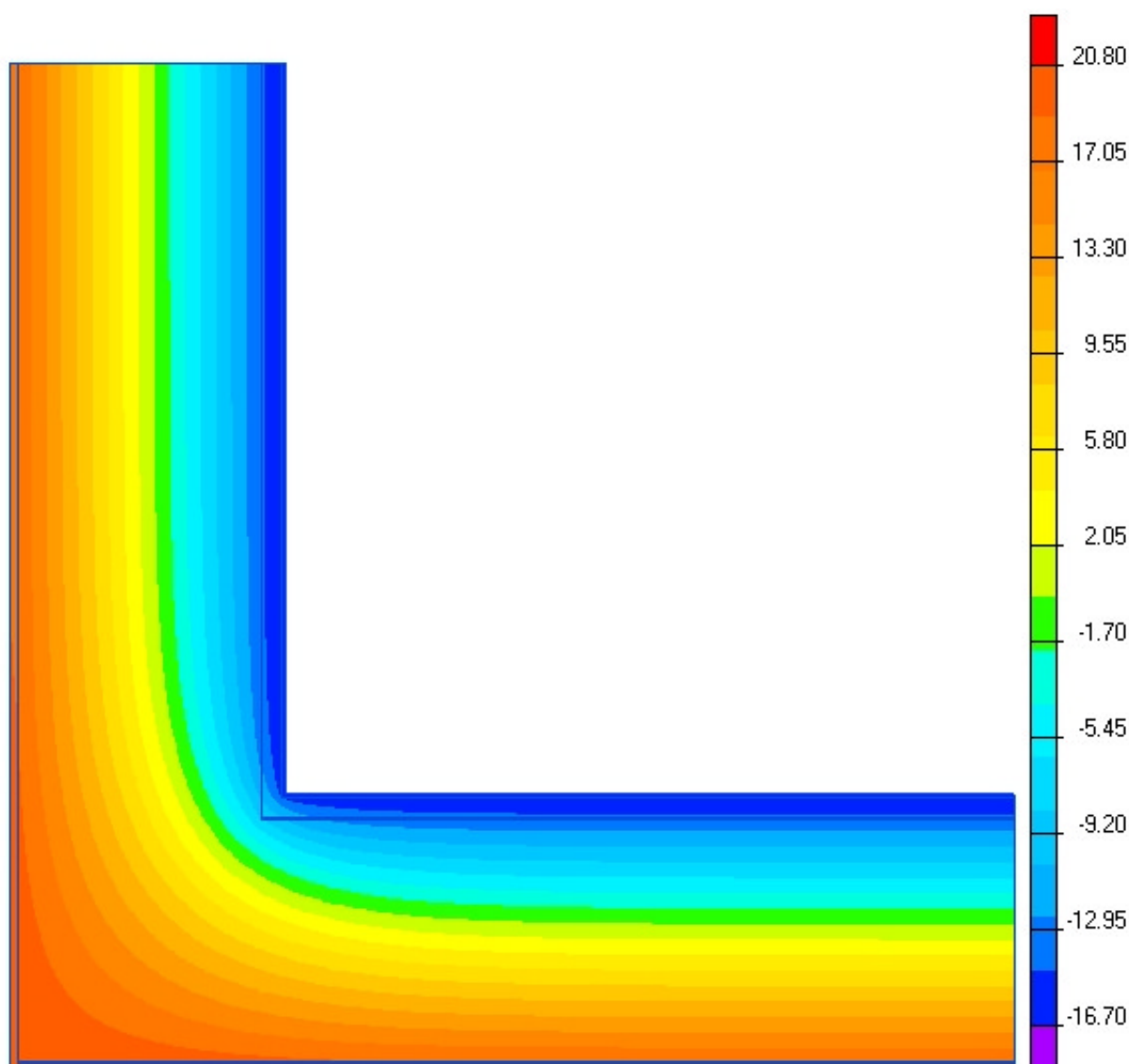




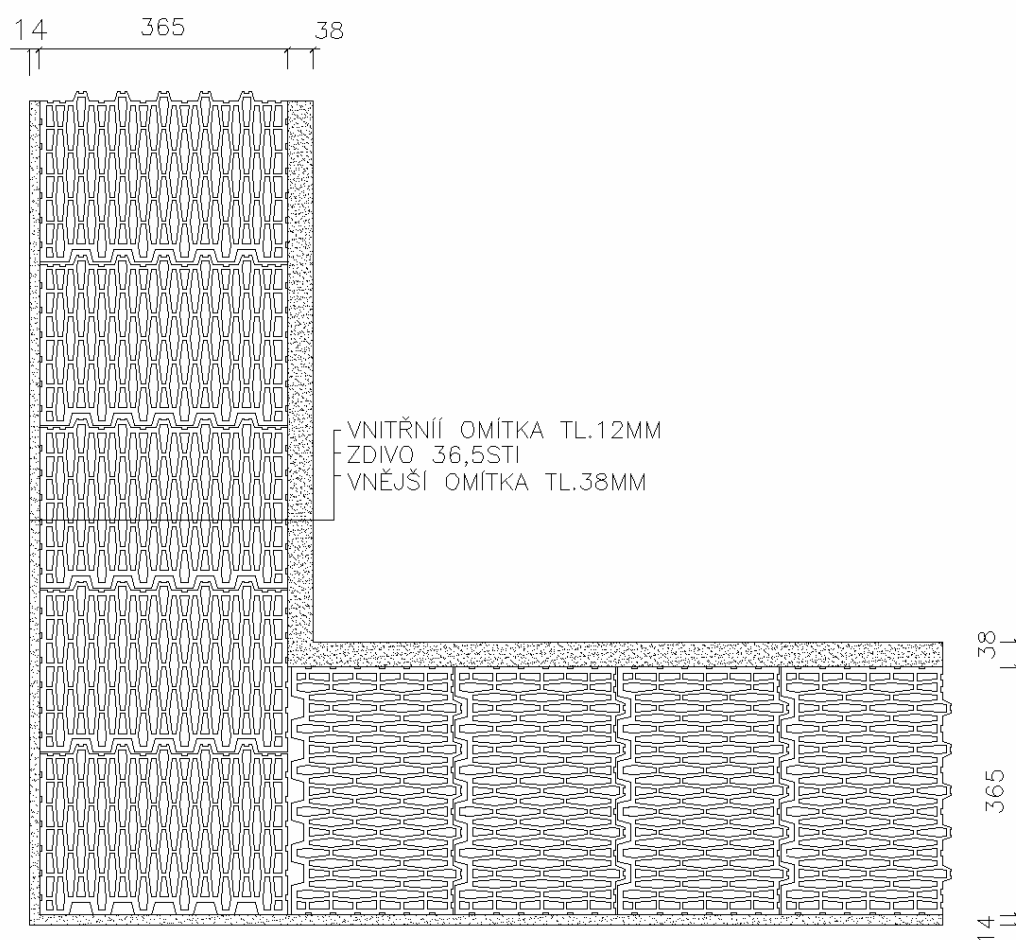




161 Detail rohu obvodového zdiva při exteriéru na vnitřní straně STI 365 mm		
lineární činitel prostupu tepla - interiér $\psi_i$ W/(m.K)	lineární činitel prostupu tepla - exteriér $\psi_e$ W/(m.K)	teplotní faktor $f_{Rsi}$ -
-0,150	0,062	0,9156

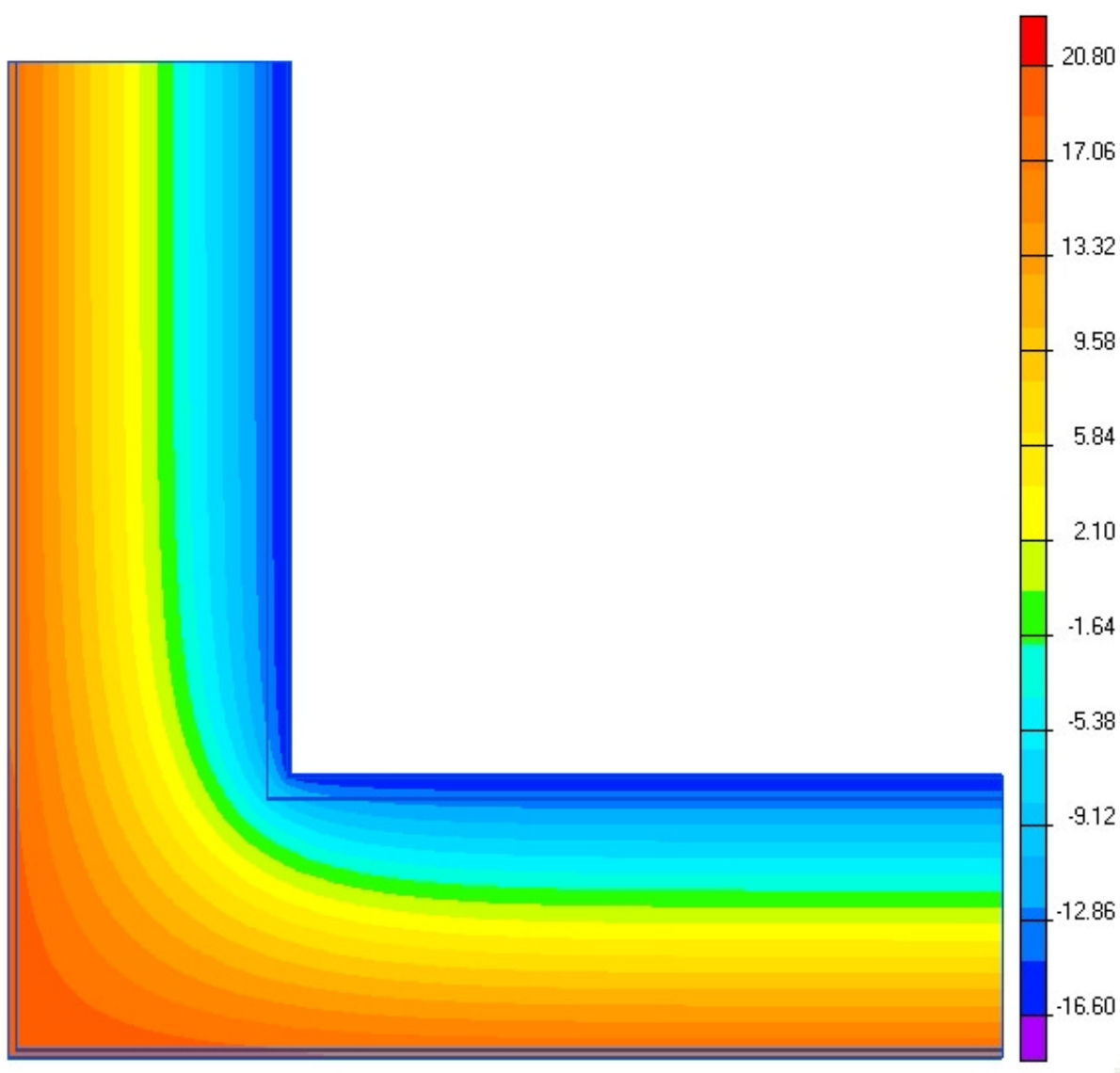




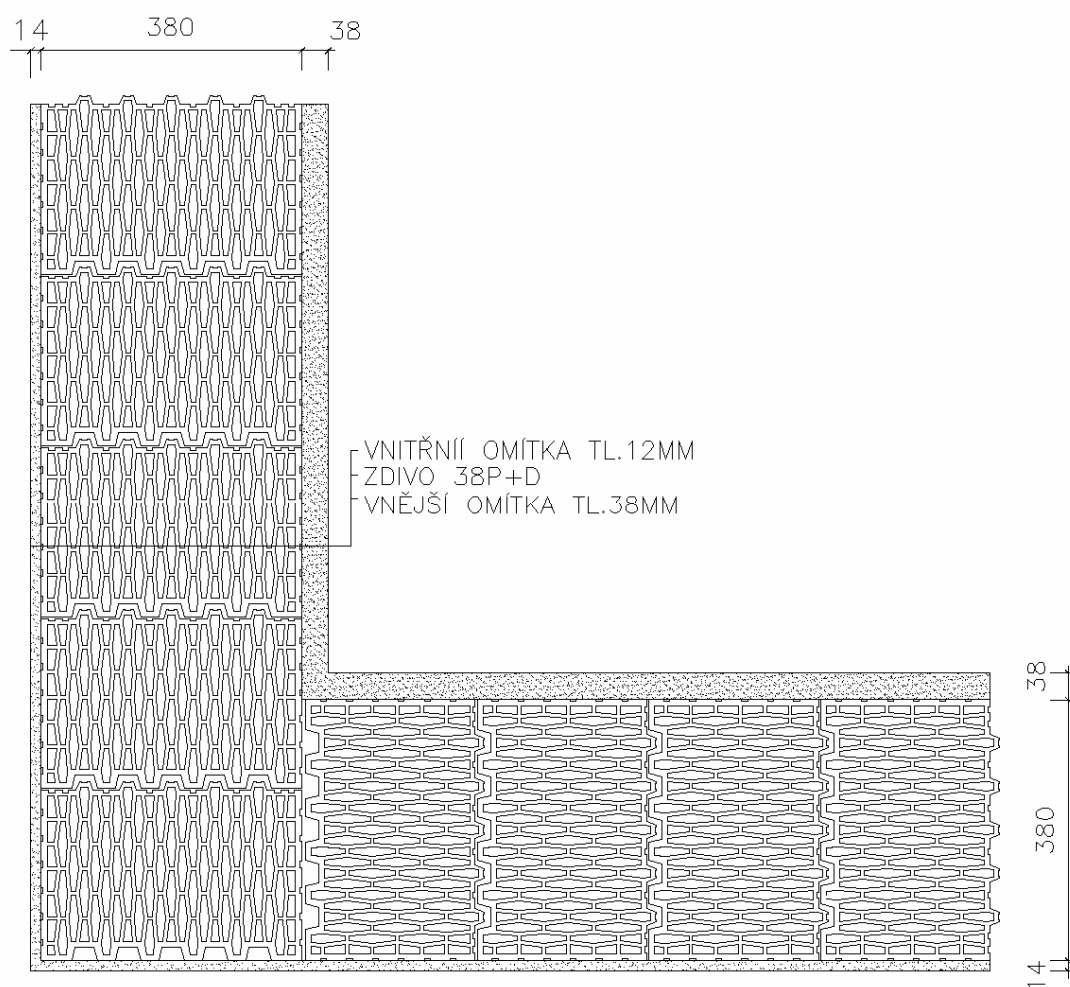




162 Detail rohu obvodového zdiva při exteriéru na vnitřní straně P+D 380 mm		
lineární činitel prostupu tepla - interiér $\psi_i$ W/(m.K)	lineární činitel prostupu tepla - exteriér $\psi_e$ W/(m.K)	teplotní faktor $f_{Rsi}$ -
-0,189	0,076	0,8996

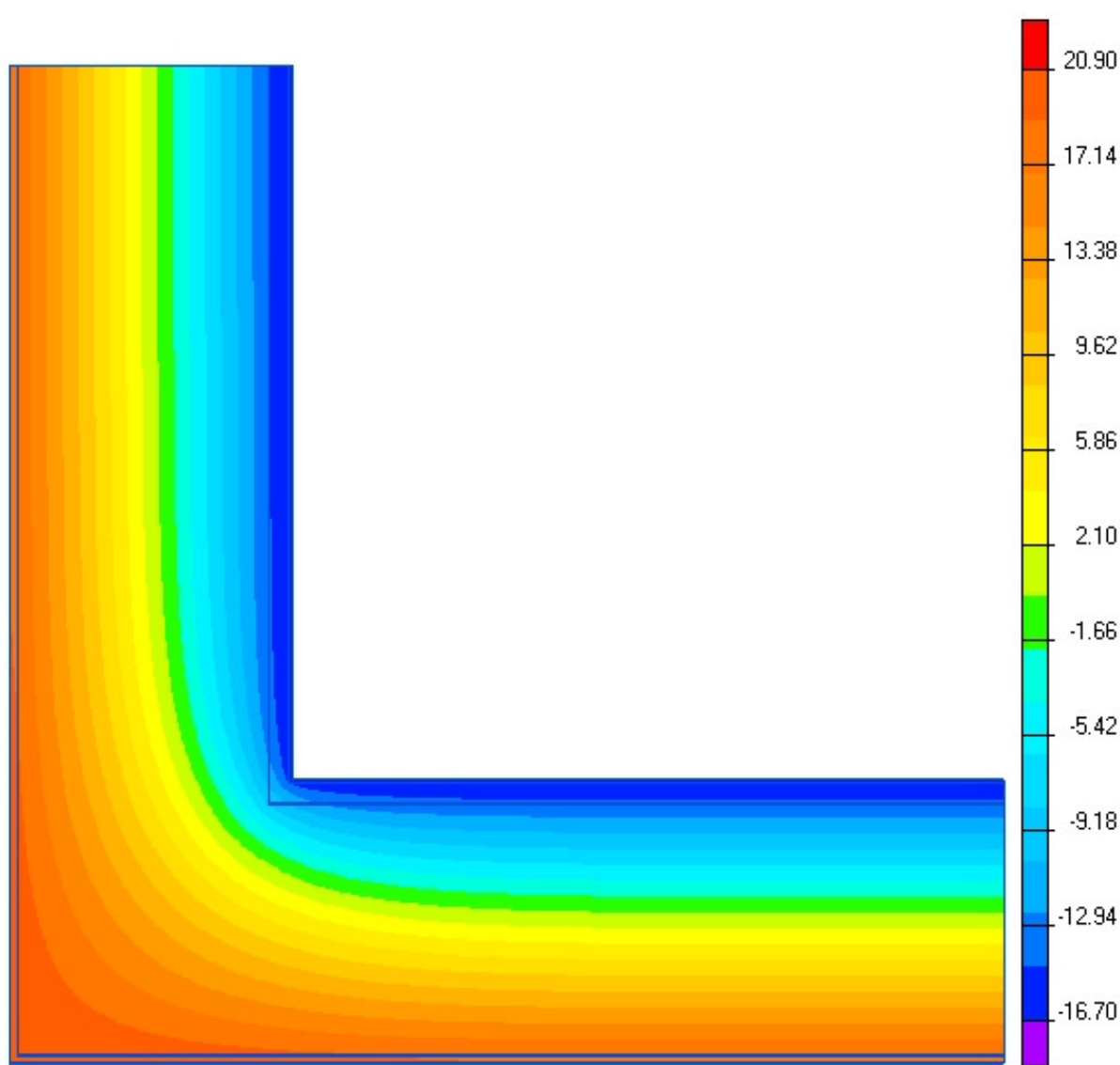




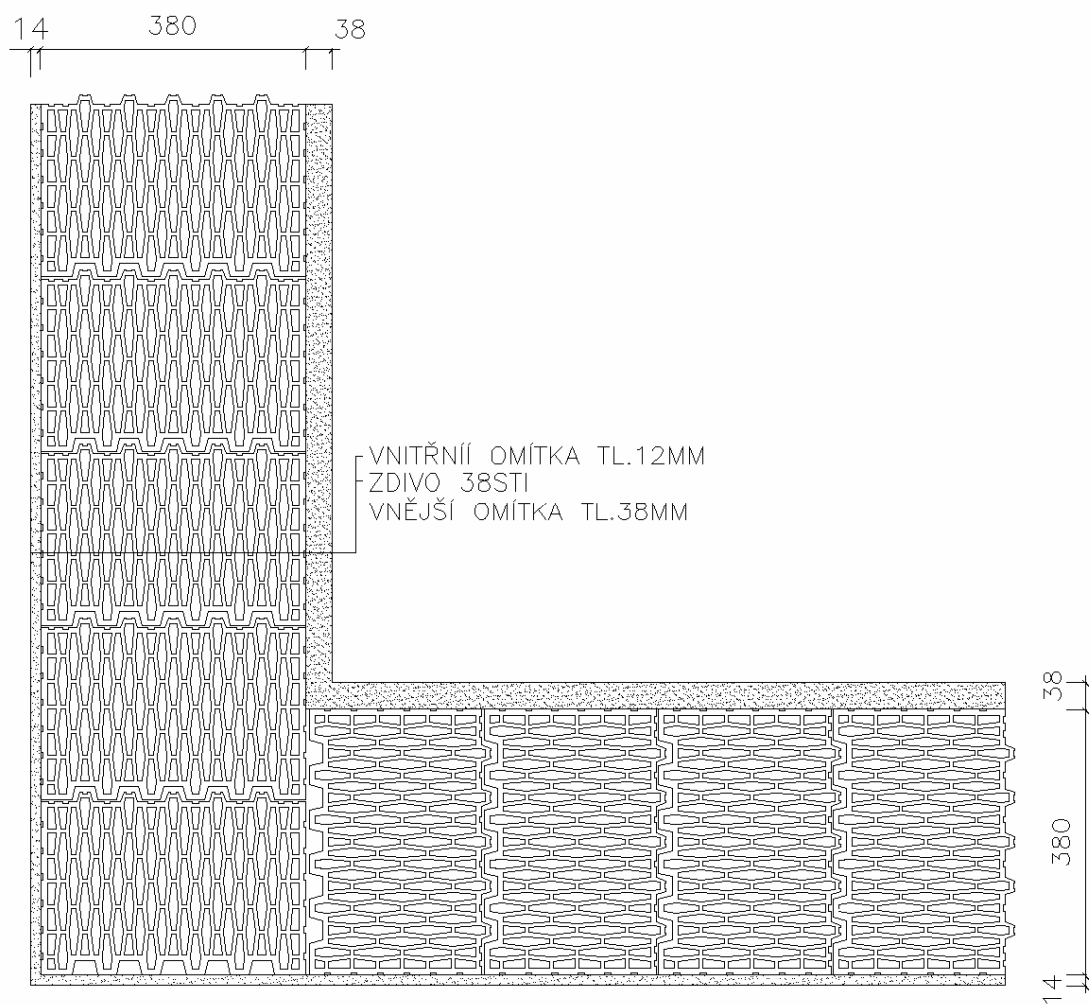




163 Detail rohu obvodového zdiva při exteriéru na vnitřní straně STI 380 mm		
lineární činitel prostupu tepla - interiér $\psi_i$ W/(m.K)	lineární činitel prostupu tepla - exteriér $\psi_e$ W/(m.K)	teplotní faktor $f_{Rsi}$ -
-0,150	0,062	0,9184

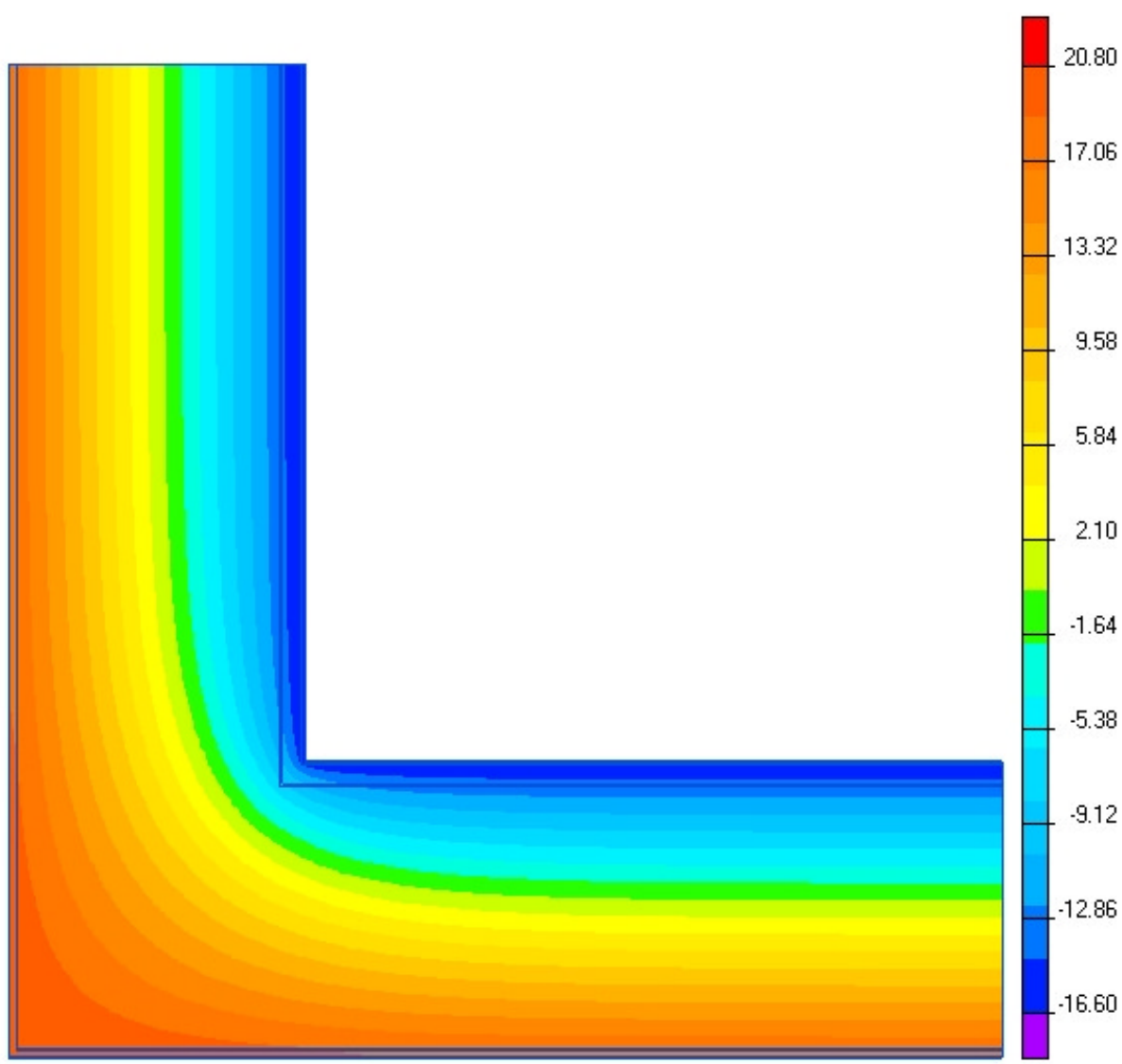




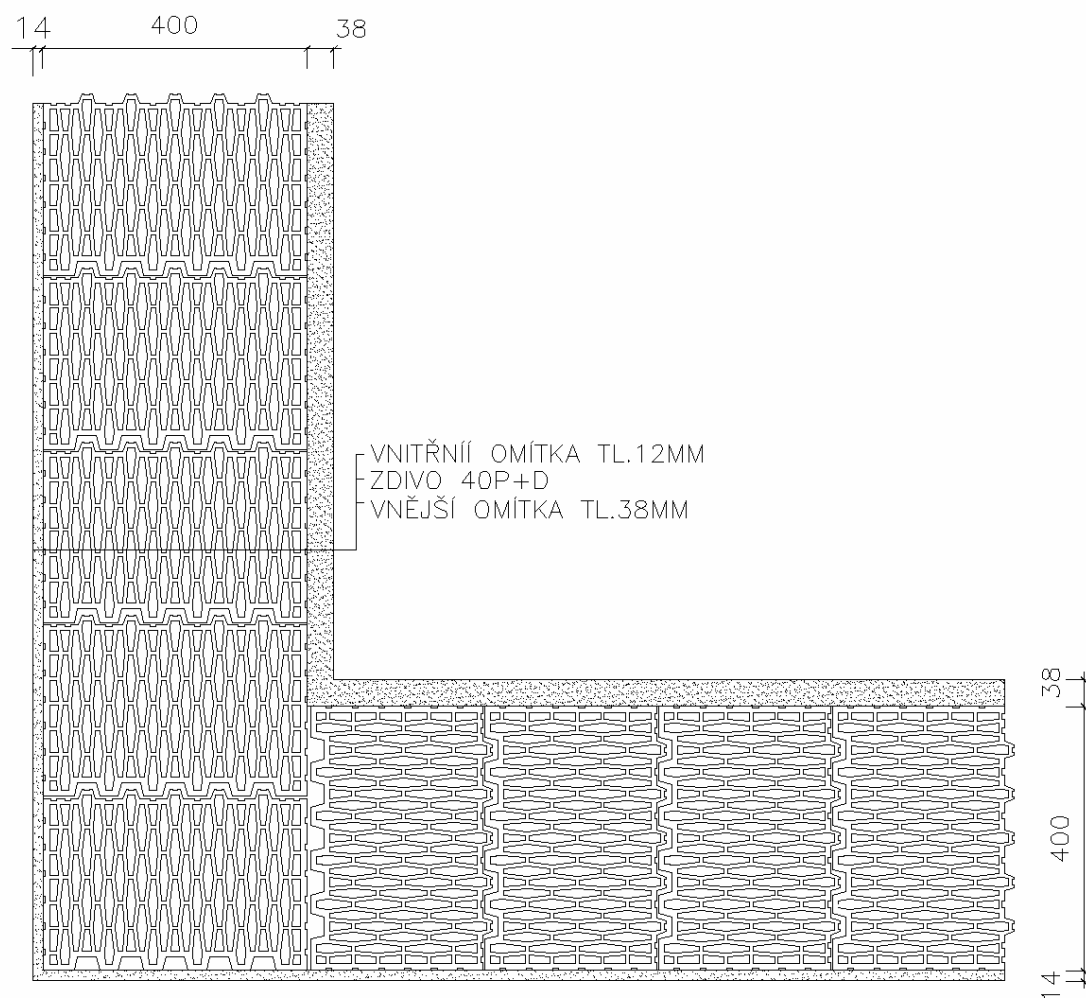




164 Detail rohu obvodového zdiva při exteriéru na vnitřní straně P+D 400 mm		
lineární činitel prostupu tepla - interiér $\psi_i$ W/(m.K)	lineární činitel prostupu tepla - exteriér $\psi_e$ W/(m.K)	teplotní faktor $f_{Rsi}$ -
-0,189	0,076	0,9037

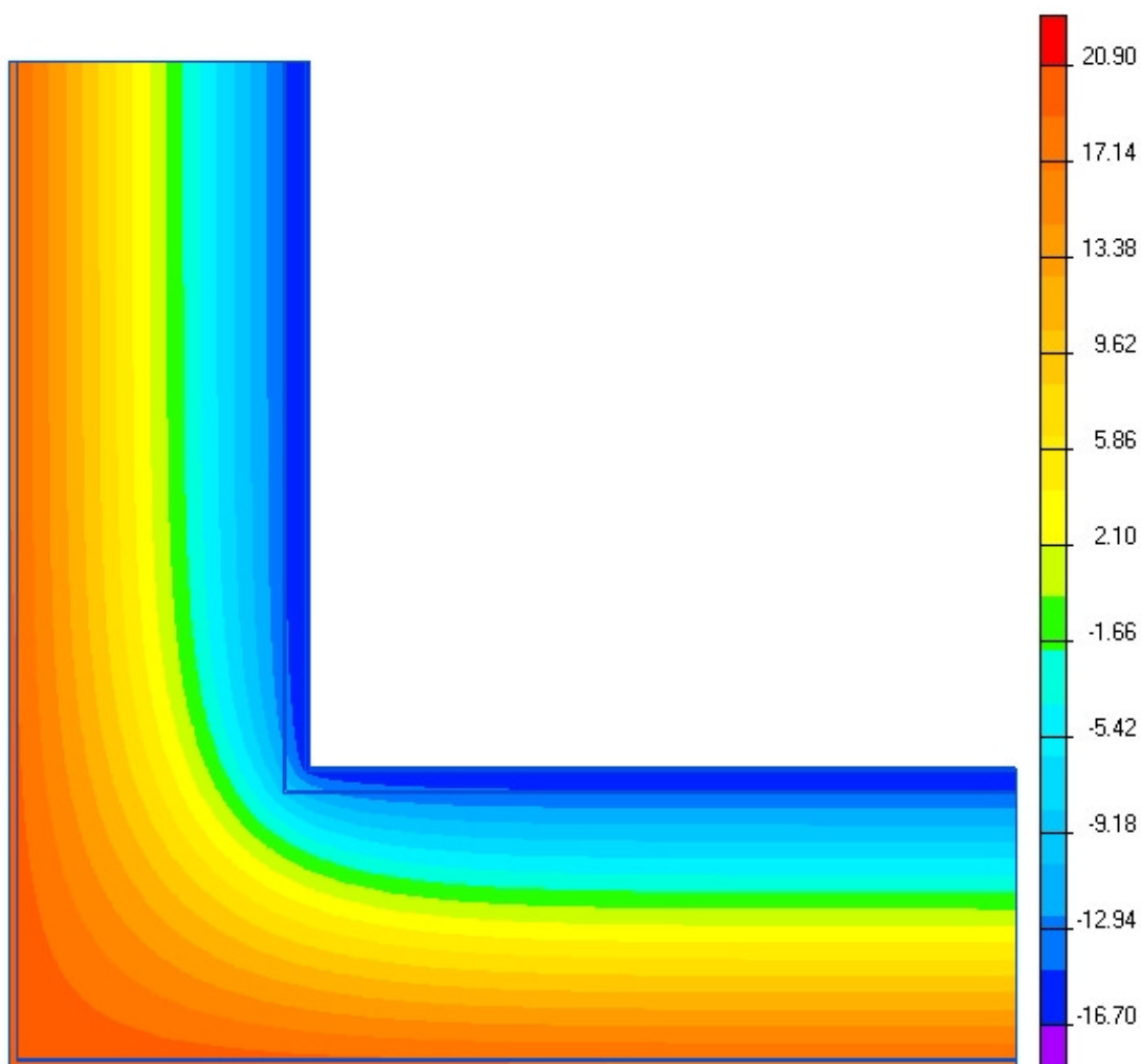




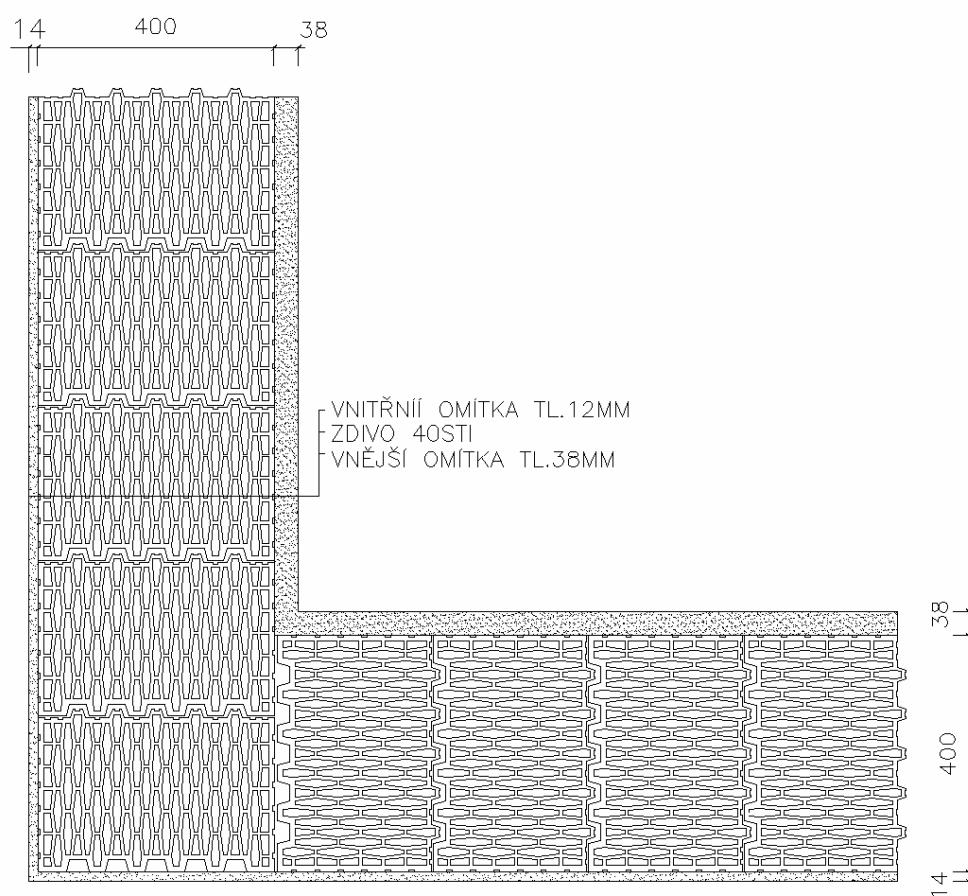




165 Detail rohu obvodového zdiva při exteriéru na vnitřní straně STI 400 mm		
lineární činitel prostupu tepla - interiér $\psi_i$ W/(m.K)	lineární činitel prostupu tepla - exteriér $\psi_e$ W/(m.K)	teplotní faktor $f_{Rsi}$ -
-0,150	0,062	0,9281

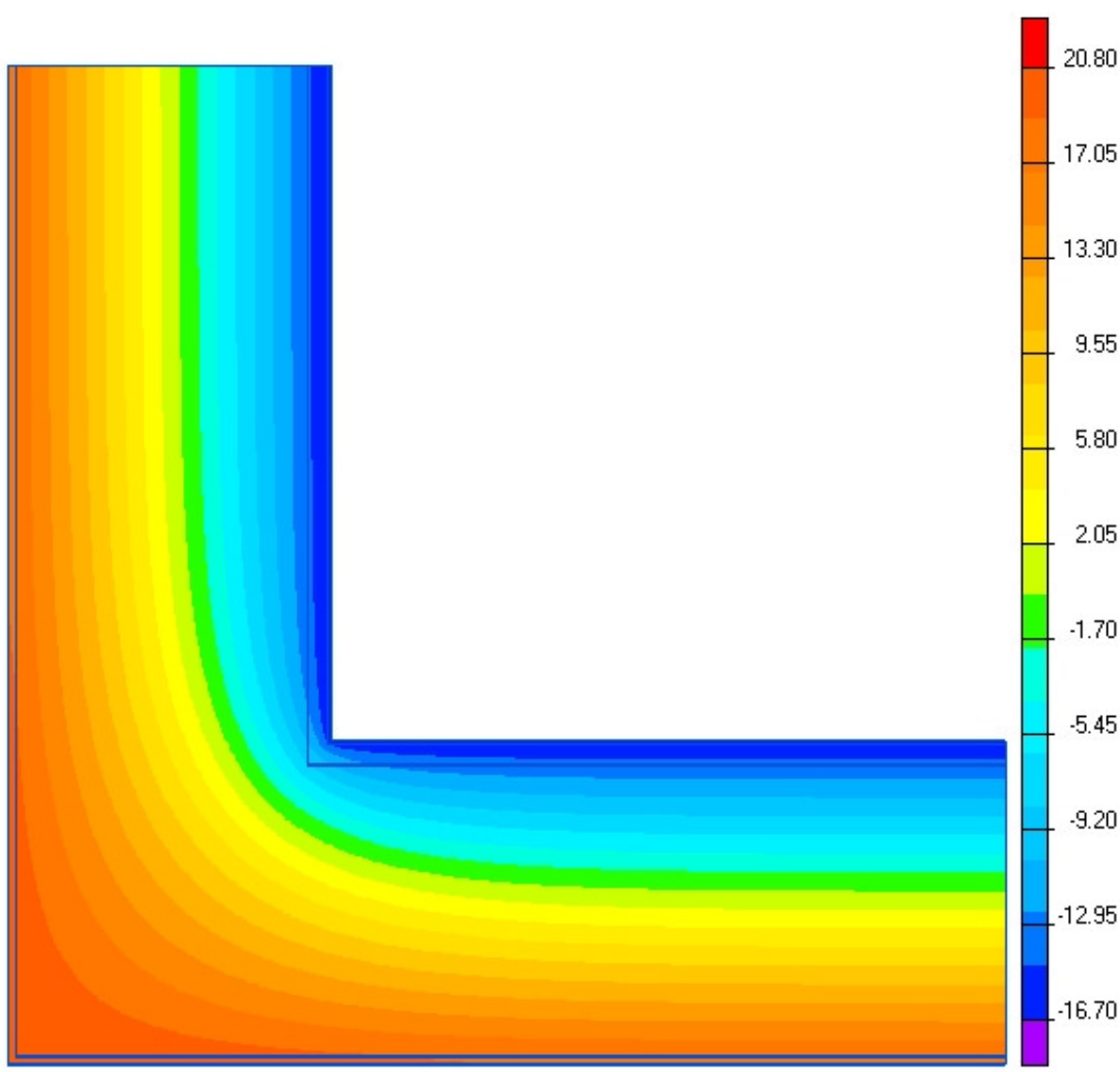




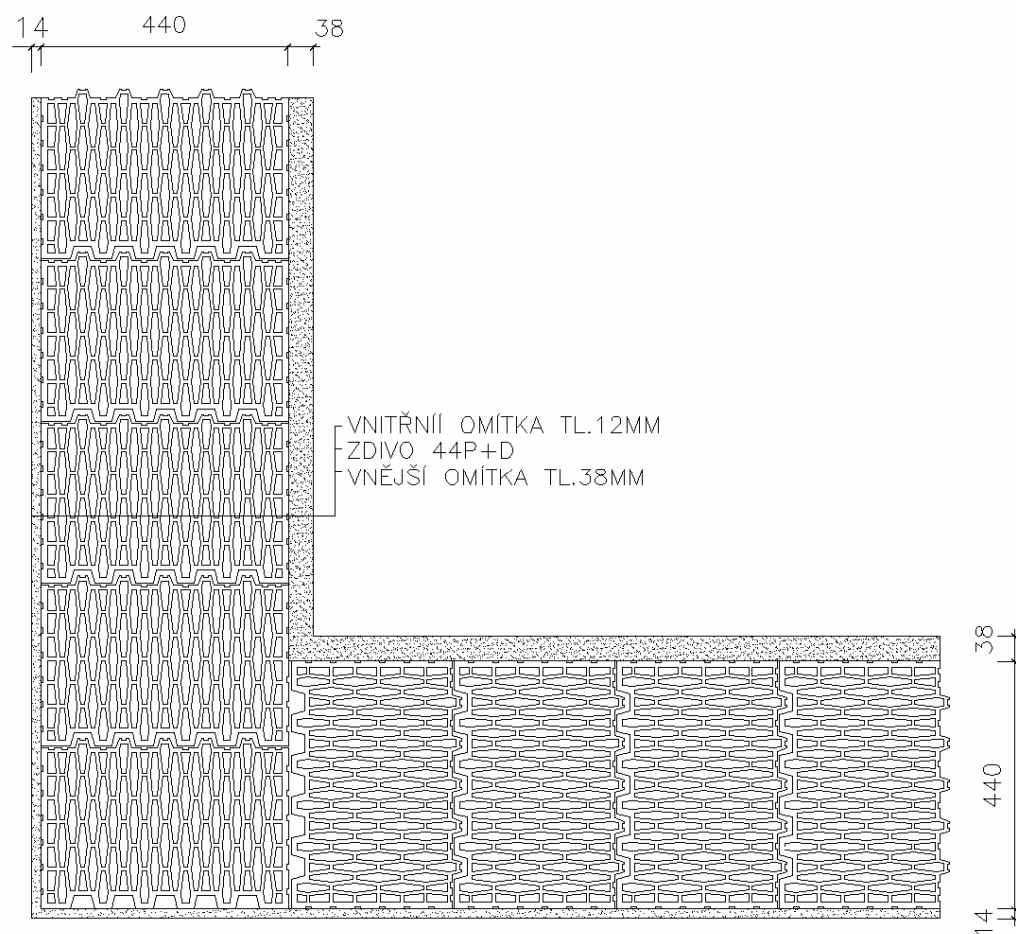




166 Detail rohu obvodového zdiva při exteriéru na vnitřní straně P+D 440 mm		
lineární činitel prostupu tepla - interiér $\psi_i$ W/(m.K)	lineární činitel prostupu tepla - exteriér $\psi_e$ W/(m.K)	teplotní faktor $f_{Rsi}$ -
-0,190	0,076	0,9111

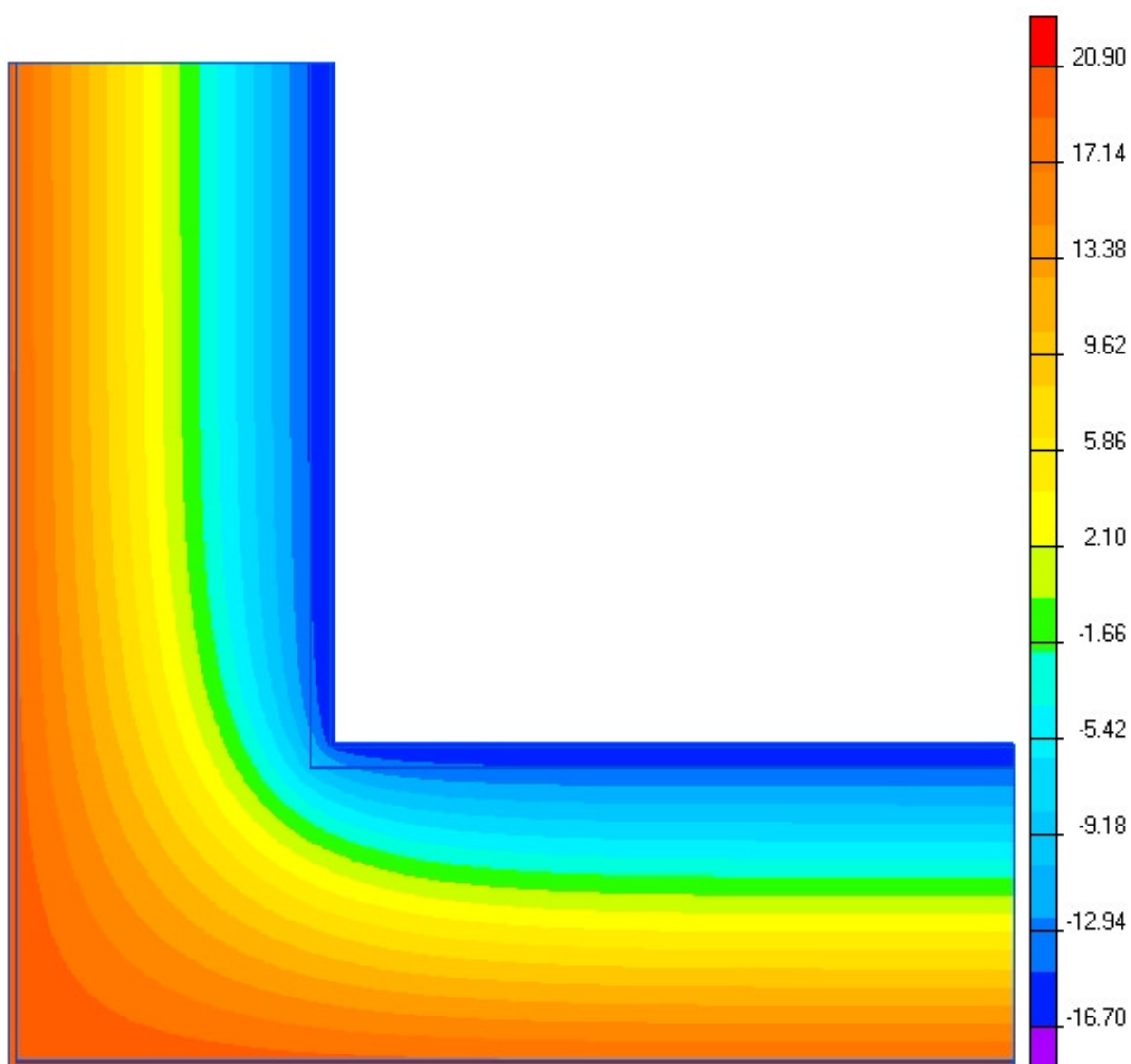




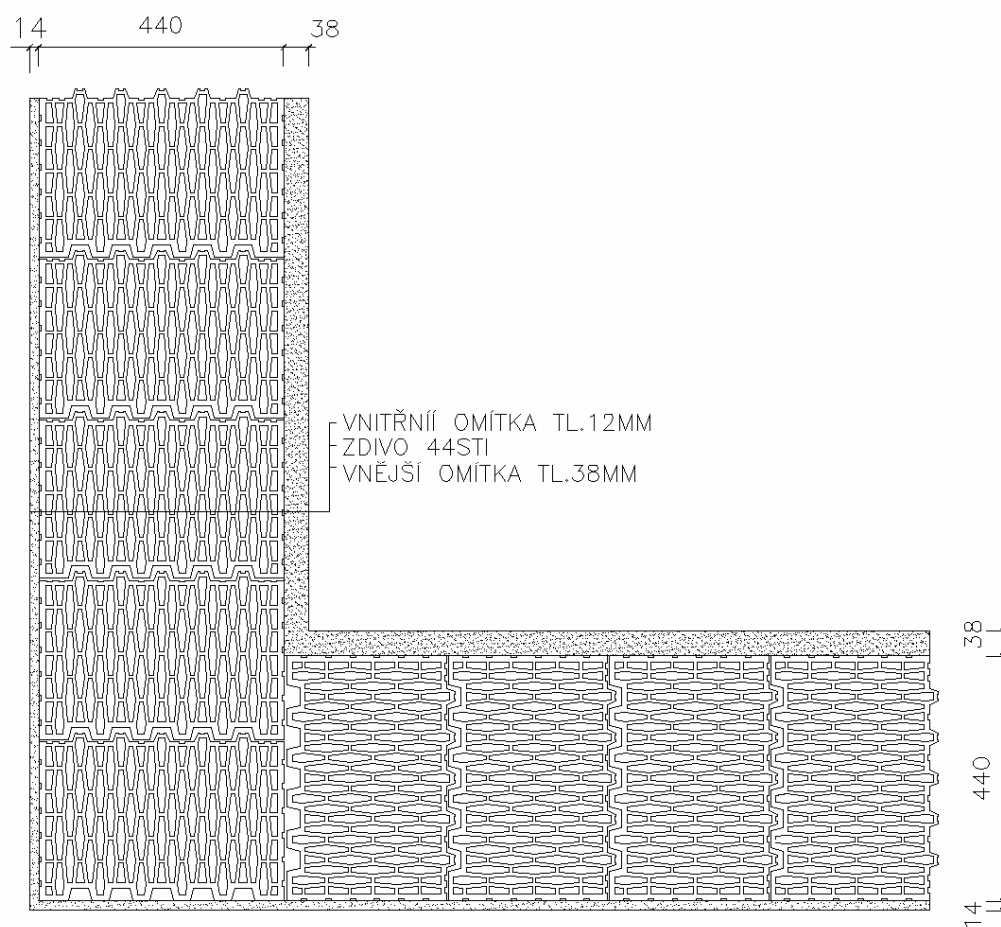




167 Detail rohu obvodového zdiva při exteriéru na vnitřní straně STI 440 mm		
lineární činitel prostupu tepla - interiér $\psi_i$ W/(m.K)	lineární činitel prostupu tepla - exteriér $\psi_e$ W/(m.K)	teplotní faktor $f_{Rsi}$ -
-0,150	0,062	0,9281

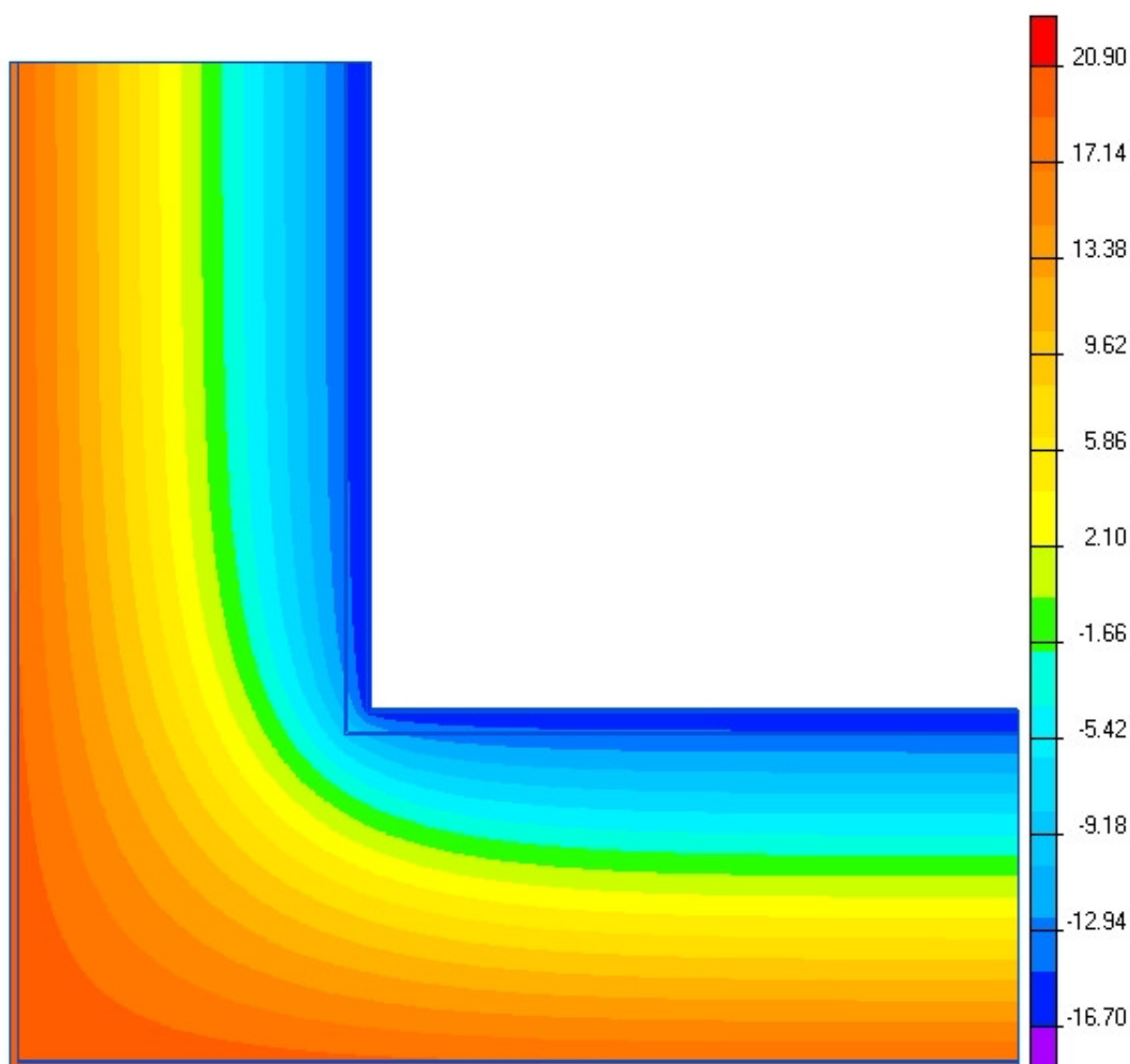




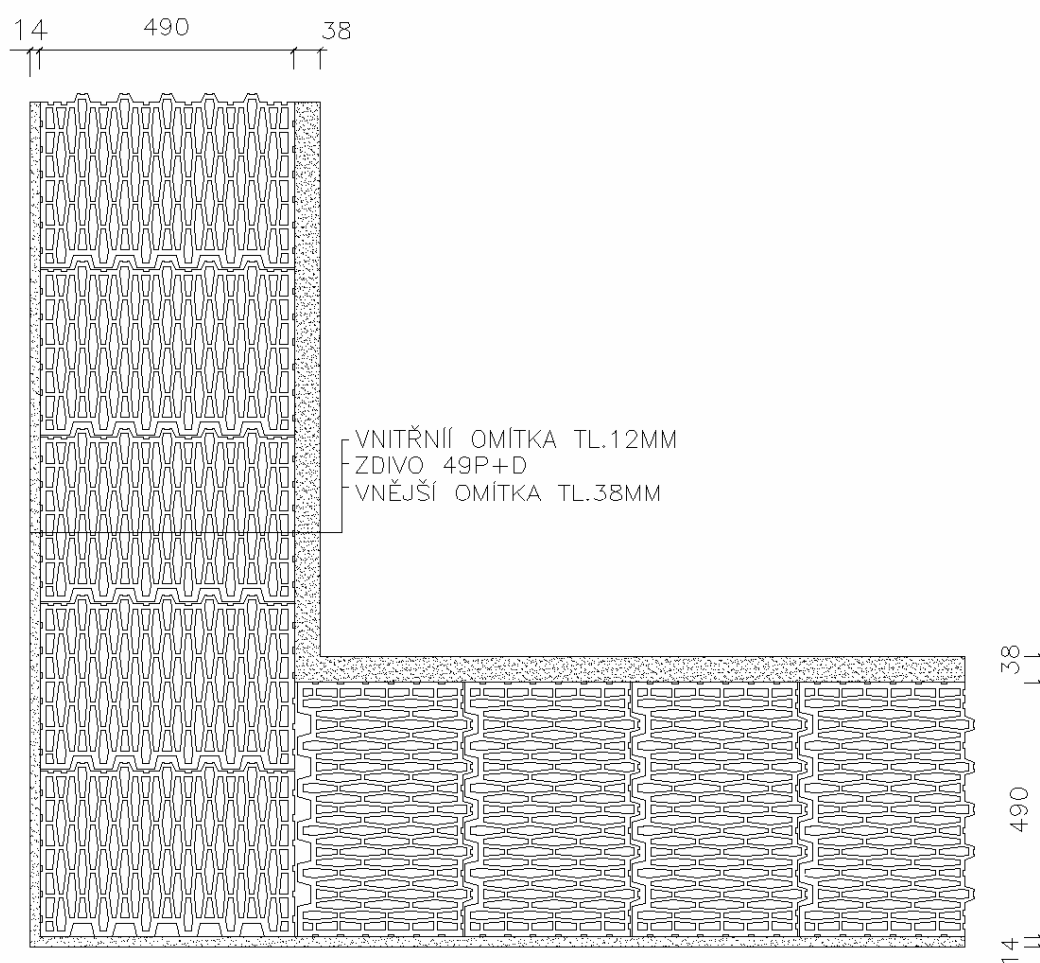




168 Detail rohu obvodového zdiva při exteriéru na vnitřní straně P+D 490 mm		
lineární činitel prostupu tepla - interiér $\psi_i$ W/(m.K)	lineární činitel prostupu tepla - exteriér $\psi_e$ W/(m.K)	teplotní faktor $f_{Rsi}$ -
-0,190	0,076	0,9189

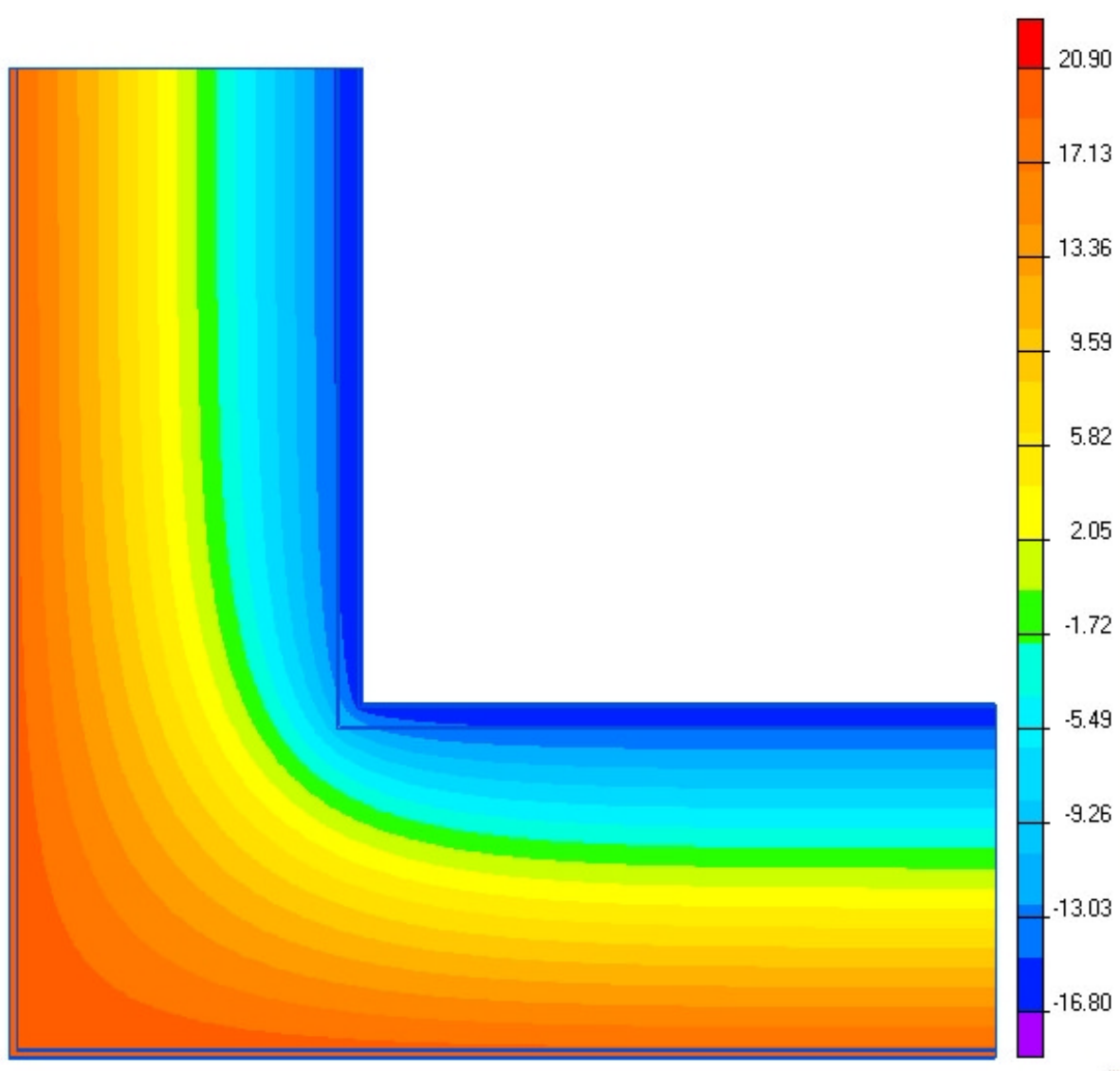




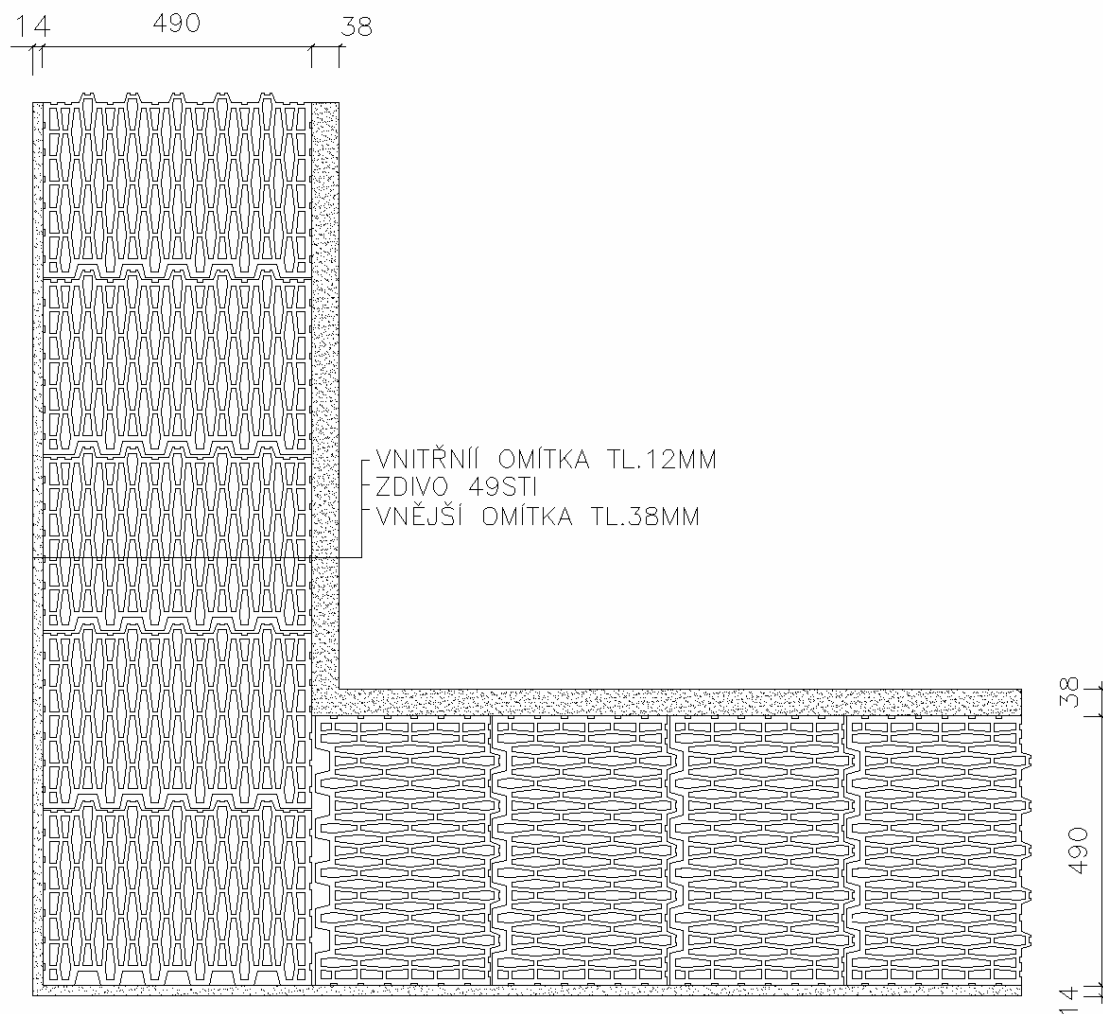




169 Detail rohu obvodového zdiva při exteriéru na vnitřní straně STI 490 mm		
lineární činitel prostupu tepla - interiér $\psi_i$ W/(m.K)	lineární činitel prostupu tepla - exteriér $\psi_e$ W/(m.K)	teplotní faktor $f_{Rsi}$ -
-0,150	0,061	0,9347

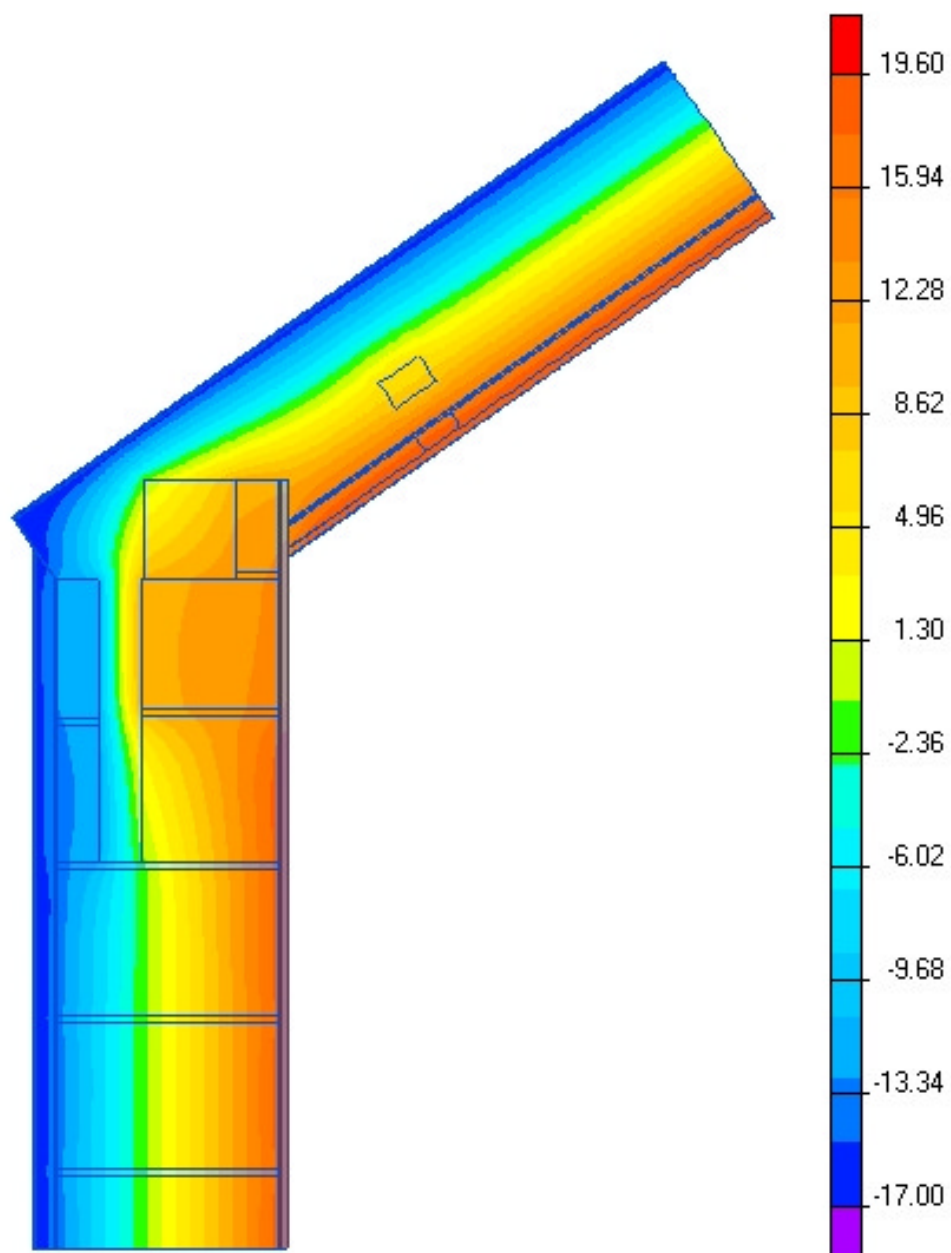






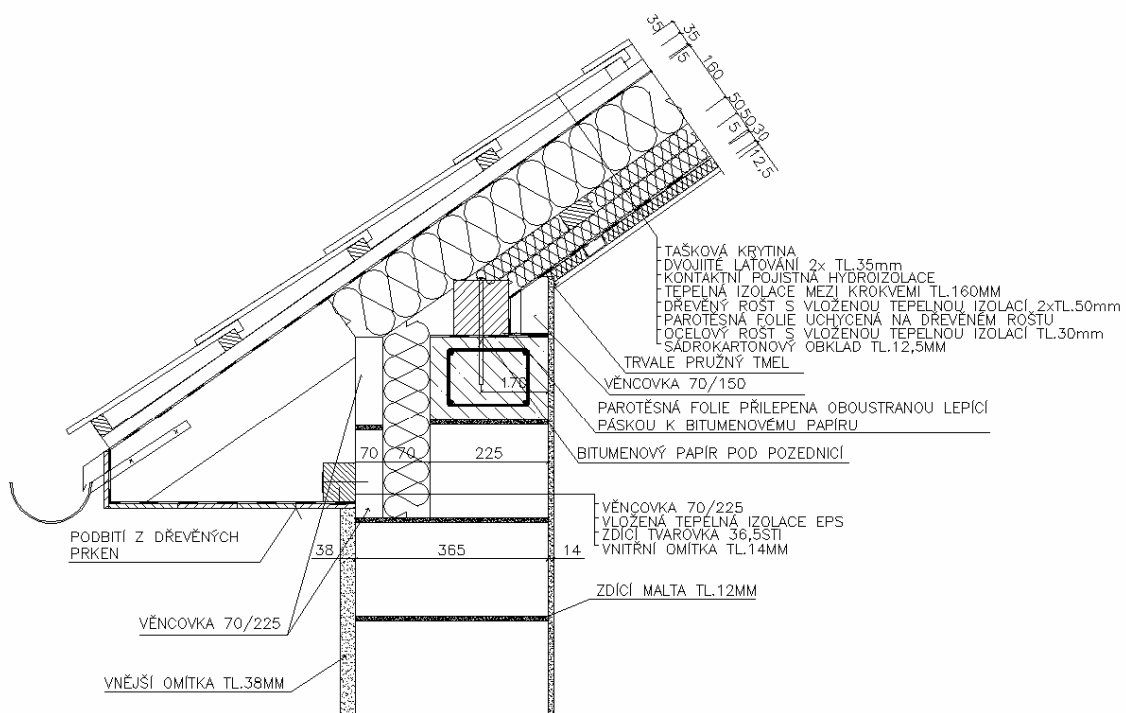


171 Detail zdiva u pozednice STI 365 mm		
lineární činitel prostupu tepla - interiér $\psi_i$ W/(m.K)	lineární činitel prostupu tepla - exteriér $\psi_e$ W/(m.K)	teplotní faktor $f_{Rsi}$ -
0,159	0,074	0,8321



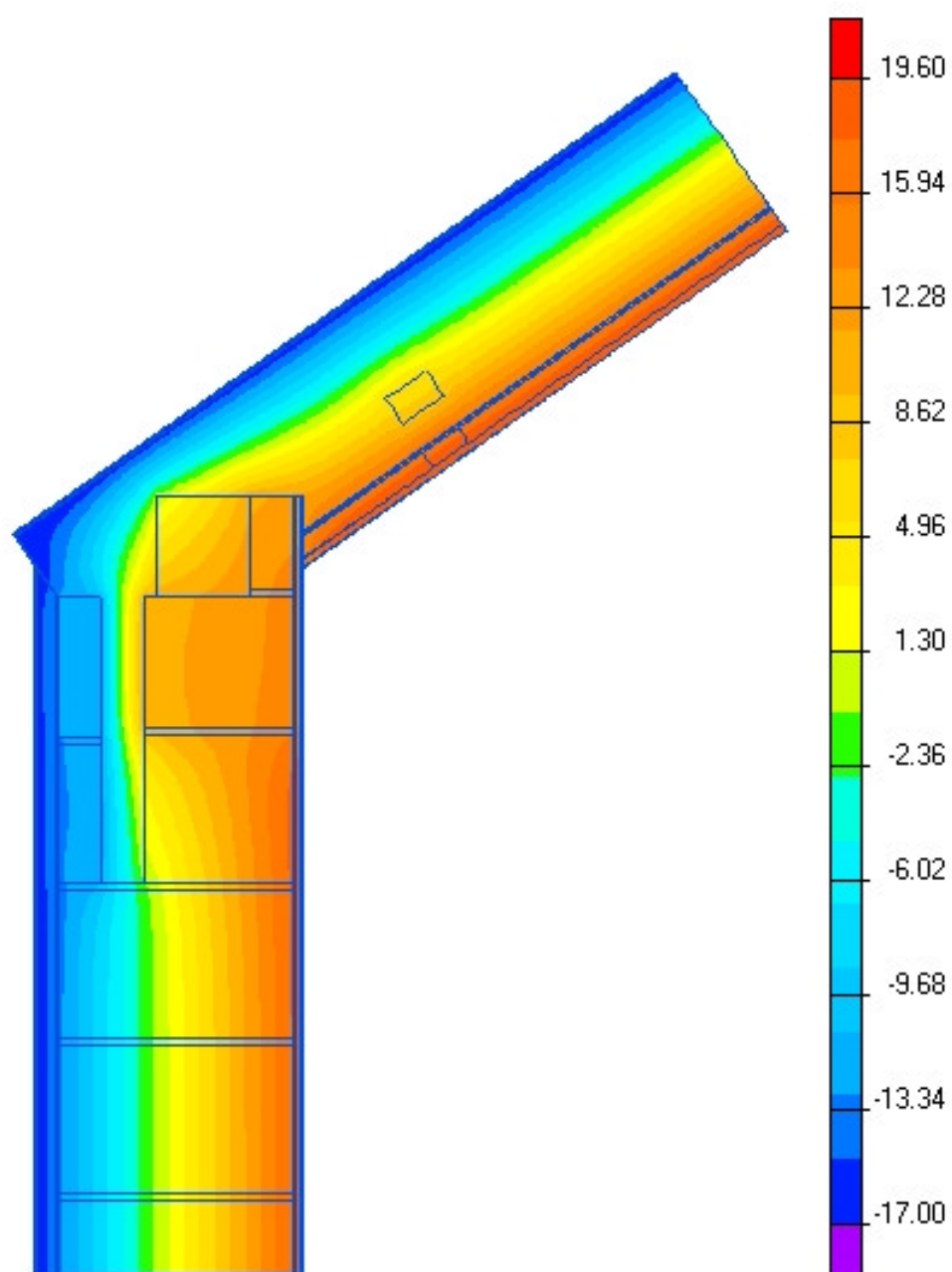


Obsah: "Výpočet typických tepelných mostů a jejich minimalizace – 250 detailů"  
Zpracovatel: Energy Consulting – Project, s.r.o., Přemyslská 484/28, 182 00 Praha 8,  
IČ 26113317; mobil 777 196 154, e-mail: info@e-c.cz

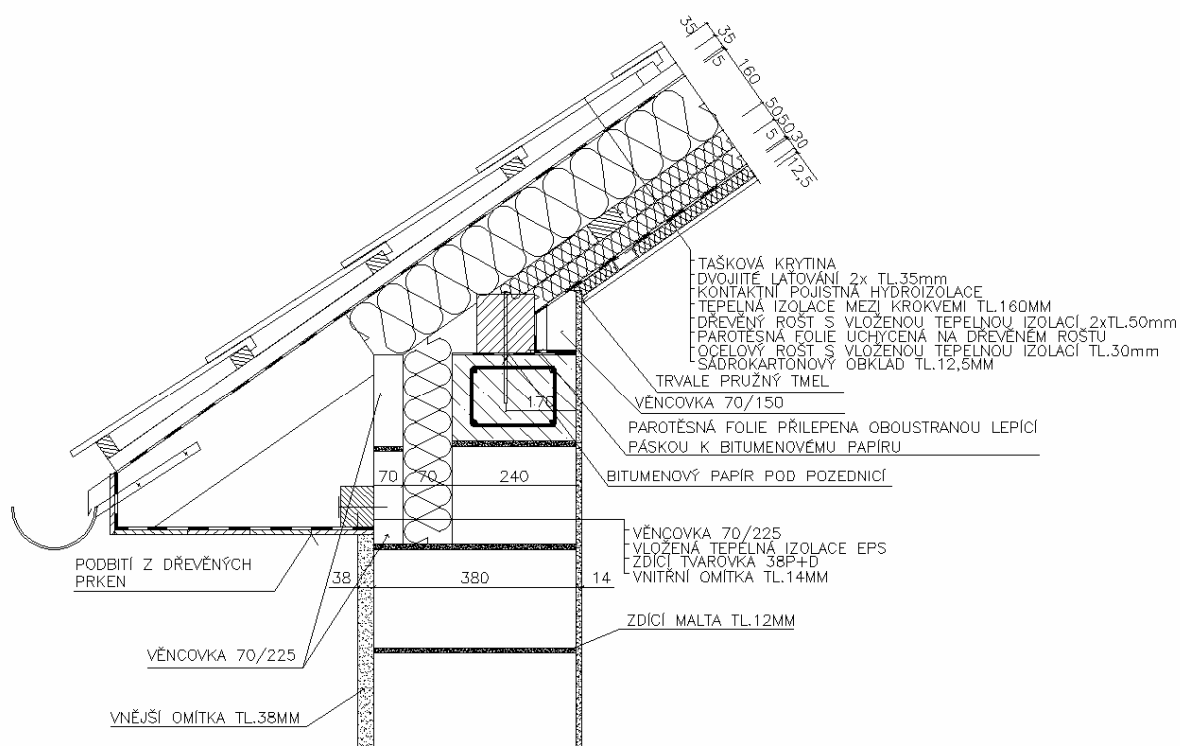




172 Detail zdiva u pozednice P+D 380 mm		
lineární činitel prostupu tepla - interiér $\psi_i$ W/(m.K)	lineární činitel prostupu tepla - exteriér $\psi_e$ W/(m.K)	teplotní faktor $f_{Rsi}$ -
0,144	0,043	0,8379

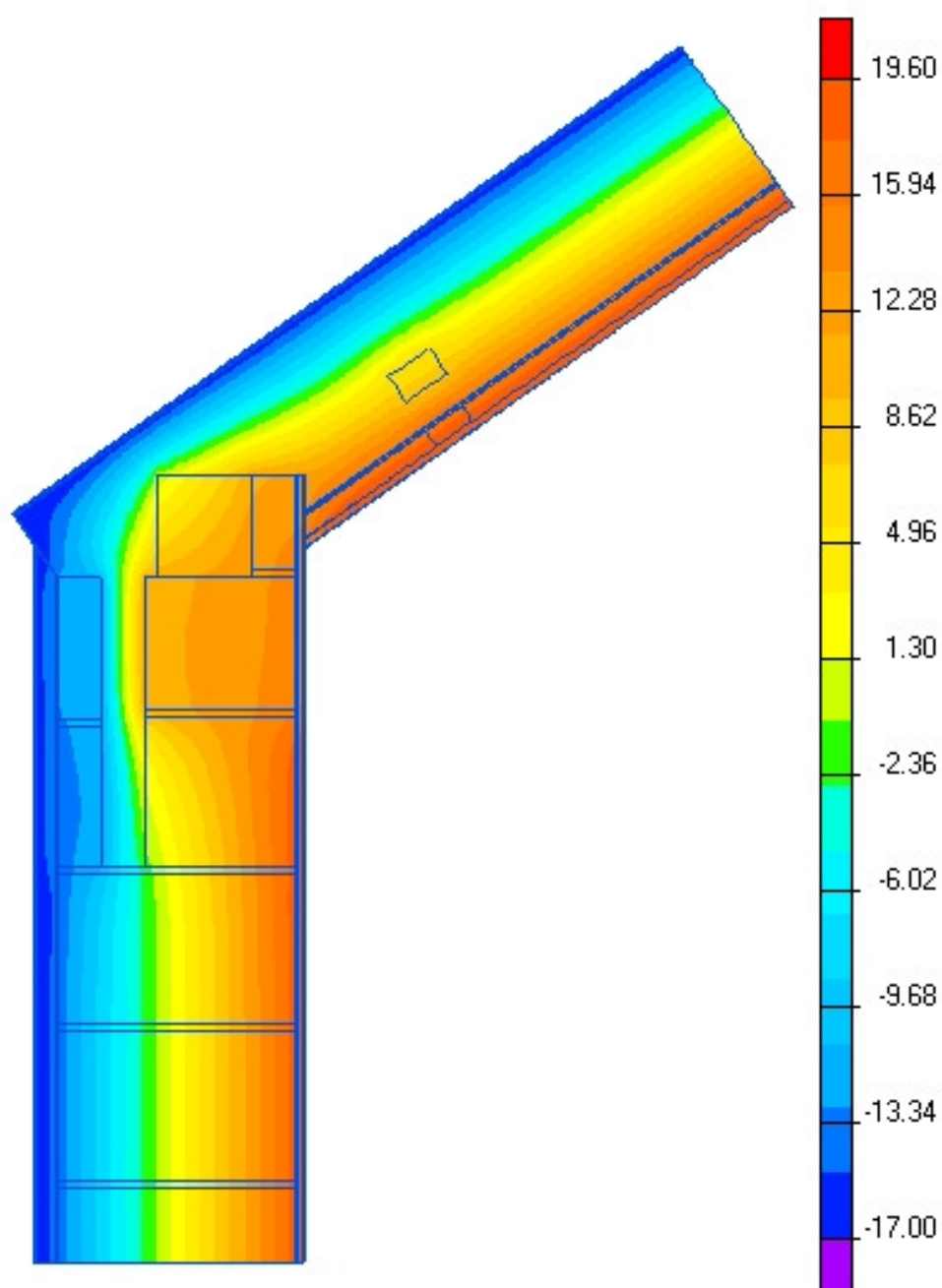




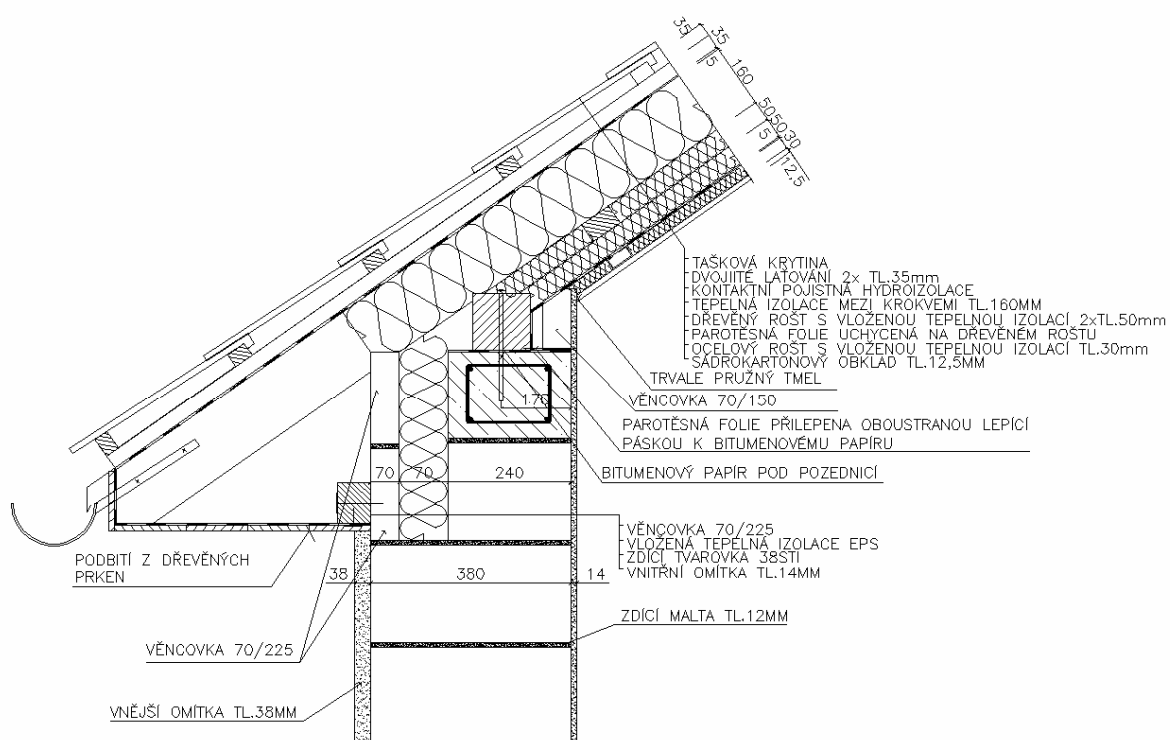




173 Detail zdiva u pozednice STI 380 mm		
lineární činitel prostupu tepla - interiér $\psi_i$ W/(m.K)	lineární činitel prostupu tepla - exteriér $\psi_e$ W/(m.K)	teplotní faktor $f_{Rsi}$ -
0,159	0,072	0,8379

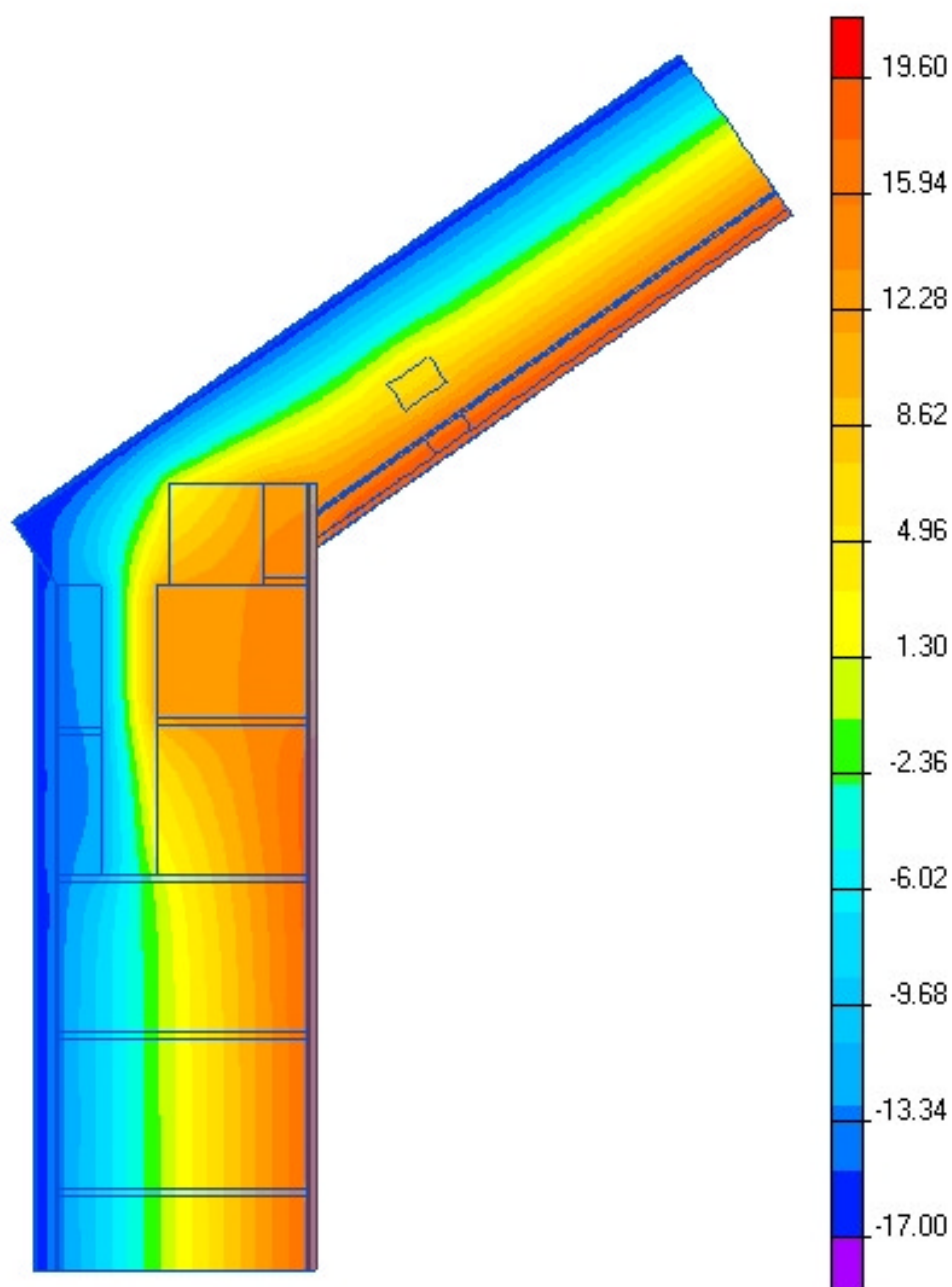




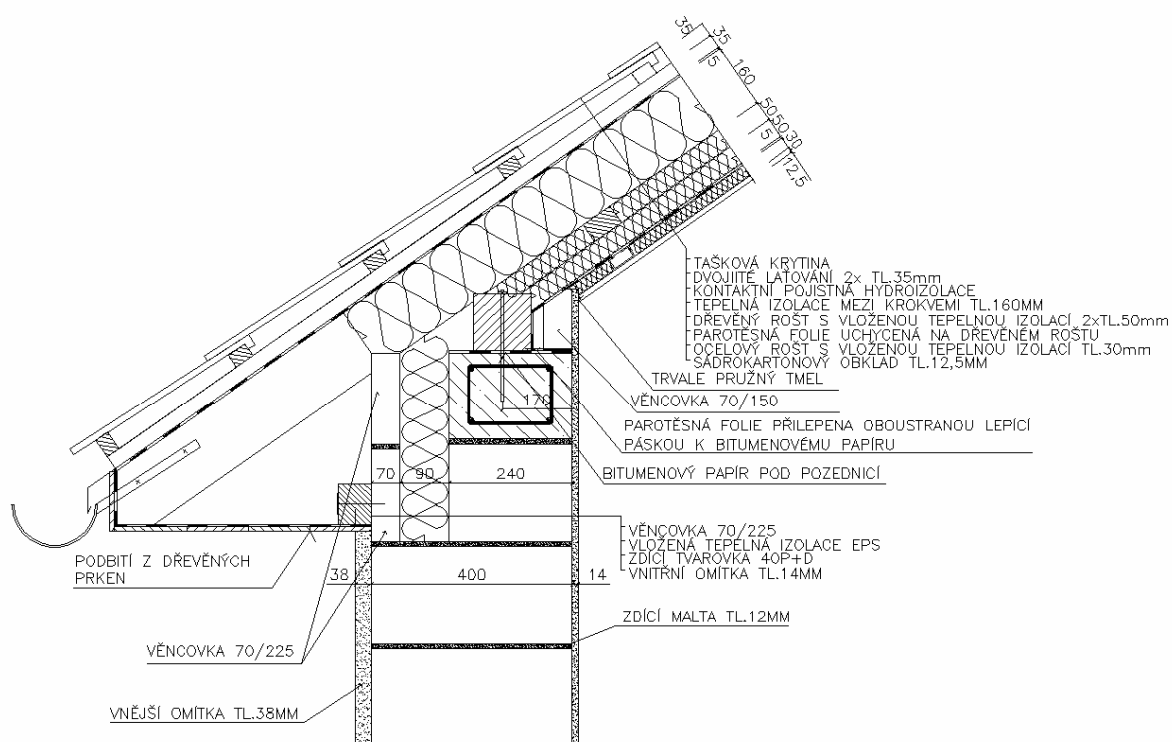




174 Detail zdiva u pozednice P+D 400 mm		
lineární činitel prostupu tepla - interiér $\psi_i$ W/(m.K)	lineární činitel prostupu tepla - exteriér $\psi_e$ W/(m.K)	teplotní faktor $f_{Rsi}$ -
0,123	0,020	0,8545

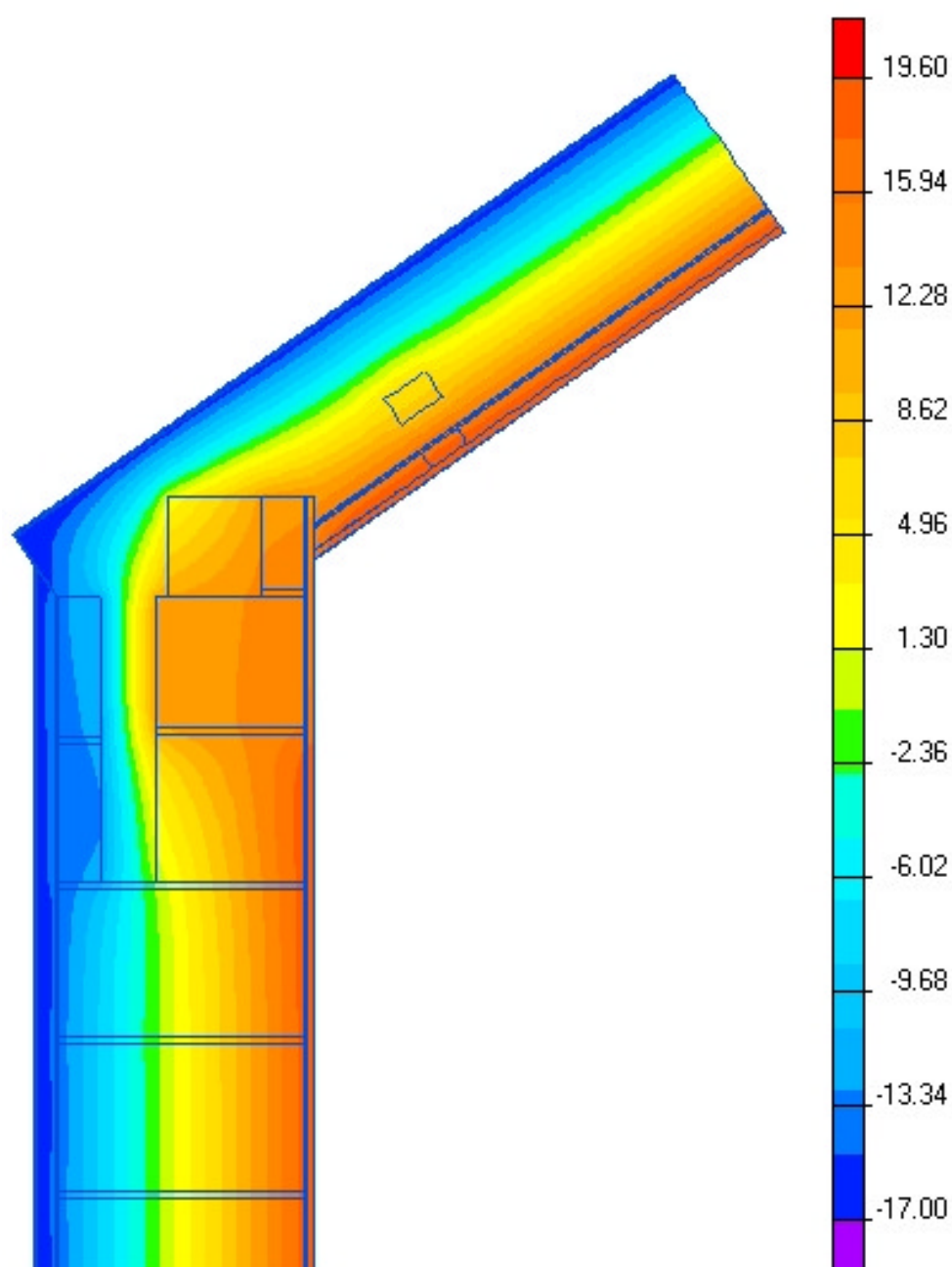




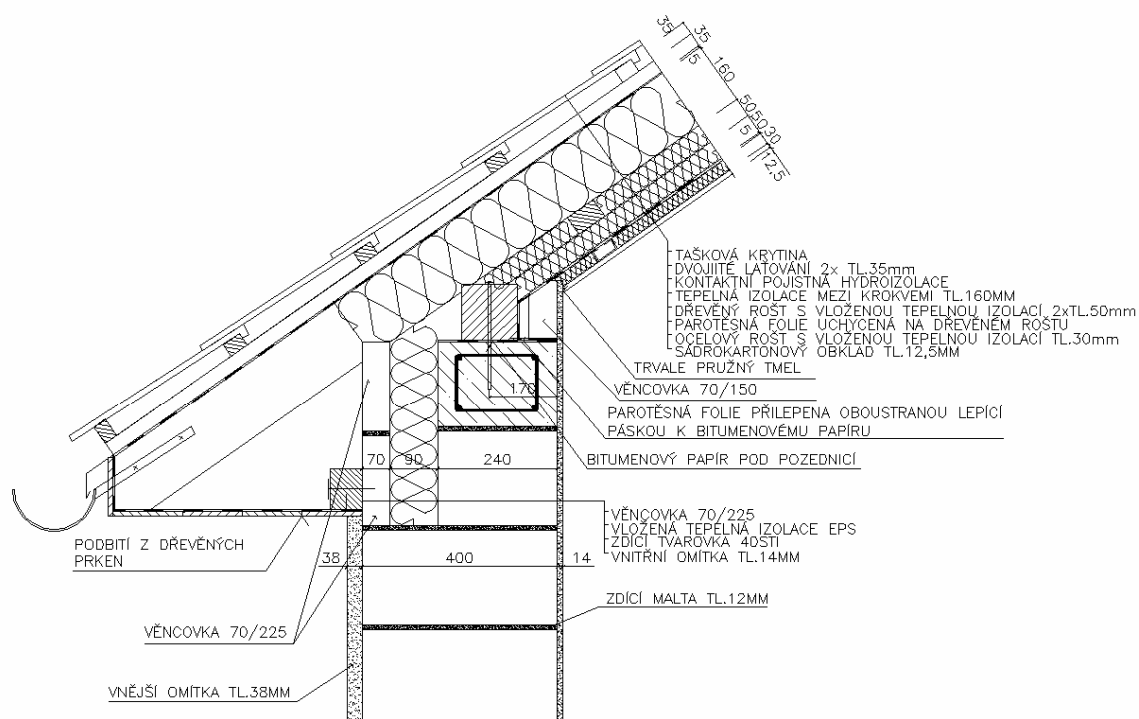




175 Detail zdiva u pozednice STI 400 mm		
lineární činitel prostupu tepla - interiér $\psi_i$ W/(m.K)	lineární činitel prostupu tepla - exteriér $\psi_e$ W/(m.K)	teplotní faktor $f_{Rsi}$ -
0,137	0,050	0,8811

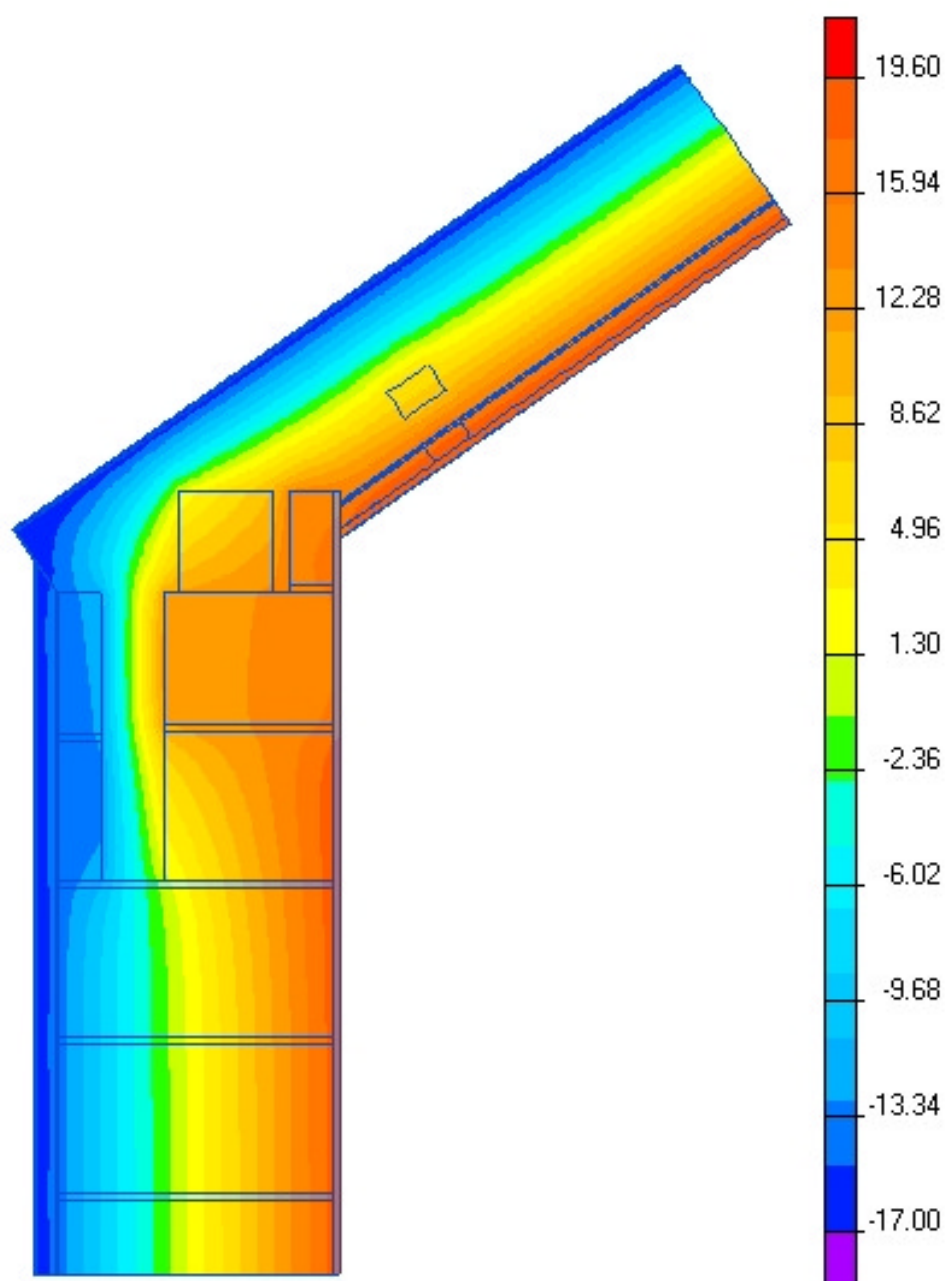




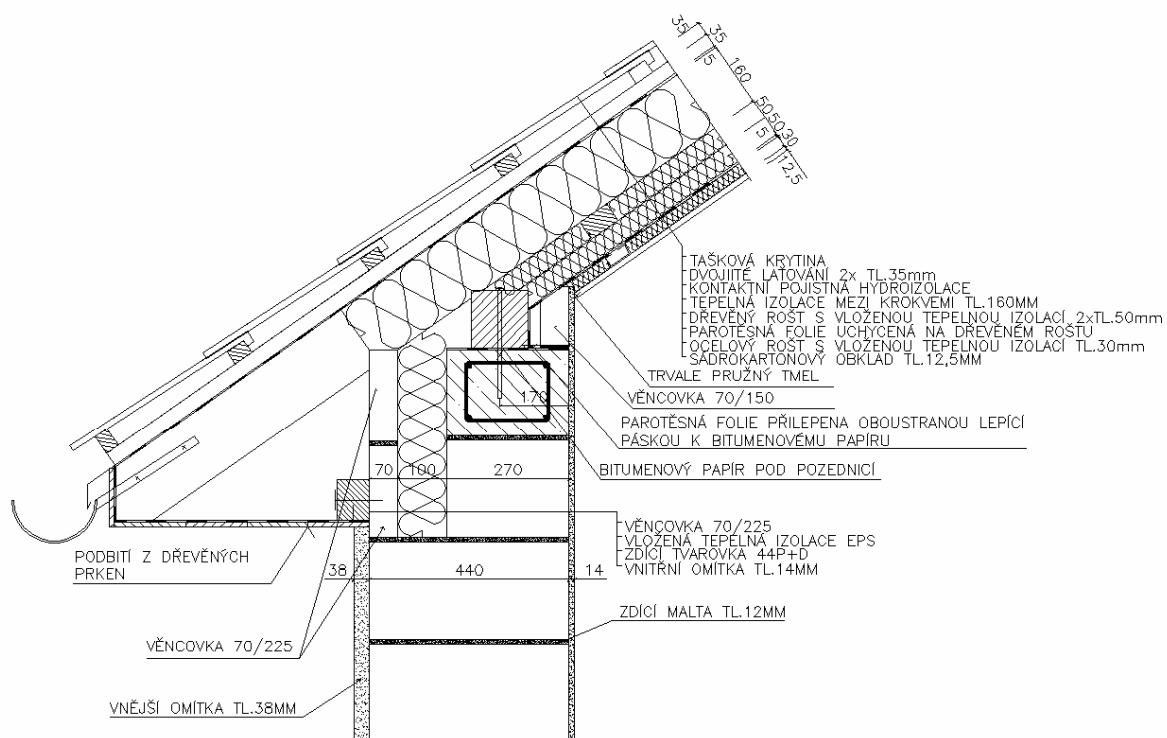




176 Detail zdiva u pozednice P+D 440 mm		
lineární činitel prostupu tepla - interiér $\psi_i$ W/(m.K)	lineární činitel prostupu tepla - exteriér $\psi_e$ W/(m.K)	teplotní faktor $f_{Rsi}$ -
0,118	0,013	0,8808

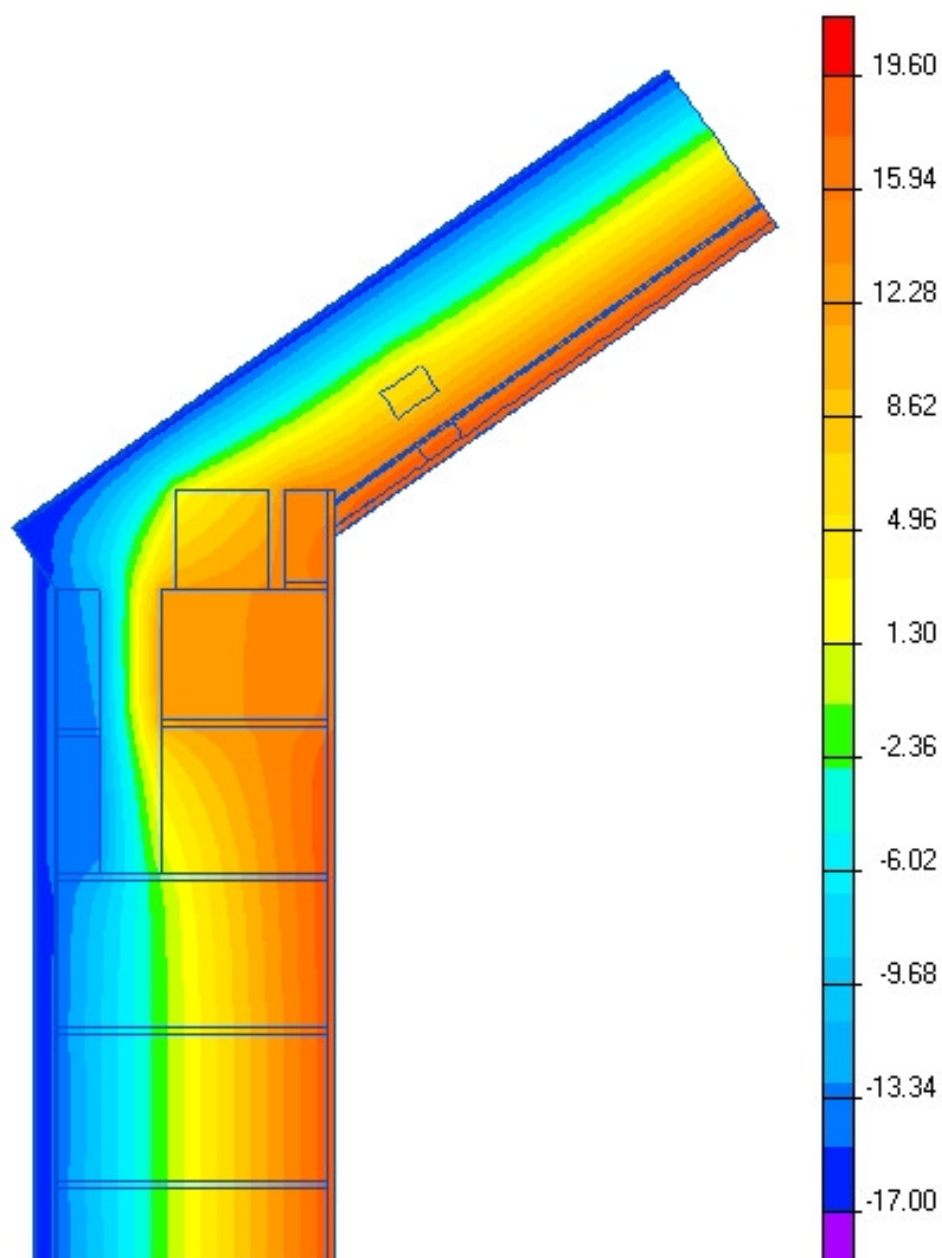




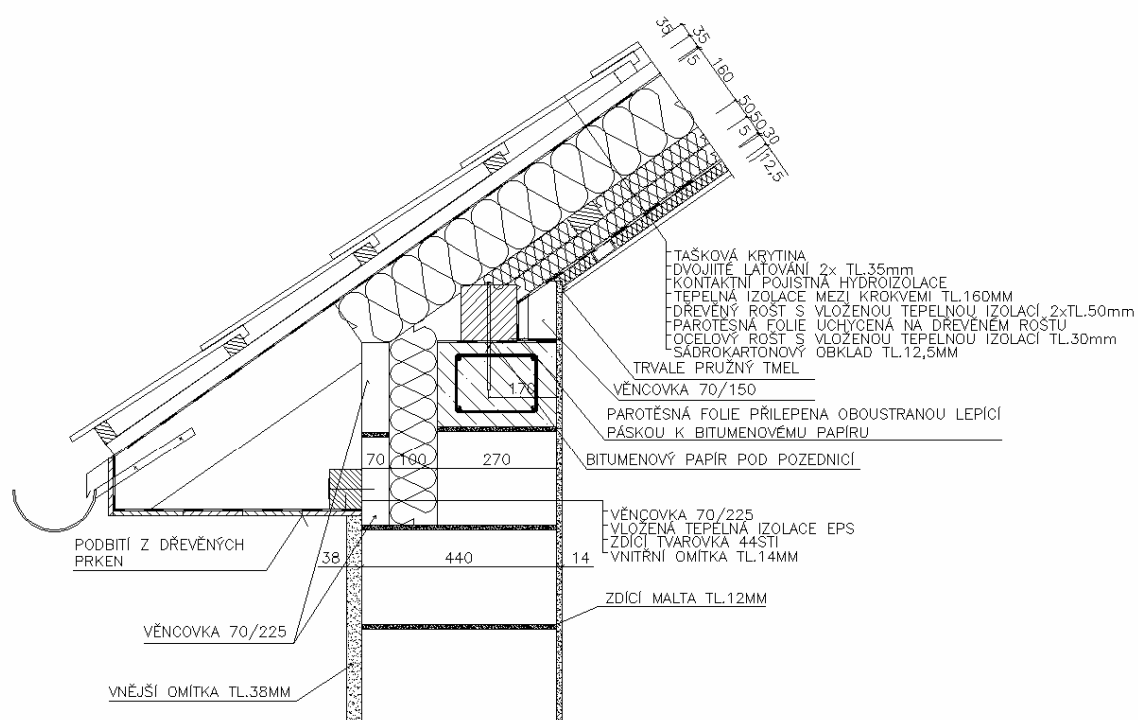




177 Detail zdiva u pozednice STI 440 mm		
lineární činitel prostupu tepla - interiér $\psi_i$ W/(m.K)	lineární činitel prostupu tepla - exteriér $\psi_e$ W/(m.K)	teplotní faktor $f_{Rsi}$ -
0,128	0,040	0,8811

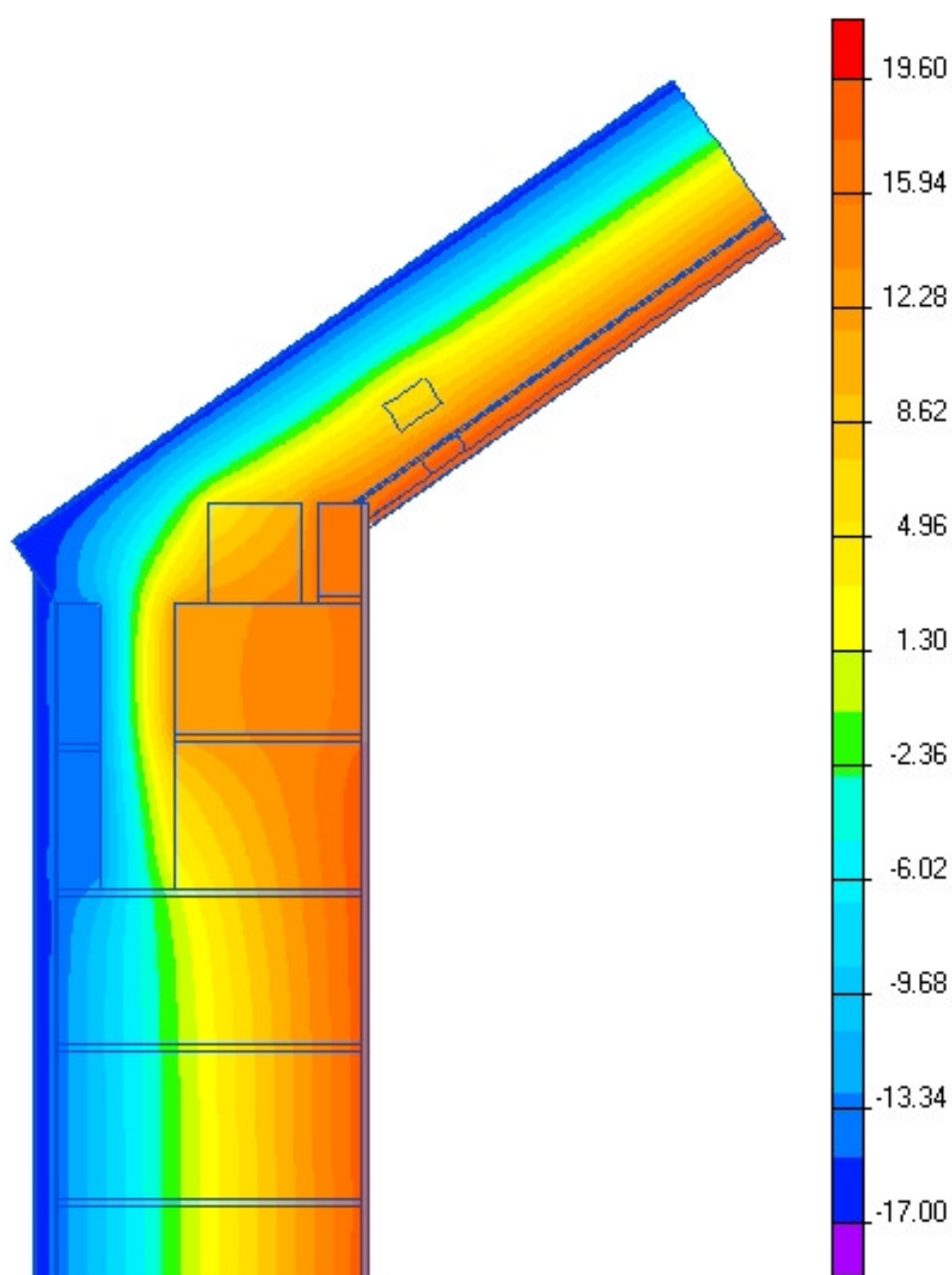




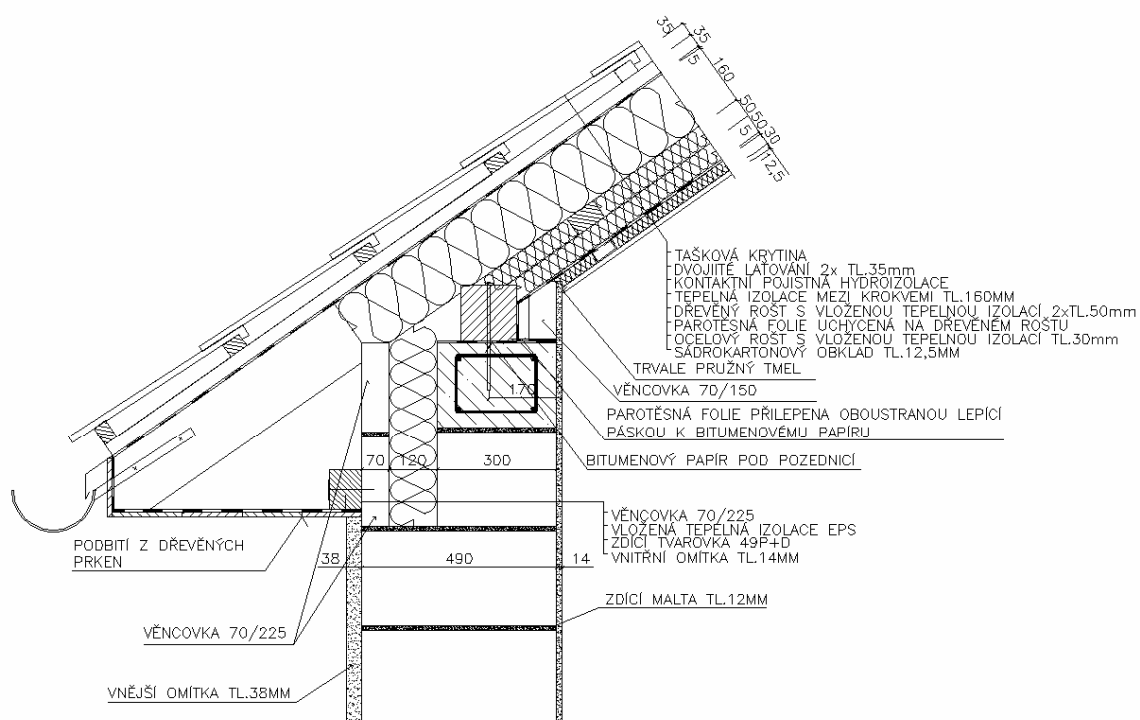




178 Detail zdiva u pozednice P+D 490 mm		
lineární činitel prostupu tepla - interiér $\psi_i$ W/(m.K)	lineární činitel prostupu tepla - exteriér $\psi_e$ W/(m.K)	teplotní faktor $f_{Rsi}$ -
0,104	-0,003	0,9013

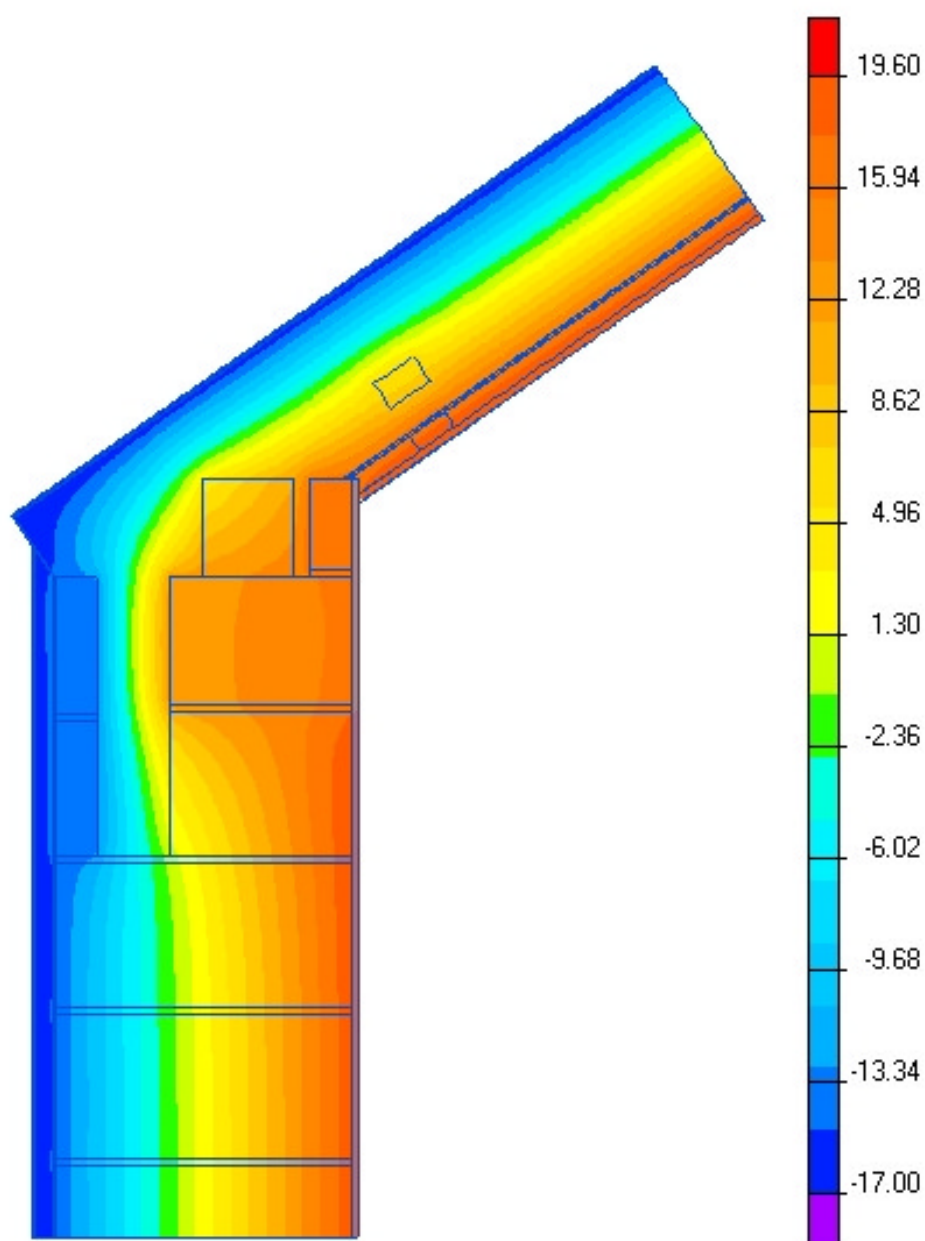




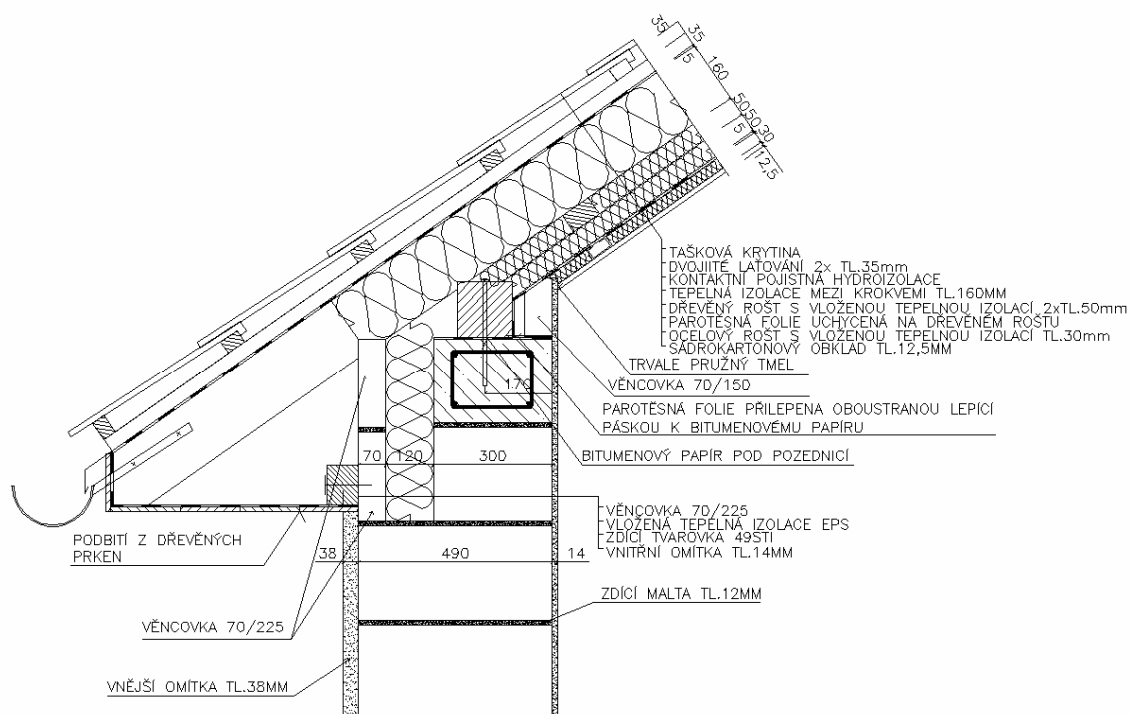




179 Detail zdiva u pozednice STI 490 mm		
lineární činitel prostupu tepla - interiér $\psi_i$ W/(m.K)	lineární činitel prostupu tepla - exteriér $\psi_e$ W/(m.K)	teplotní faktor $f_{Rsi}$ -
0,104	-0,003	0,9013

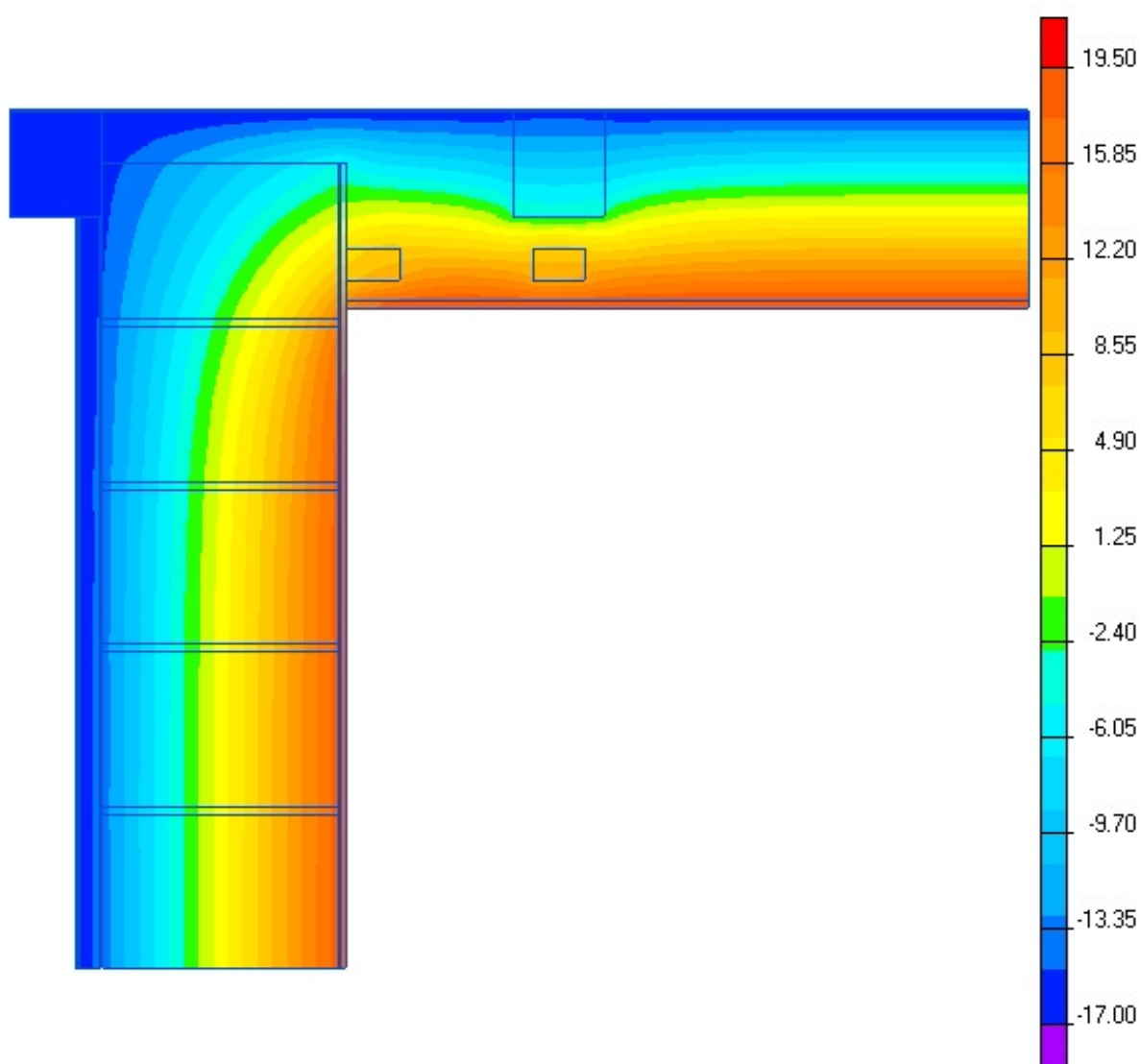




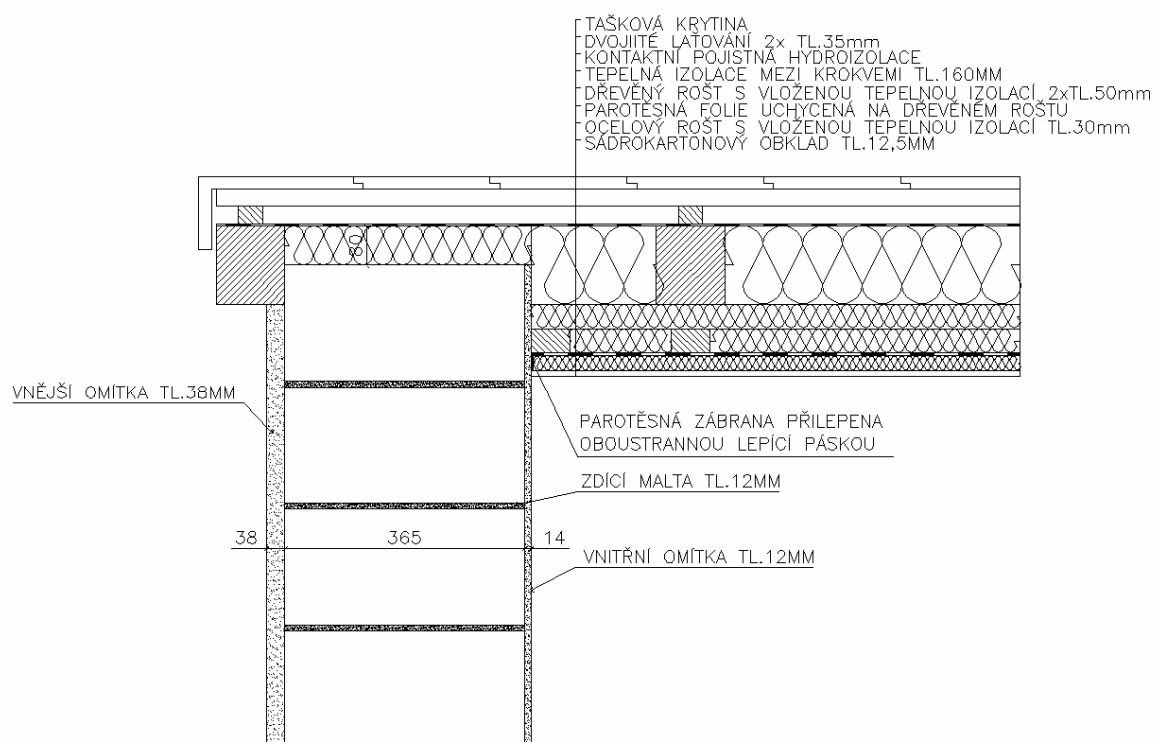




181 Detail napojení zdiva a střechy u štítu STI 365 mm		
lineární činitel prostupu tepla - interiér $\psi_i$ W/(m.K)	lineární činitel prostupu tepla - exteriér $\psi_e$ W/(m.K)	teplotní faktor $f_{Rsi}$ -
0,099	0,038	0,8210

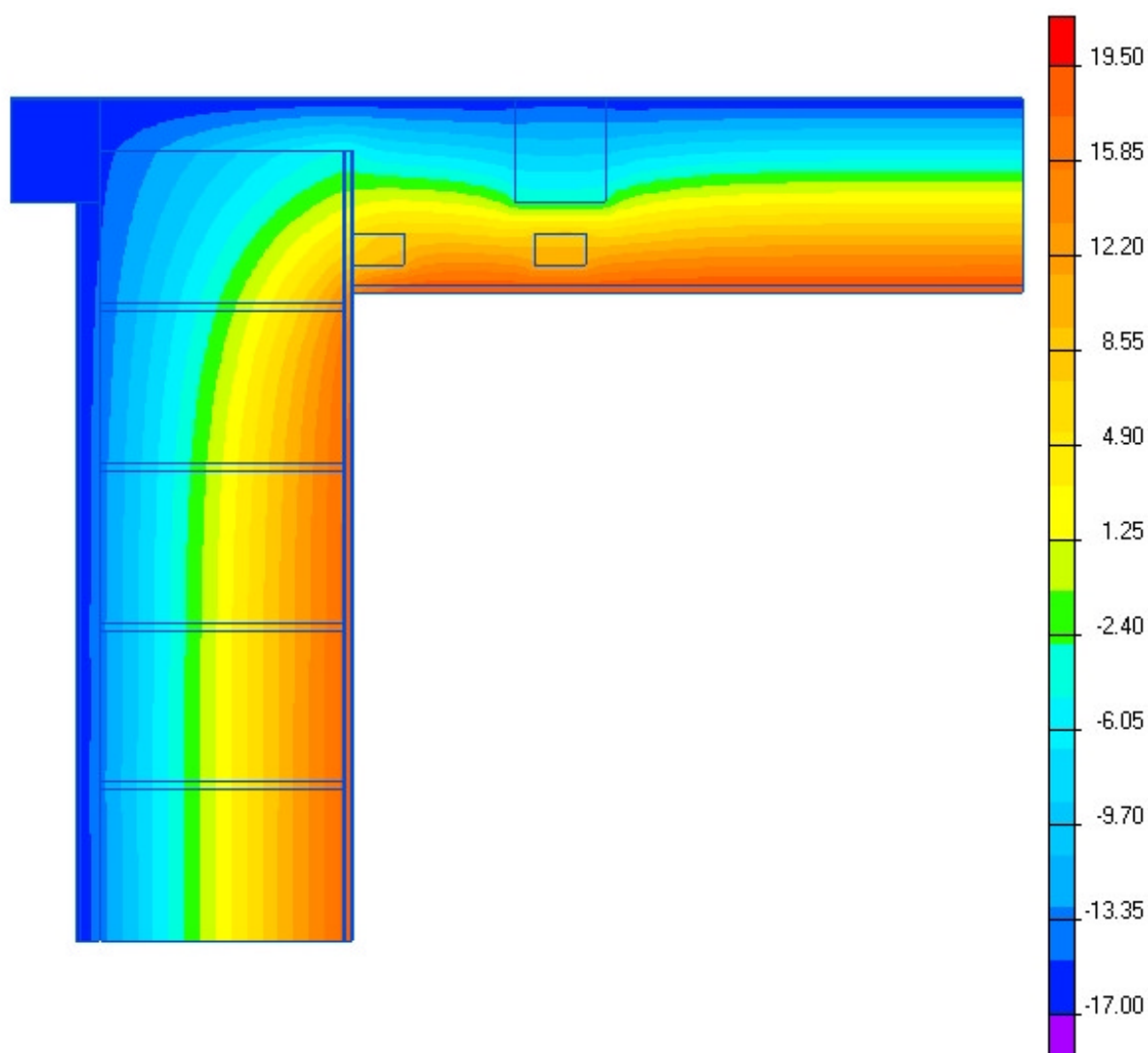




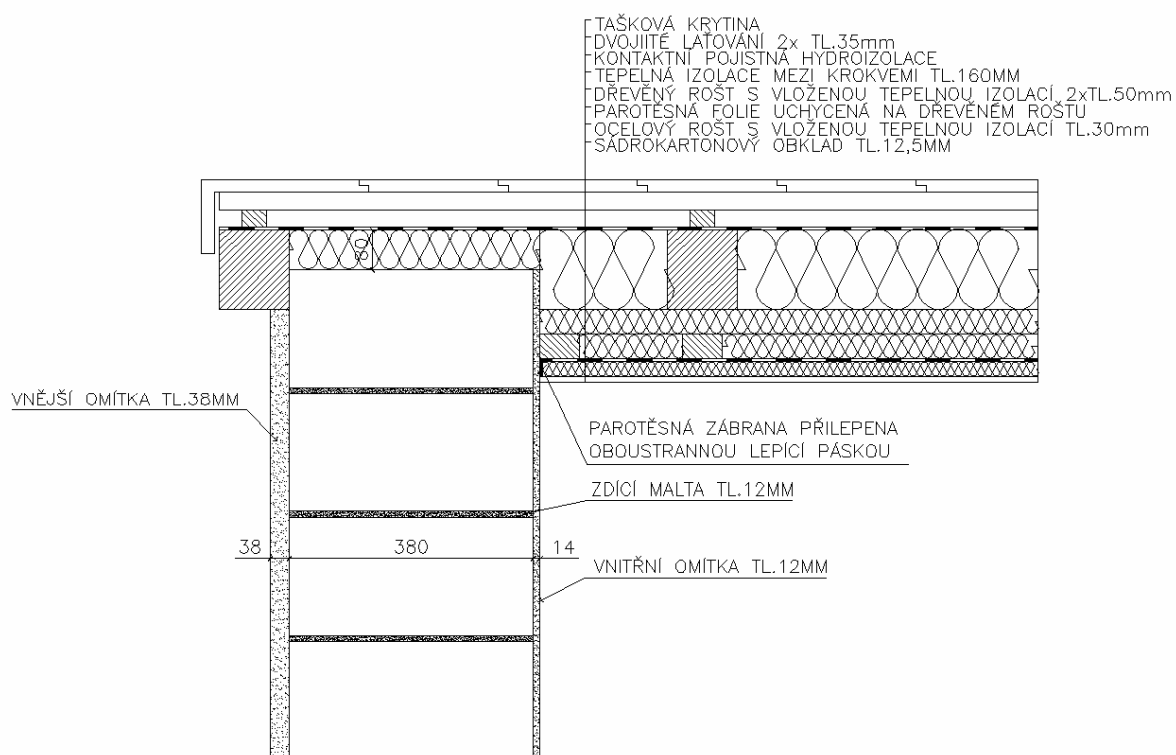




182 Detail napojení zdiva a střechy u štítu P+D 380 mm		
lineární činitel prostupu tepla - interiér $\psi_i$ W/(m.K)	lineární činitel prostupu tepla - exteriér $\psi_e$ W/(m.K)	teplotní faktor $f_{Rsi}$ -
0,104	0,041	0,8057

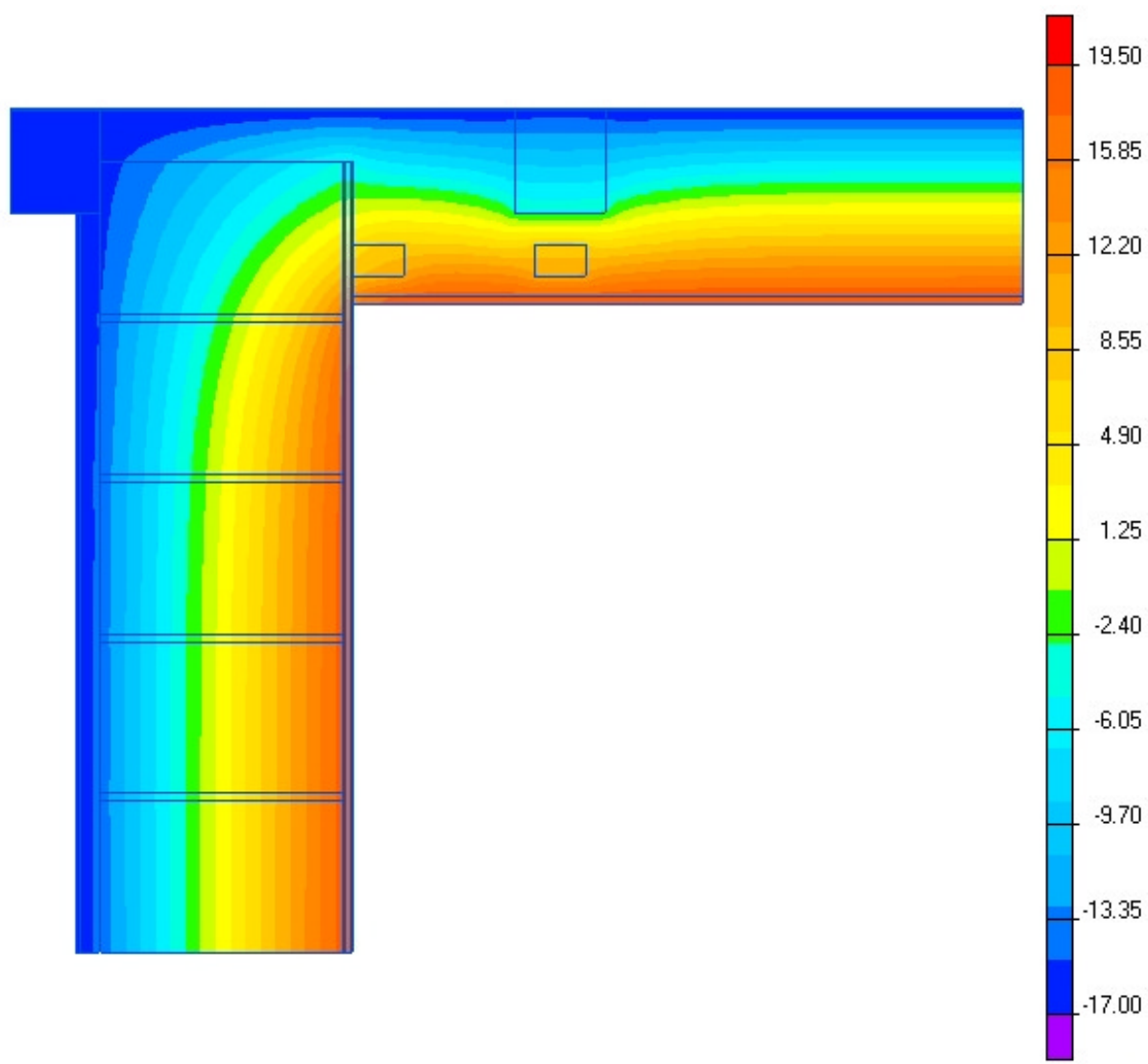




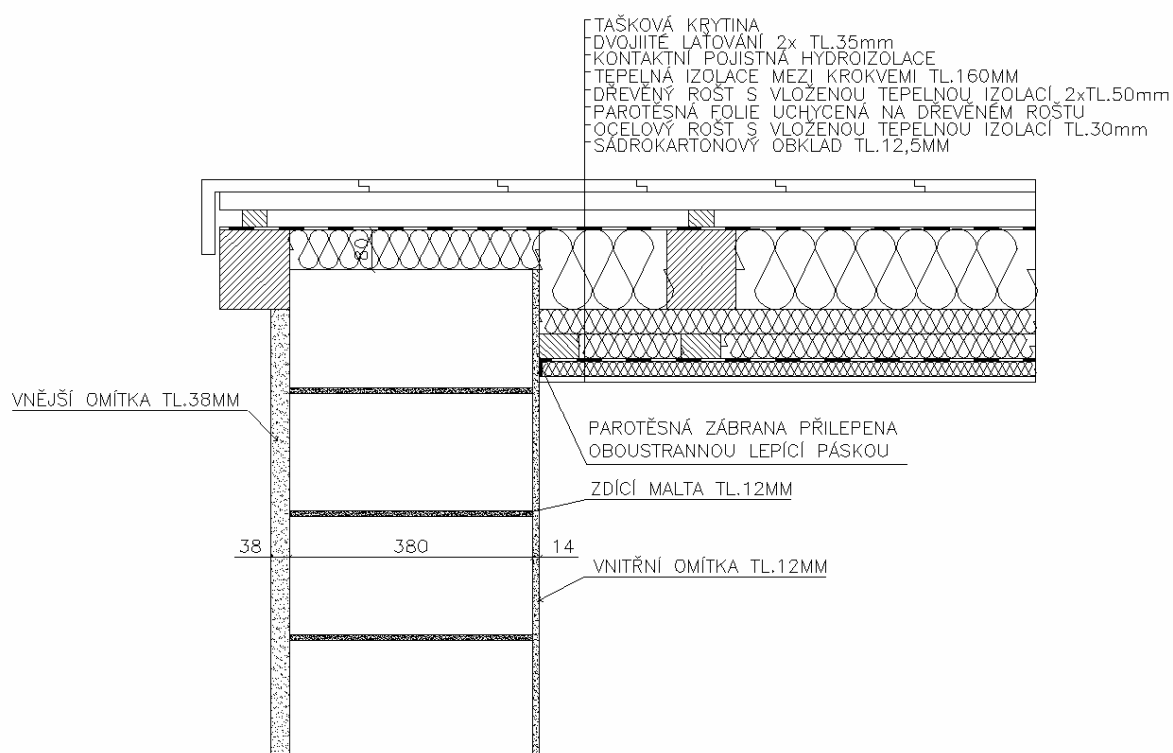




183 Detail napojení zdiva a střechy u štítu STI 380 mm		
lineární činitel prostupu tepla - interiér $\psi_i$ W/(m.K)	lineární činitel prostupu tepla - exteriér $\psi_e$ W/(m.K)	teplotní faktor $f_{Rsi}$ -
0,098	0,035	0,8230

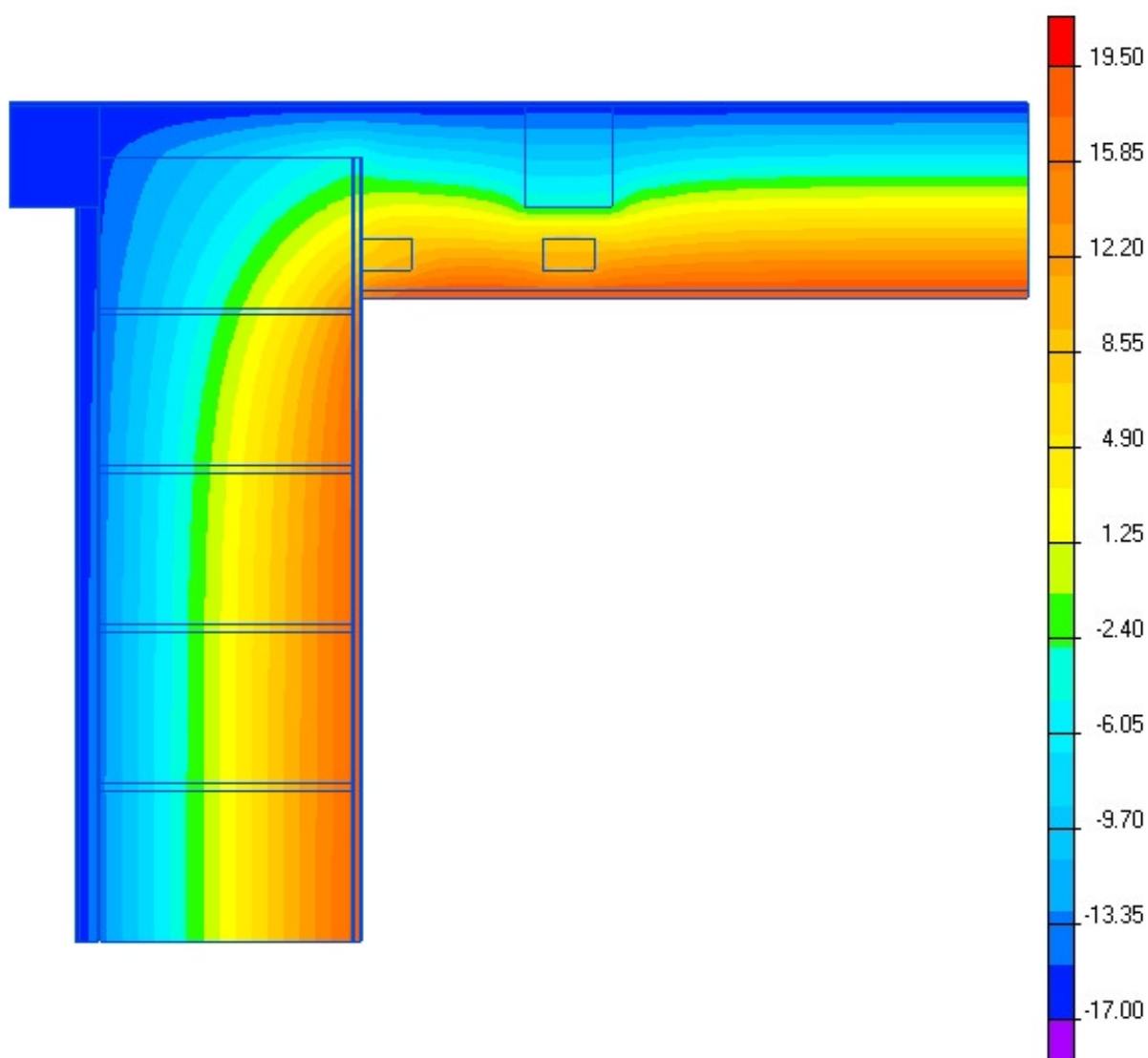




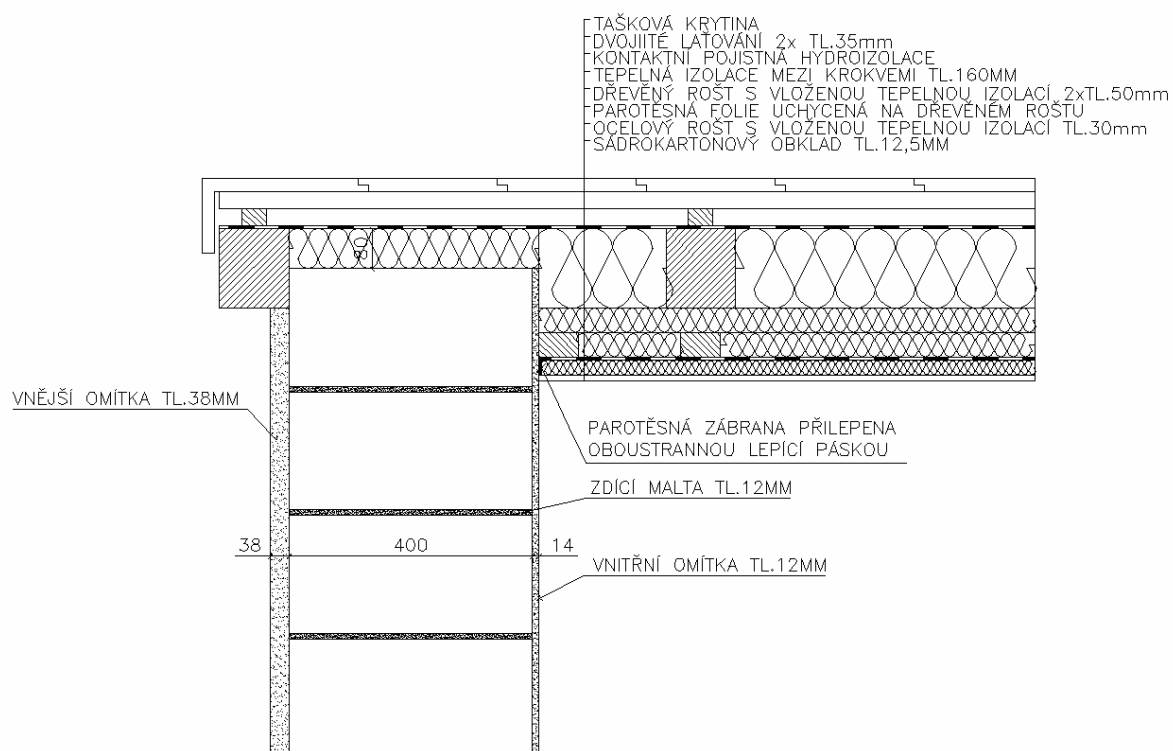




184 Detail napojení zdiva a střechy u štítu P+D 400 mm		
lineární činitel prostupu tepla - interiér $\psi_i$ W/(m.K)	lineární činitel prostupu tepla - exteriér $\psi_e$ W/(m.K)	teplotní faktor $f_{Rsi}$ -
0,105	0,038	0,8085

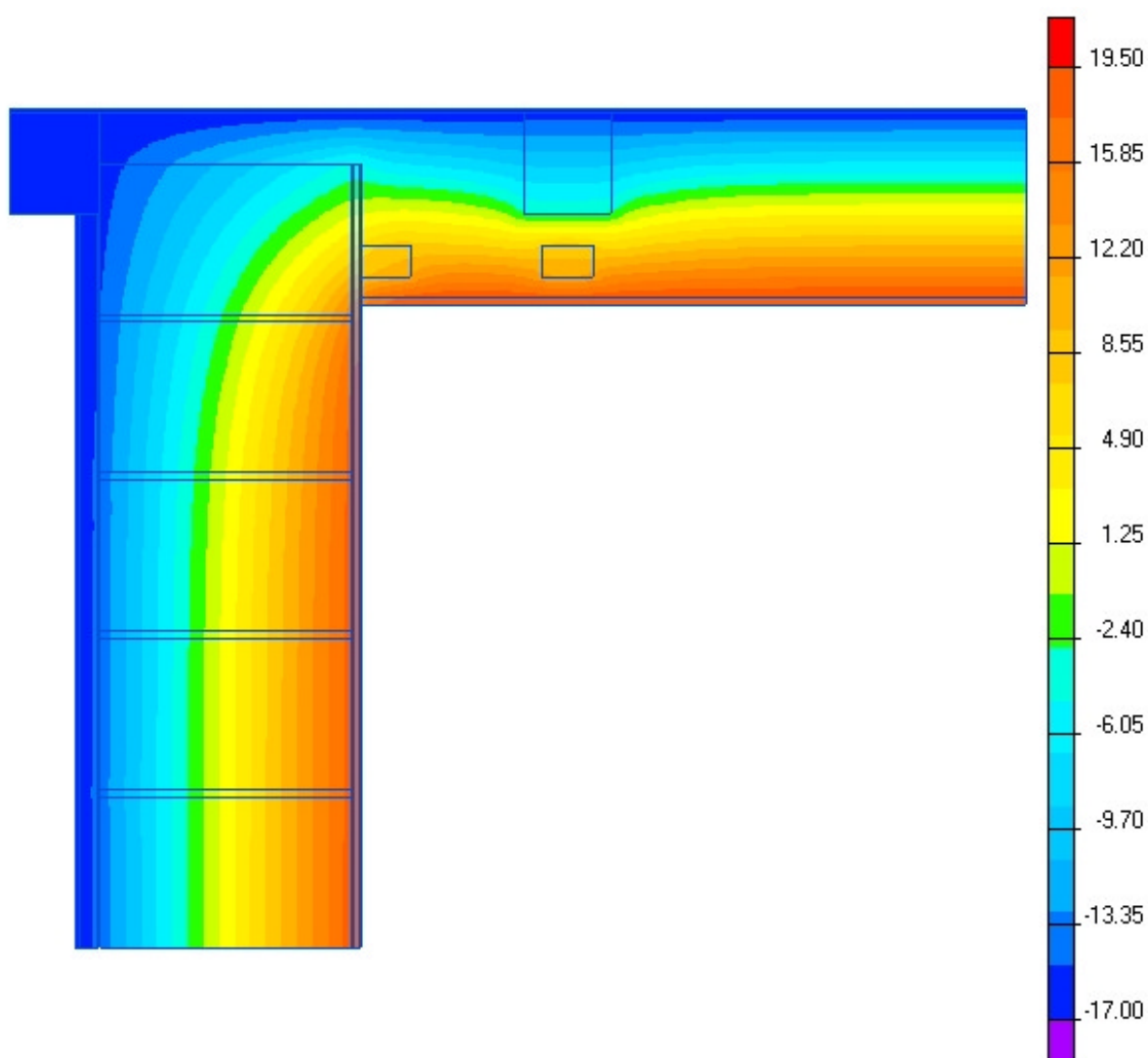




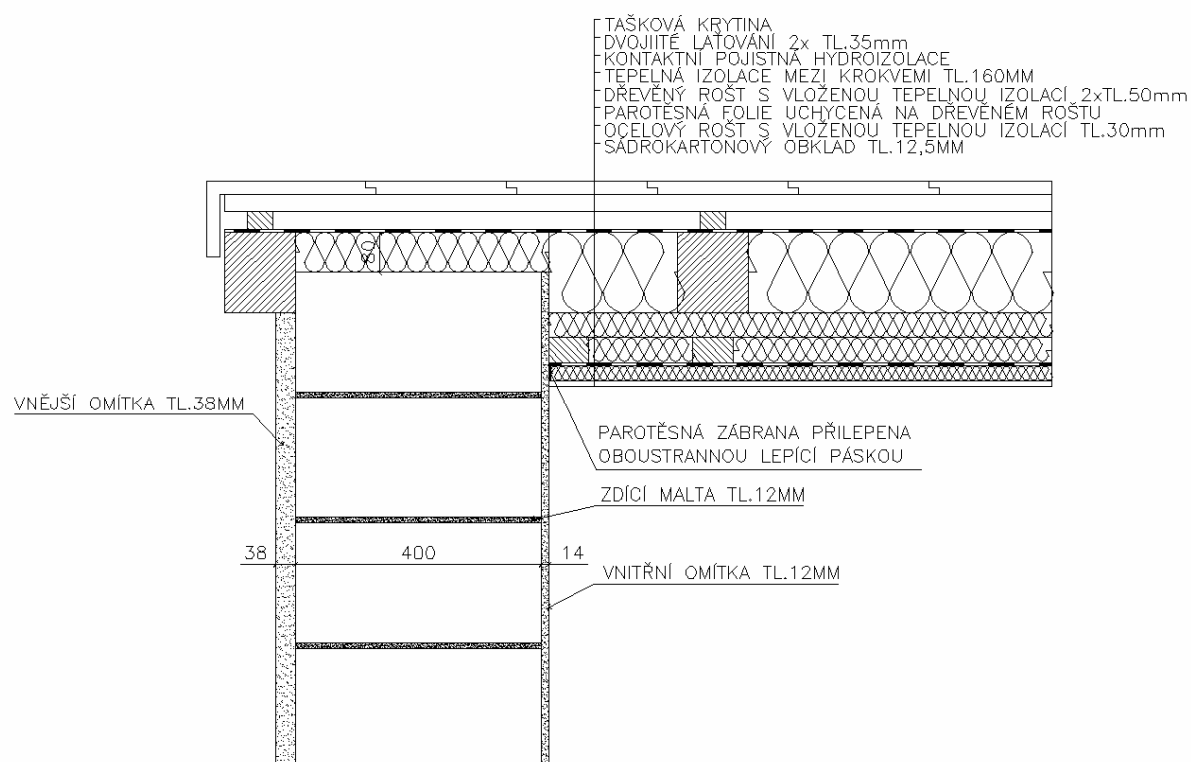




185 Detail napojení zdiva a střechy u štítu STI 400 mm		
lineární činitel prostupu tepla - interiér $\psi_i$ W/(m.K)	lineární činitel prostupu tepla - exteriér $\psi_e$ W/(m.K)	teplotní faktor $f_{Rsi}$ -
0,098	0,032	0,8294

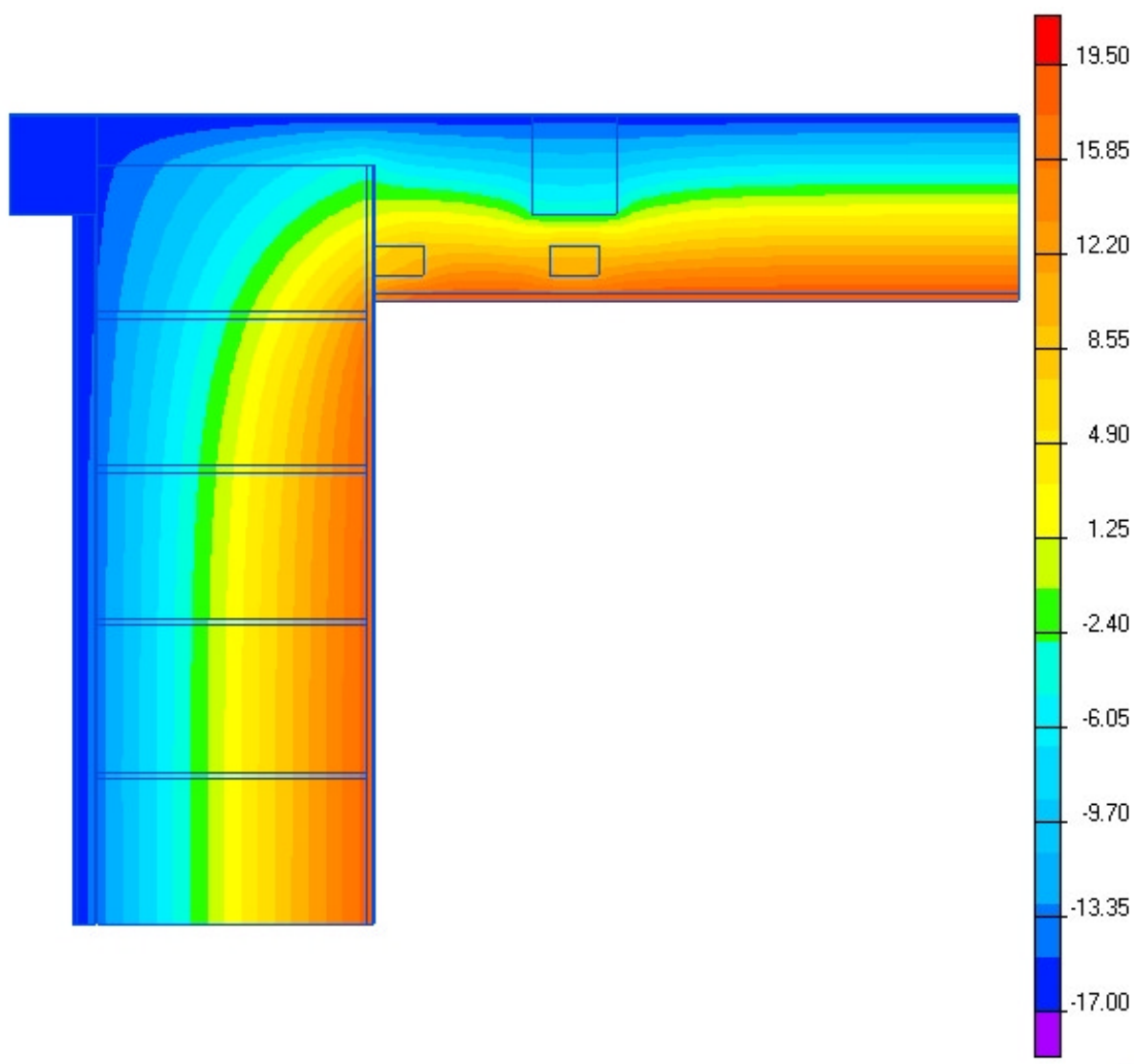




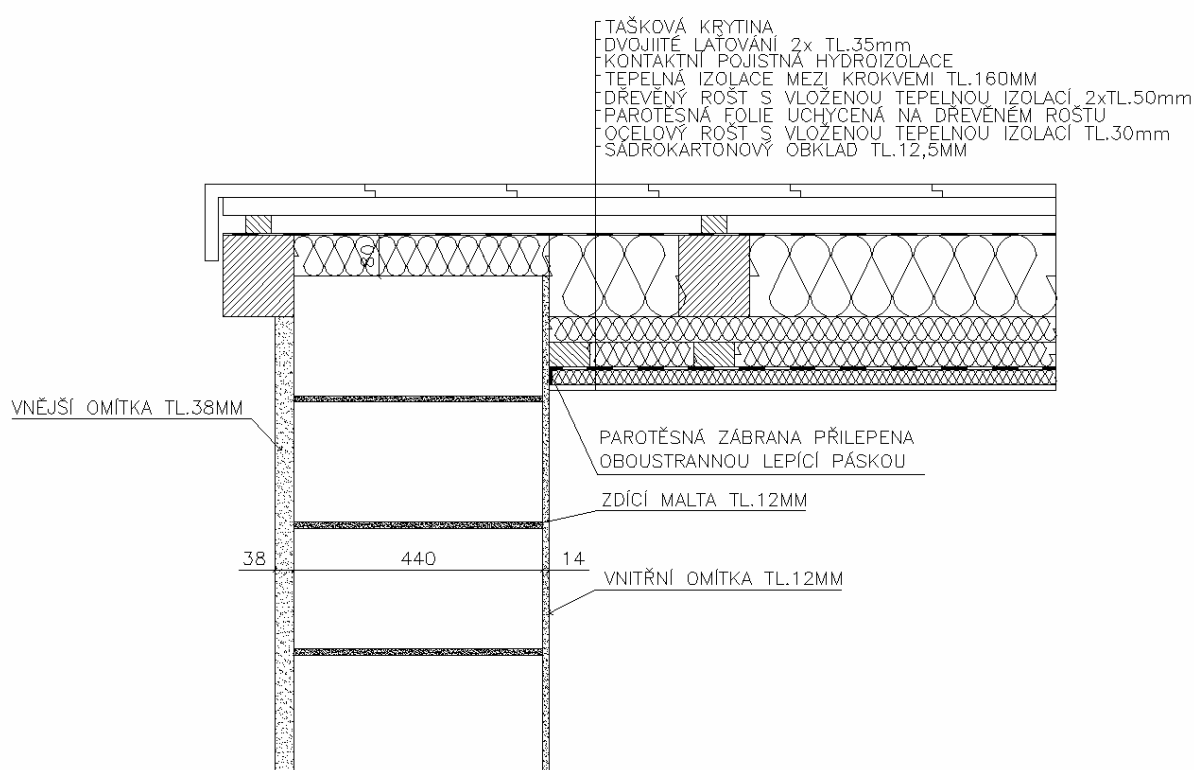




186 Detail napojení zdiva a střechy u štítu P+D 440 mm		
lineární činitel prostupu tepla - interiér $\psi_i$ W/(m.K)	lineární činitel prostupu tepla - exteriér $\psi_e$ W/(m.K)	teplotní faktor $f_{Rsi}$ -
0,105	0,032	0,8134

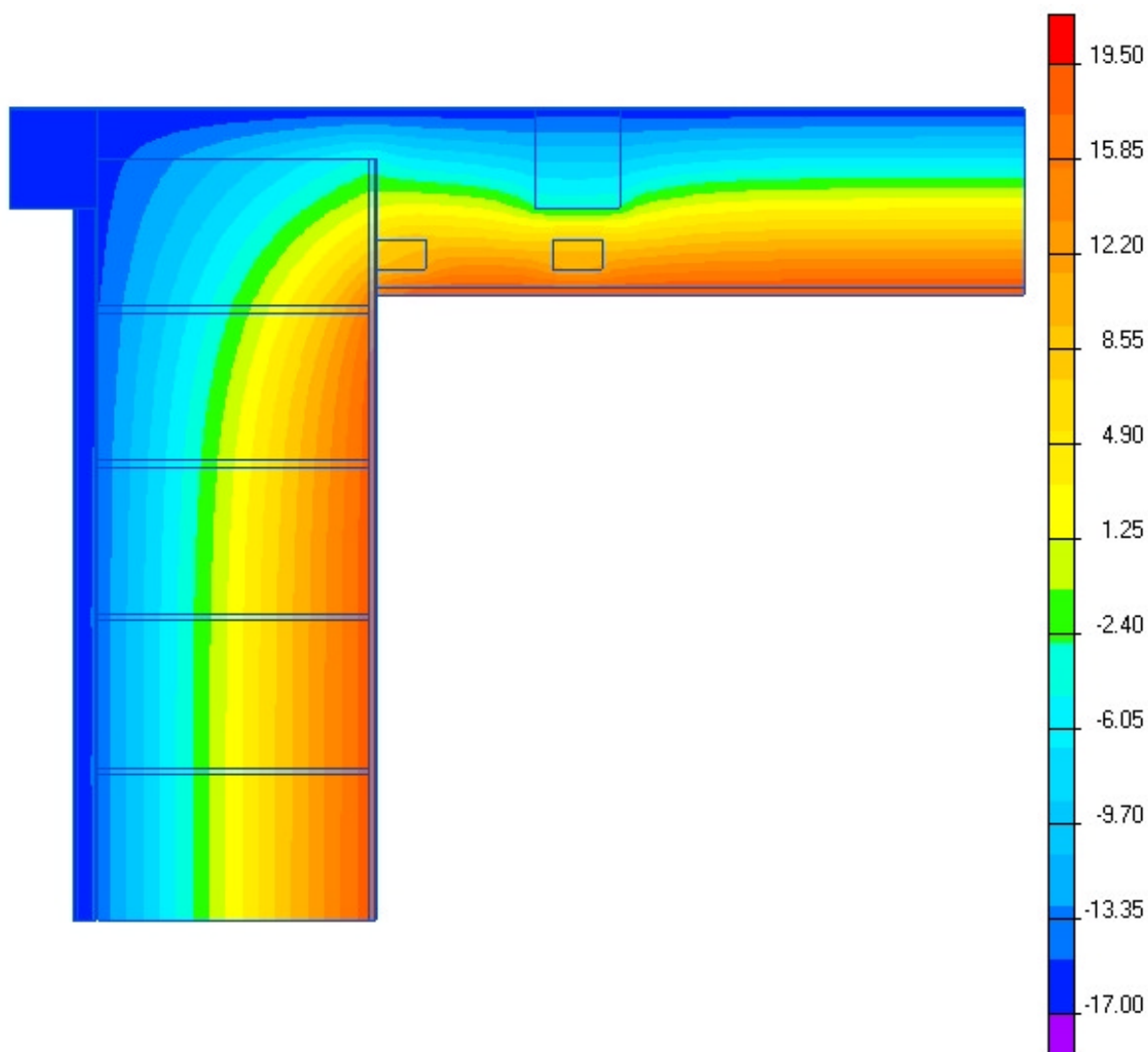




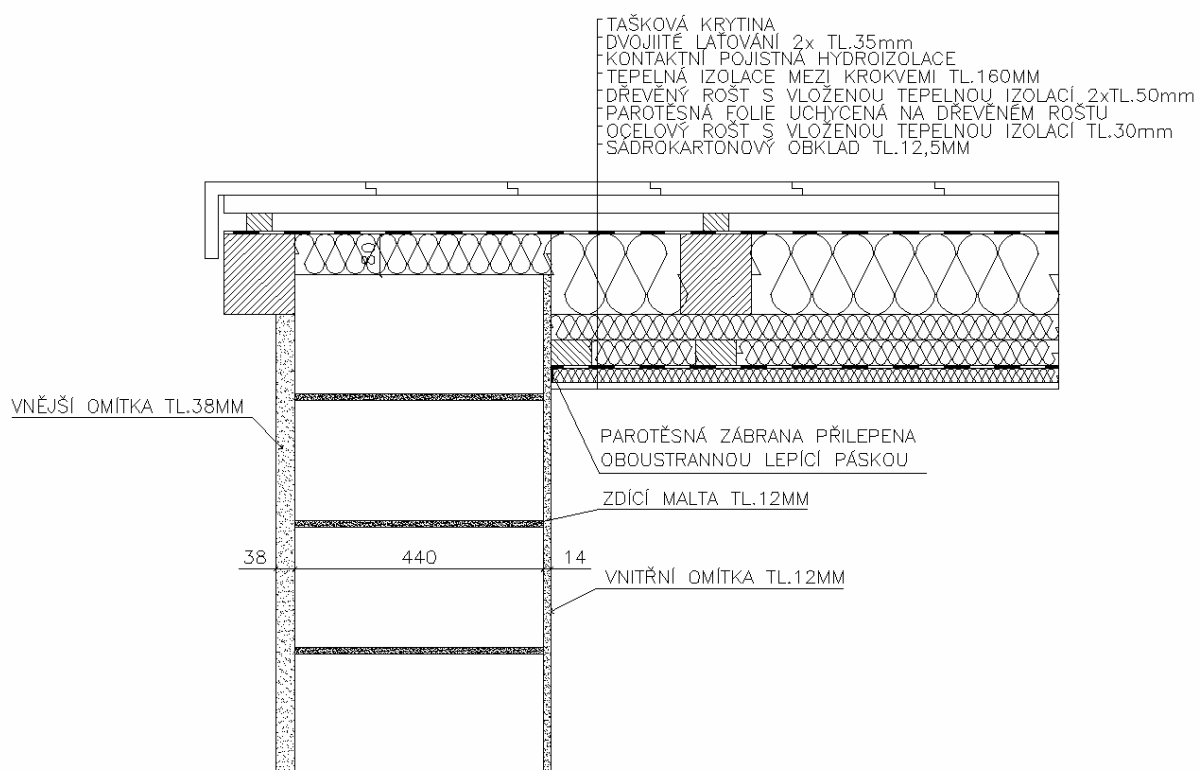




187 Detail napojení zdiva a střechy u štítu STI 440 mm		
lineární činitel prostupu tepla - interiér $\psi_i$ W/(m.K)	lineární činitel prostupu tepla - exteriér $\psi_e$ W/(m.K)	teplotní faktor $f_{Rsi}$ -
0,098	0,025	0,8294

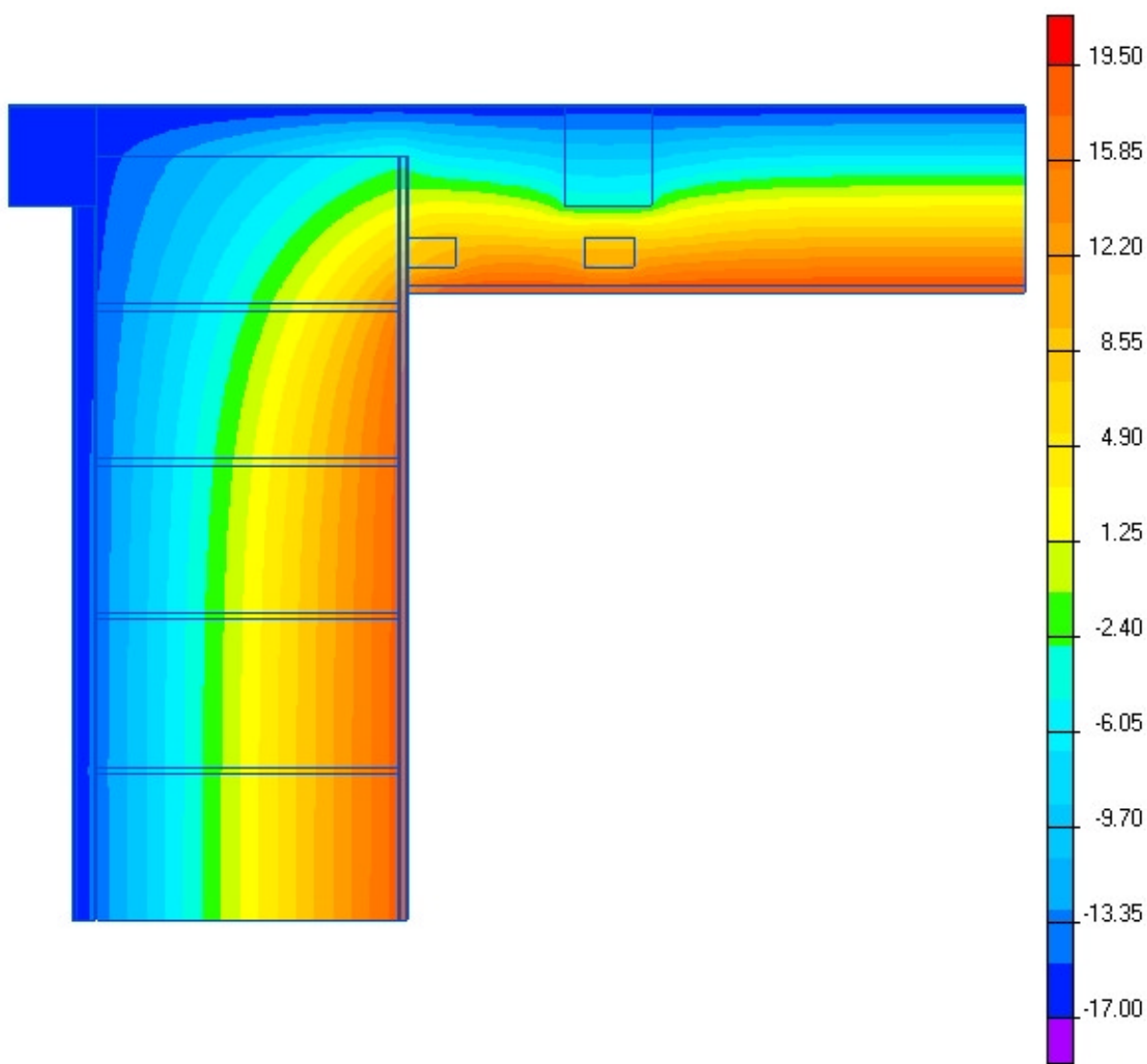




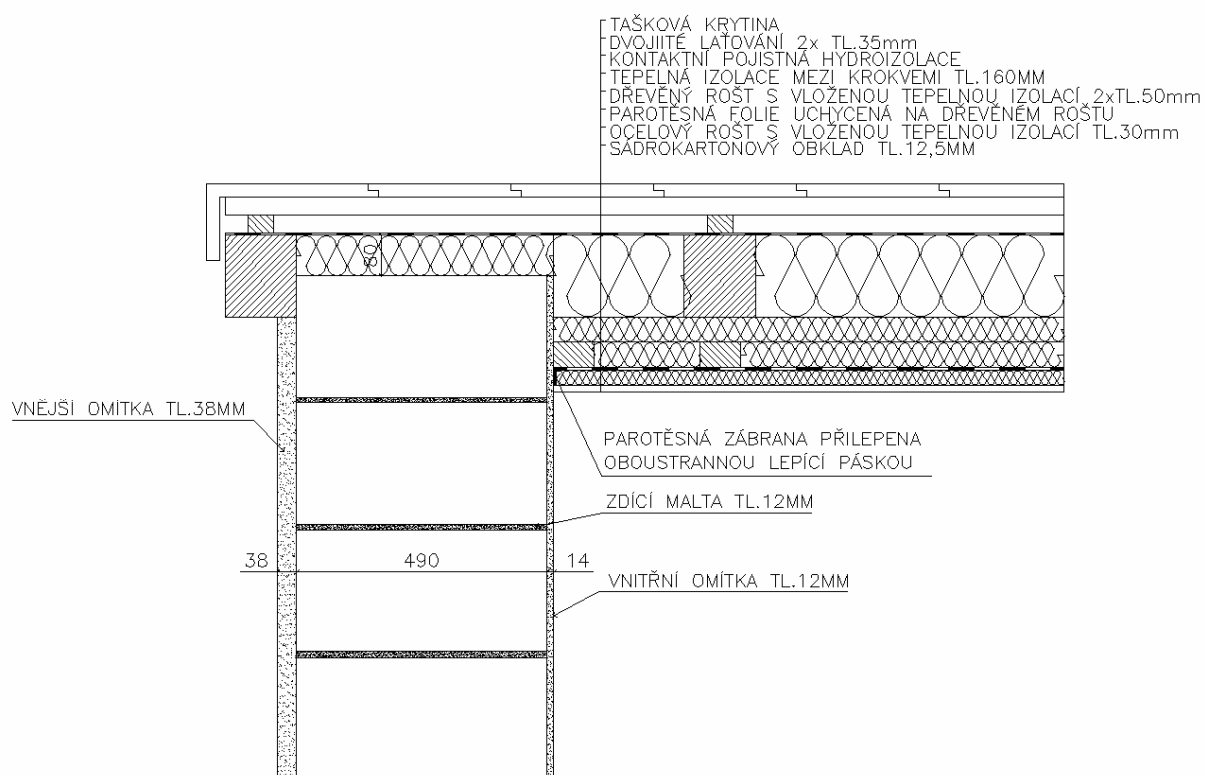




188 Detail napojení zdiva a střechy u štítu P+D 490 mm		
lineární činitel prostupu tepla - interiér $\psi_i$ W/(m.K)	lineární činitel prostupu tepla - exteriér $\psi_e$ W/(m.K)	teplotní faktor $f_{Rsi}$ -
0,106	0,016	0,8188

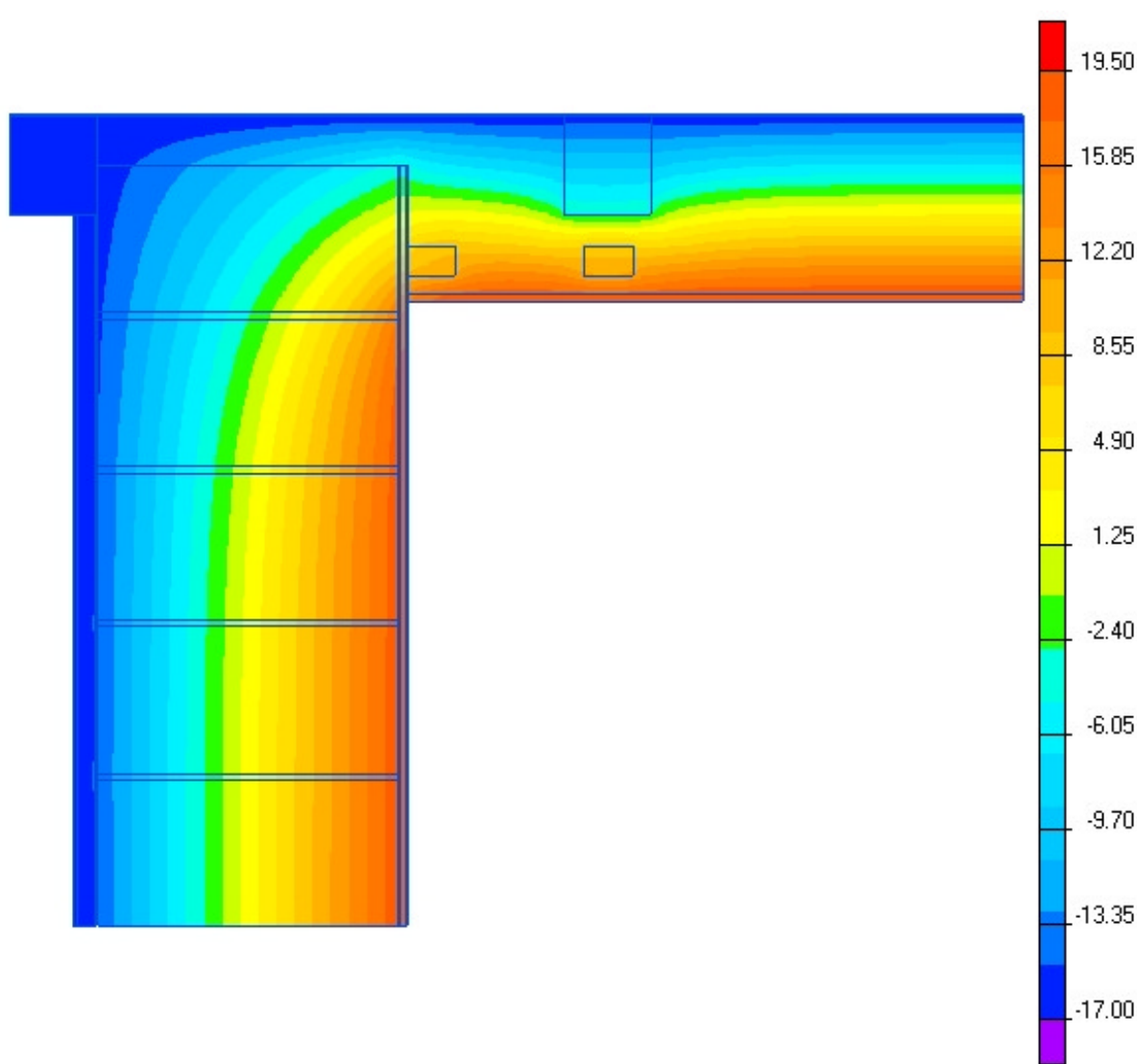




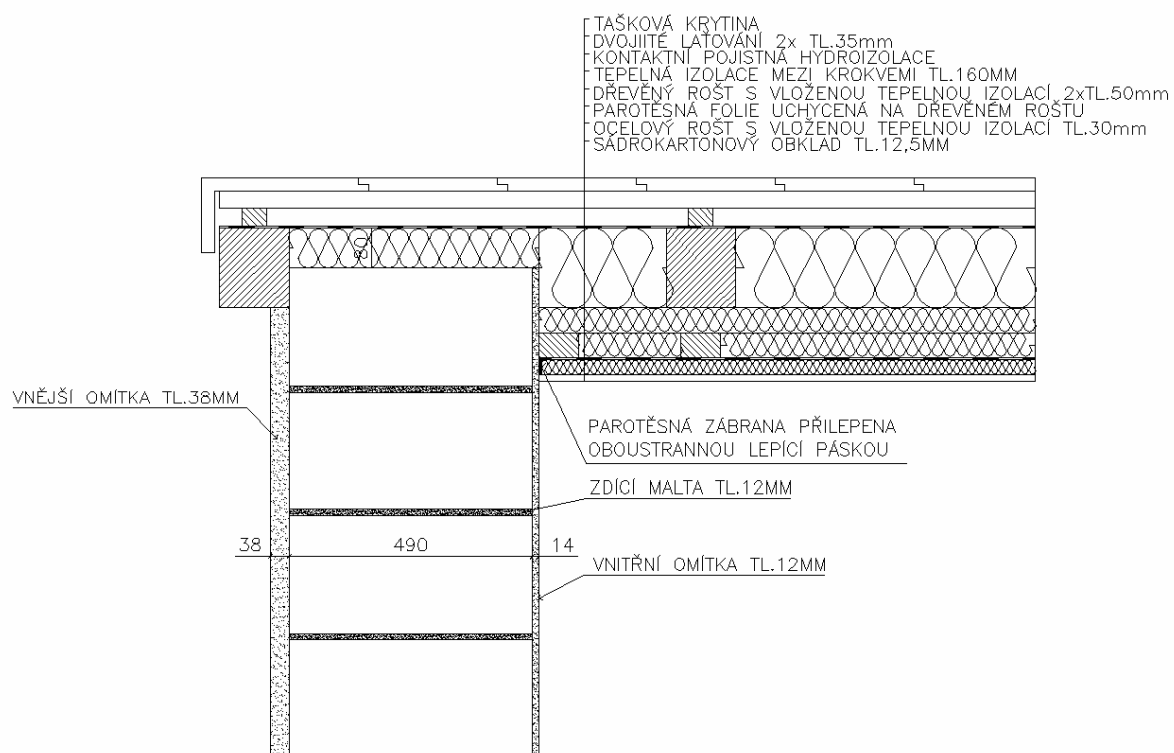




189 Detail napojení zdiva a střechy u štítu STI 490 mm		
lineární činitel prostupu tepla - interiér $\psi_i$ W/(m.K)	lineární činitel prostupu tepla - exteriér $\psi_e$ W/(m.K)	teplotní faktor $f_{Rsi}$ -
0,099	0,009	0,8341

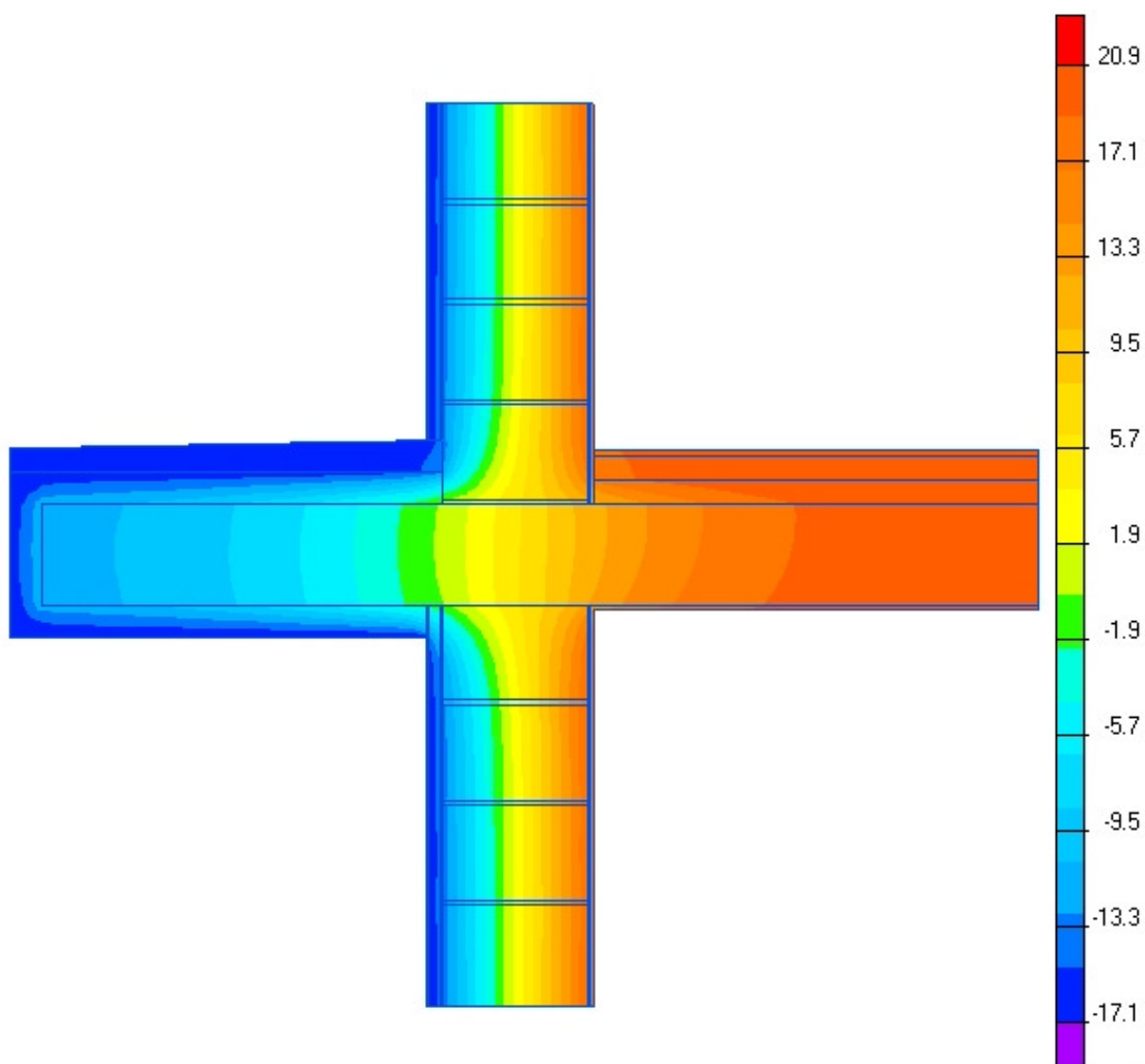








191 Detail balkónu a obvodového zdiva STI 365 mm						
lineární činitel prostupu tepla - interiér dole z interiérových rozměrů $\psi_i^{Di}$ W/(m.K)	lineární činitel prostupu tepla - interiér nahoře z interiérových rozměrů $\psi_i^{Hi}$ W/(m.K)	lineární činitel prostupu tepla - exteriér $\psi_e$ W/(m.K)	lineární činitel prostupu tepla - dole z exteriérových rozměrů $\psi_i^{De}$ W/(m.K)	lineární činitel prostupu tepla - nahore z exteriérových rozměrů $\psi_i^{He}$ W/(m.K)	teplotní faktor dole $f_{Rsi}^D$ -	teplotní faktor nahore $f_{Rsi}^H$ -
0,072	0,307	0,277	0,052	0,225	0,9097	0,8163

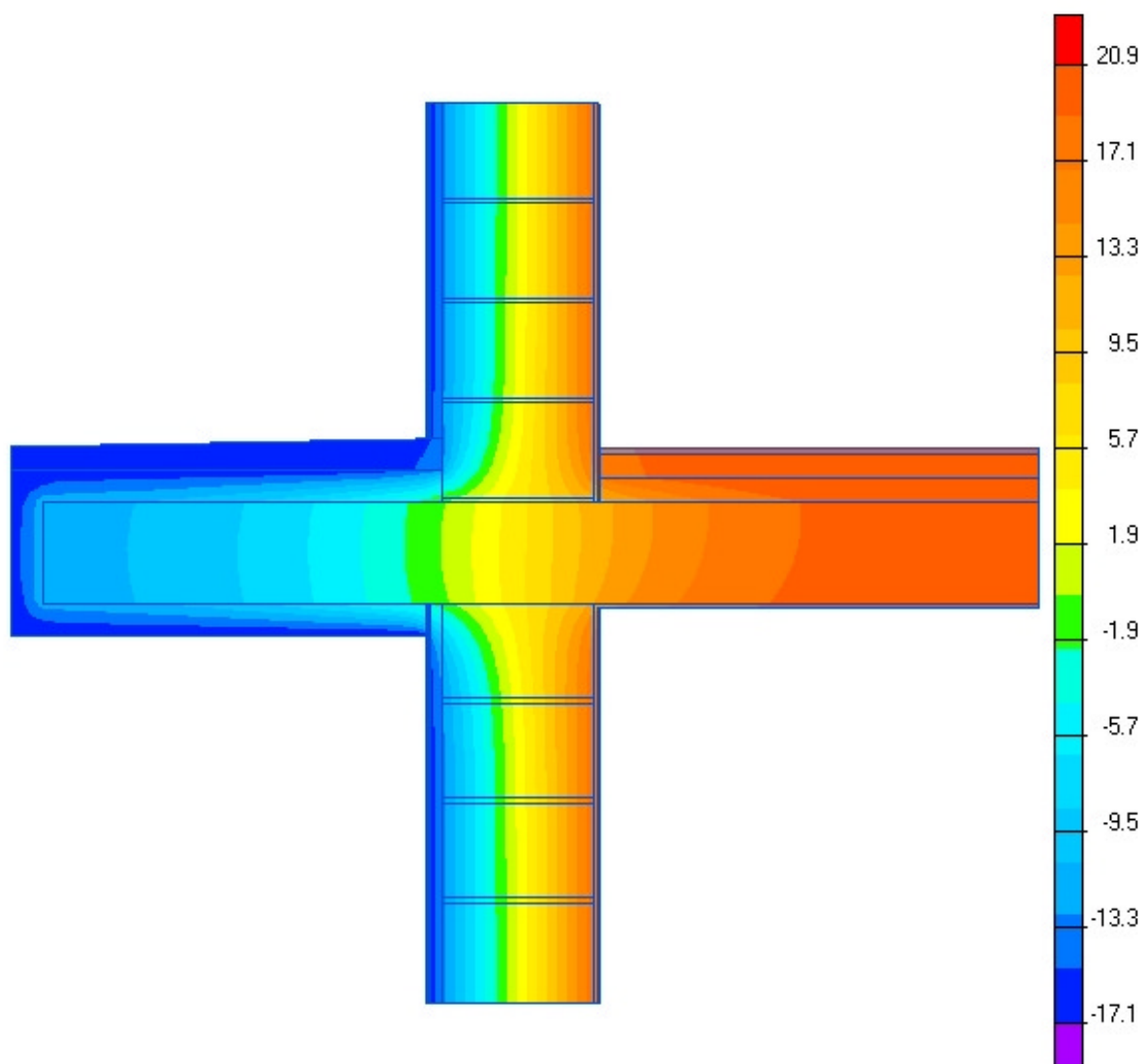




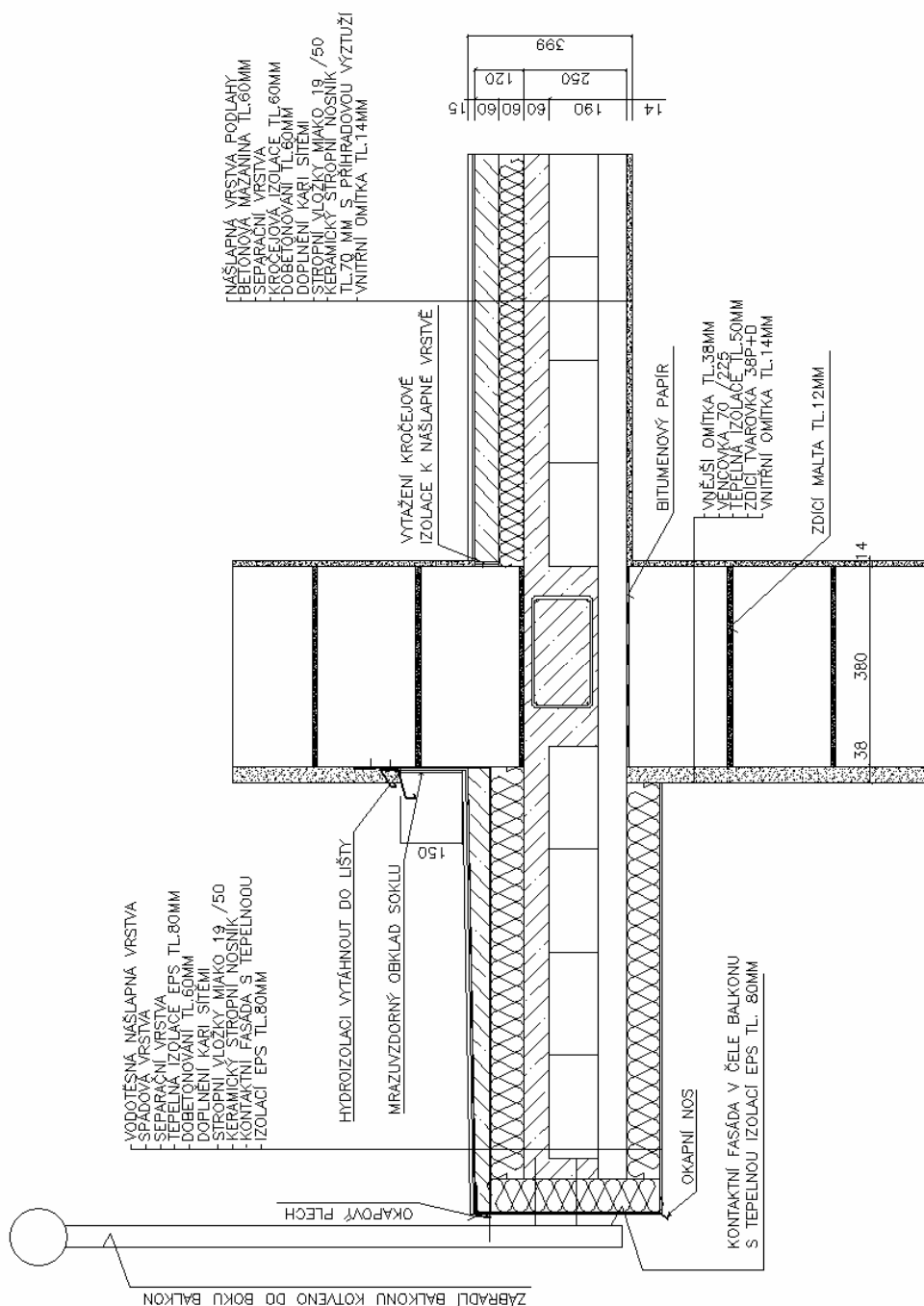




192 Detail balkónu a obvodového zdiva P+D 380 mm						
lineární činitel prostupu tepla - interiér dole z interiérových rozměrů $\psi_i^{Di}$ W/(m.K)	lineární činitel prostupu tepla - interiér nahoře z interiérových rozměrů $\psi_i^{Hi}$ W/(m.K)	lineární činitel prostupu tepla - exteriér $\psi_e$ W/(m.K)	lineární činitel prostupu tepla - dole z exteriérových rozměrů $\psi_i^{De}$ W/(m.K)	lineární činitel prostupu tepla - nahore z exteriérových rozměrů $\psi_i^{He}$ W/(m.K)	teplotní faktor dole $f_{Rsi}^D$ -	teplotní faktor nahore $f_{Rsi}^H$ -
0,083	0,283	0,244	0,055	0,189	0,8961	0,8143

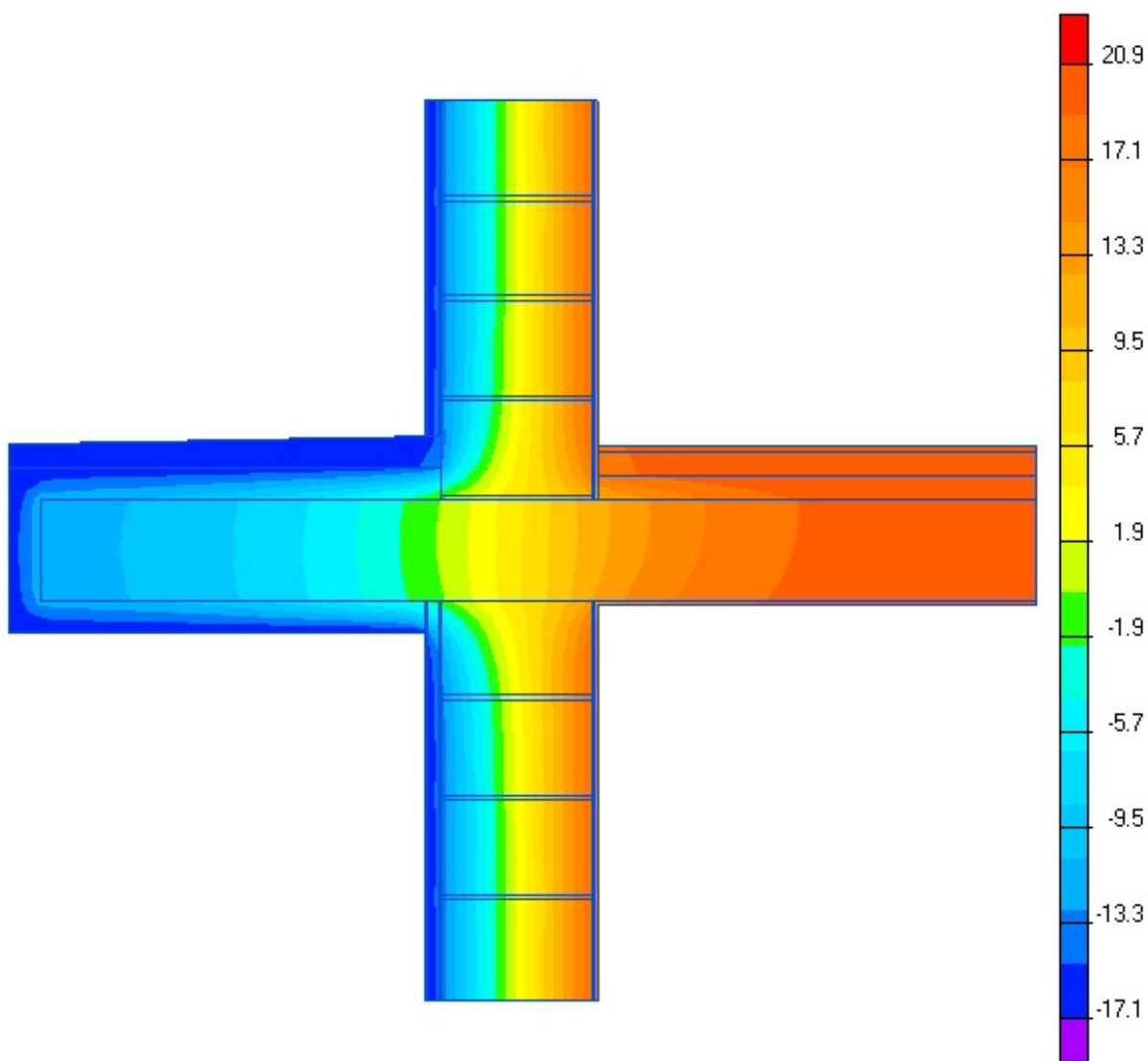




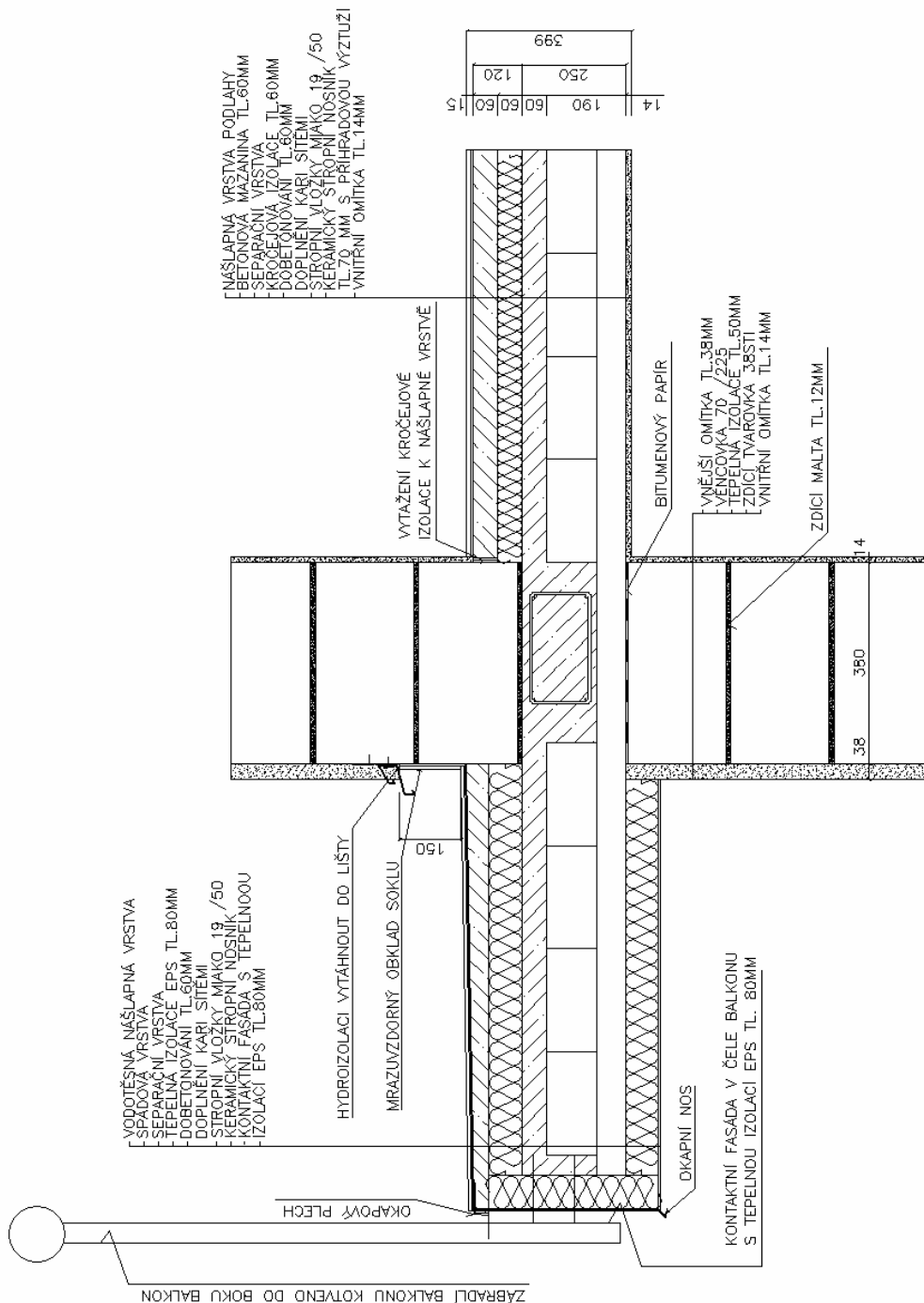




193 Detail balkónu a obvodového zdiva STI 380 mm						
lineární činitel prostupu tepla - interiér dole z interiérových rozměrů $\psi_i^{Di}$ W/(m.K)	lineární činitel prostupu tepla - interiér nahoře z interiérových rozměrů $\psi_i^{Hi}$ W/(m.K)	lineární činitel prostupu tepla - exteriér $\psi_e$ W/(m.K)	lineární činitel prostupu tepla - dole z exteriérových rozměrů $\psi_i^{De}$ W/(m.K)	lineární činitel prostupu tepla - nahore z exteriérových rozměrů $\psi_i^{He}$ W/(m.K)	teplotní faktor dole $f_{Rsi}^D$ -	teplotní faktor nahore $f_{Rsi}^H$ -
0,080	0,284	0,267	0,059	0,208	0,9118	0,8185

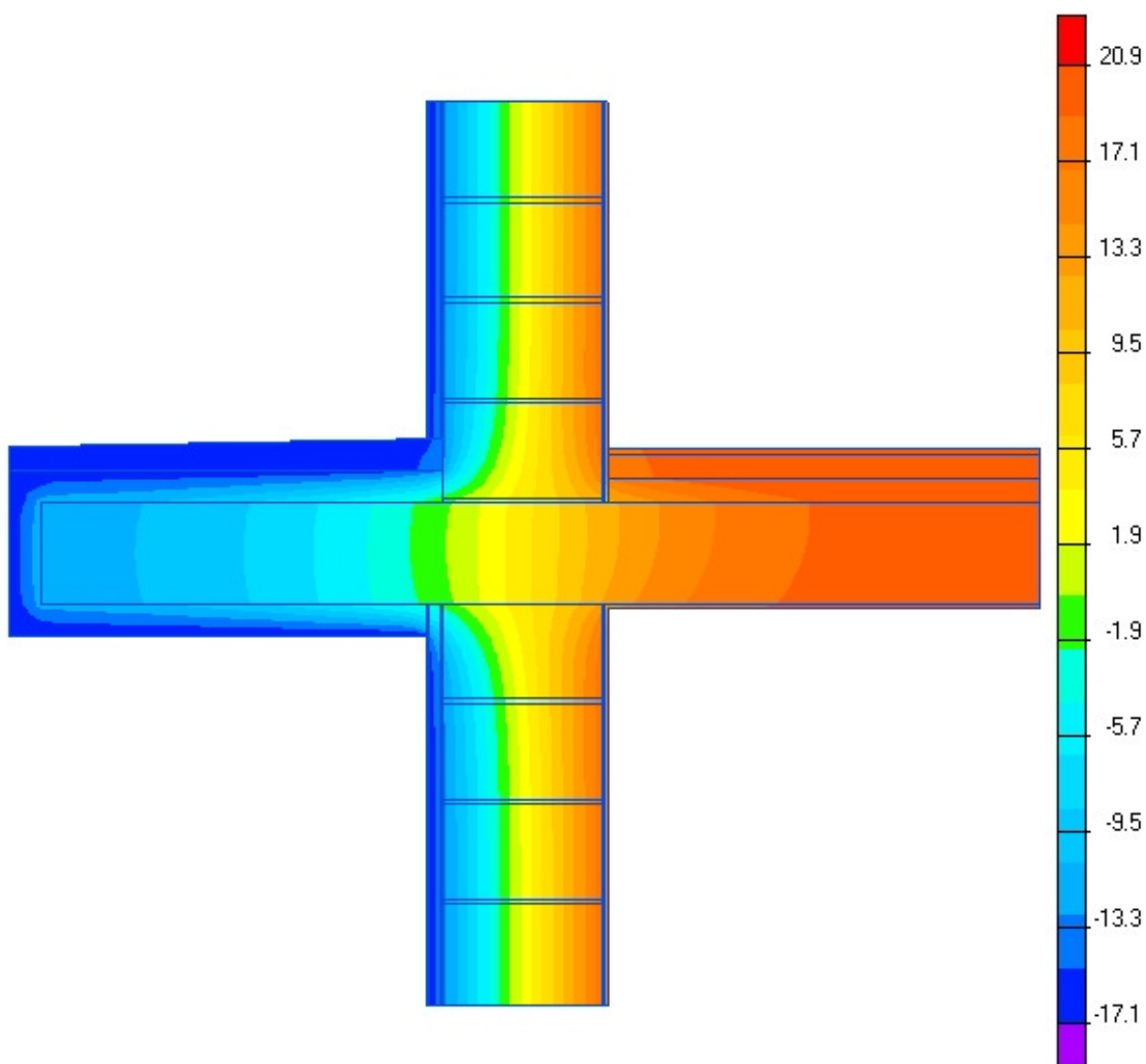




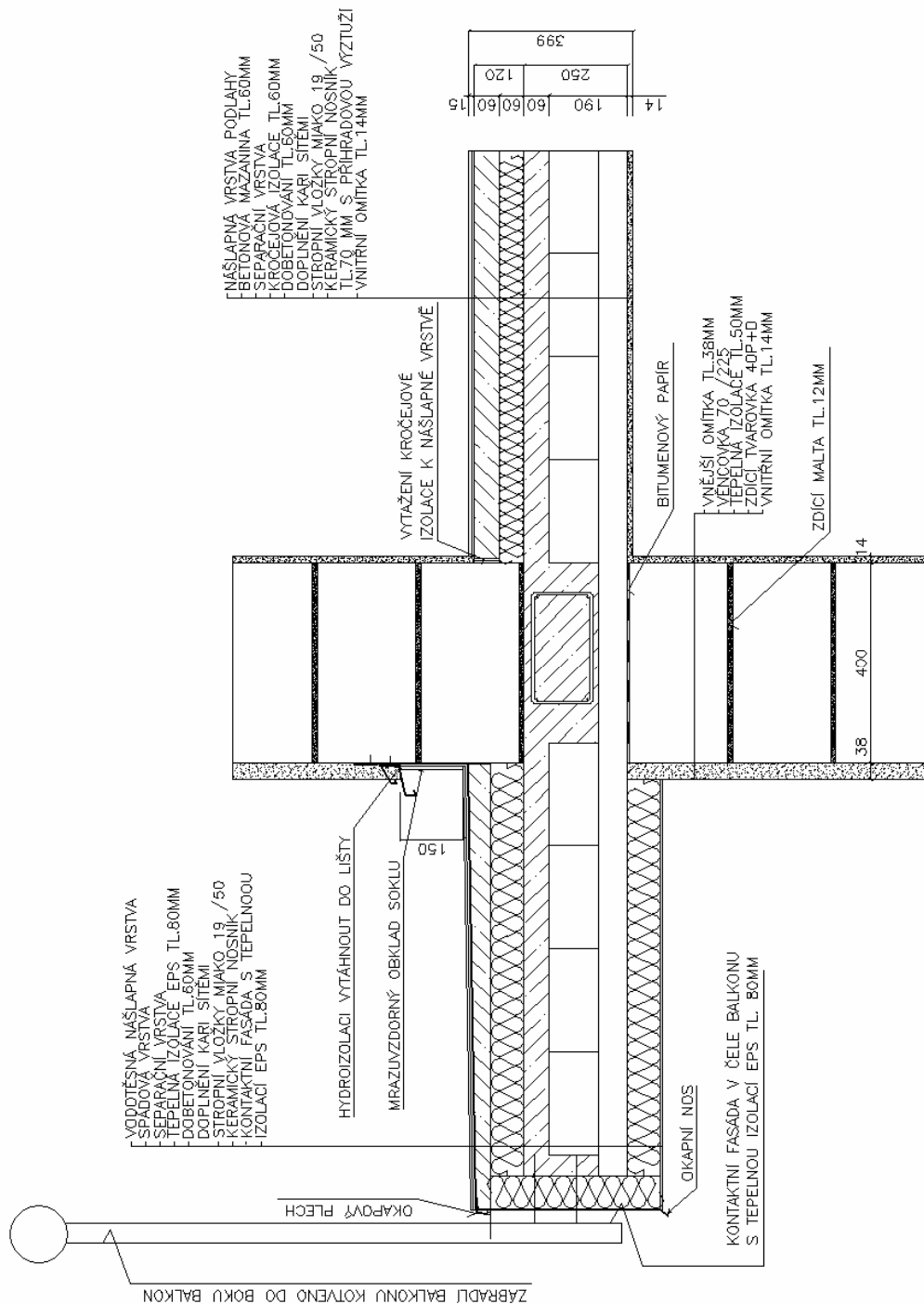




194 Detail balkónu a obvodového zdiva P+D 400 mm						
lineární činitel prostupu tepla - interiér dole z interiérových rozměrů $\psi_i^{Di}$ W/(m.K)	lineární činitel prostupu tepla - interiér nahoře z interiérových rozměrů $\psi_i^{Hi}$ W/(m.K)	lineární činitel prostupu tepla - exteriér $\psi_e$ W/(m.K)	lineární činitel prostupu tepla - dole z exteriérových rozměrů $\psi_i^{De}$ W/(m.K)	lineární činitel prostupu tepla - nahore z exteriérových rozměrů $\psi_i^{He}$ W/(m.K)	teplotní faktor dole $f_{Rsi}^D$ -	teplotní faktor nahore $f_{Rsi}^H$ -
0,071	0,272	0,253	0,053	0,201	0,9004	0,8173

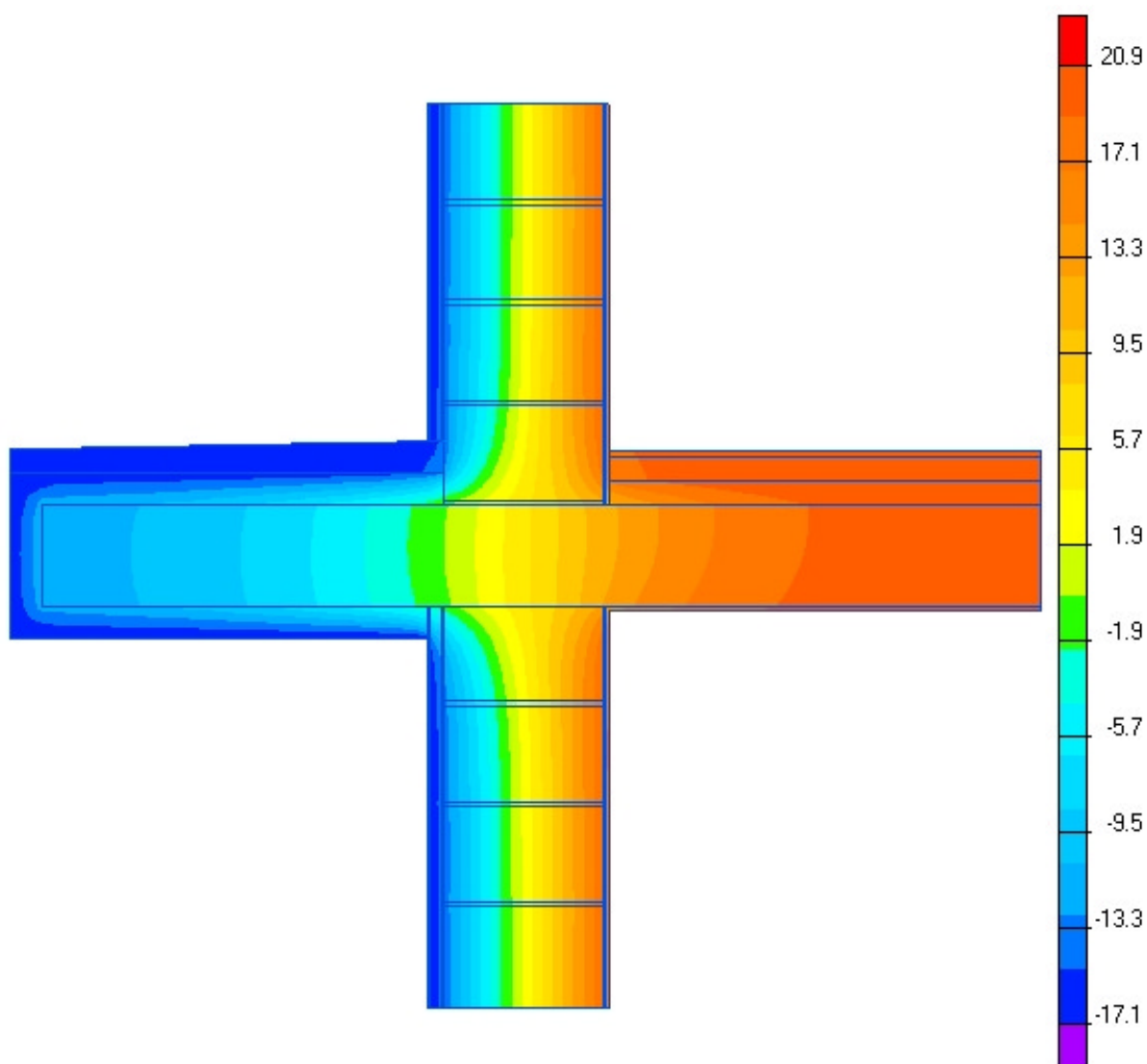




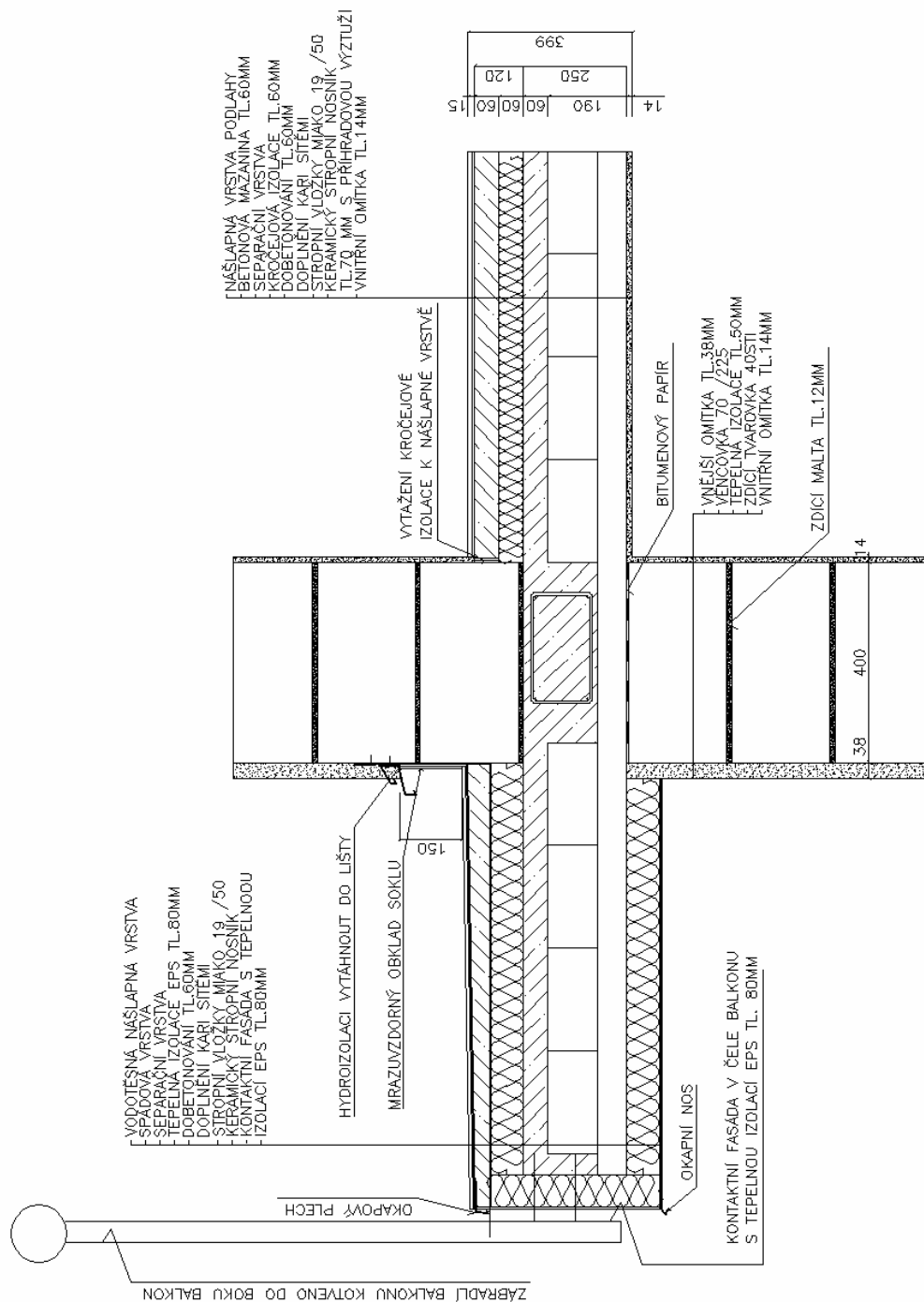




195 Detail balkónu a obvodového zdiva STI 400 mm						
lineární činitel prostupu tepla - interiér dole z interiérových rozměrů $\psi_i^{Di}$ W/(m.K)	lineární činitel prostupu tepla - interiér nahoře z interiérových rozměrů $\psi_i^{Hi}$ W/(m.K)	lineární činitel prostupu tepla - exteriér $\psi_e$ W/(m.K)	lineární činitel prostupu tepla - dole z exteriérových rozměrů $\psi_i^{De}$ W/(m.K)	lineární činitel prostupu tepla - nahore z exteriérových rozměrů $\psi_i^{He}$ W/(m.K)	teplotní faktor dole $f_{Rsi}^D$ -	teplotní faktor nahore $f_{Rsi}^H$ -
0,069	0,299	0,274	0,051	0,223	0,9179	0,8270

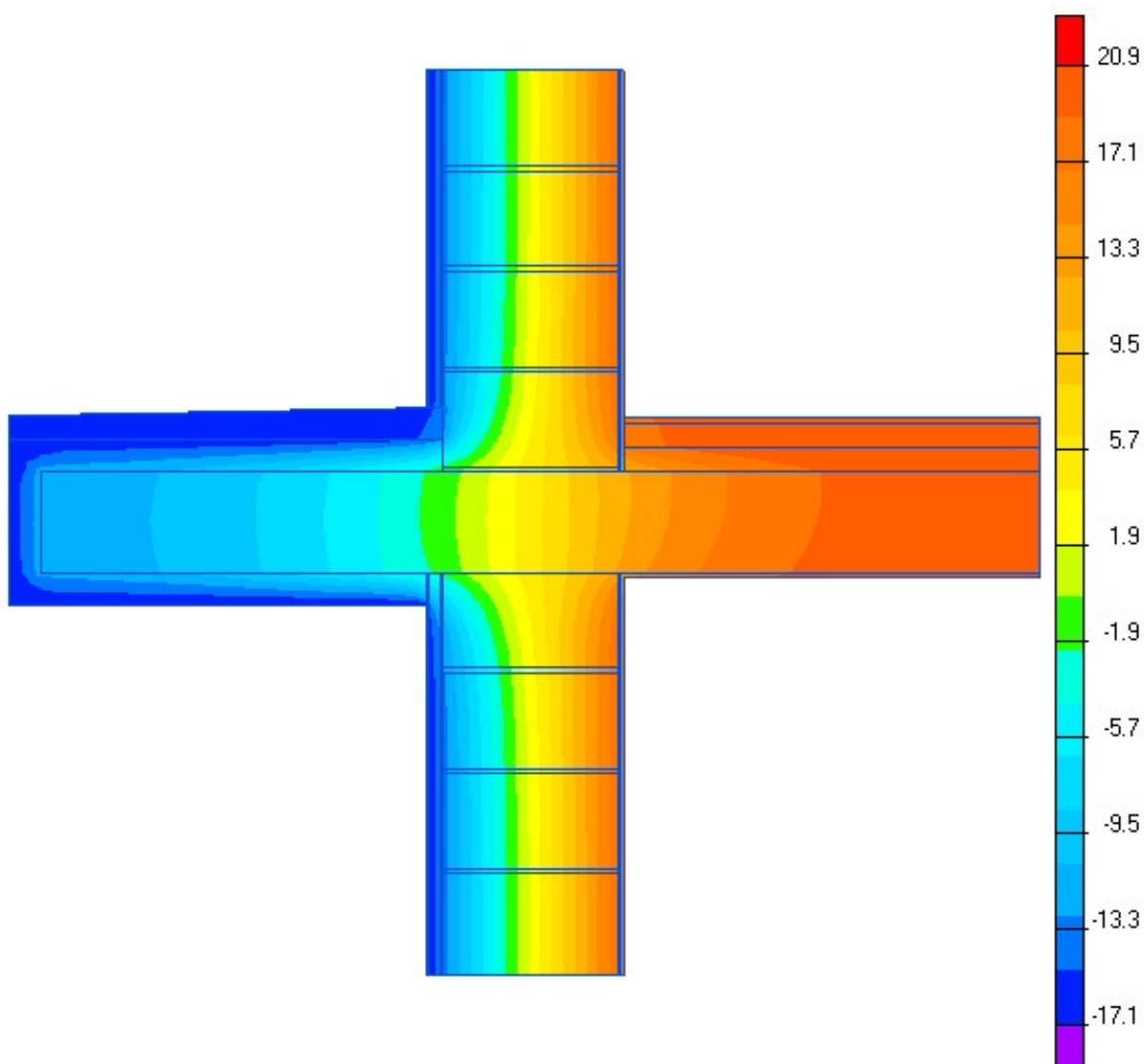




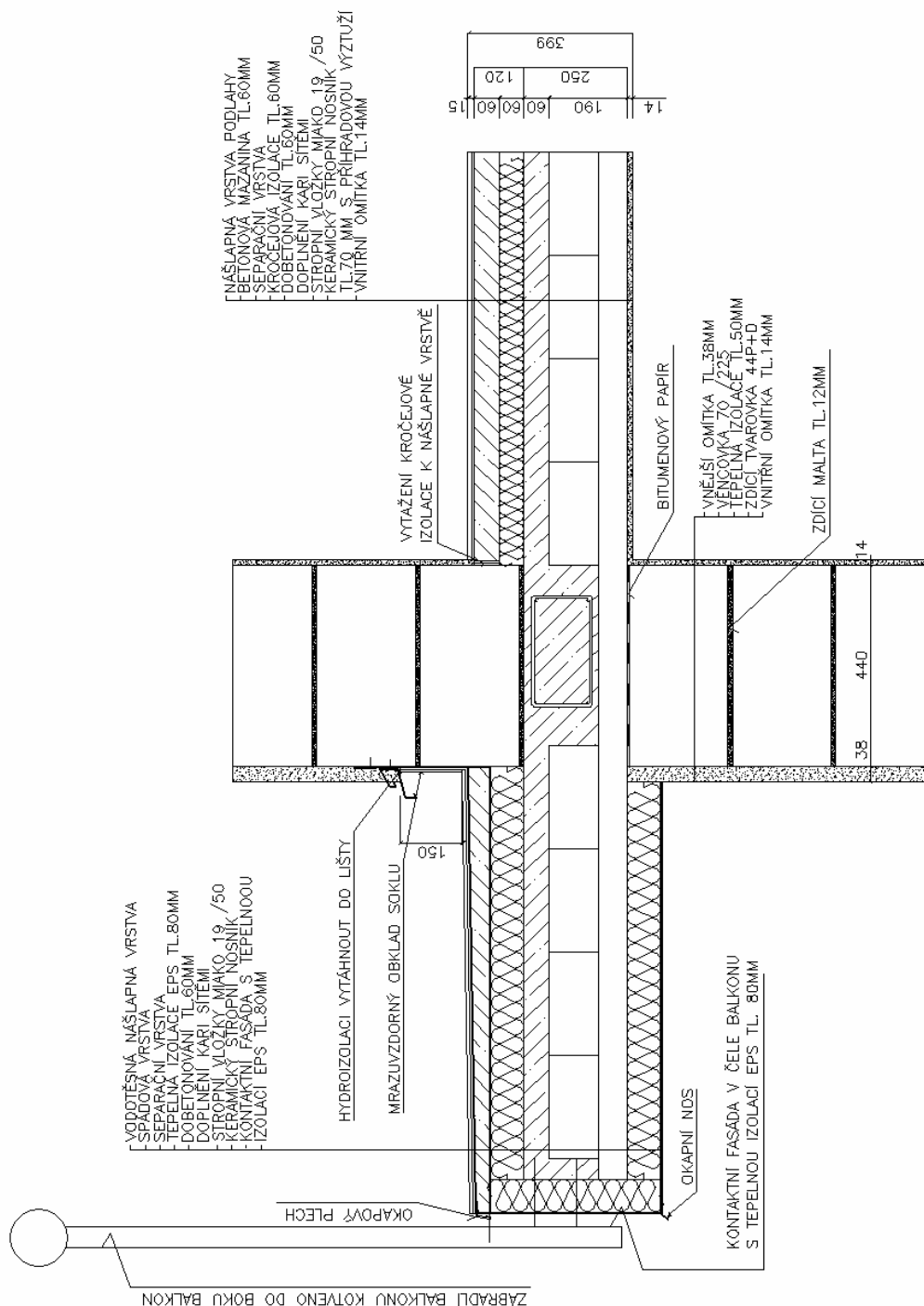




196 Detail balkónu a obvodového zdiva P+D 440 mm						
lineární činitel prostupu tepla - interiér dole z interiérových rozměrů $\psi_i^{Di}$ W/(m.K)	lineární činitel prostupu tepla - interiér nahoře z interiérových rozměrů $\psi_i^{Hi}$ W/(m.K)	lineární činitel prostupu tepla - exteriér $\psi_e$ W/(m.K)	lineární činitel prostupu tepla - dole z exteriérových rozměrů $\psi_i^{De}$ W/(m.K)	lineární činitel prostupu tepla - nahore z exteriérových rozměrů $\psi_i^{He}$ W/(m.K)	teplotní faktor dole $f_{Rsi}^D$ -	teplotní faktor nahore $f_{Rsi}^H$ -
0,069	0,290	0,251	0,048	0,203	0,9071	0,8230

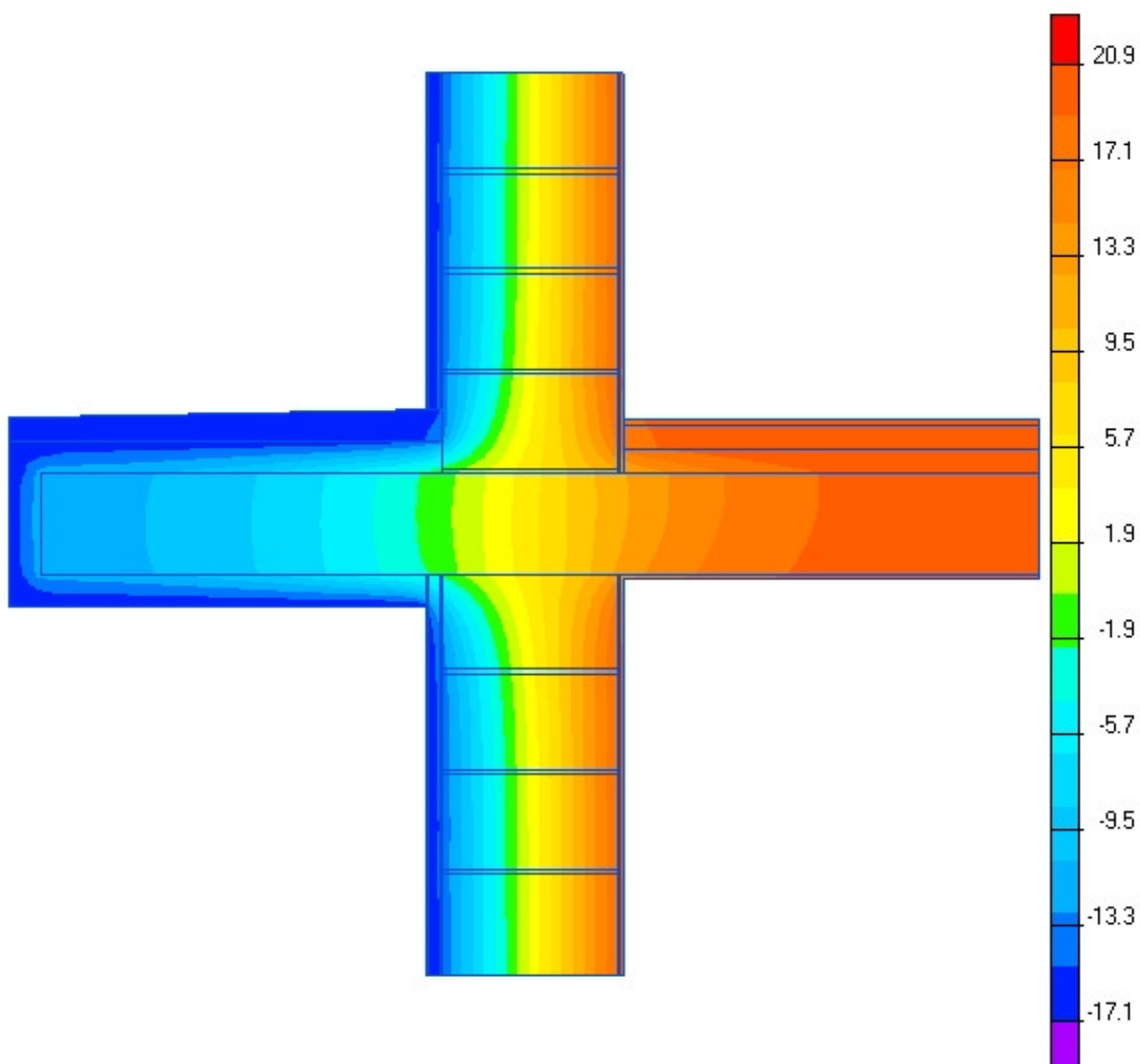




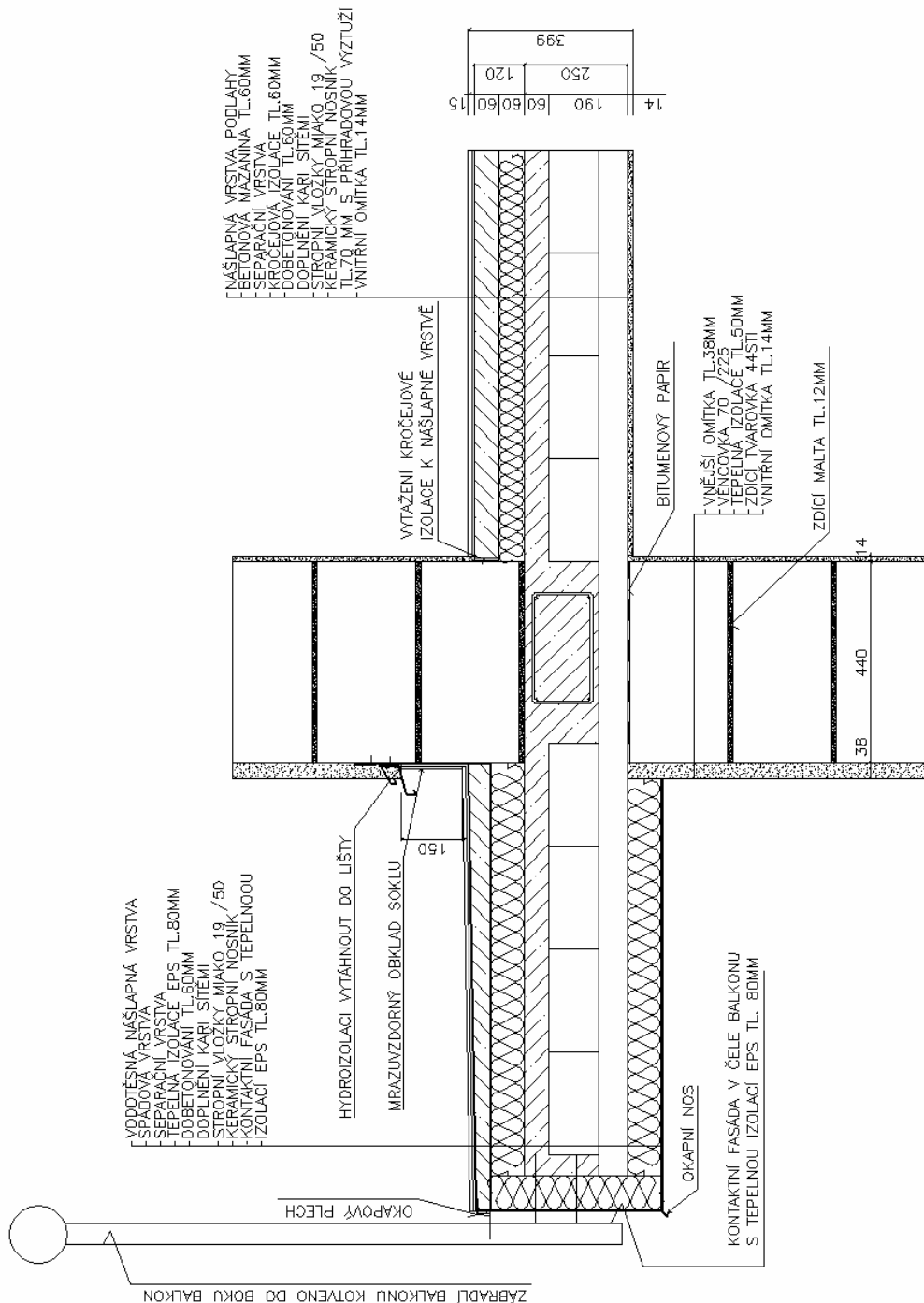




197 Detail balkónu a obvodového zdiva STI 440 mm						
lineární činitel prostupu tepla - interiér dole z interiérových rozměrů $\psi_i^{Di}$ W/(m.K)	lineární činitel prostupu tepla - interiér nahoře z interiérových rozměrů $\psi_i^{Hi}$ W/(m.K)	lineární činitel prostupu tepla - exteriér $\psi_e$ W/(m.K)	lineární činitel prostupu tepla - dole z exteriérových rozměrů $\psi_i^{De}$ W/(m.K)	lineární činitel prostupu tepla - nahore z exteriérových rozměrů $\psi_i^{He}$ W/(m.K)	teplotní faktor dole $f_{Rsi}^D$ -	teplotní faktor nahore $f_{Rsi}^H$ -
0,066	0,290	0,271	0,050	0,220	0,9179	0,8270

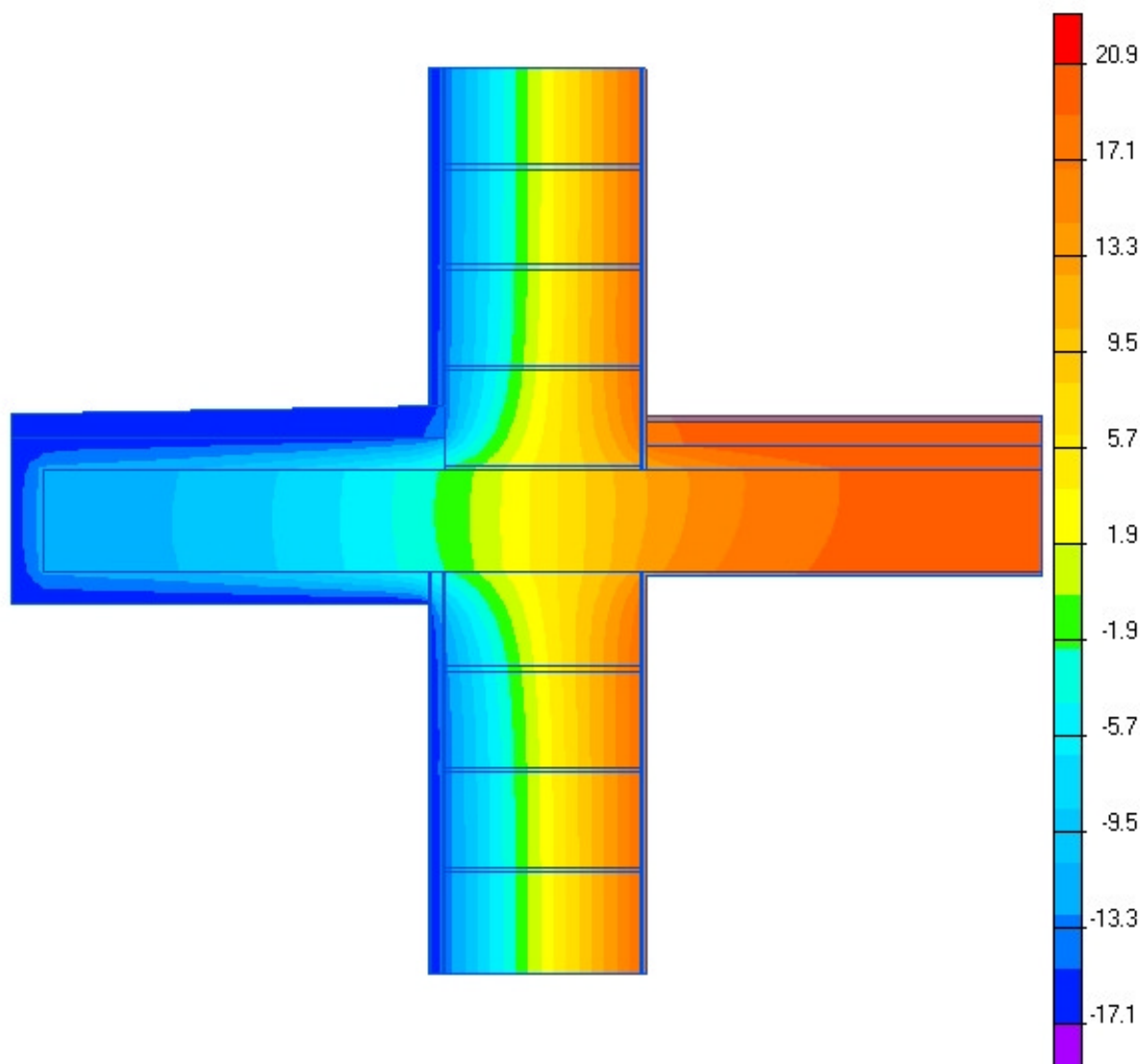




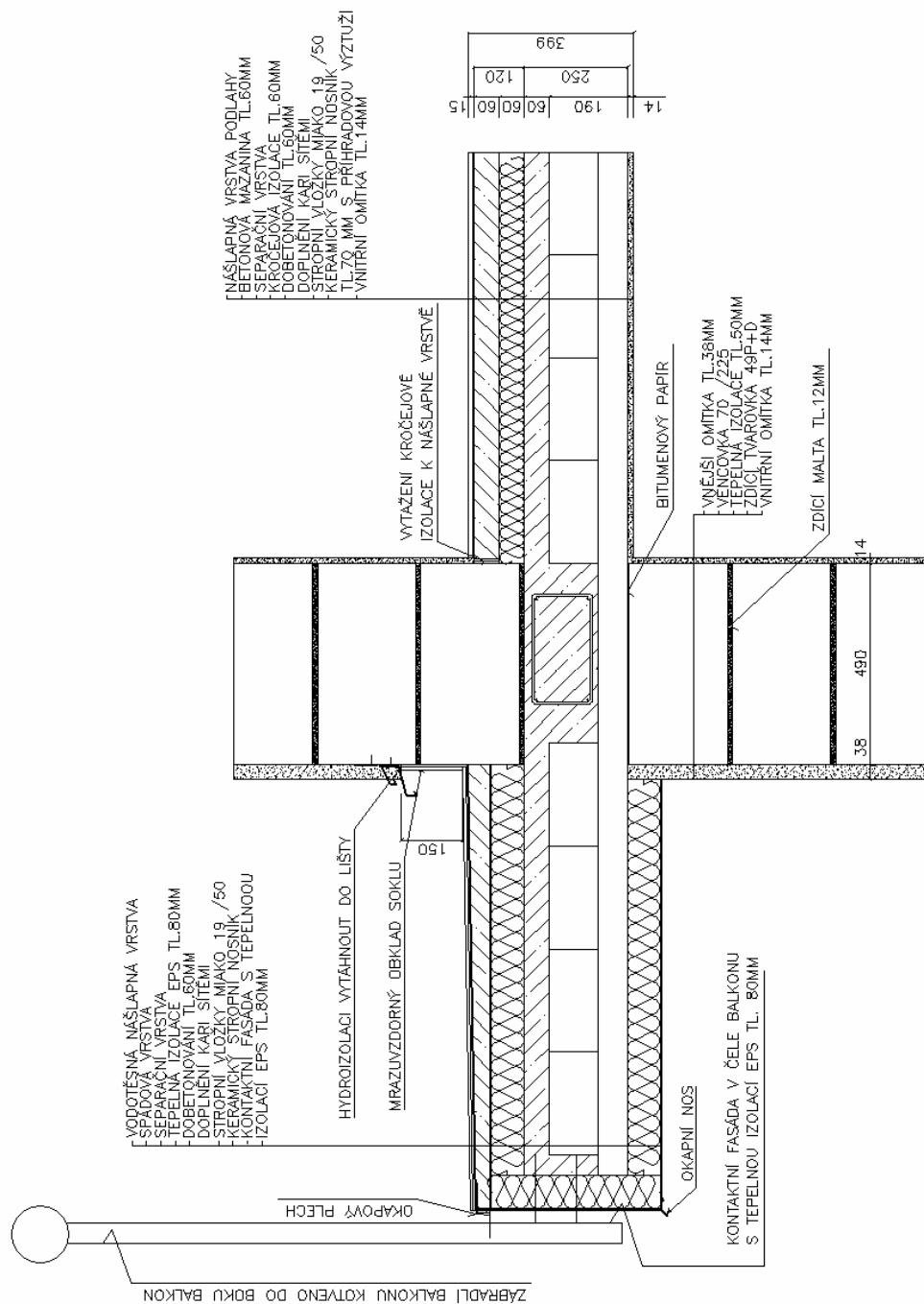




198 Detail balkónu a obvodového zdiva P+D 490 mm						
lineární činitel prostupu tepla - interiér dole z interiérových rozměrů $\psi_i^{Di}$ W/(m.K)	lineární činitel prostupu tepla - interiér nahoře z interiérových rozměrů $\psi_i^{Hi}$ W/(m.K)	lineární činitel prostupu tepla - exteriér $\psi_e$ W/(m.K)	lineární činitel prostupu tepla - dole z exteriérových rozměrů $\psi_i^{De}$ W/(m.K)	lineární činitel prostupu tepla - nahore z exteriérových rozměrů $\psi_i^{He}$ W/(m.K)	teplotní faktor dole $f_{Rsi}^D$ -	teplotní faktor nahore $f_{Rsi}^H$ -
0,065	0,280	0,248	0,047	0,201	0,9121	0,8298

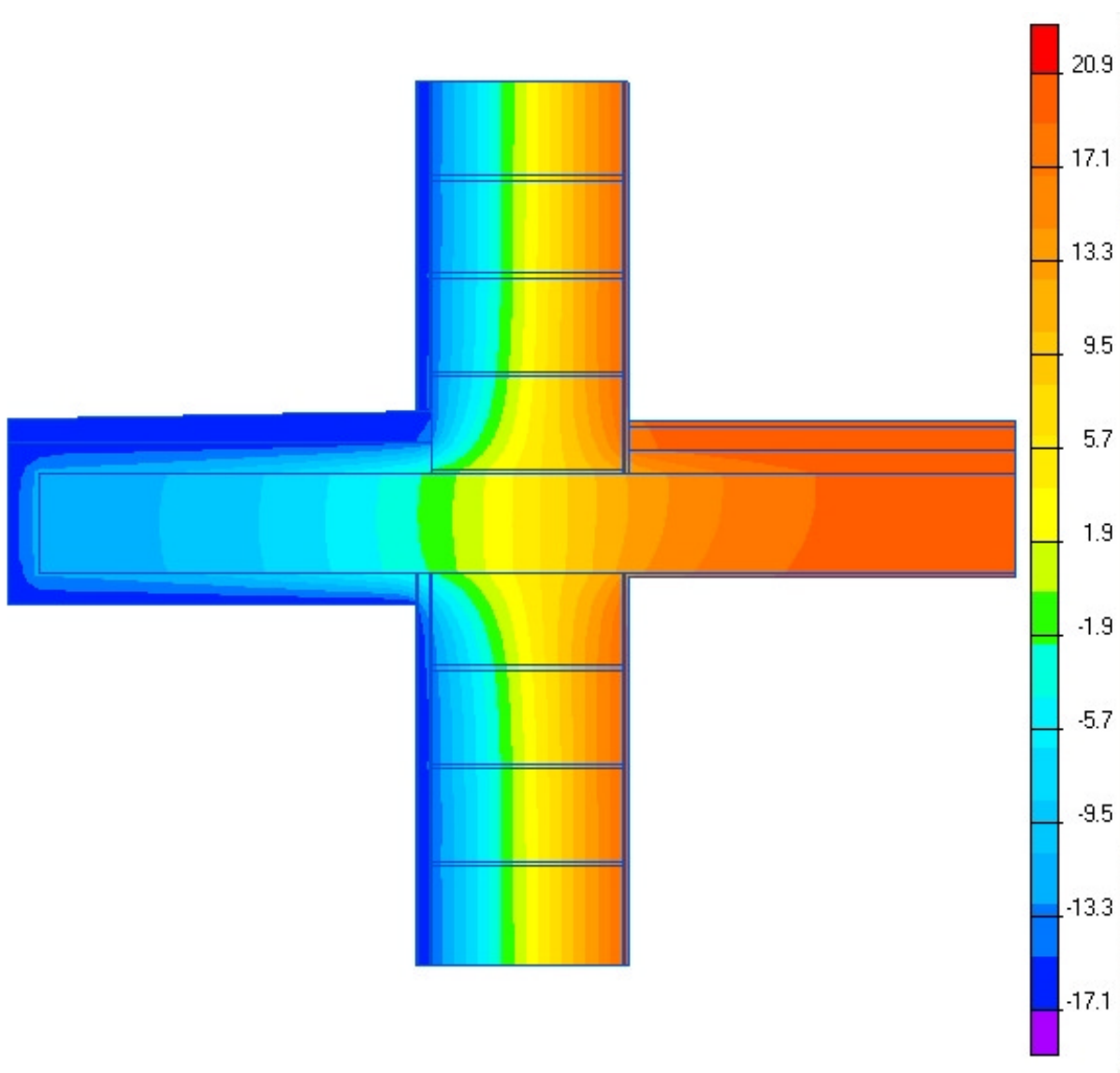




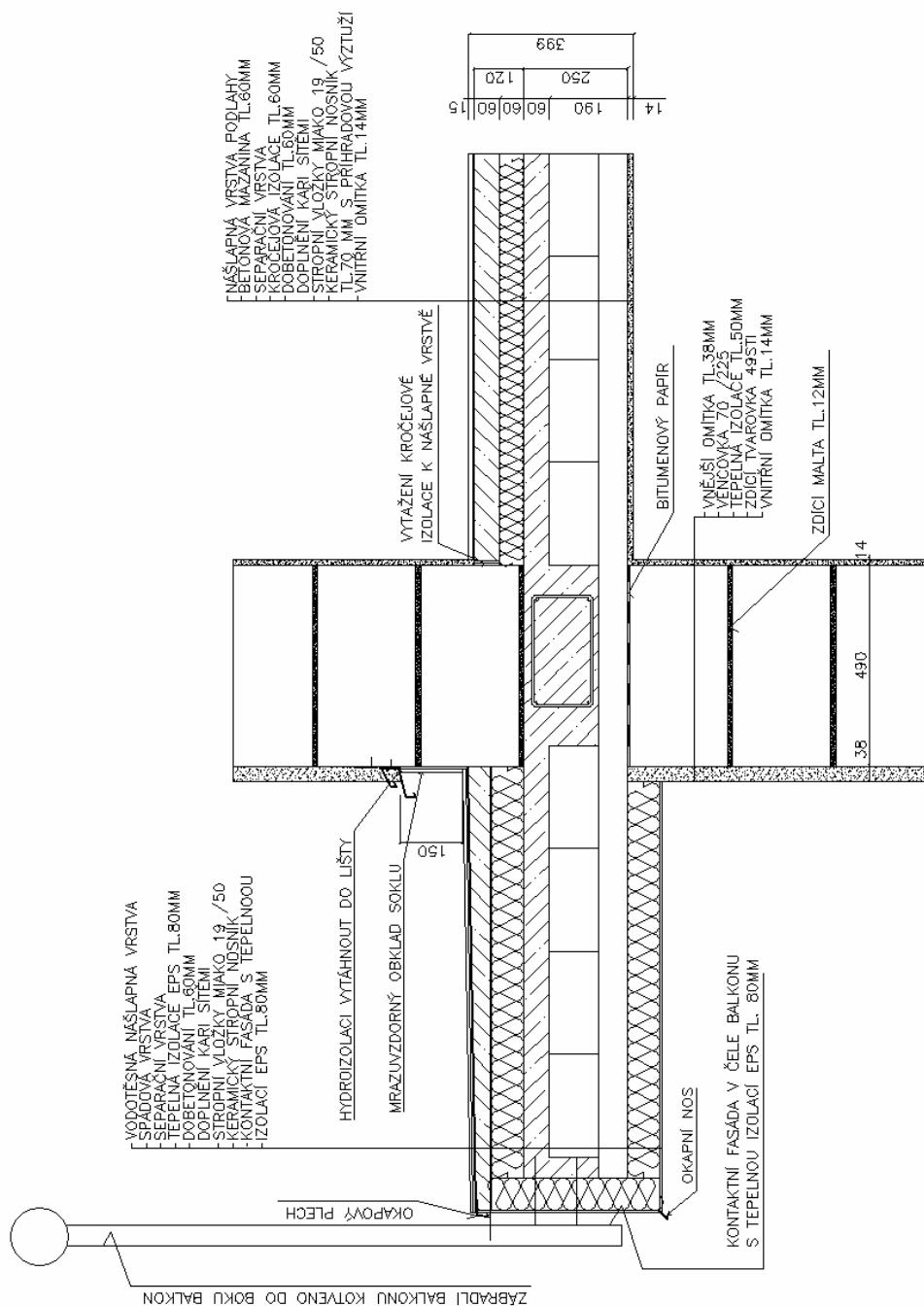




199 Detail balkónu a obvodového zdiva STI 490 mm						
lineární činitel prostupu tepla - interiér dole z interiérových rozměrů $\psi_i^{Di}$ W/(m.K)	lineární činitel prostupu tepla - interiér nahoře z interiérových rozměrů $\psi_i^{Hi}$ W/(m.K)	lineární činitel prostupu tepla - exteriér $\psi_e$ W/(m.K)	lineární činitel prostupu tepla - dole z exteriérových rozměrů $\psi_i^{De}$ W/(m.K)	lineární činitel prostupu tepla - nahore z exteriérových rozměrů $\psi_i^{He}$ W/(m.K)	teplotní faktor dole $f_{Rsi}^D$ -	teplotní faktor nahore $f_{Rsi}^H$ -
0,063	0,280	0,265	0,049	0,217	0,9219	0,8334

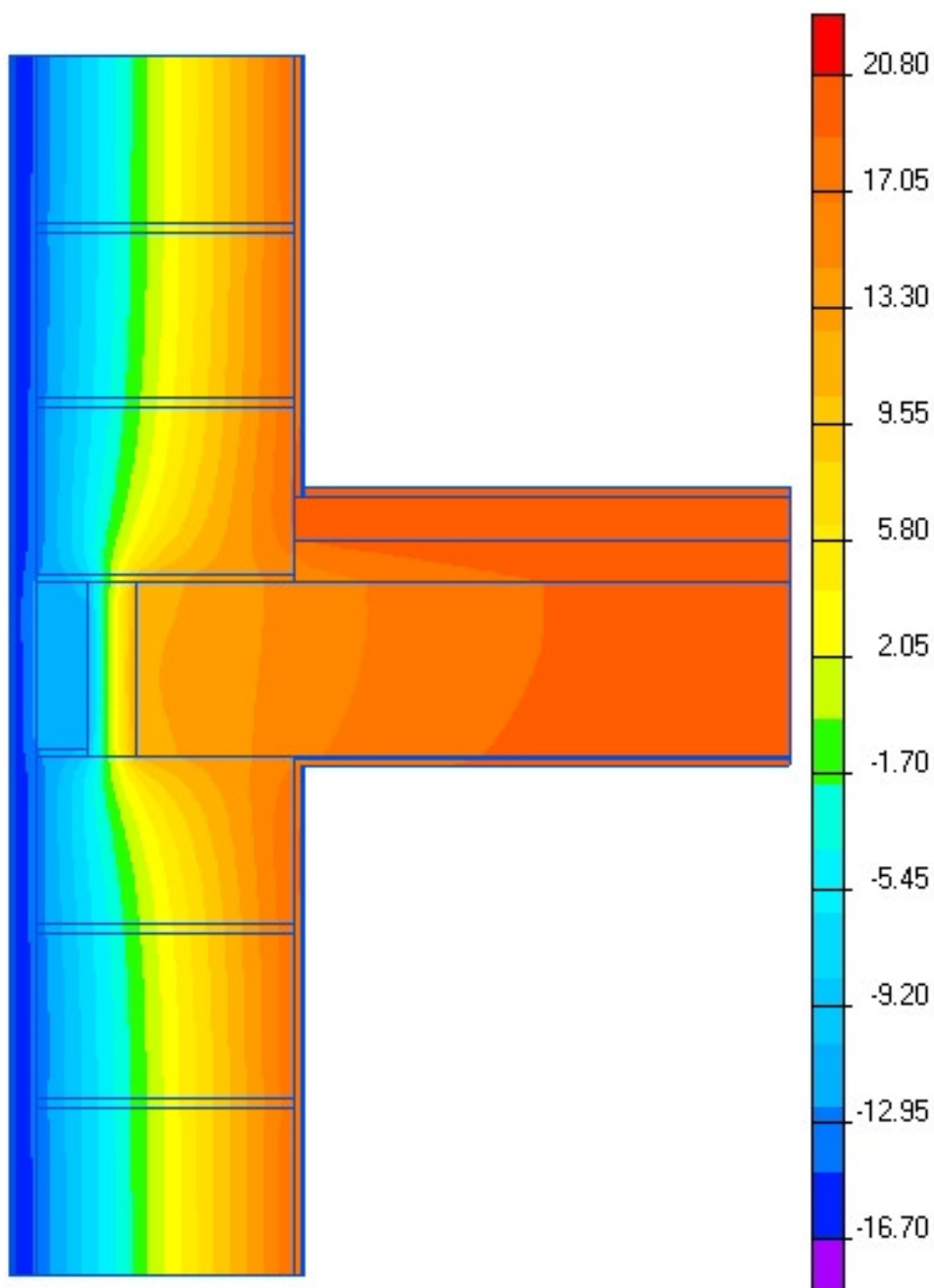




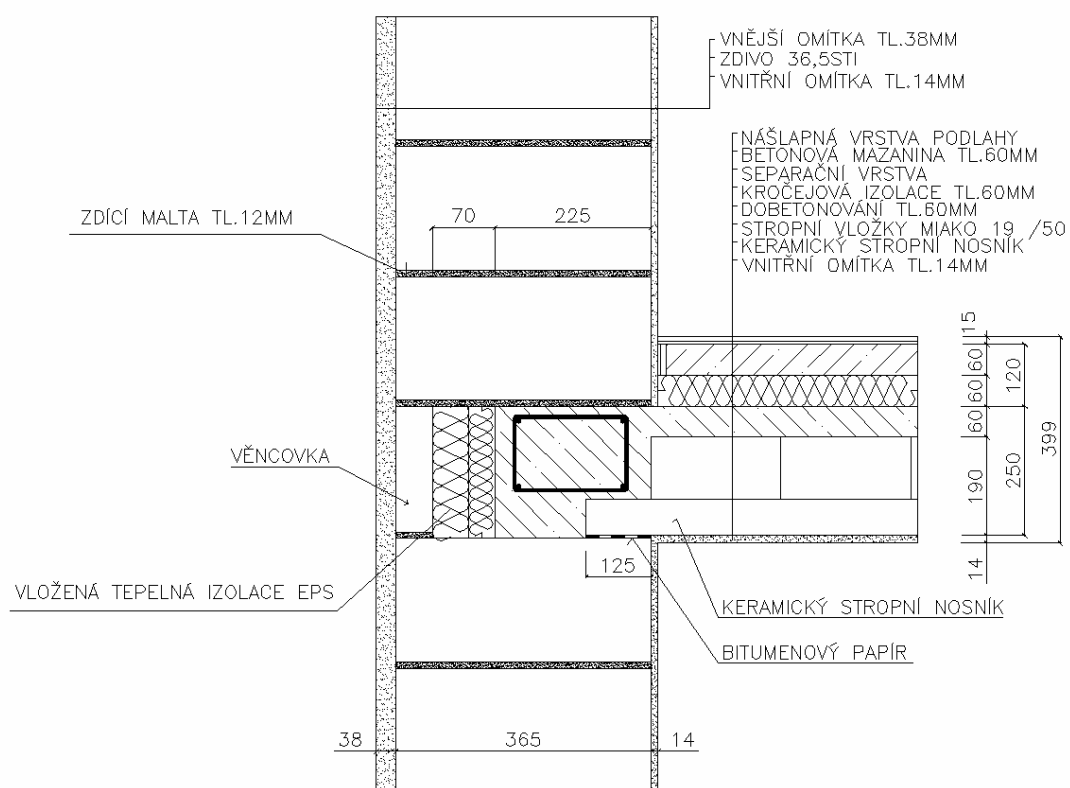




201 Detail ztužujícího věnce mezi vytápěnými podlažími STI 365 mm						
lineární činitel prostupu tepla - interiér dole z interiérových rozměrů $\psi_i^{Di}$ W/(m.K)	lineární činitel prostupu tepla - interiér nahoře z interiérových rozměrů $\psi_i^{Hi}$ W/(m.K)	lineární činitel prostupu tepla - exteriér $\psi_e$ W/(m.K)	lineární činitel prostupu tepla - dole z exteriérových rozměrů $\psi_i^{De}$ W/(m.K)	lineární činitel prostupu tepla - nahore z exteriérových rozměrů $\psi_i^{He}$ W/(m.K)	teplotní faktor dole $f_{Rsi}^D$ -	teplotní faktor nahore $f_{Rsi}^H$ -
0,041	0,149	0,088	0,019	0,069	0,9111	0,8908

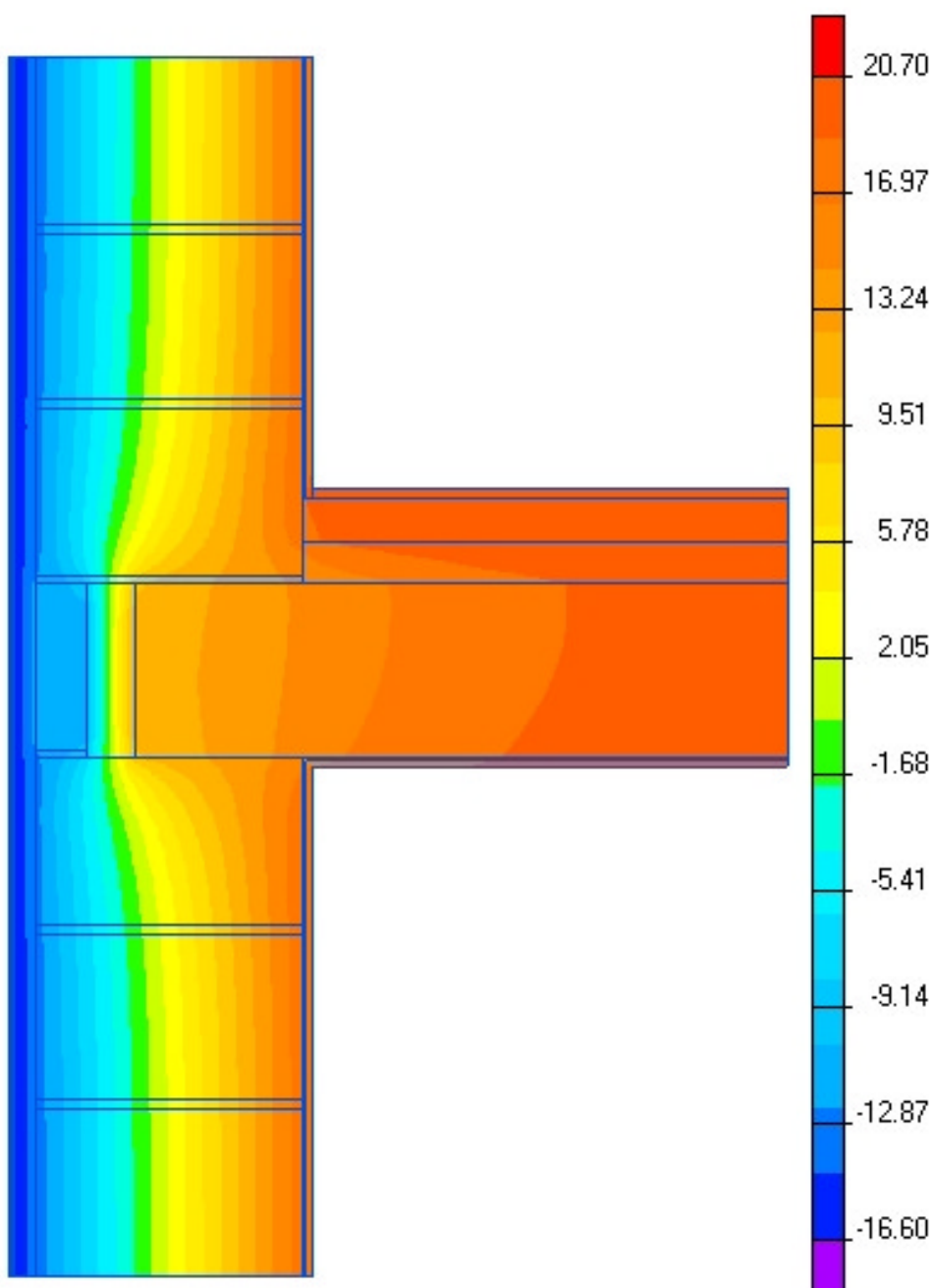




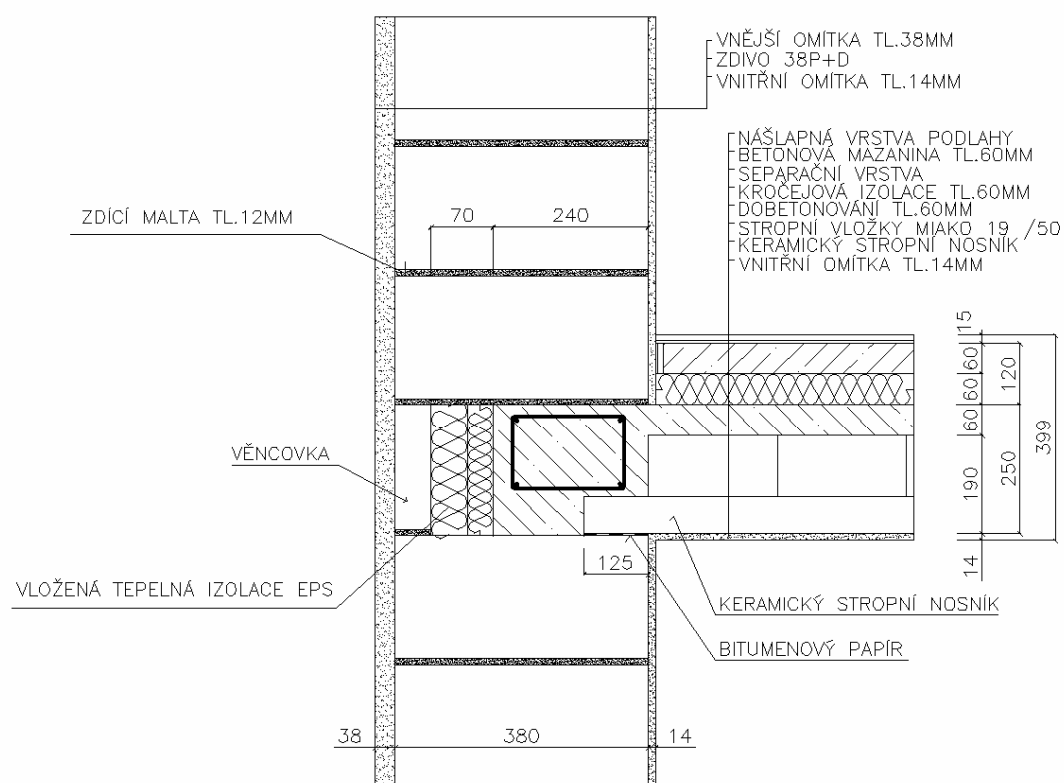




202 Detail ztužujícího věnce mezi vytápěnými podlažími P+D 380 mm						
lineární činitel prostupu tepla - interiér dole z interiérových rozměrů $\psi_i^{Di}$ W/(m.K)	lineární činitel prostupu tepla - interiér nahoře z interiérových rozměrů $\psi_i^{Hi}$ W/(m.K)	lineární činitel prostupu tepla - exteriér $\psi_e$ W/(m.K)	lineární činitel prostupu tepla - dole z exteriérových rozměrů $\psi_i^{De}$ W/(m.K)	lineární činitel prostupu tepla - nahore z exteriérových rozměrů $\psi_i^{He}$ W/(m.K)	teplotní faktor dole $f_{Rsi}^D$ -	teplotní faktor nahore $f_{Rsi}^H$ -
0,037	0,165	0,080	0,015	0,066	0,8981	0,8815

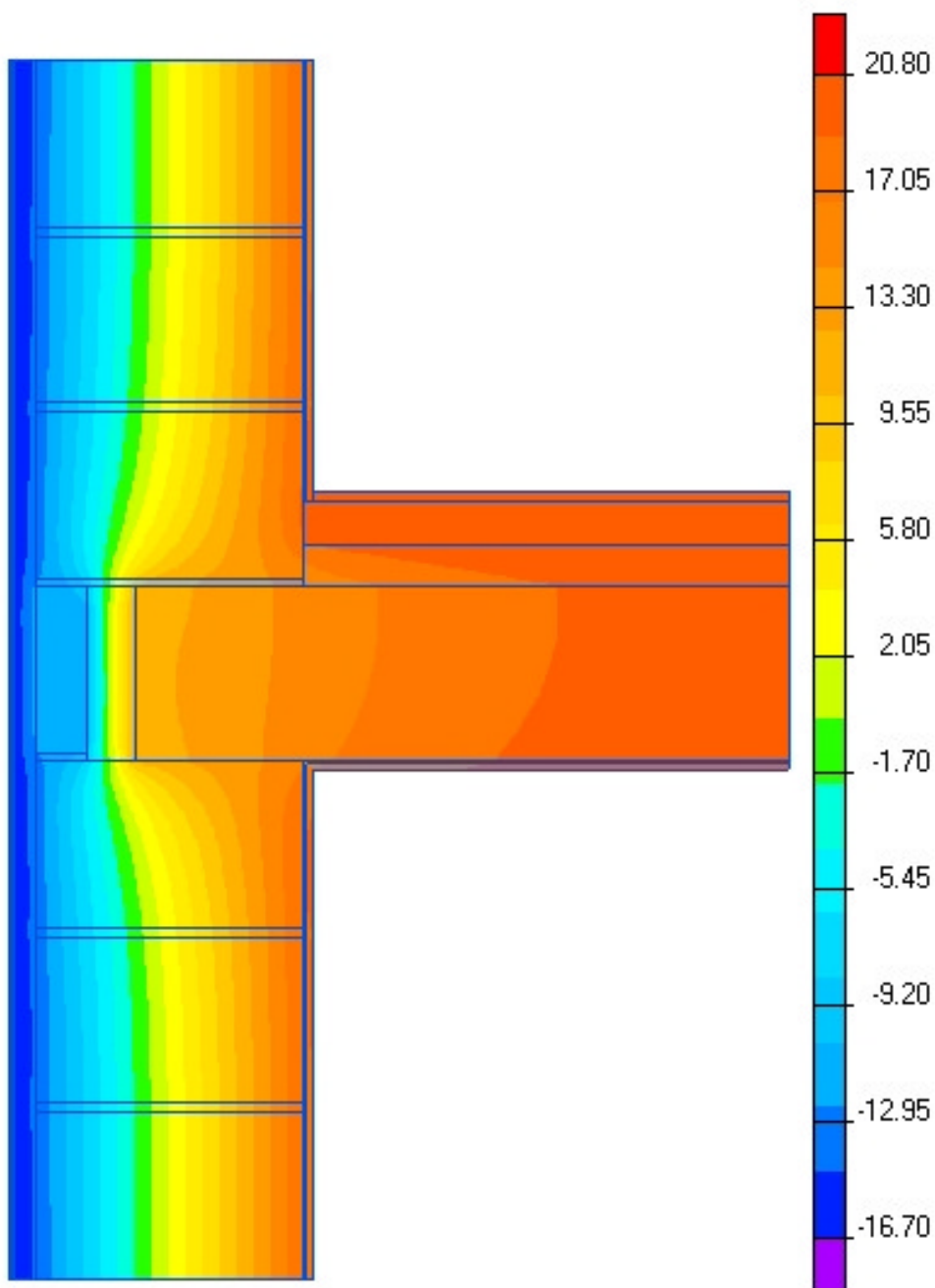




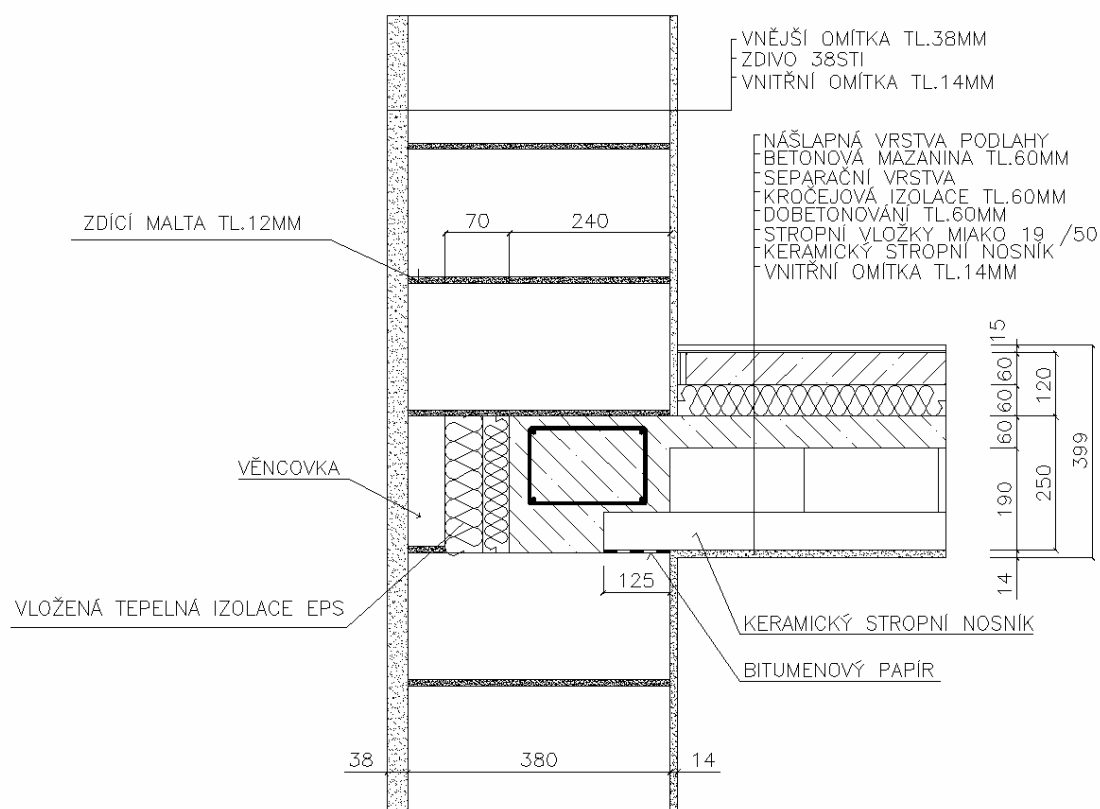




203 Detail ztužujícího věnce mezi vytápěnými podlažími STI 380 mm						
lineární činitel prostupu tepla - interiér dole z interiérových rozměrů $\psi_i^{Di}$ W/(m.K)	lineární činitel prostupu tepla - interiér nahoře z interiérových rozměrů $\psi_i^{Hi}$ W/(m.K)	lineární činitel prostupu tepla - exteriér $\psi_e$ W/(m.K)	lineární činitel prostupu tepla - dole z exteriérových rozměrů $\psi_i^{De}$ W/(m.K)	lineární činitel prostupu tepla - nahore z exteriérových rozměrů $\psi_i^{He}$ W/(m.K)	teplotní faktor dole $f_{Rsi}^D$ -	teplotní faktor nahore $f_{Rsi}^H$ -
0,034	0,159	0,095	0,017	0,078	0,9143	0,8905

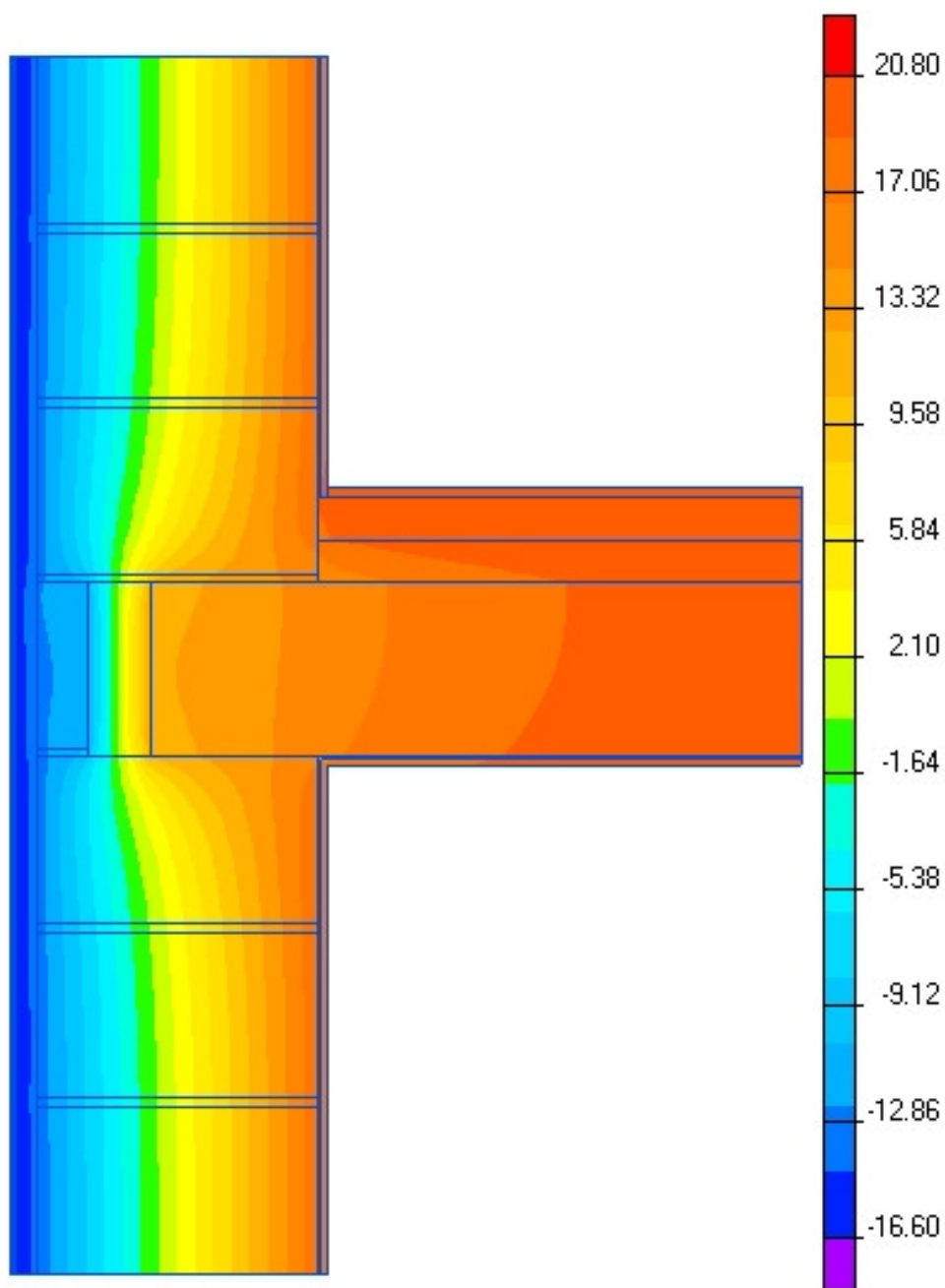






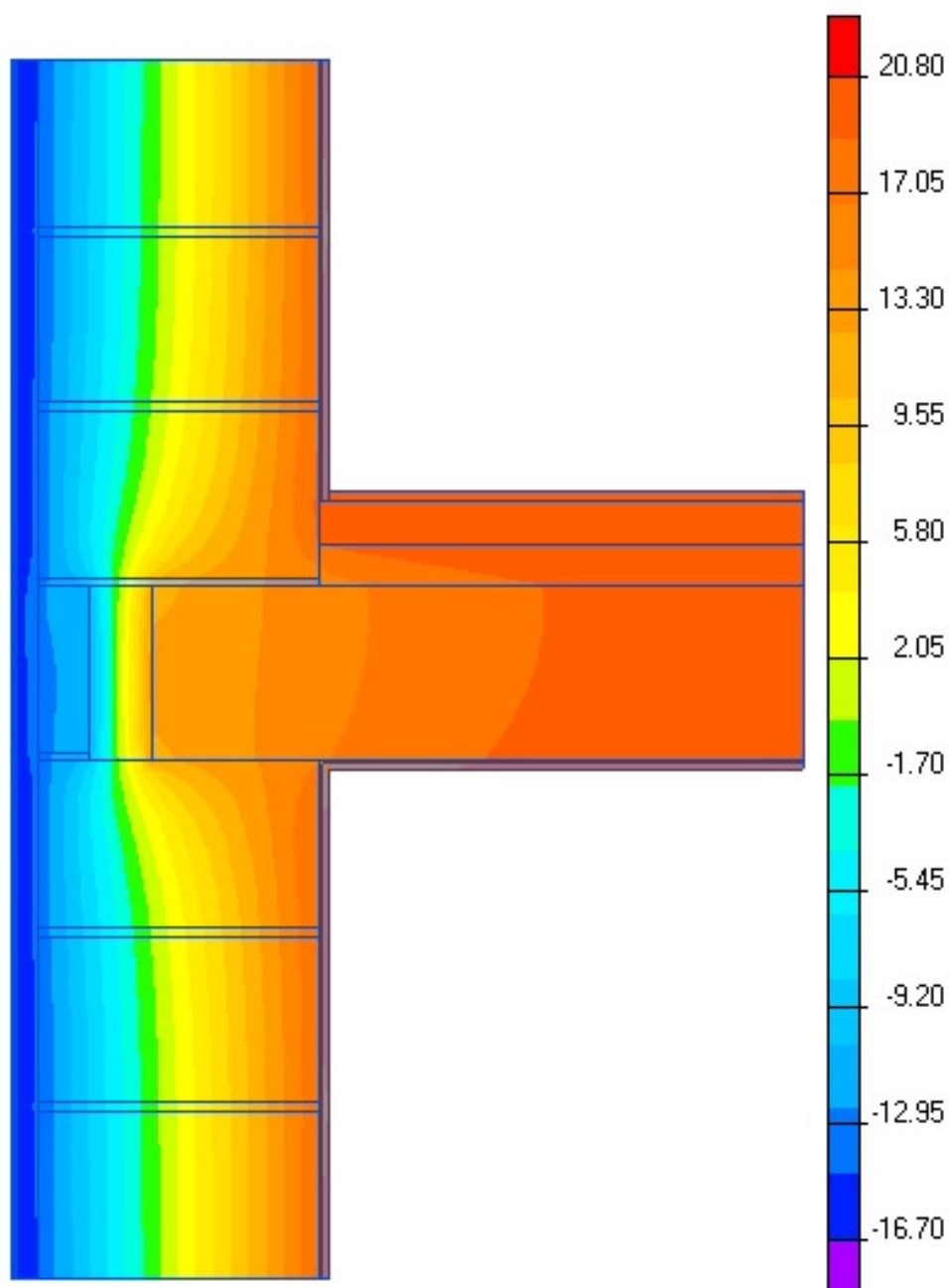


204 Detail ztužujícího věnce mezi vytápěnými podlažími P+D 400 mm						
lineární činitel prostupu tepla - interiér dole z interiérových rozměrů $\psi_i^{Di}$ W/(m.K)	lineární činitel prostupu tepla - interiér nahoře z interiérových rozměrů $\psi_i^{Hi}$ W/(m.K)	lineární činitel prostupu tepla - exteriér $\psi_e$ W/(m.K)	lineární činitel prostupu tepla - dole z exteriérových rozměrů $\psi_i^{De}$ W/(m.K)	lineární činitel prostupu tepla - nahoře z exteriérových rozměrů $\psi_i^{He}$ W/(m.K)	teplotní faktor dole $f_{Rsi}^D$ -	teplotní faktor nahoře $f_{Rsi}^H$ -
0,033	0,148	0,065	0,012	0,053	0,9025	0,8913

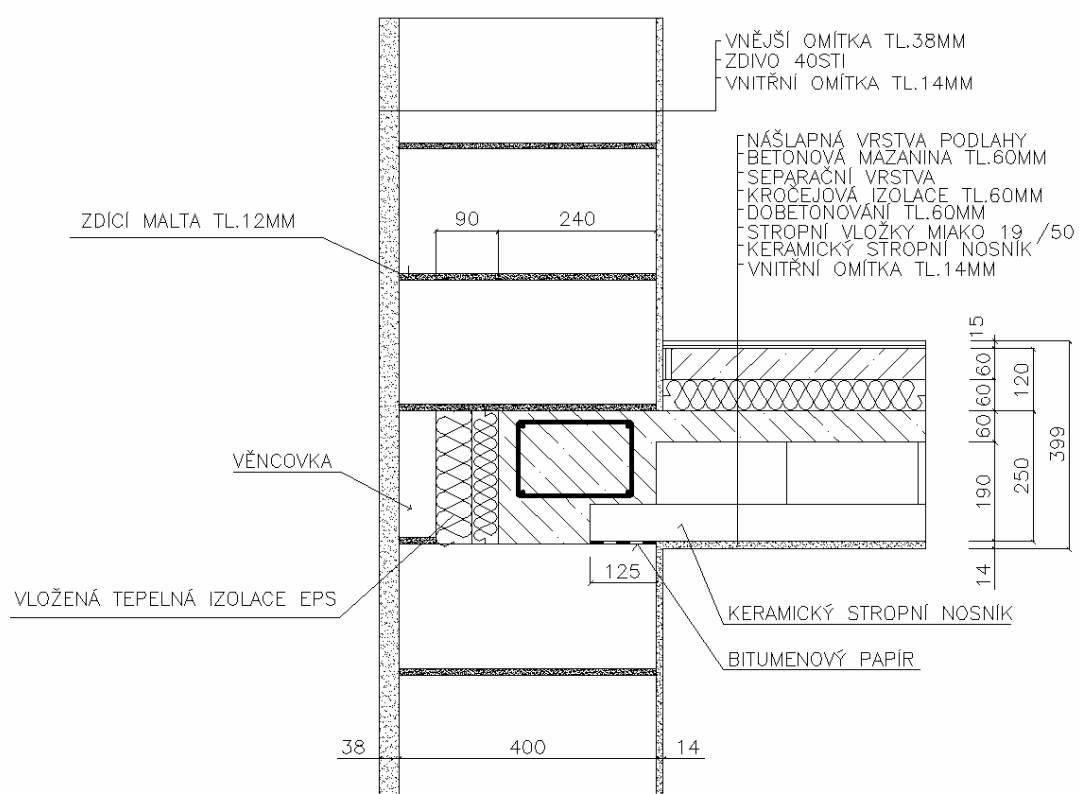




205 Detail ztužujícího věnce mezi vytápěnými podlažími STI 400 mm						
lineární činitel prostupu tepla - interiér dole z interiérových rozměrů $\psi_i^{Di}$ W/(m.K)	lineární činitel prostupu tepla - interiér nahoře z interiérových rozměrů $\psi_i^{Hi}$ W/(m.K)	lineární činitel prostupu tepla - exteriér $\psi_e$ W/(m.K)	lineární činitel prostupu tepla - dole z exteriérových rozměrů $\psi_i^{De}$ W/(m.K)	lineární činitel prostupu tepla - nahoře z exteriérových rozměrů $\psi_i^{He}$ W/(m.K)	teplotní faktor dole $f_{Rsi}^D$ -	teplotní faktor nahoře $f_{Rsi}^H$ -
0,030	0,141	0,078	0,014	0,064	0,9252	0,9035

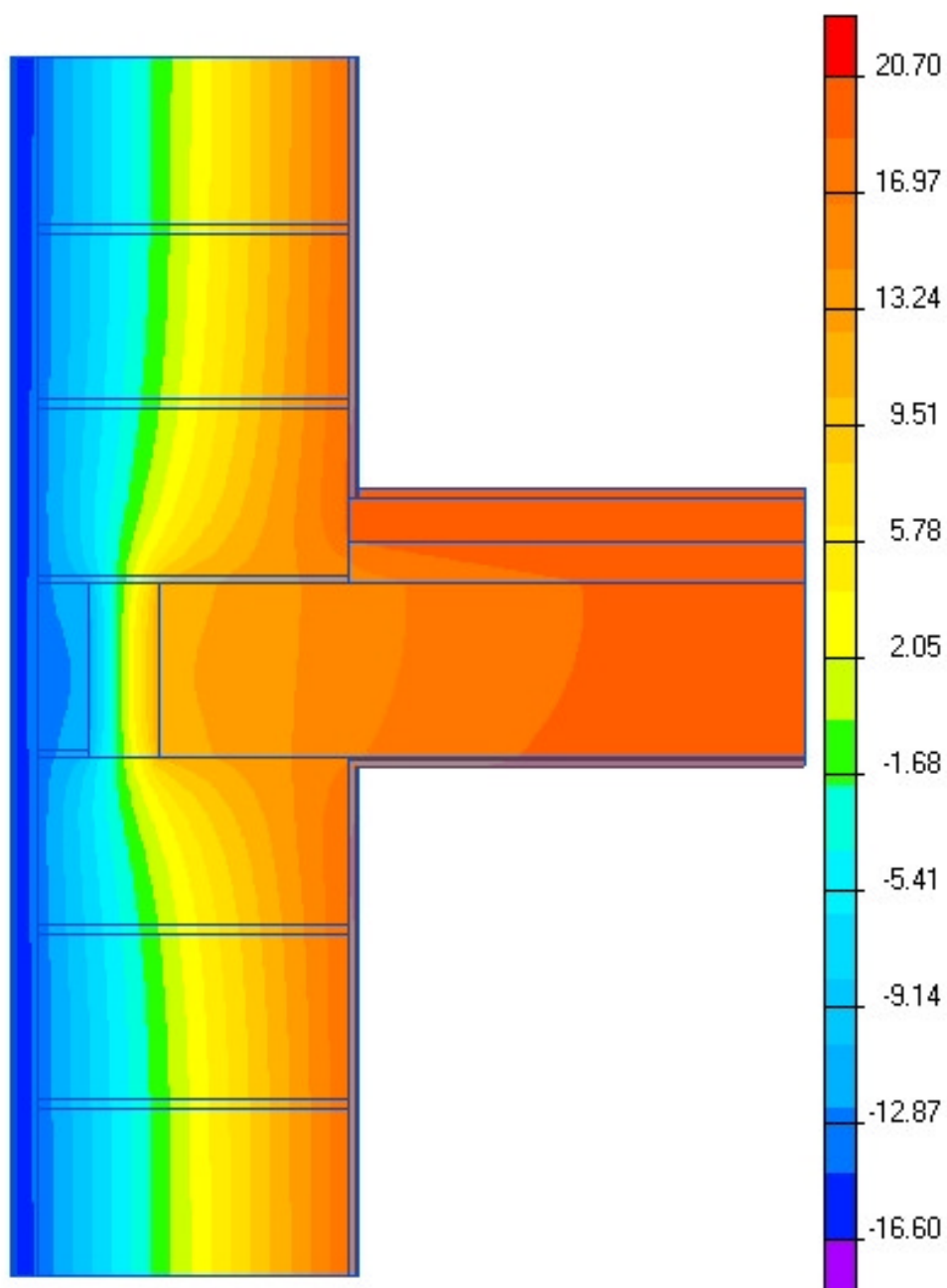




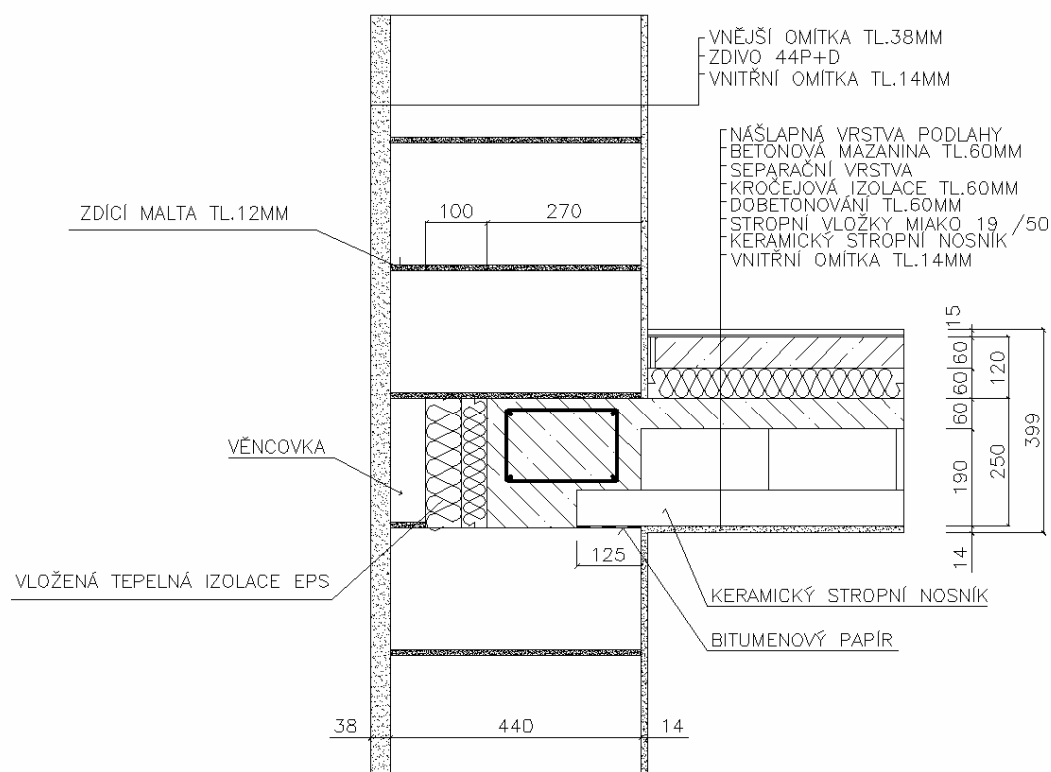




206 Detail ztužujícího věnce mezi vytápěnými podlažími P+D 440 mm						
lineární činitel prostupu tepla - interiér dole z interiérových rozměrů $\psi_i^{Di}$ W/(m.K)	lineární činitel prostupu tepla - interiér nahoře z interiérových rozměrů $\psi_i^{Hi}$ W/(m.K)	lineární činitel prostupu tepla - exteriér $\psi_e$ W/(m.K)	lineární činitel prostupu tepla - dole z exteriérových rozměrů $\psi_i^{De}$ W/(m.K)	lineární činitel prostupu tepla - nahore z exteriérových rozměrů $\psi_i^{He}$ W/(m.K)	teplotní faktor dole $f_{Rsi}^D$ -	teplotní faktor nahore $f_{Rsi}^H$ -
0,030	0,143	0,065	0,011	0,054	0,9106	0,8944

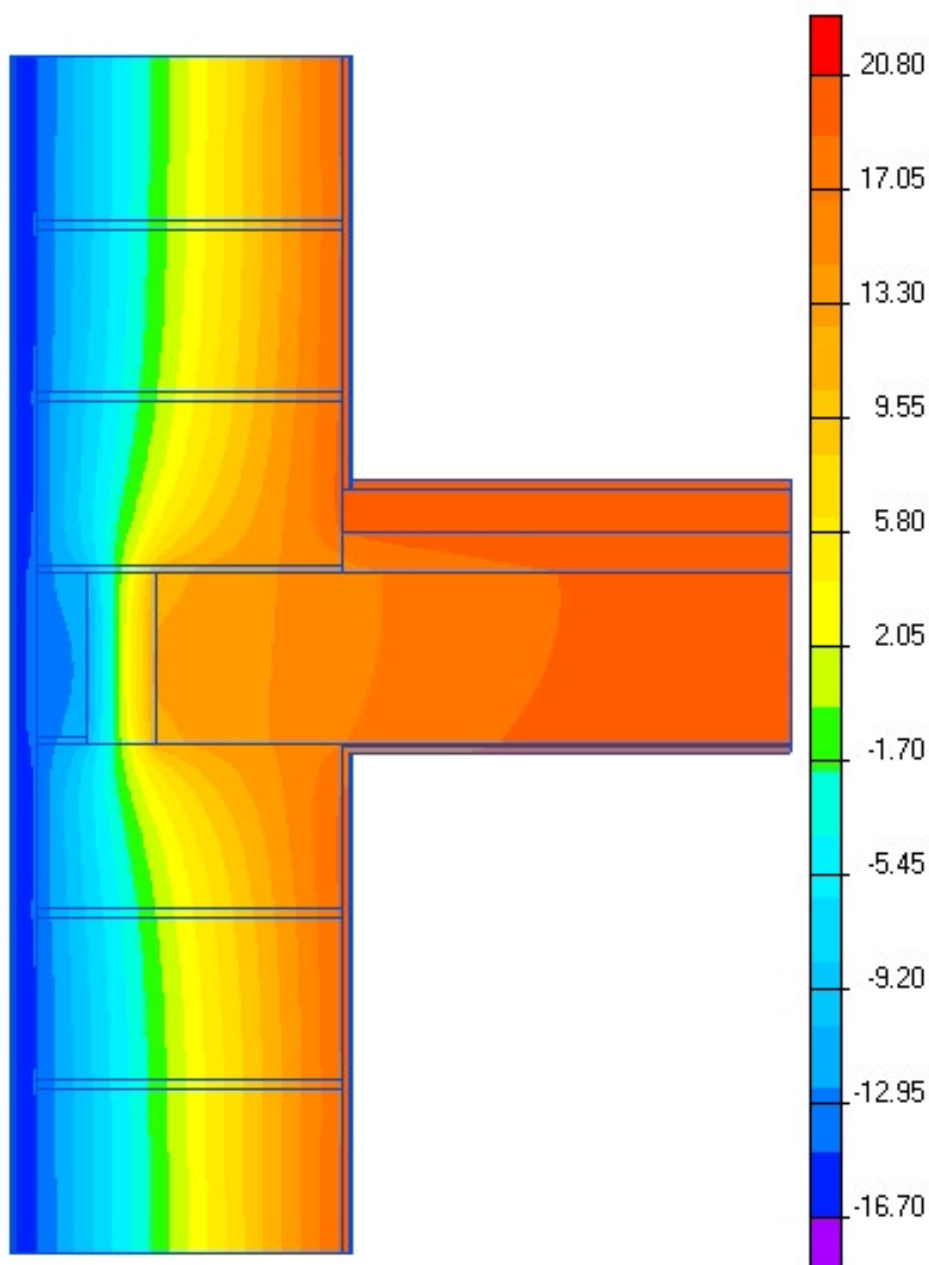




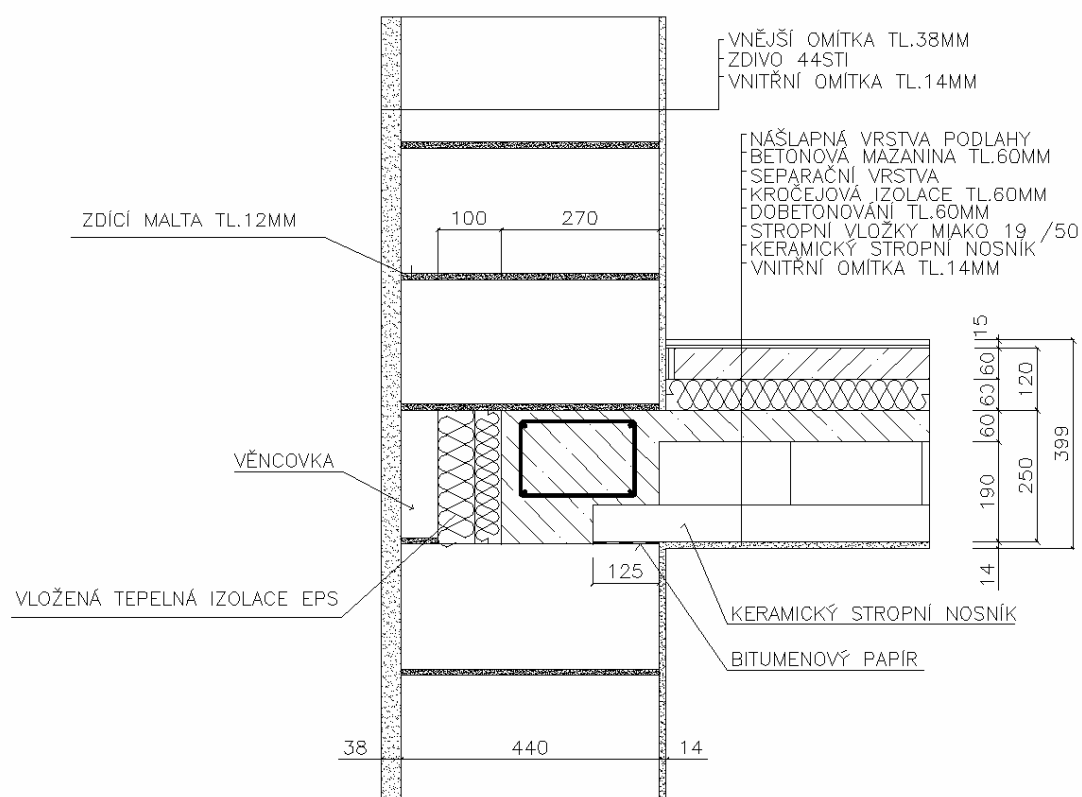




207 Detail ztužujícího věnce mezi vytápěnými podlažími STI 440 mm						
lineární činitel prostupu tepla - interiér dole z interiérových rozměrů $\psi_i^{Di}$ W/(m.K)	lineární činitel prostupu tepla - interiér nahoře z interiérových rozměrů $\psi_i^{Hi}$ W/(m.K)	lineární činitel prostupu tepla - exteriér $\psi_e$ W/(m.K)	lineární činitel prostupu tepla - dole z exteriérových rozměrů $\psi_i^{De}$ W/(m.K)	lineární činitel prostupu tepla - nahore z exteriérových rozměrů $\psi_i^{He}$ W/(m.K)	teplotní faktor dole $f_{Rsi}^D$ -	teplotní faktor nahore $f_{Rsi}^H$ -
0,027	0,136	0,077	0,013	0,064	0,9252	0,9035

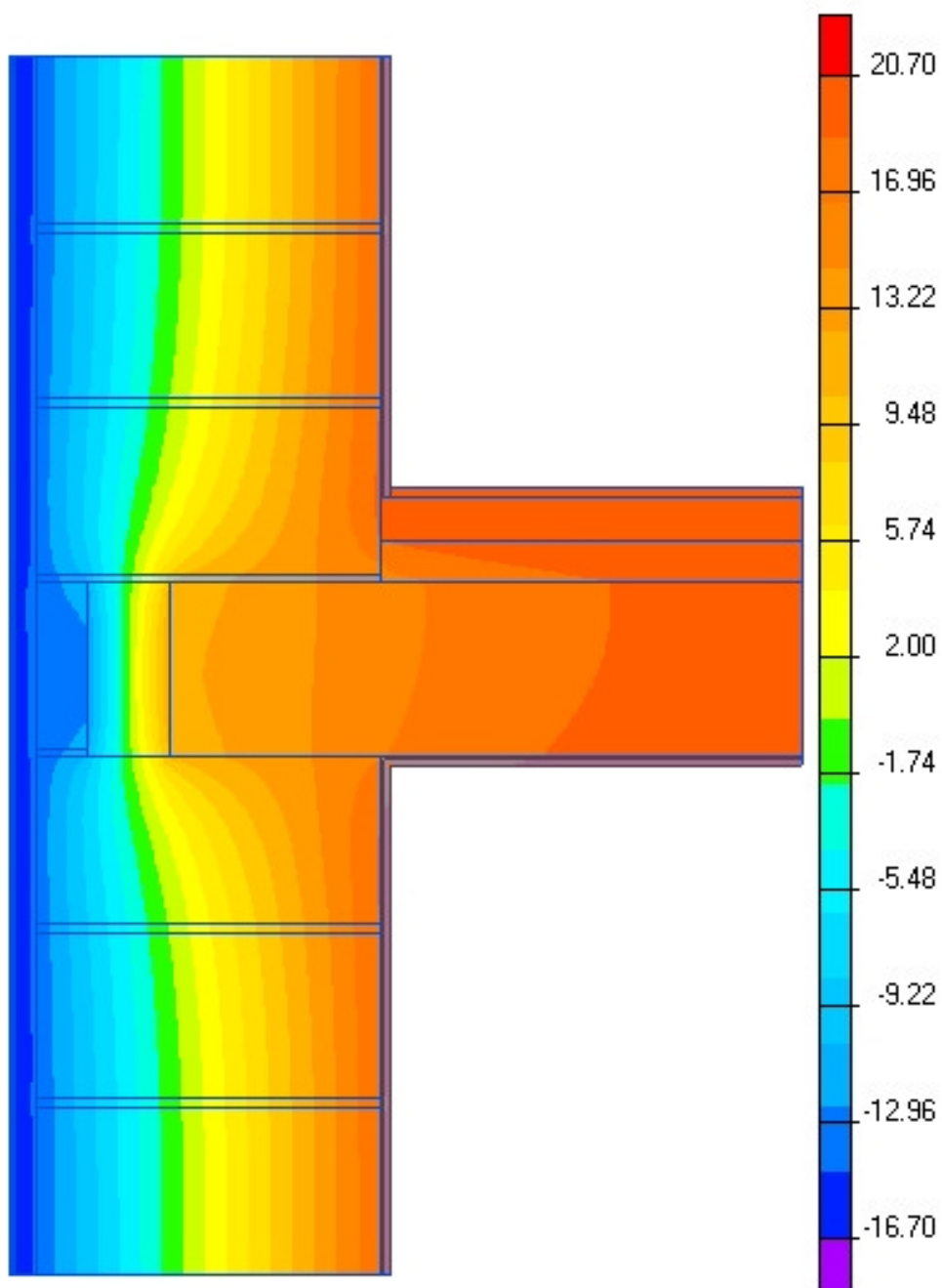




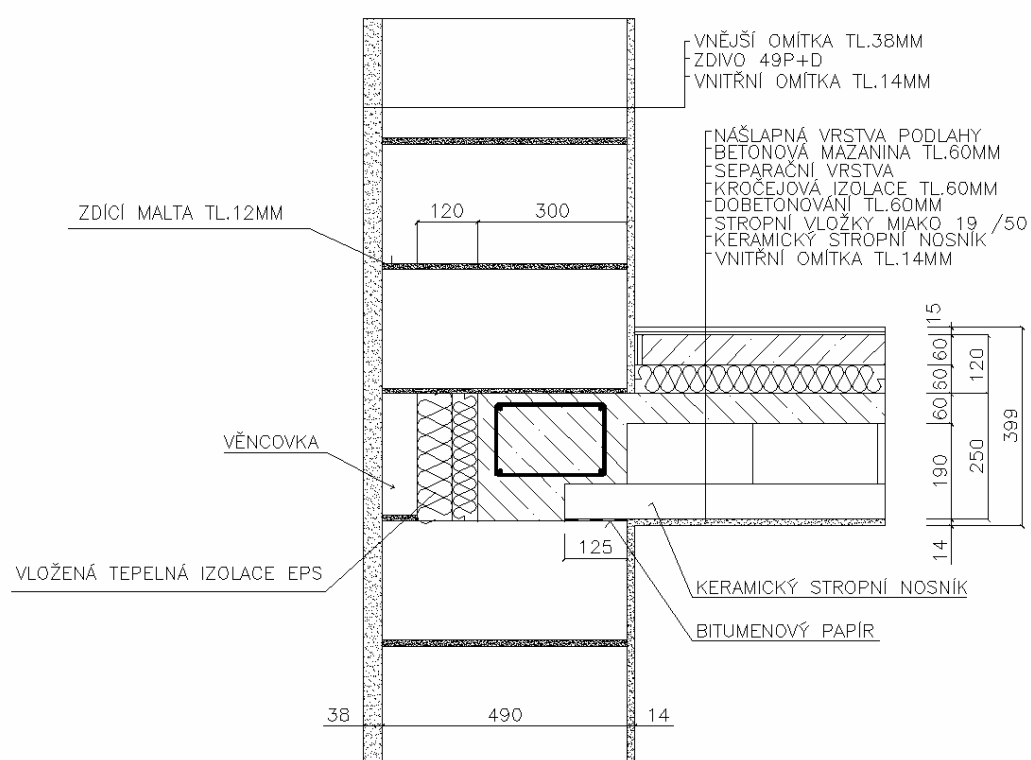




208 Detail ztužujícího věnce mezi vytápěnými podlažími P+D 490 mm						
lineární činitel prostupu tepla - interiér dole z interiérových rozměrů $\psi_i^{Di}$ W/(m.K)	lineární činitel prostupu tepla - interiér nahoře z interiérových rozměrů $\psi_i^{Hi}$ W/(m.K)	lineární činitel prostupu tepla - exteriér $\psi_e$ W/(m.K)	lineární činitel prostupu tepla - dole z exteriérových rozměrů $\psi_i^{De}$ W/(m.K)	lineární činitel prostupu tepla - nahore z exteriérových rozměrů $\psi_i^{He}$ W/(m.K)	teplotní faktor dole $f_{Rsi}^D$ -	teplotní faktor nahore $f_{Rsi}^H$ -
0,026	0,133	0,061	0,010	0,051	0,9192	0,8998

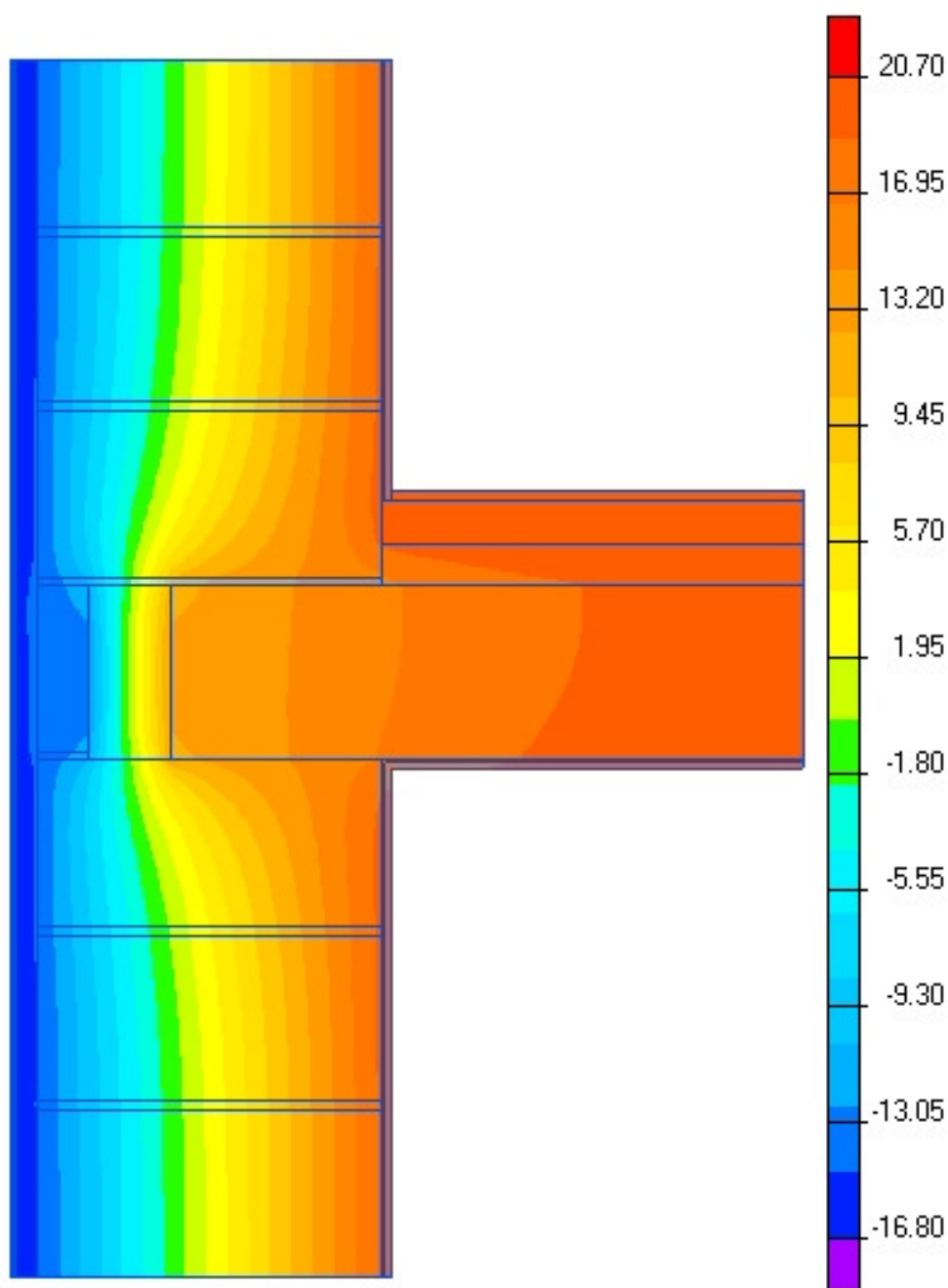




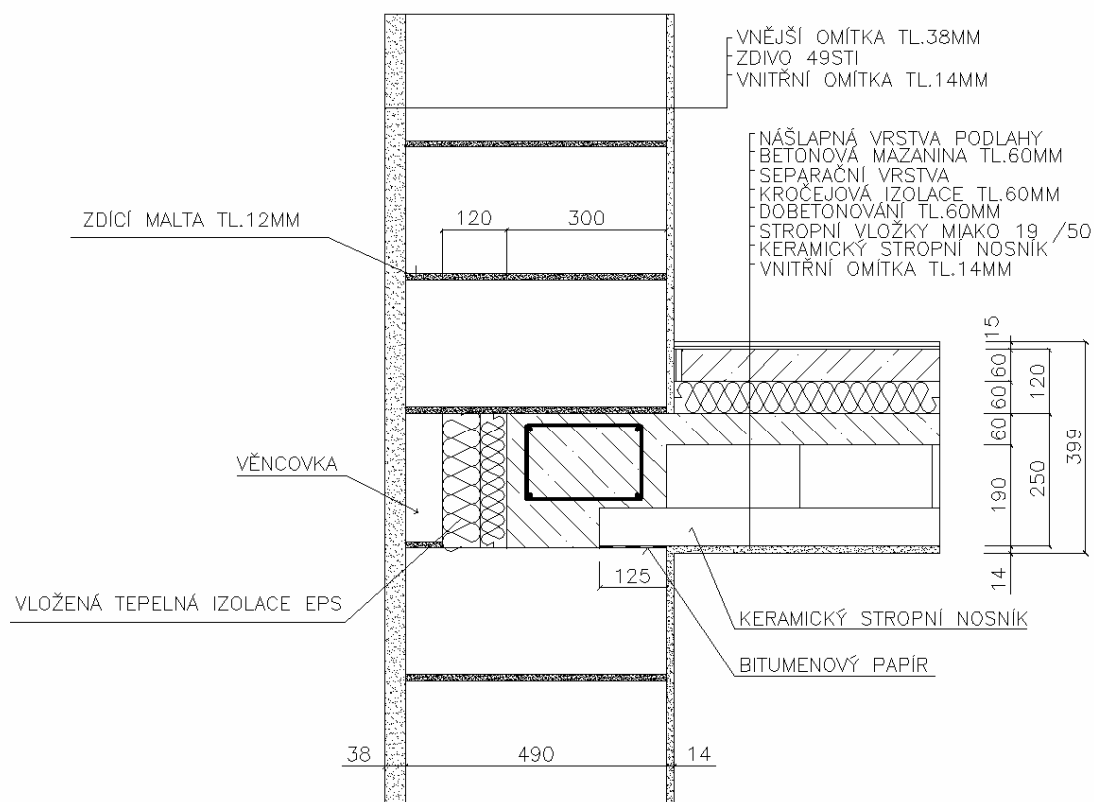




209 Detail ztužujícího věnce mezi vytápěnými podlažími STI 490 mm						
lineární činitel prostupu tepla - interiér dole z interiérových rozměrů $\psi_i^{Di}$ W/(m.K)	lineární činitel prostupu tepla - interiér nahoře z interiérových rozměrů $\psi_i^{Hi}$ W/(m.K)	lineární činitel prostupu tepla - exteriér $\psi_e$ W/(m.K)	lineární činitel prostupu tepla - dole z exteriérových rozměrů $\psi_i^{De}$ W/(m.K)	lineární činitel prostupu tepla - nahore z exteriérových rozměrů $\psi_i^{He}$ W/(m.K)	teplotní faktor dole $f_{Rsi}^D$ -	teplotní faktor nahore $f_{Rsi}^H$ -
0,023	0,125	0,070	0,011	0,059	0,8998	0,9088



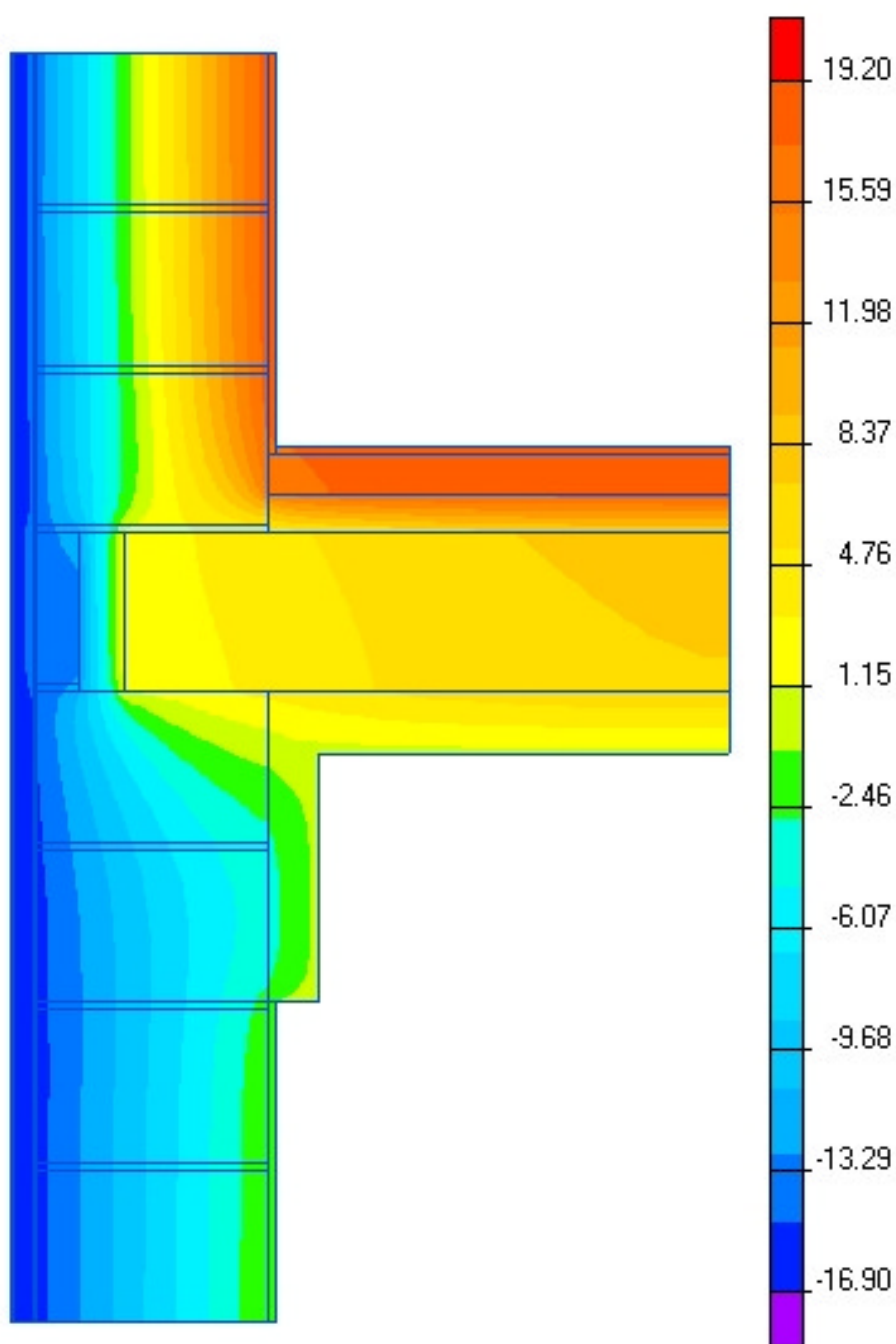




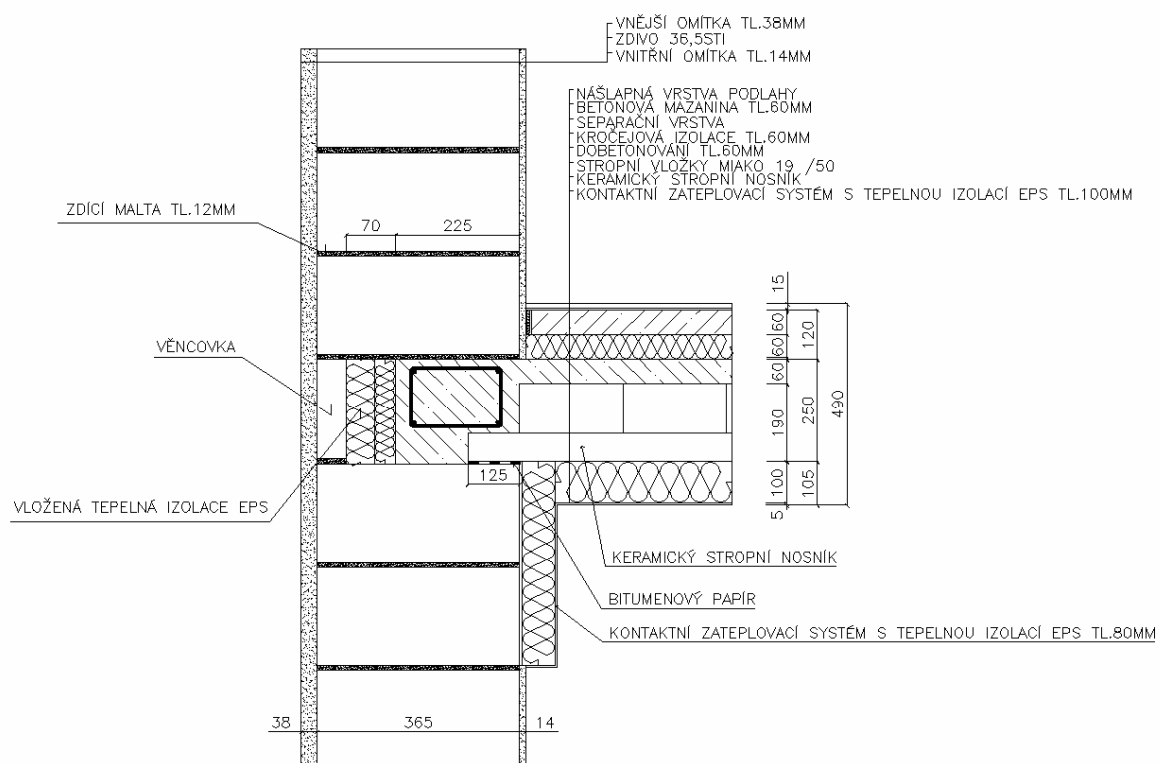


### 211 Detail ztužujícího věnce mezi vytápěným a nevytápěným podlažím STI 365 mm

lineární činitel prostupu tepla - interiér dole z interiérových rozměrů $\psi_i^{Di}$ W/(m.K)	lineární činitel prostupu tepla - interiér nahoře z interiérových rozměrů $\psi_i^{Hi}$ W/(m.K)	lineární činitel prostupu tepla - exteriér $\psi_e$ W/(m.K)	lineární činitel prostupu tepla - dole z exteriérových rozměrů $\psi_i^{De}$ W/(m.K)	lineární činitel prostupu tepla - nahore z exteriérových rozměrů $\psi_i^{He}$ W/(m.K)	teplotní faktor dole $f_{Rsi}^D$ -	teplotní faktor nahore $f_{Rsi}^H$ -
0,113	-0,152	0,011	-0,033	0,044	0,8707	0,4198



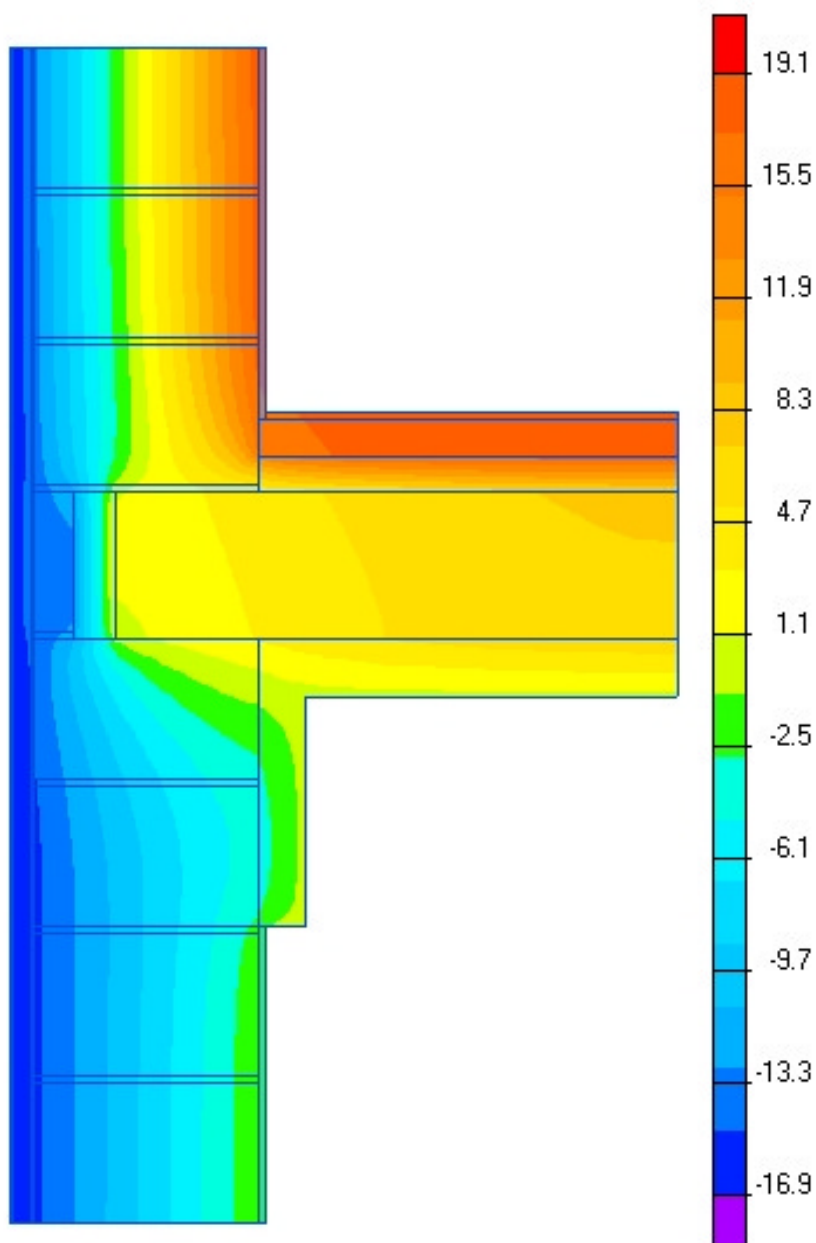






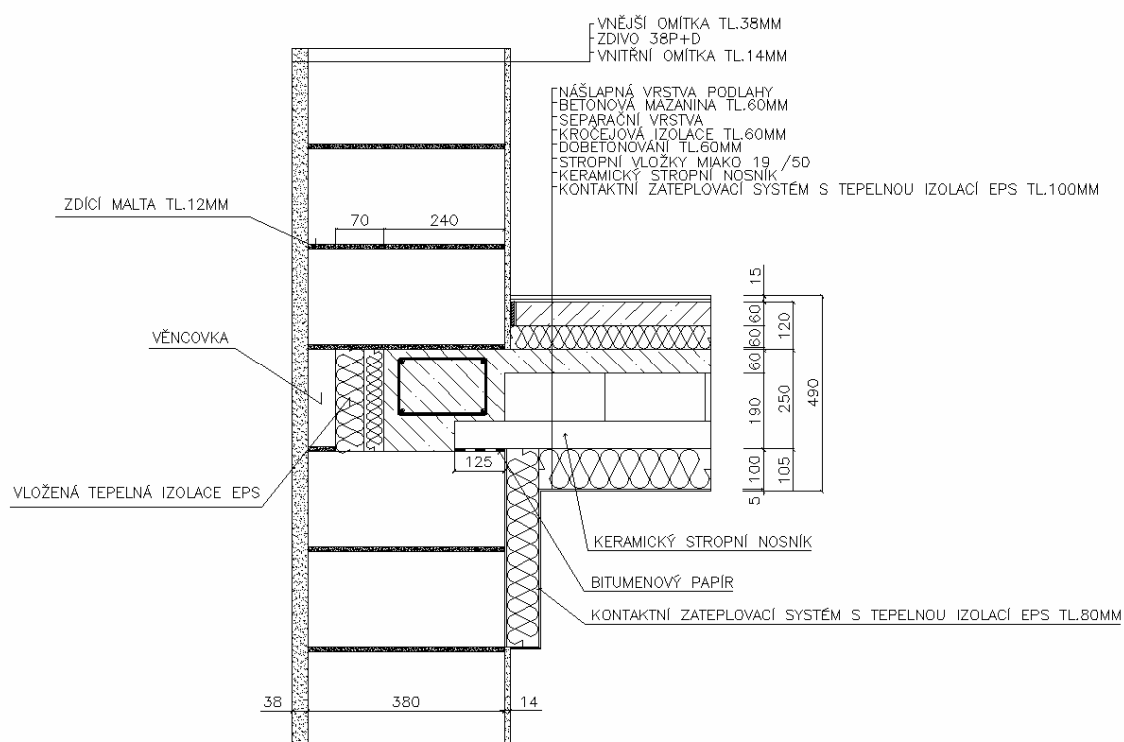
212 Detail ztužujícího věnce mezi vytápěným a nevytápěným podlažím P+D 380 mm

lineární činitel prostupu tepla - interiér dole z interiérových rozměrů $\psi_i^{Di}$ W/(m.K)	lineární činitel prostupu tepla - interiér nahoře z interiérových rozměrů $\psi_i^{Hi}$ W/(m.K)	lineární činitel prostupu tepla - exteriér $\psi_e$ W/(m.K)	lineární činitel prostupu tepla - dole z exteriérových rozměrů $\psi_i^{De}$ W/(m.K)	lineární činitel prostupu tepla - nahore z exteriérových rozměrů $\psi_i^{He}$ W/(m.K)	teplotní faktor dole $f_{Rsi}^D$ -	teplotní faktor nahore $f_{Rsi}^H$ -
0,125	-0,154	-0,009	0,037	-0,045	0,8552	0,4161





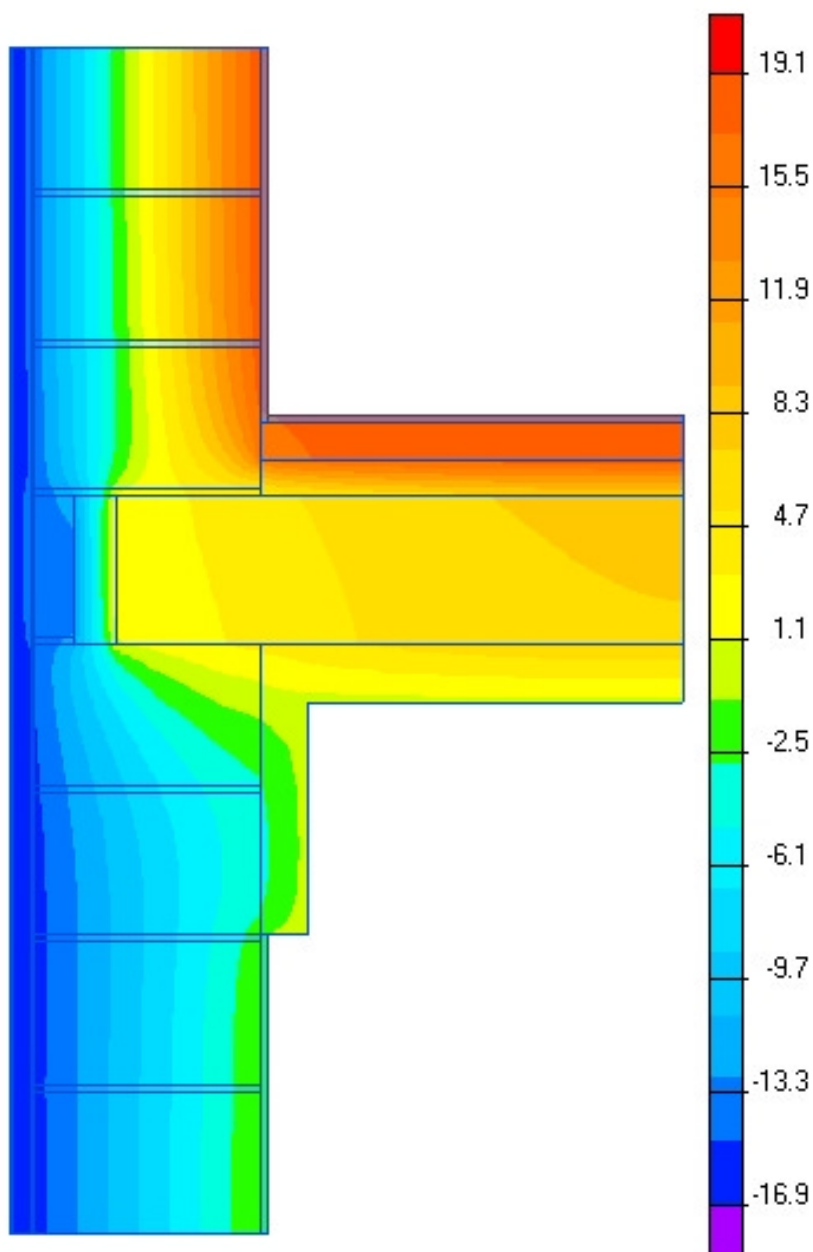
Obsah: "Výpočet typických tepelných mostů a jejich minimalizace – 250 detailů"  
 Zpracovatel: Energy Consulting – Project, s.r.o., Přemyslská 484/28, 182 00 Praha 8,  
 IČ 26113317; mobil 777 196 154, e-mail: [info@e-c.cz](mailto:info@e-c.cz)



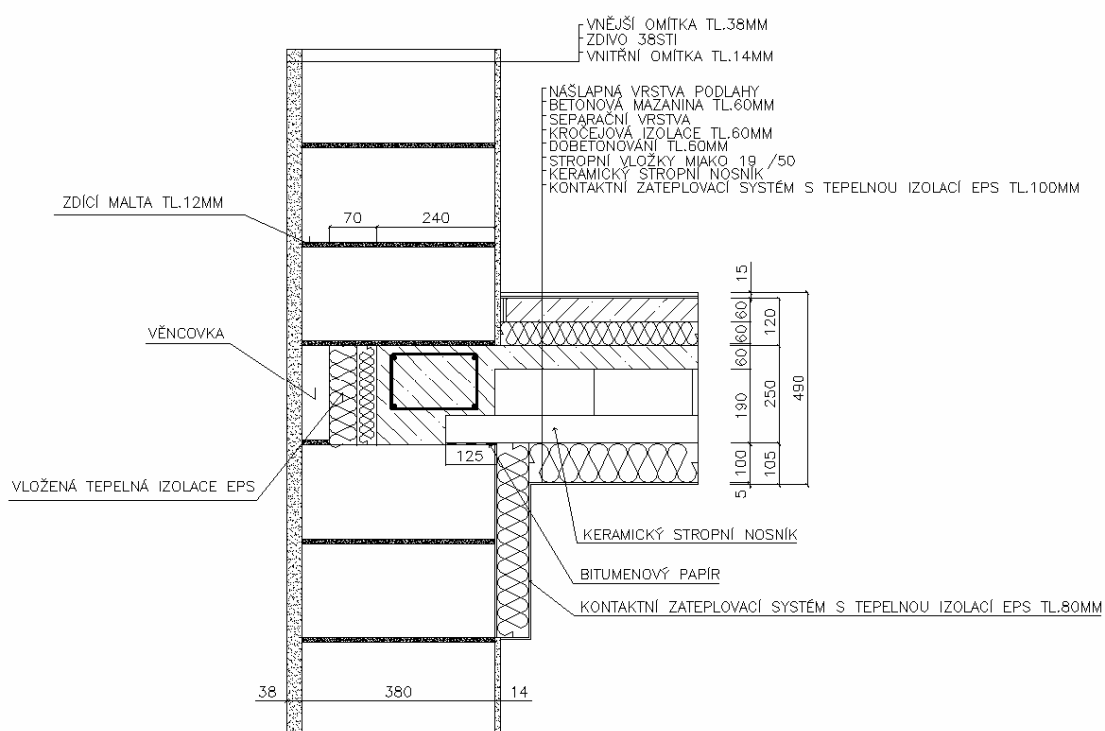


### 213 Detail ztužujícího věnce mezi vytápěným a nevytápěným podlažím STI 380 mm

lineární činitel prostupu tepla - interiér dole z interiérových rozměrů $\psi_i^{Di}$ W/(m.K)	lineární činitel prostupu tepla - interiér nahoře z interiérových rozměrů $\psi_i^{Hi}$ W/(m.K)	lineární činitel prostupu tepla - exteriér $\psi_e$ W/(m.K)	lineární činitel prostupu tepla - dole z exteriérových rozměrů $\psi_i^{De}$ W/(m.K)	lineární činitel prostupu tepla - nahore z exteriérových rozměrů $\psi_i^{He}$ W/(m.K)	teplotní faktor dole $f_{Rsi}^D$ -	teplotní faktor nahore $f_{Rsi}^H$ -
0,113	-0,148	0,015	-0,047	0,062	0,8715	0,4209



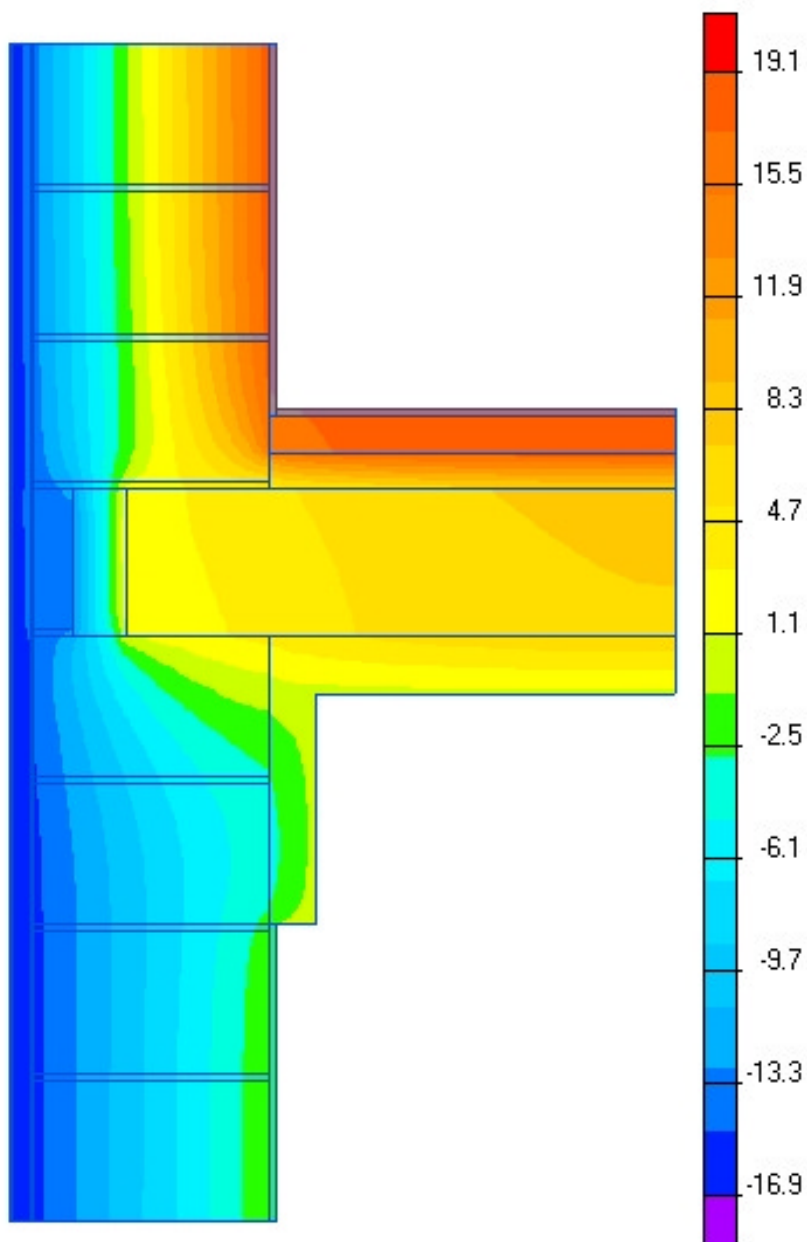




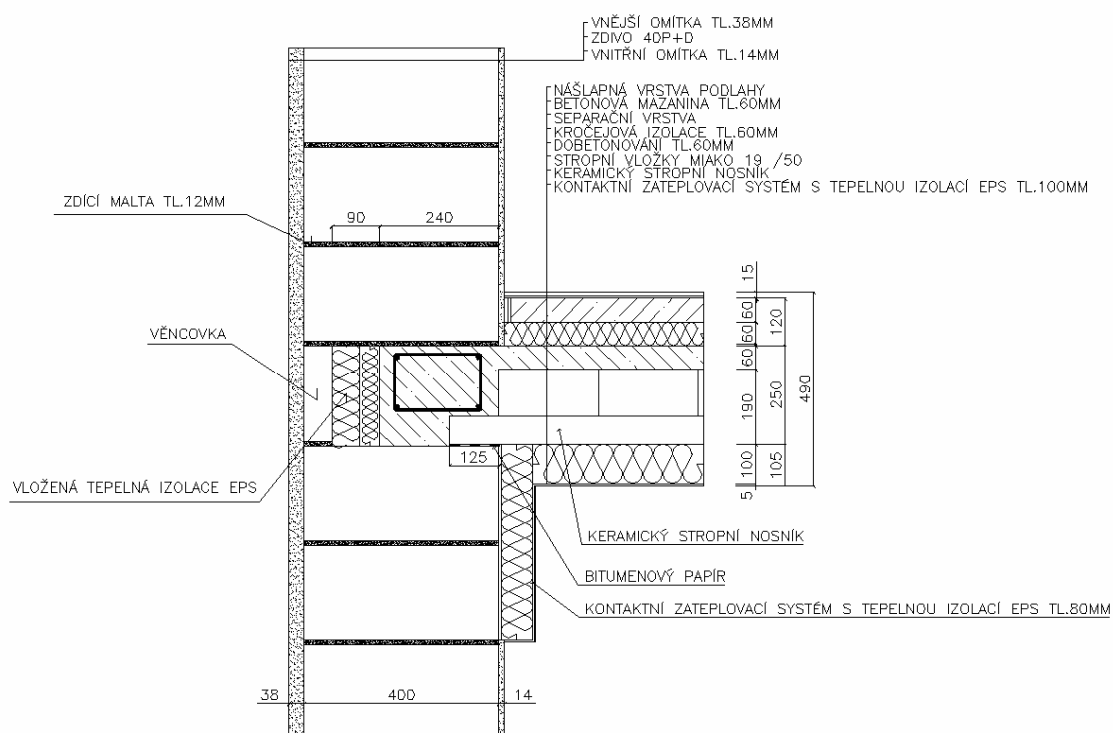


214 Detail ztužujícího věnce mezi vytápěným a nevytápěným podlažím P+D 400 mm

lineární činitel prostupu tepla - interiér dole z interiérových rozměrů $\psi_i^{Di}$ W/(m.K)	lineární činitel prostupu tepla - interiér nahoře z interiérových rozměrů $\psi_i^{Hi}$ W/(m.K)	lineární činitel prostupu tepla - exteriér $\psi_e$ W/(m.K)	lineární činitel prostupu tepla - dole z exteriérových rozměrů $\psi_i^{De}$ W/(m.K)	lineární činitel prostupu tepla - nahore z exteriérových rozměrů $\psi_i^{He}$ W/(m.K)	teplotní faktor dole $f_{Rsi}^D$ -	teplotní faktor nahore $f_{Rsi}^H$ -
0,120	-0,153	-0,013	0,048	-0,062	0,8601	0,4179



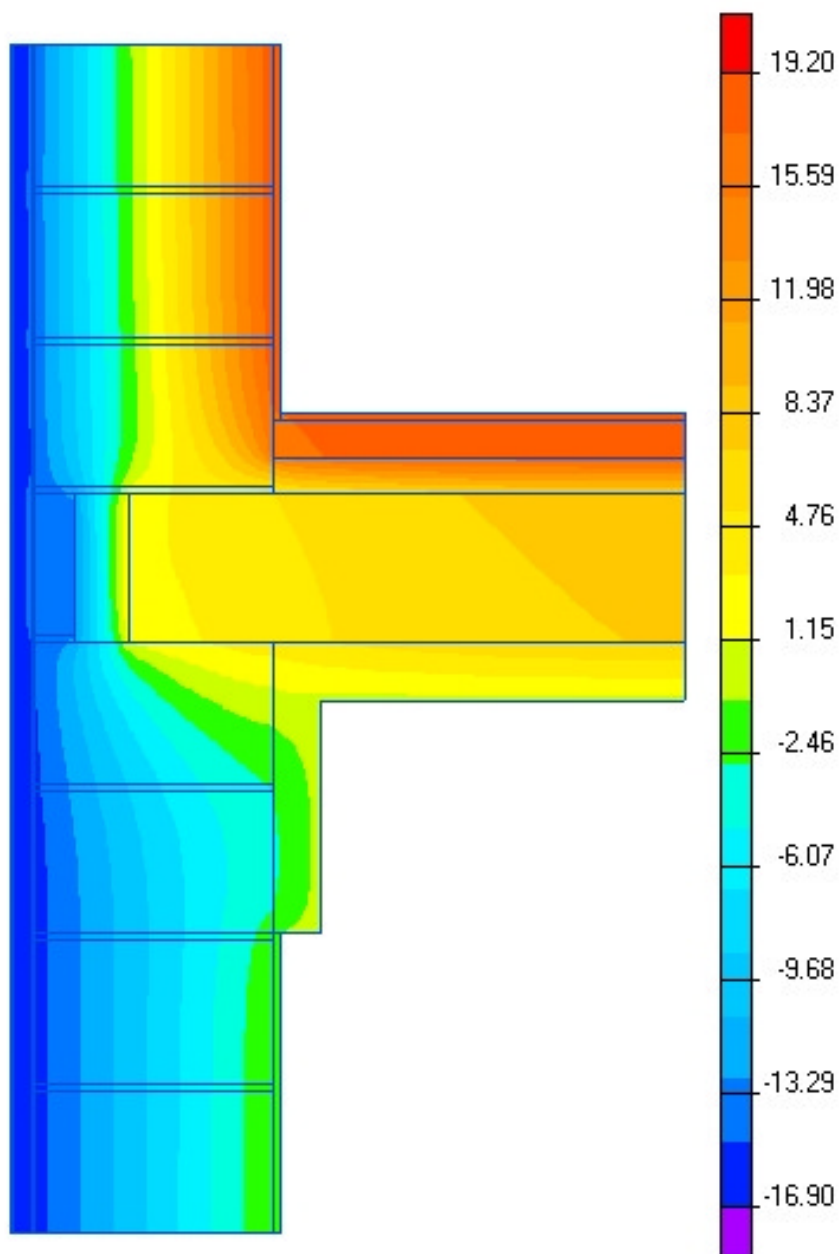




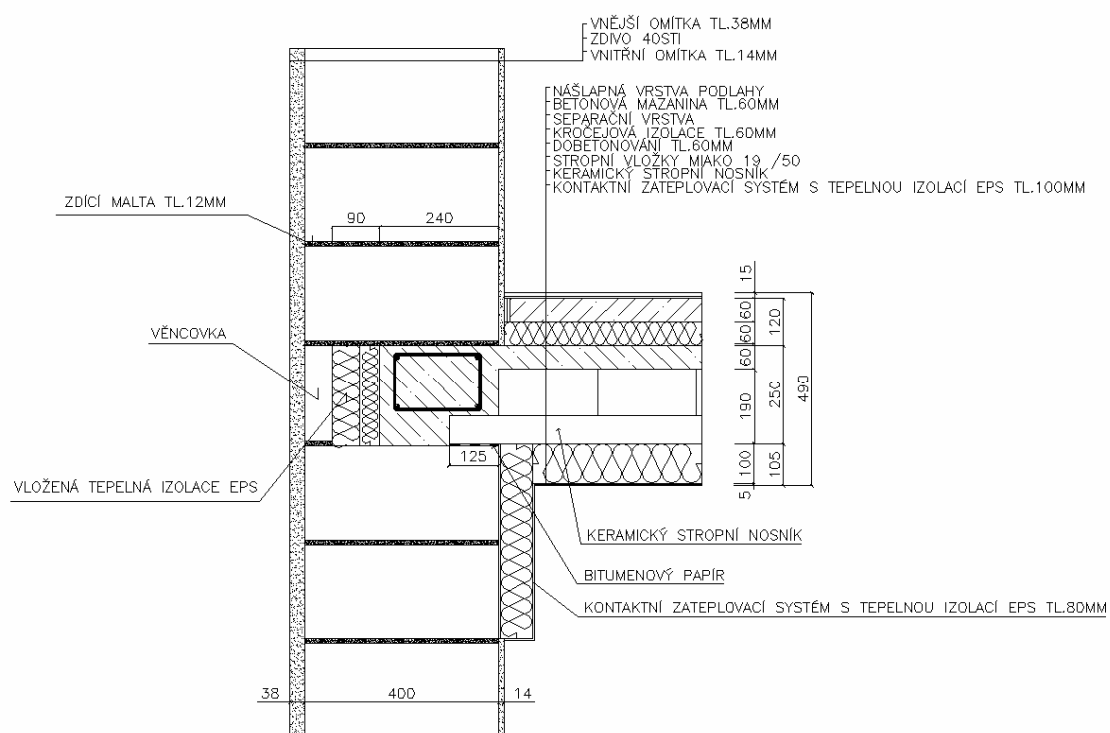


215 Detail ztužujícího věnce mezi vytápěným a nevytápěným podlažím STI 400 mm

lineární činitel prostupu tepla - interiér dole z interiérových rozměrů $\psi_i^{Di}$ W/(m.K)	lineární činitel prostupu tepla - interiér nahoře z interiérových rozměrů $\psi_i^{Hi}$ W/(m.K)	lineární činitel prostupu tepla - exteriér $\psi_e$ W/(m.K)	lineární činitel prostupu tepla - dole z exteriérových rozměrů $\psi_i^{De}$ W/(m.K)	lineární činitel prostupu tepla - nahore z exteriérových rozměrů $\psi_i^{He}$ W/(m.K)	teplotní faktor dole $f_{Rsi}^D$ -	teplotní faktor nahore $f_{Rsi}^H$ -
0,105	-0,147	0,009	-0,022	0,030	0,8790	0,4252



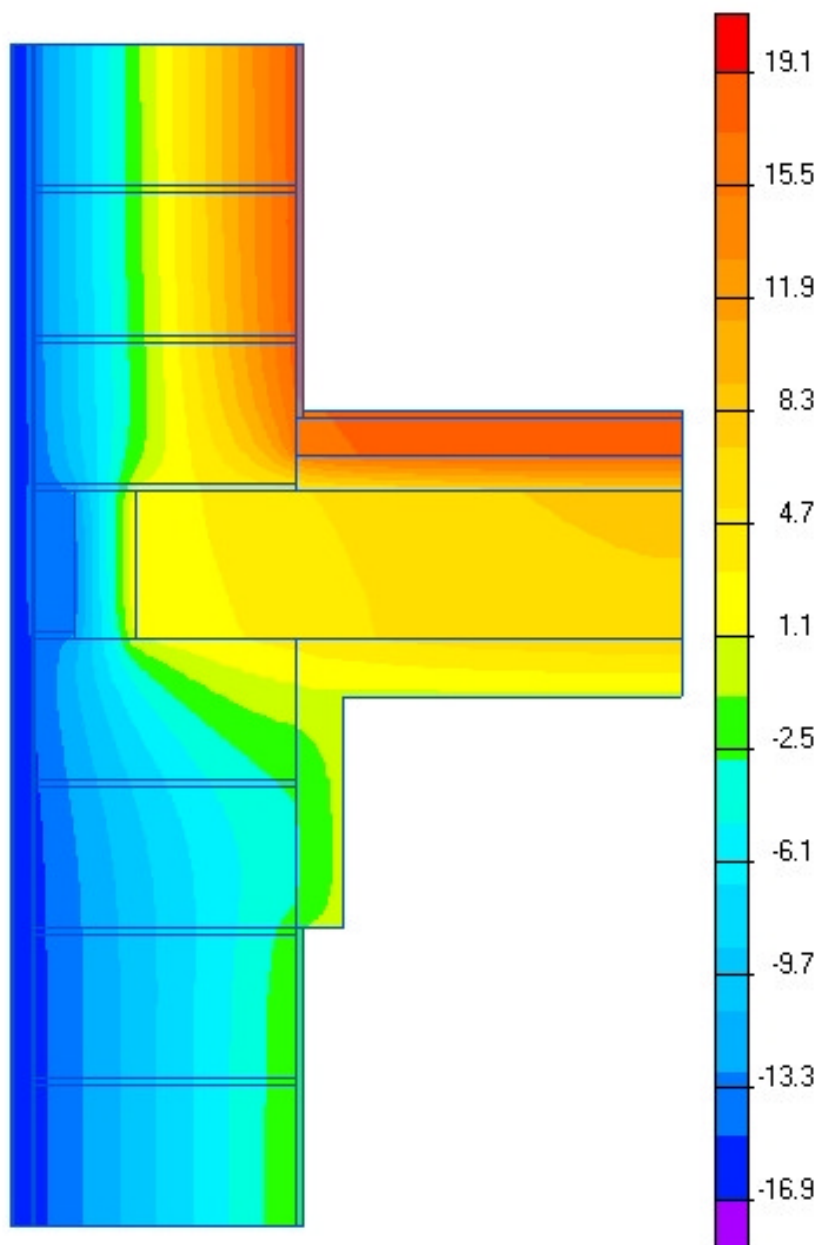




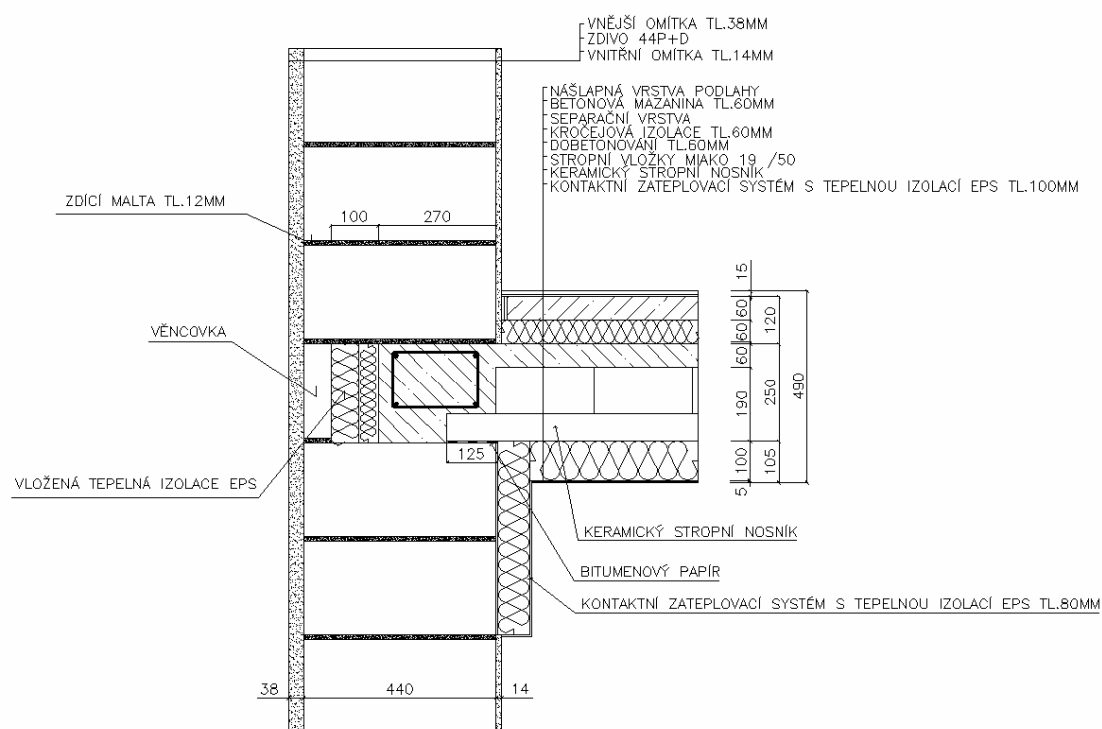


216 Detail ztužujícího věnce mezi vytápěným a nevytápěným podlažím P+D 440 mm

lineární činitel prostupu tepla - interiér dole z interiérových rozměrů $\psi_i^{Di}$ W/(m.K)	lineární činitel prostupu tepla - interiér nahoře z interiérových rozměrů $\psi_i^{Hi}$ W/(m.K)	lineární činitel prostupu tepla - exteriér $\psi_e$ W/(m.K)	lineární činitel prostupu tepla - dole z exteriérových rozměrů $\psi_i^{De}$ W/(m.K)	lineární činitel prostupu tepla - nahore z exteriérových rozměrů $\psi_i^{He}$ W/(m.K)	teplotní faktor dole $f_{Rsi}^D$ -	teplotní faktor nahore $f_{Rsi}^H$ -
0,114	-0,144	-0,007	0,027	-0,035	0,8635	0,4210



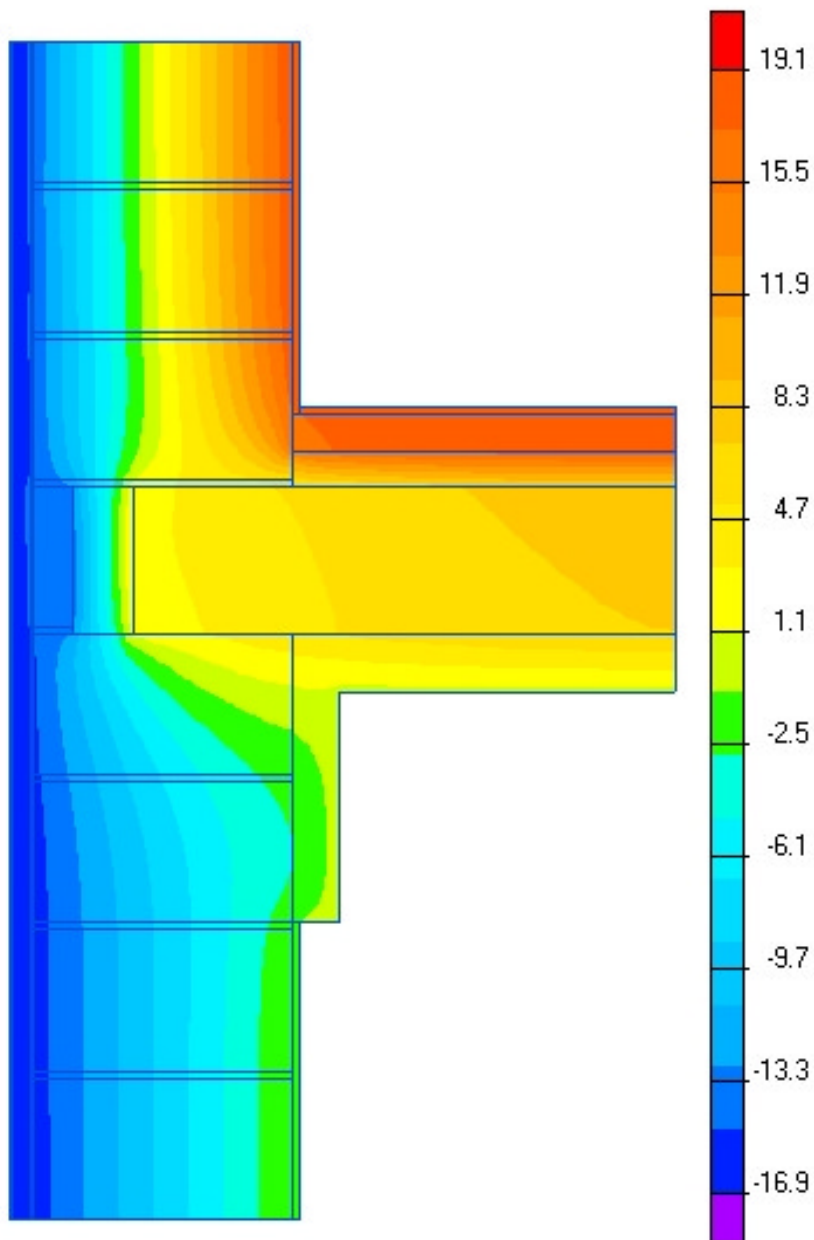




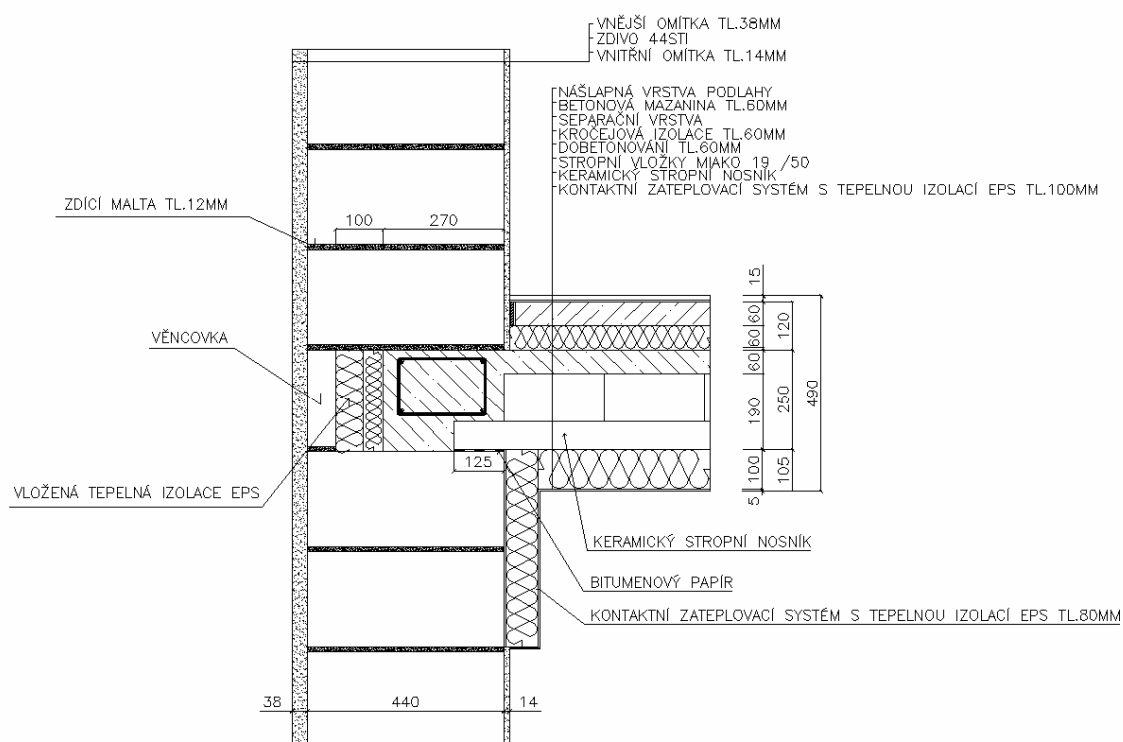


217 Detail ztužujícího věnce mezi vytápěným a nevytápěným podlažím STI 440 mm

lineární činitel prostupu tepla - interiér dole z interiérových rozměrů $\psi_i^{Di}$ W/(m.K)	lineární činitel prostupu tepla - interiér nahoře z interiérových rozměrů $\psi_i^{Hi}$ W/(m.K)	lineární činitel prostupu tepla - exteriér $\psi_e$ W/(m.K)	lineární činitel prostupu tepla - dole z exteriérových rozměrů $\psi_i^{De}$ W/(m.K)	lineární činitel prostupu tepla - nahore z exteriérových rozměrů $\psi_i^{He}$ W/(m.K)	teplotní faktor dole $f_{Rsi}^D$ -	teplotní faktor nahore $f_{Rsi}^H$ -
0,102	-0,139	0,012	-0,033	0,045	0,8790	0,4252



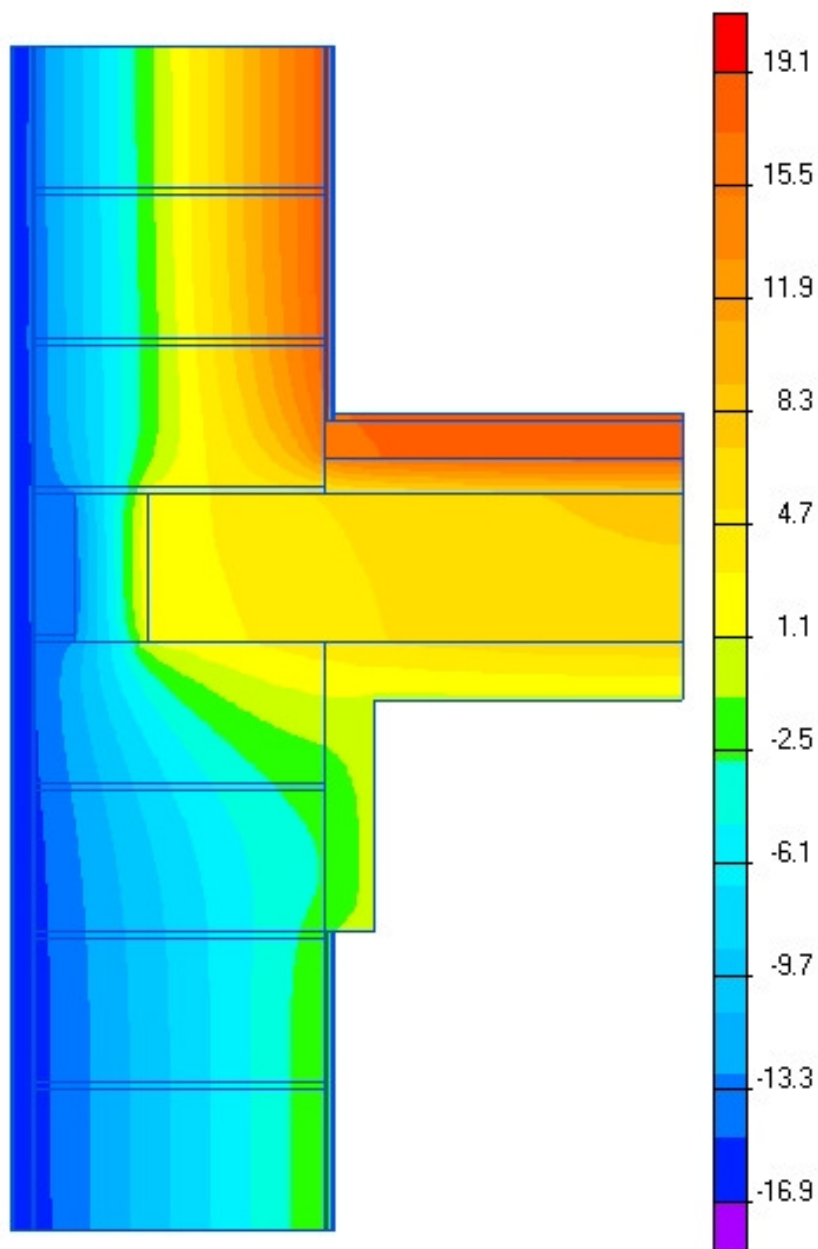




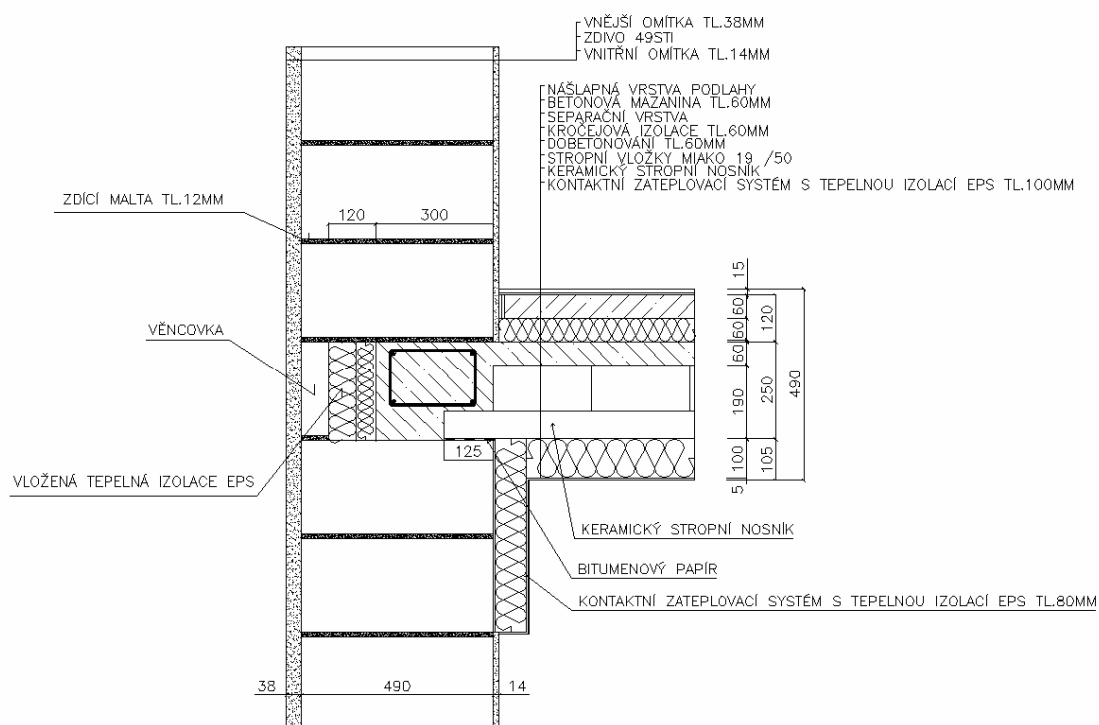


218 Detail ztužujícího věnce mezi vytápěným a nevytápěným podlažím P+D 490 mm

lineární činitel prostupu tepla - interiér dole z interiérových rozměrů $\psi_i^{Di}$ W/(m.K)	lineární činitel prostupu tepla - interiér nahoře z interiérových rozměrů $\psi_i^{Hi}$ W/(m.K)	lineární činitel prostupu tepla - exteriér $\psi_e$ W/(m.K)	lineární činitel prostupu tepla - dole z exteriérových rozměrů $\psi_i^{De}$ W/(m.K)	lineární činitel prostupu tepla - nahore z exteriérových rozměrů $\psi_i^{He}$ W/(m.K)	teplotní faktor dole $f_{Rsi}^D$ -	teplotní faktor nahore $f_{Rsi}^H$ -
0,108	-0,135	-0,004	0,017	-0,022	0,8676	0,4243



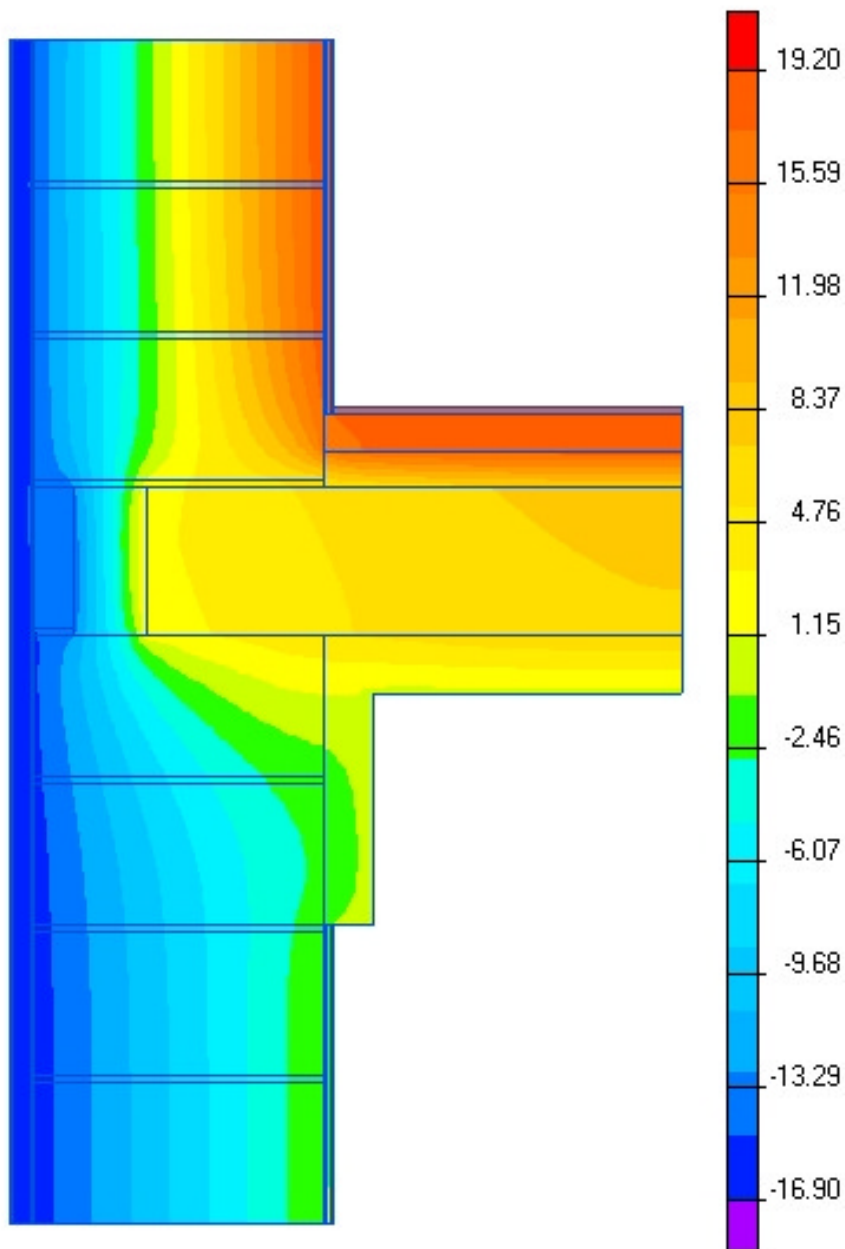




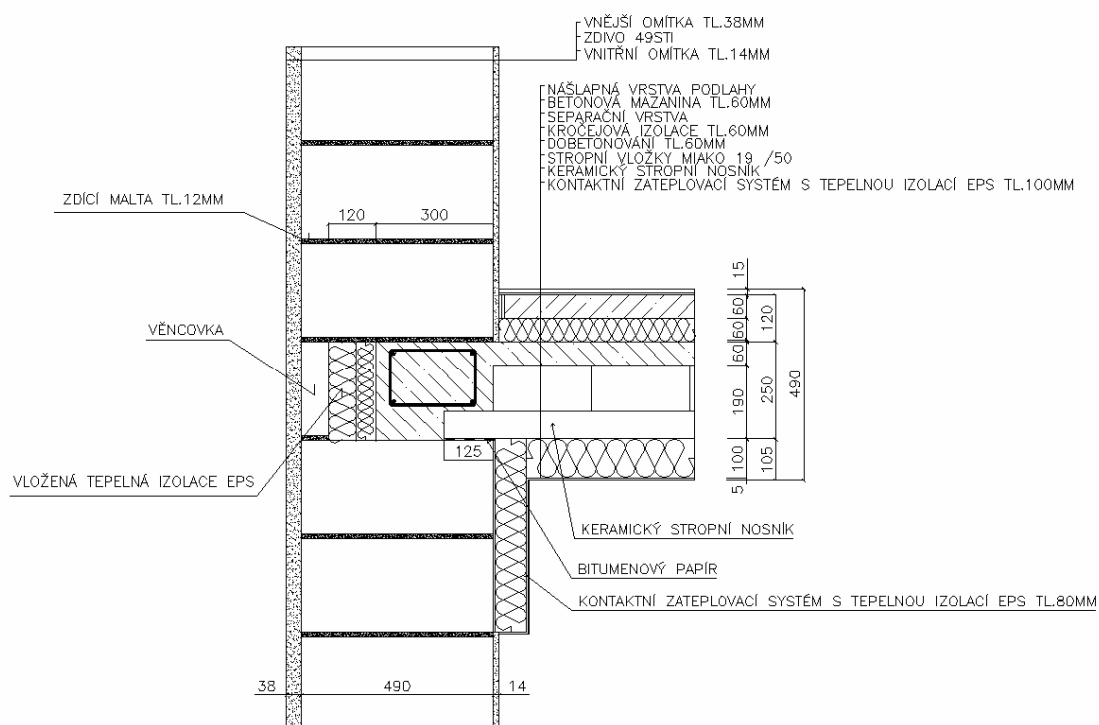


219 Detail ztužujícího věnce mezi vytápěným a nevytápěným podlažím STI 490 mm

lineární činitel prostupu tepla - interiér dole z interiérových rozměrů $\psi_i^{Di}$ W/(m.K)	lineární činitel prostupu tepla - interiér nahoře z interiérových rozměrů $\psi_i^{Hi}$ W/(m.K)	lineární činitel prostupu tepla - exteriér $\psi_e$ W/(m.K)	lineární činitel prostupu tepla - dole z exteriérových rozměrů $\psi_i^{De}$ W/(m.K)	lineární činitel prostupu tepla - nahore z exteriérových rozměrů $\psi_i^{He}$ W/(m.K)	teplotní faktor dole $f_{Rsi}^D$ -	teplotní faktor nahore $f_{Rsi}^H$ -
0,096	-0,130	0,013	-0,036	0,049	0,8826	0,4281

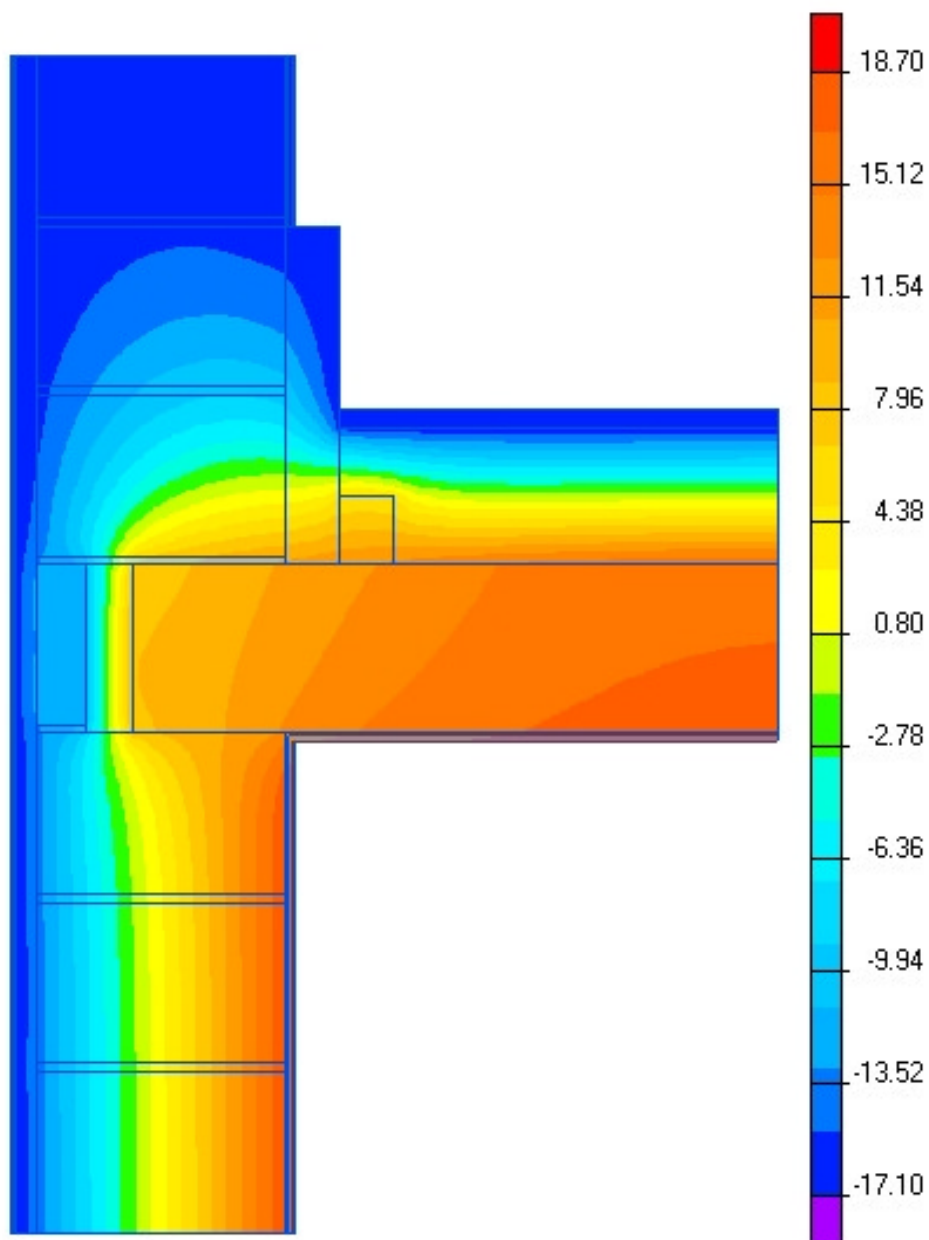




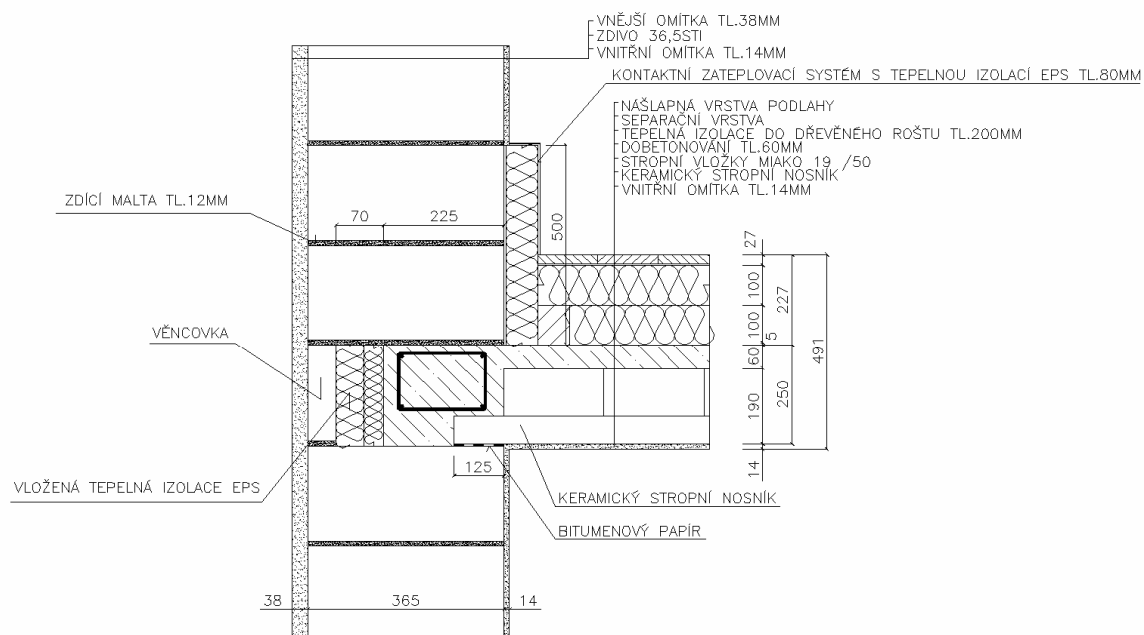




221 Detail ztužujícího věnce mezi vytápěným podlažím a nevytápěnou půdou STI 365 mm		
lineární činitel prostupu tepla - interiér $\psi_i$ W/(m.K)	lineární činitel prostupu tepla - exteriér $\psi_e$ W/(m.K)	teplotní faktor $f_{Rsi}$ -
0,216	0,012	0,8286

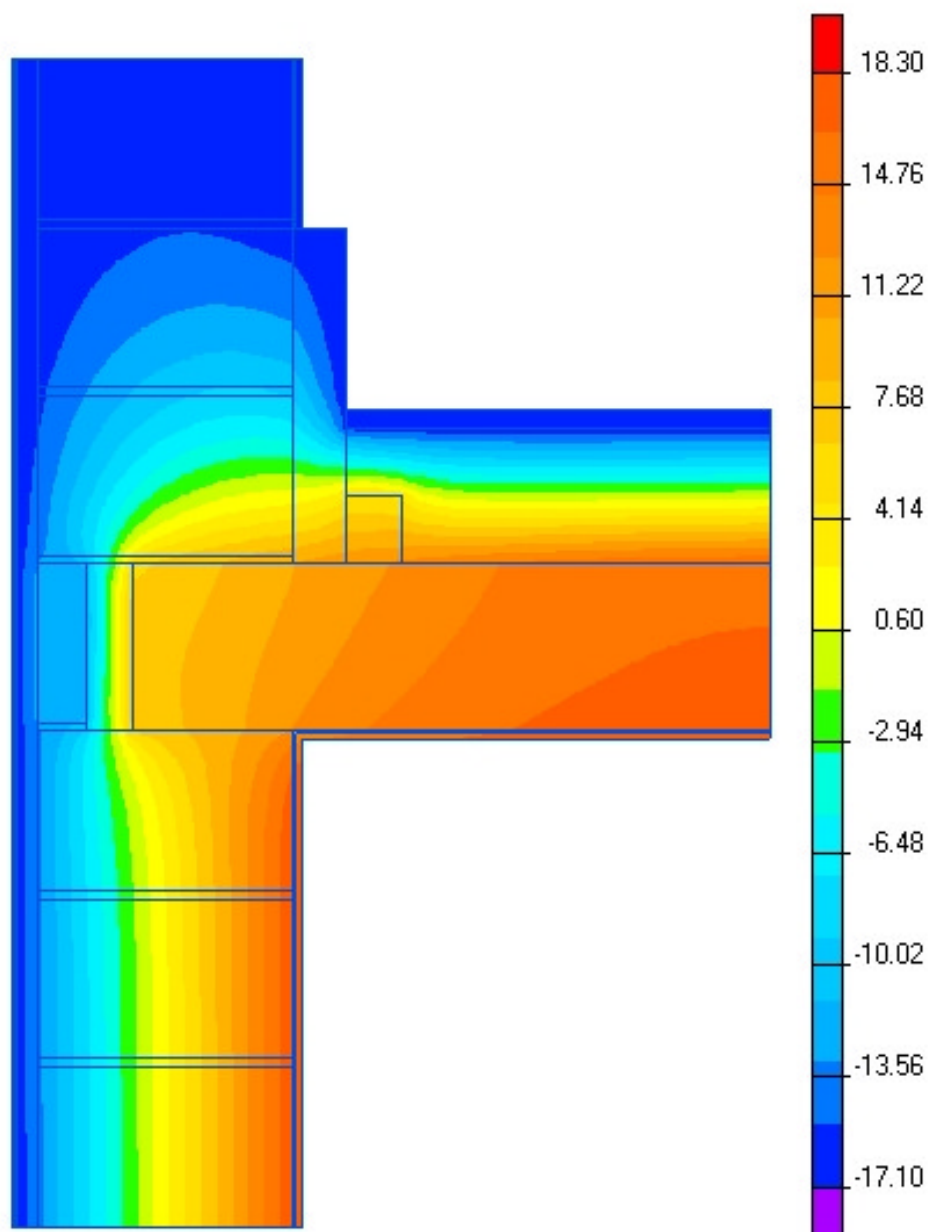




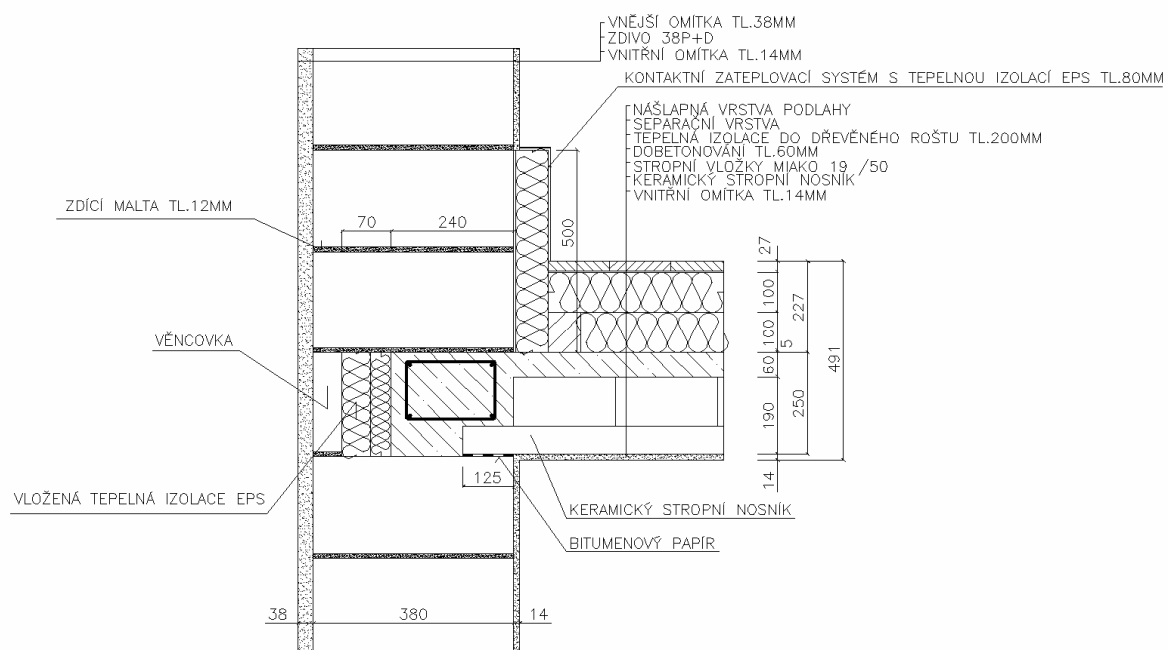




222 Detail ztužujícího věnce mezi vytápěným podlažím a nevytápěnou půdou P+D 380 mm		
lineární činitel prostupu tepla - interiér $\psi_i$ W/(m.K)	lineární činitel prostupu tepla - exteriér $\psi_e$ W/(m.K)	teplotní faktor $f_{Rsi}$ -
0,234	0,002	0,8163

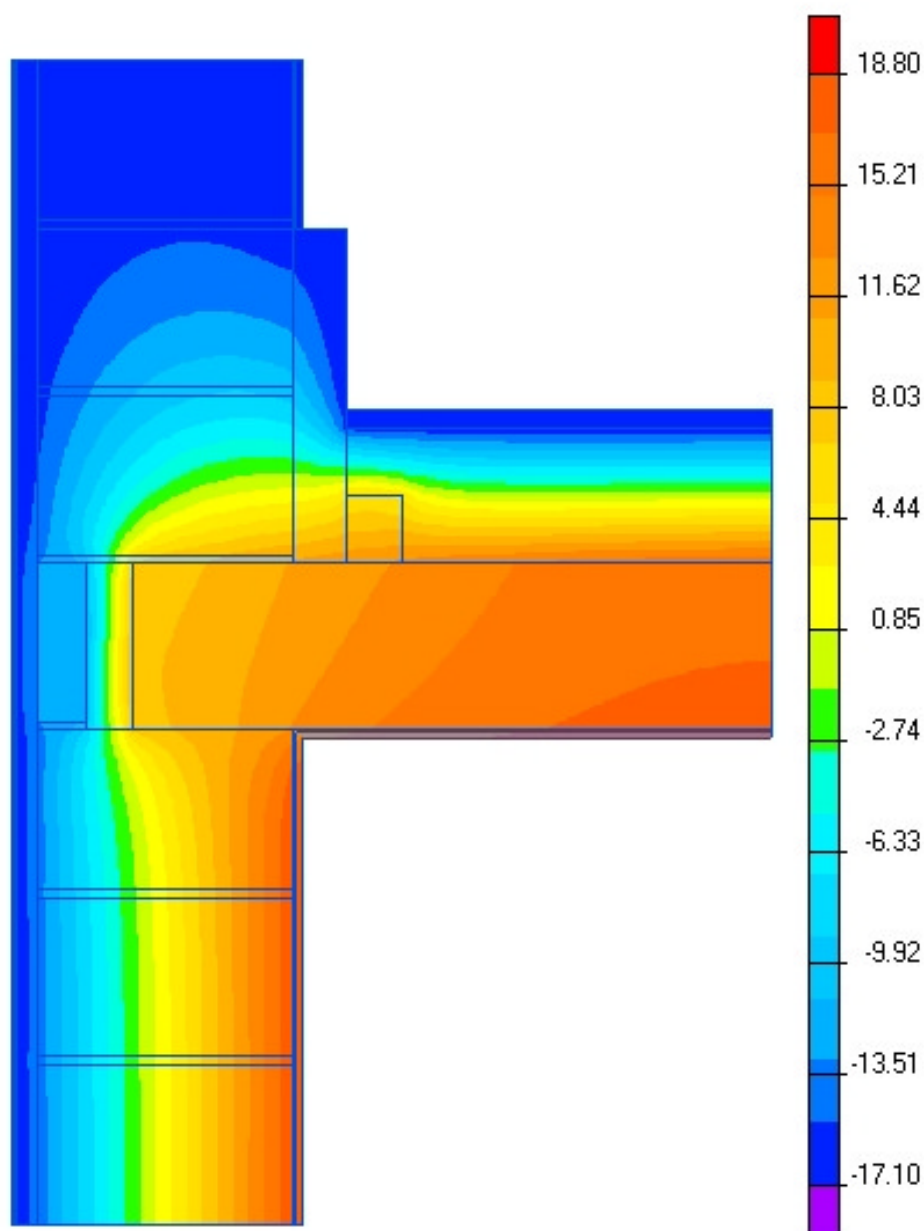




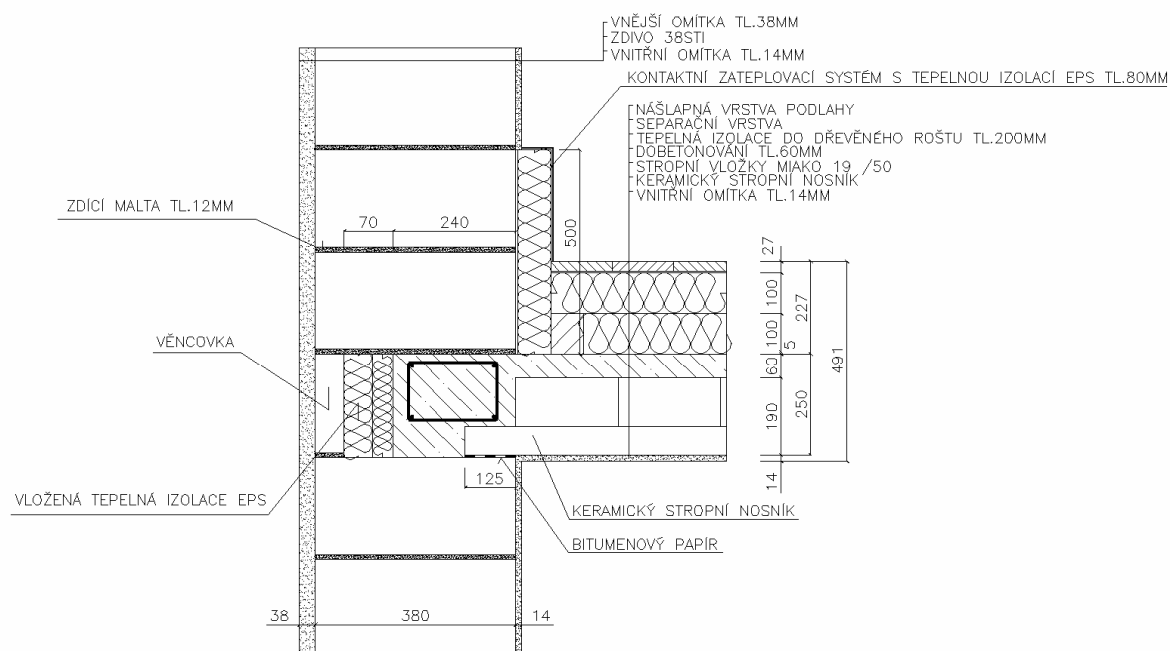




223 Detail ztužujícího věnce mezi vytápěným podlažím a nevytápěnou půdou STI 380 mm		
lineární činitel prostupu tepla - interiér $\psi_i$ W/(m.K)	lineární činitel prostupu tepla - exteriér $\psi_e$ W/(m.K)	teplotní faktor $f_{Rsi}$ -
0,218	0,015	0,8278

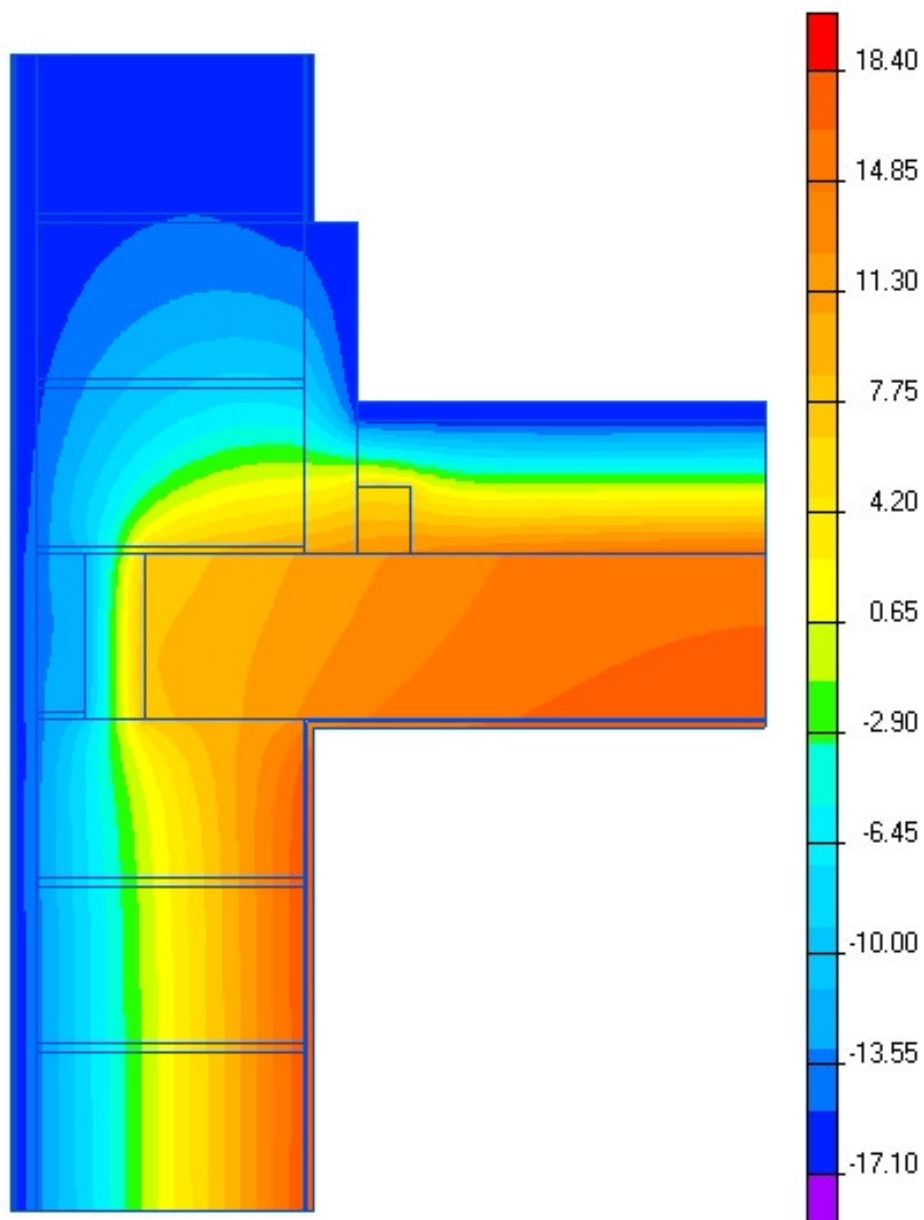




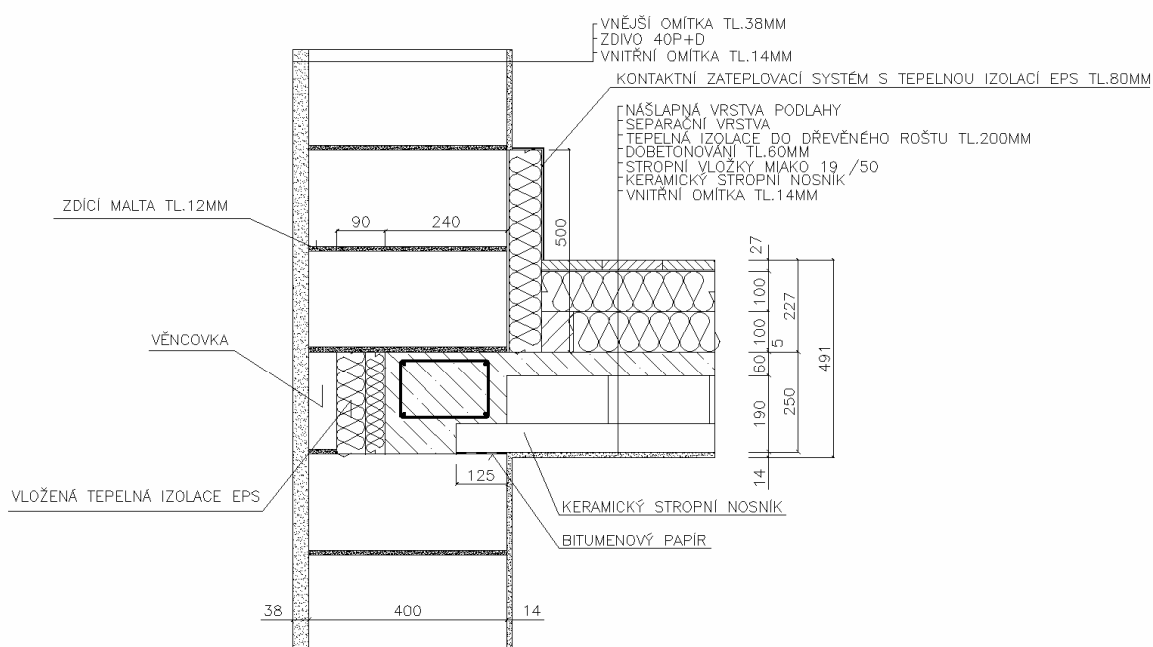




224 Detail ztužujícího věnce mezi vytápěným podlažím a nevytápěnou půdou P+D 400 mm		
lineární činitel prostupu tepla - interiér $\psi_i$ W/(m.K)	lineární činitel prostupu tepla - exteriér $\psi_e$ W/(m.K)	teplotní faktor $f_{Rsi}$ -
0,218	-0,011	0,8247

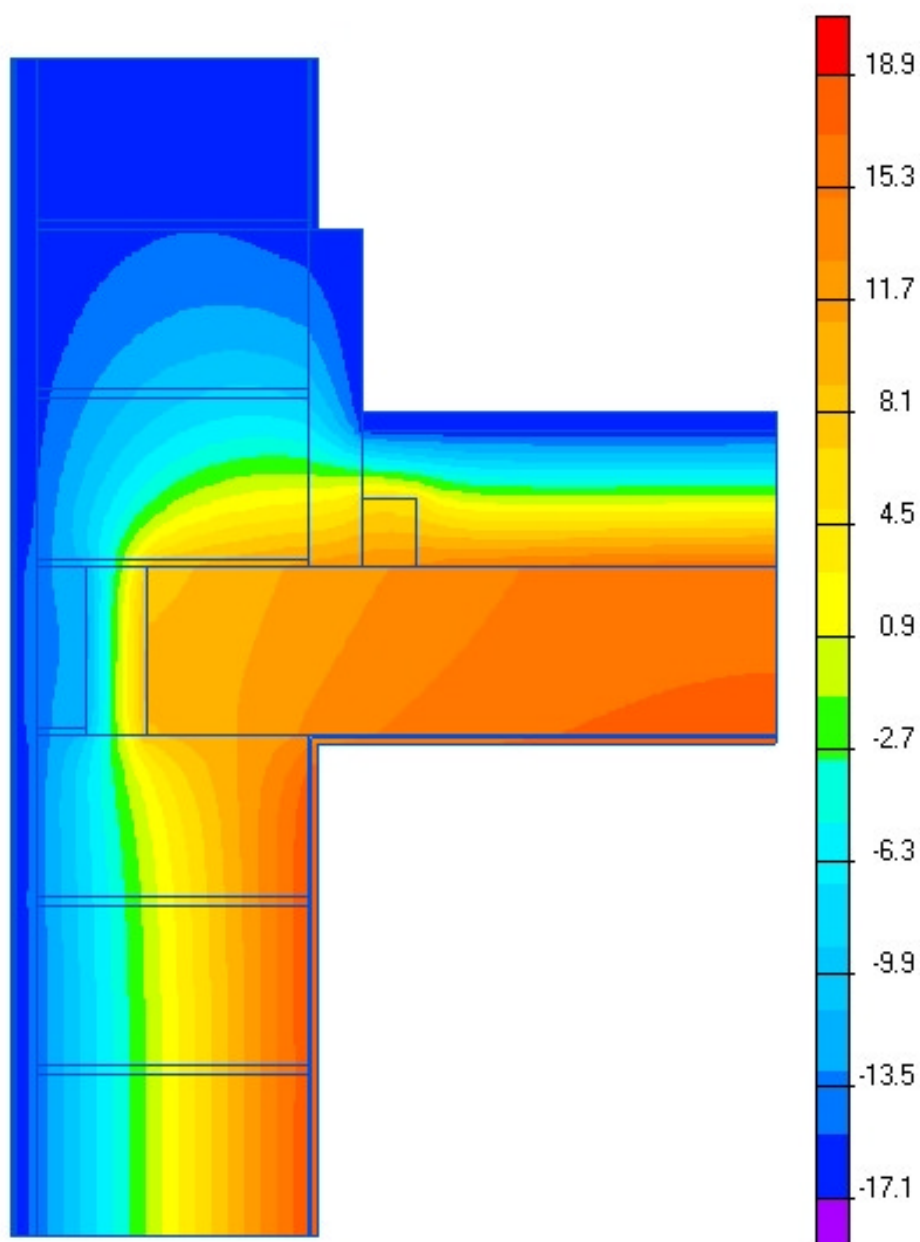








225 Detail ztužujícího věnce mezi vytápěným podlažím a nevytápěnou půdou STI 400 mm		
lineární činitel prostupu tepla - interiér $\psi_i$ W/(m.K)	lineární činitel prostupu tepla - exteriér $\psi_e$ W/(m.K)	teplotní faktor $f_{Rsi}$ -
0,201	0,000	0,8379



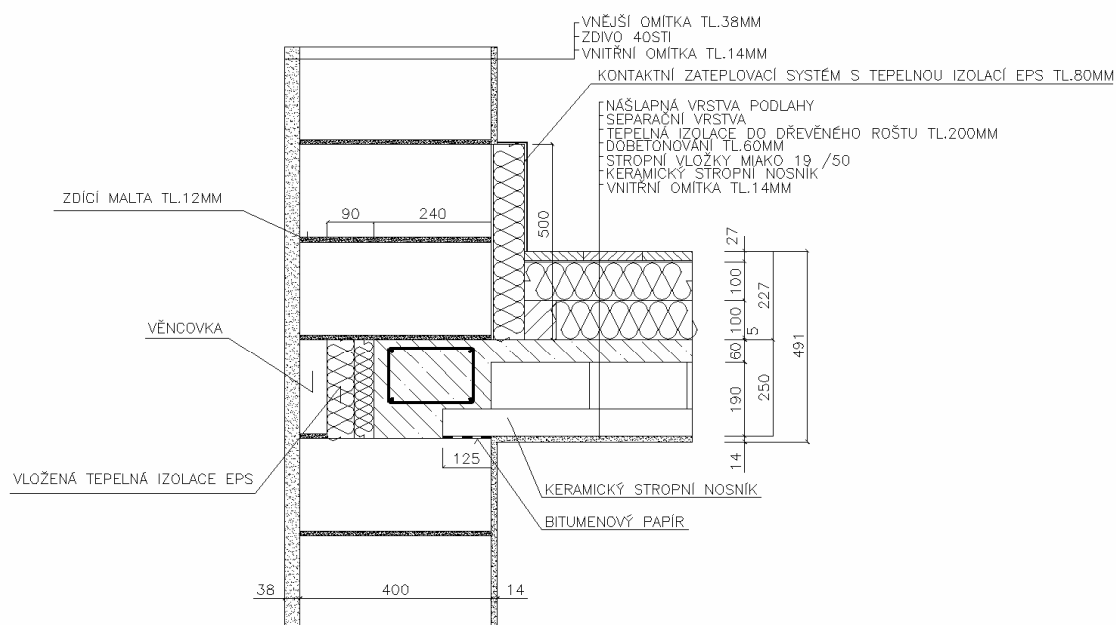


Obsah:

“Výpočet typických tepelných mostů a jejich minimalizace – 250 detailů“

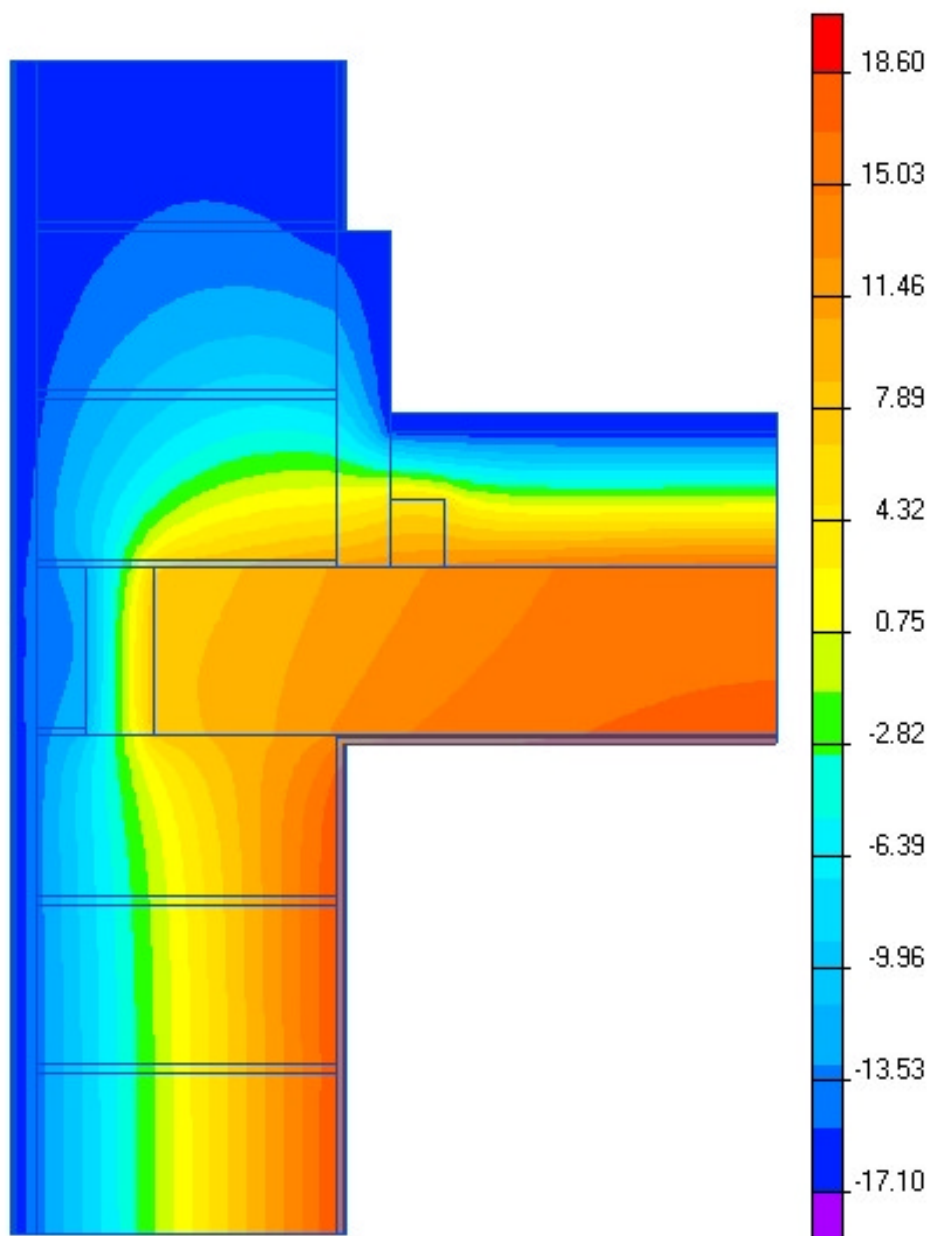
Zpracovatel: Energy Consulting – Project, s.r.o., Přemyslská 484/28, 182 00 Praha 8,

IČ 26113317; mobil 777 196 154, e-mail: [info@e-c.cz](mailto:info@e-c.cz)

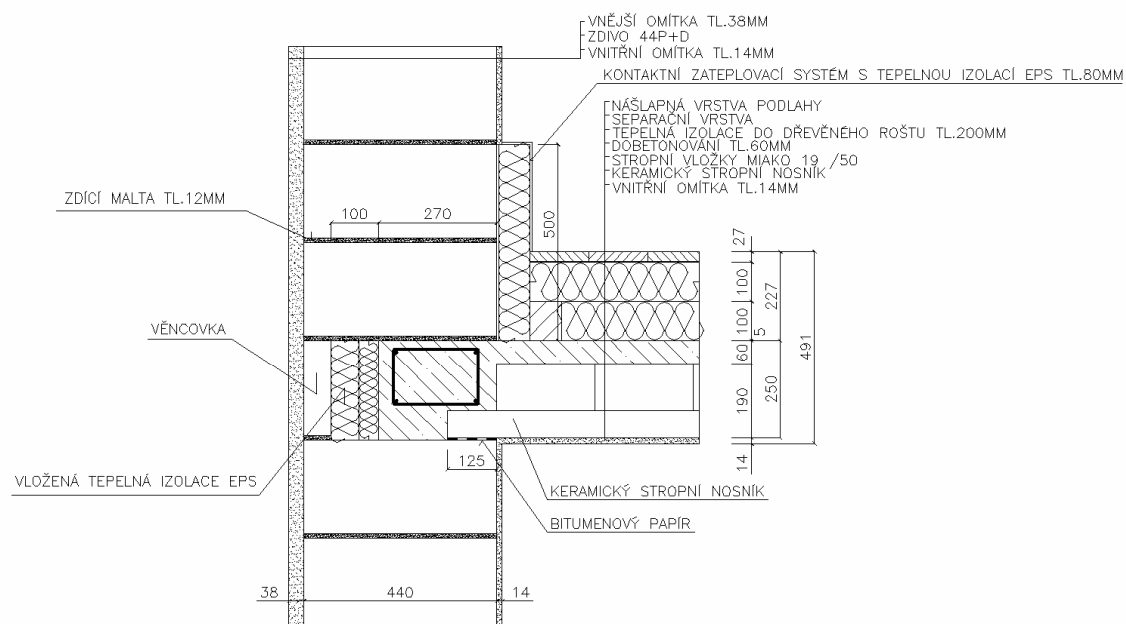




226 Detail ztužujícího věnce mezi vytápěným podlažím a nevytápěnou půdou P+D 440 mm		
lineární číselník průstupu tepla - interiér $\psi_i$ W/(m.K)	lineární číselník průstupu tepla - exteriér $\psi_e$ W/(m.K)	teplotní faktor $f_{Rsi}$ -
0,215	-0,010	0,8260

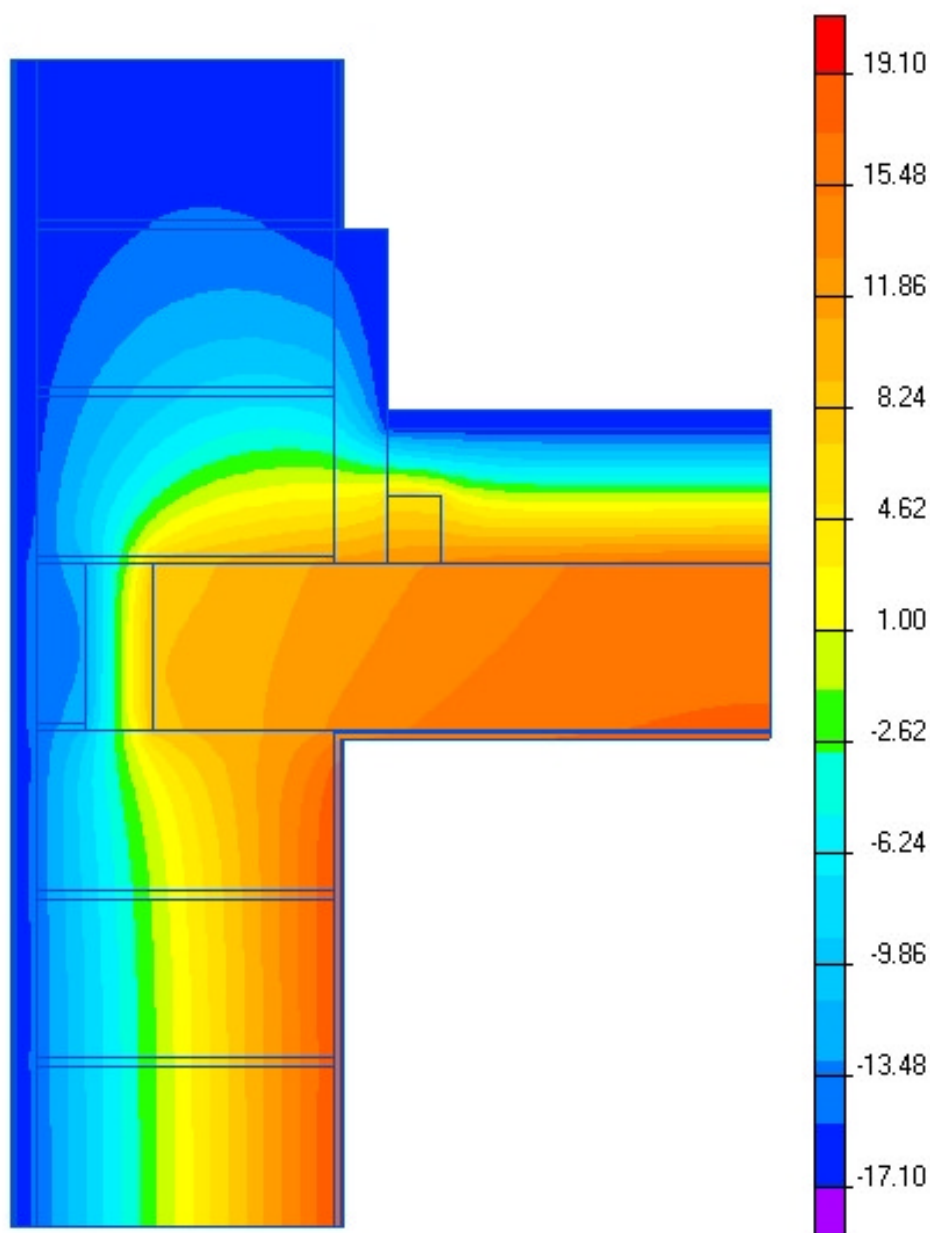




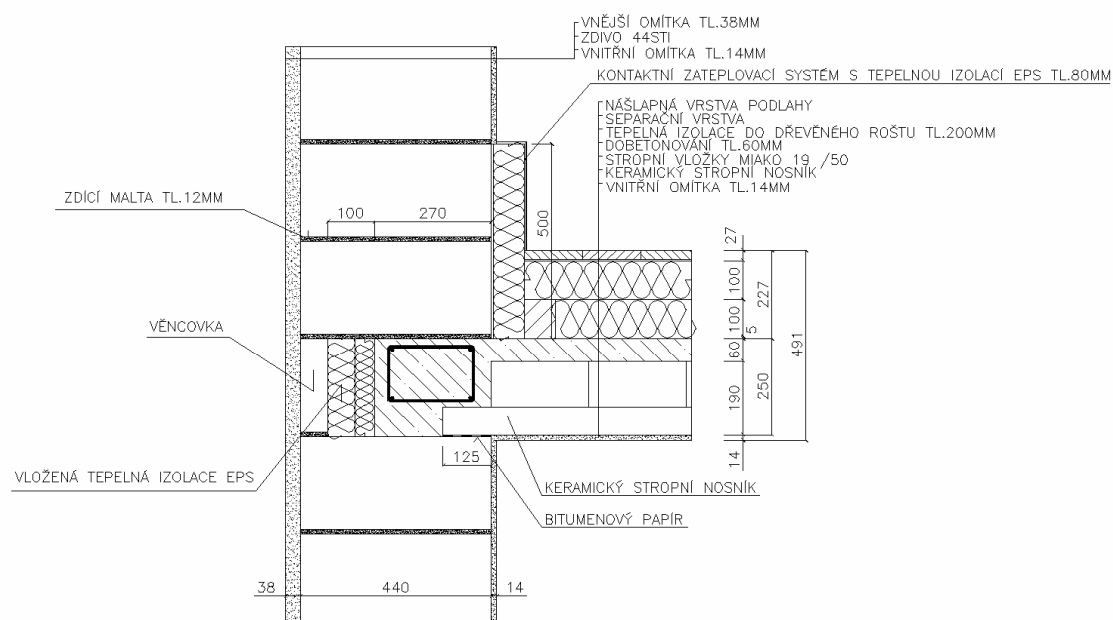




227 Detail ztužujícího věnce mezi vytápěným podlažím a nevytápěnou půdou STI 440 mm		
lineární činitel prostupu tepla - interiér $\psi_i$ W/(m.K)	lineární činitel prostupu tepla - exteriér $\psi_e$ W/(m.K)	teplotní faktor $f_{Rsi}$ -
0,198	-0,001	0,8379

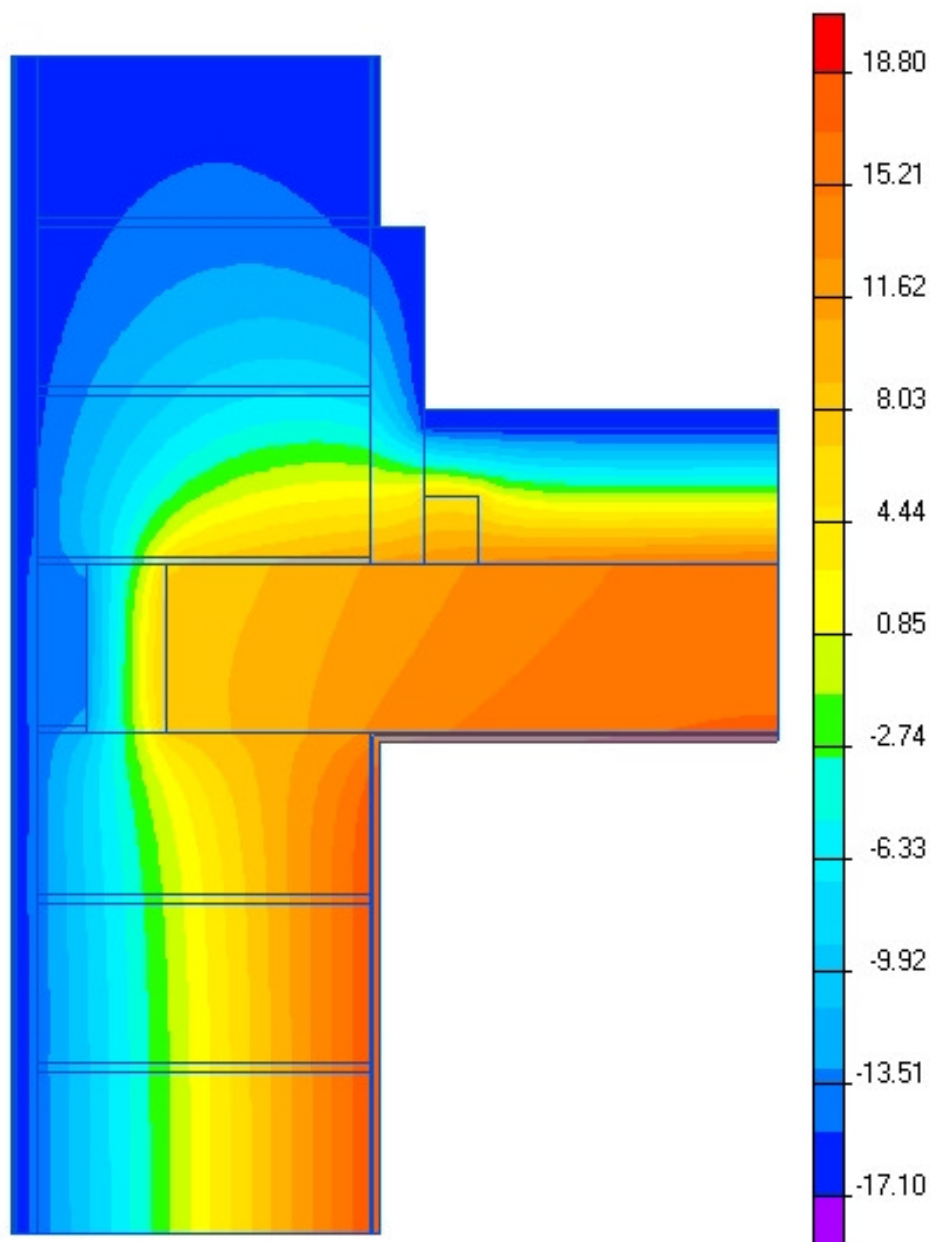




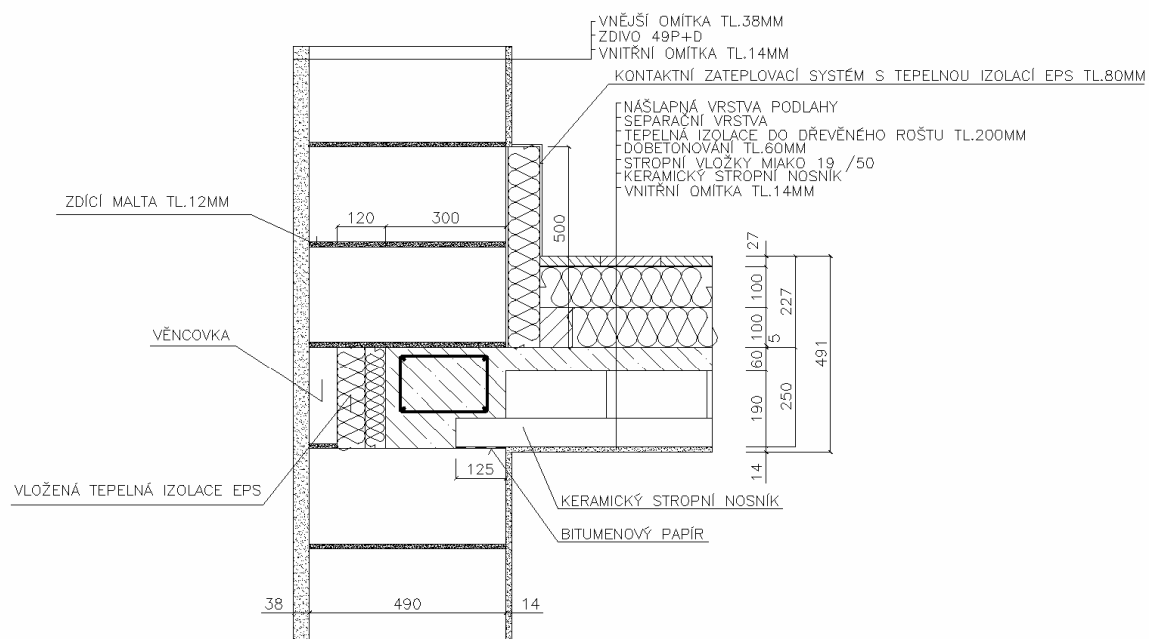




228 Detail ztužujícího věnce mezi vytápěným podlažím a nevytápěnou půdou P+D 490 mm		
lineární číselník průtoku tepla - interiér $\psi_i$ W/(m.K)	lineární číselník průtoku tepla - exteriér $\psi_e$ W/(m.K)	teplotní faktor $f_{Rsi}$ -
0,208	-0,014	0,8292

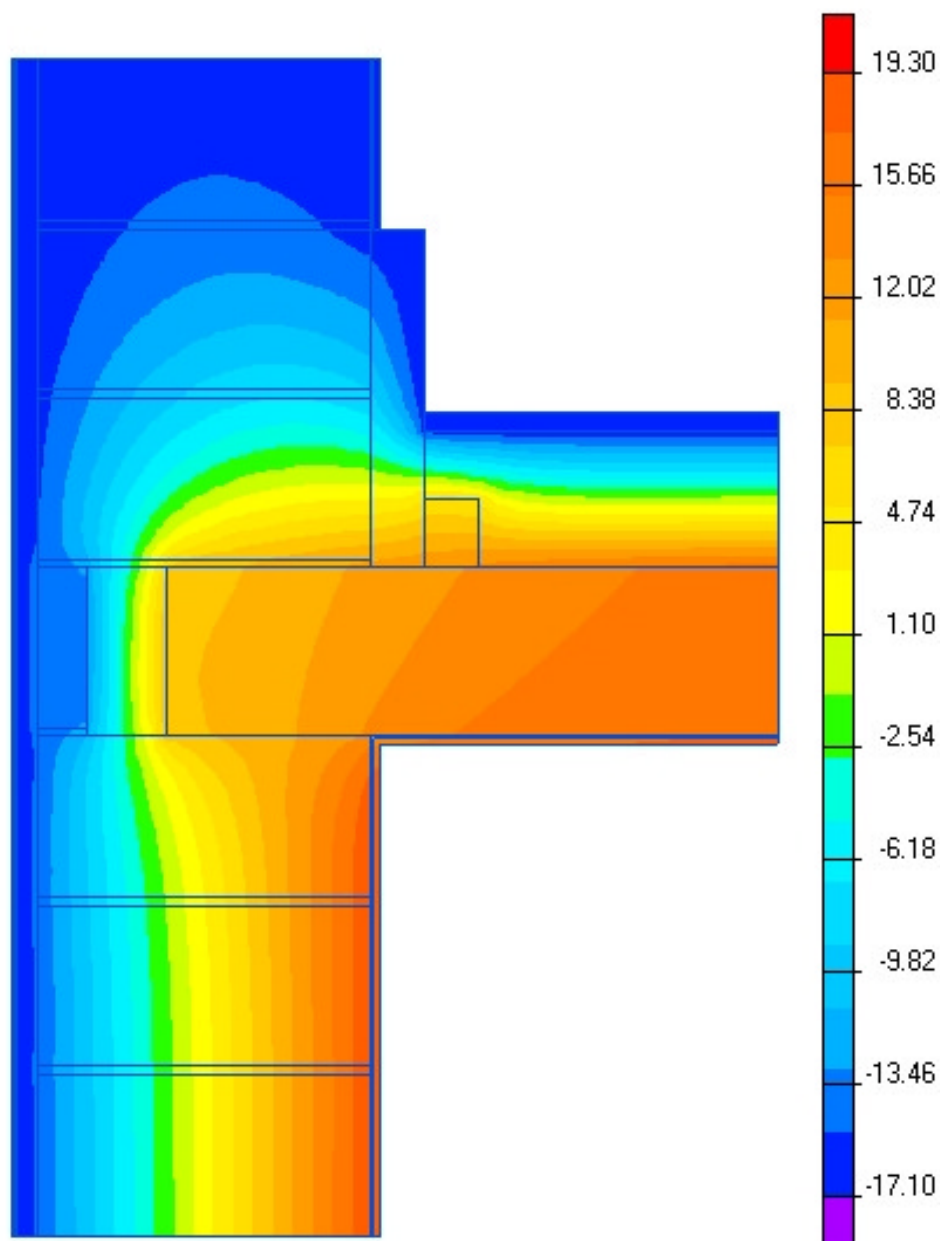




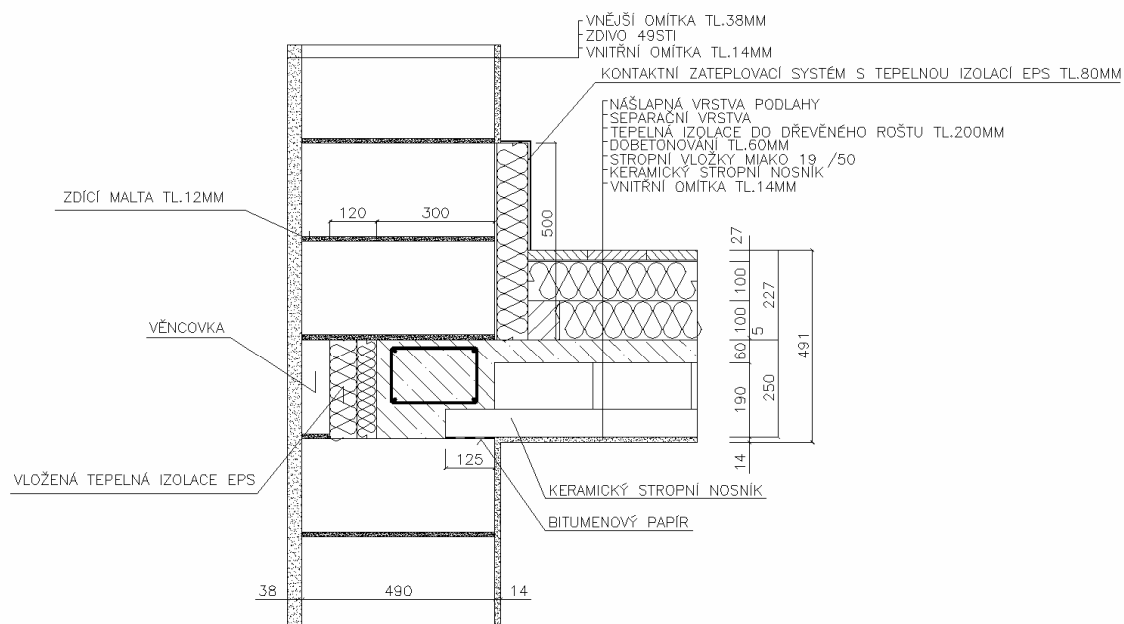




229 Detail ztužujícího věnce mezi vytápěným podlažím a nevytápěnou půdou STI 490 mm		
lineární číselník průtoku tepla - interiér $\psi_i$ W/(m.K)	lineární číselník průtoku tepla - exteriér $\psi_e$ W/(m.K)	teplotní faktor $f_{Rsi}$ -
0,190	-0,008	0,8413

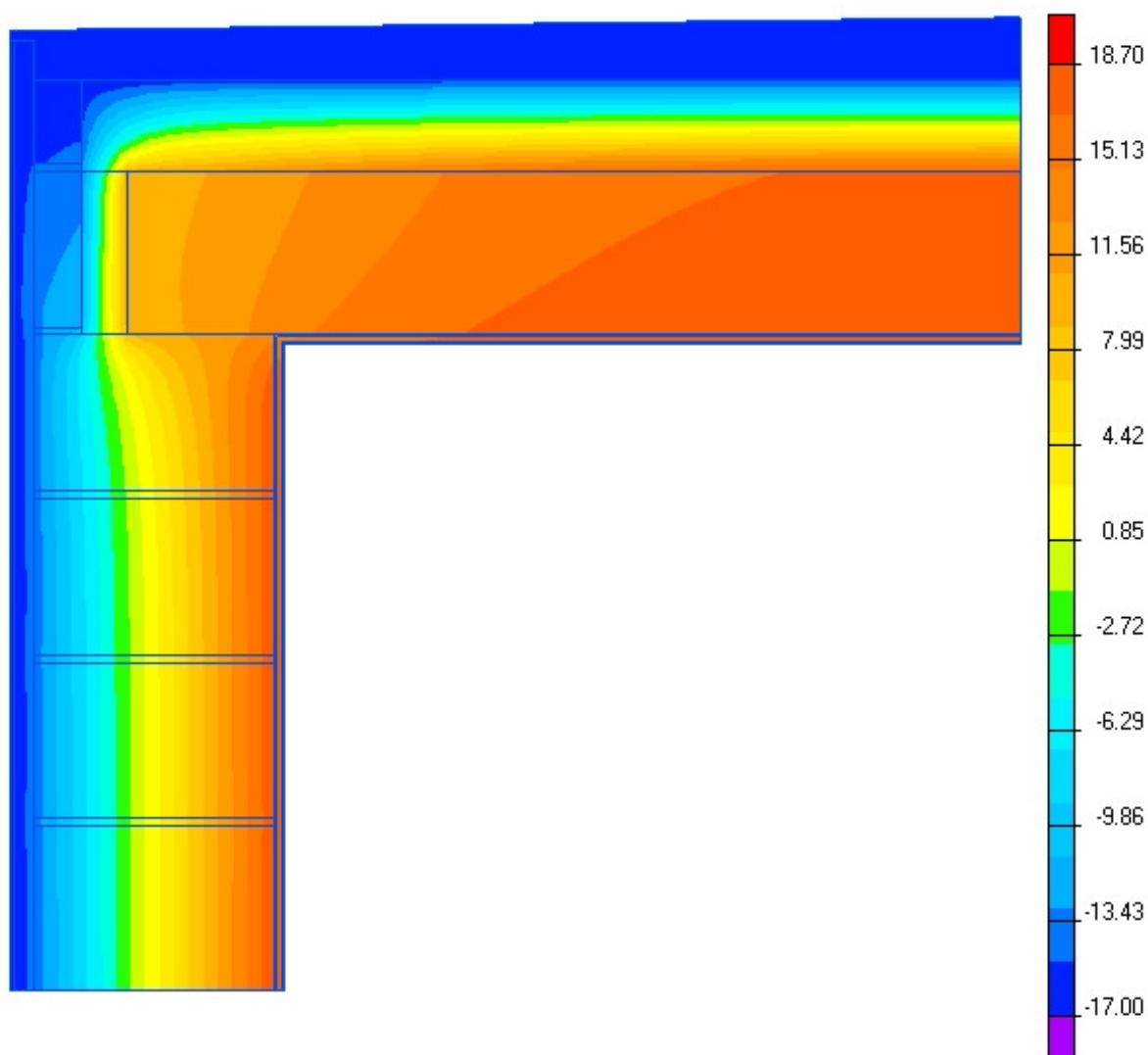




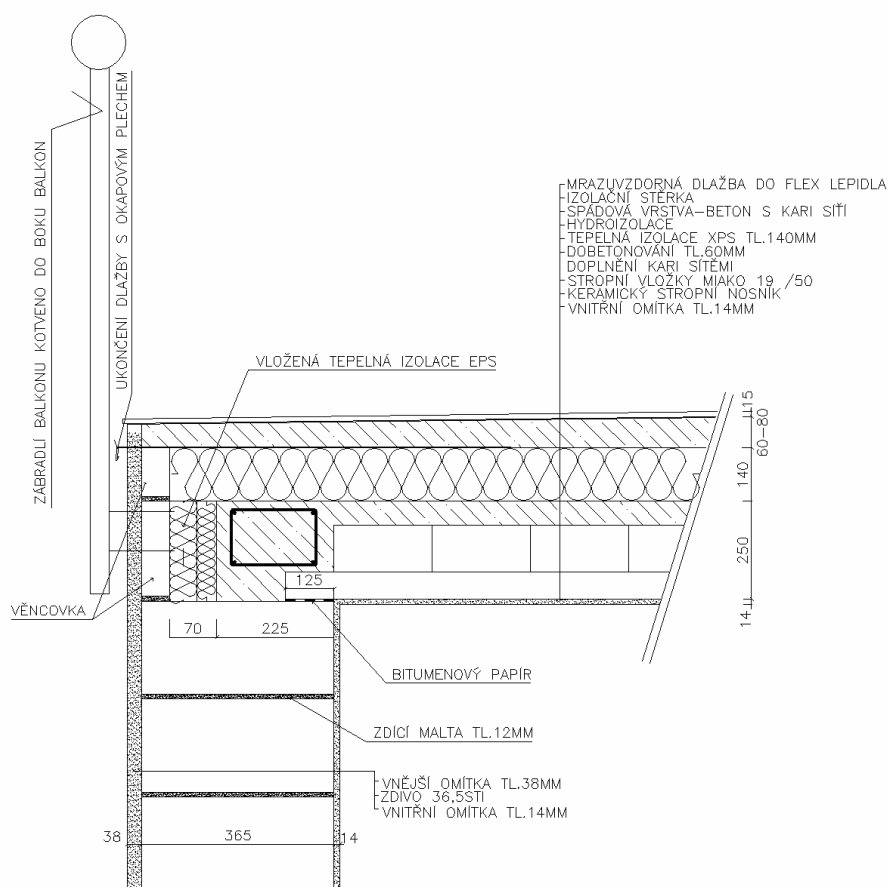




231 Detail terasy a obvodového zdiva STI 365 mm		
lineární činitel prostupu tepla - interiér $\psi_i$ W/(m.K)	lineární činitel prostupu tepla - exteriér $\psi_e$ W/(m.K)	teplotní faktor $f_{Rsi}$ -
0,175	0,082	0,8451

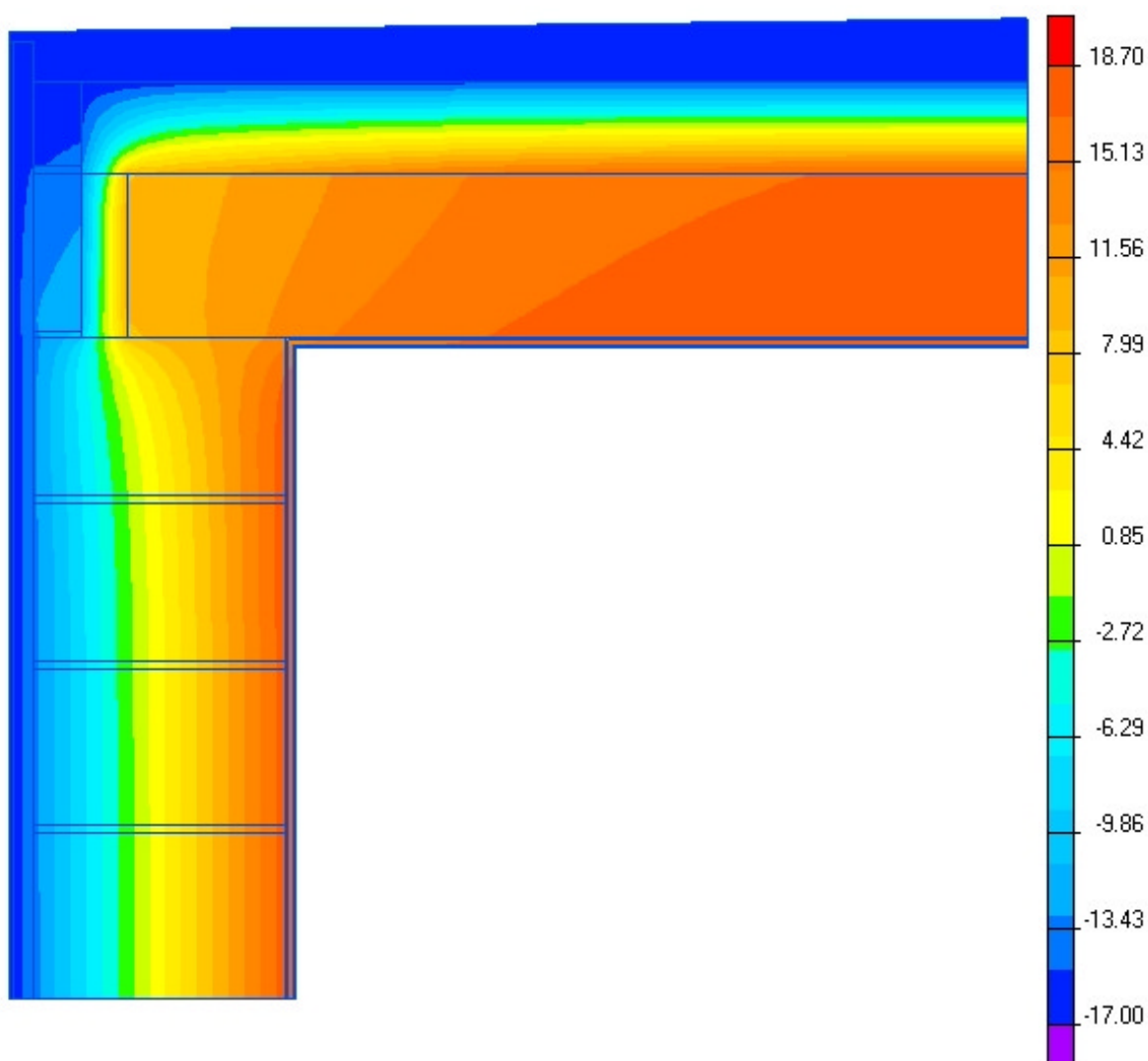




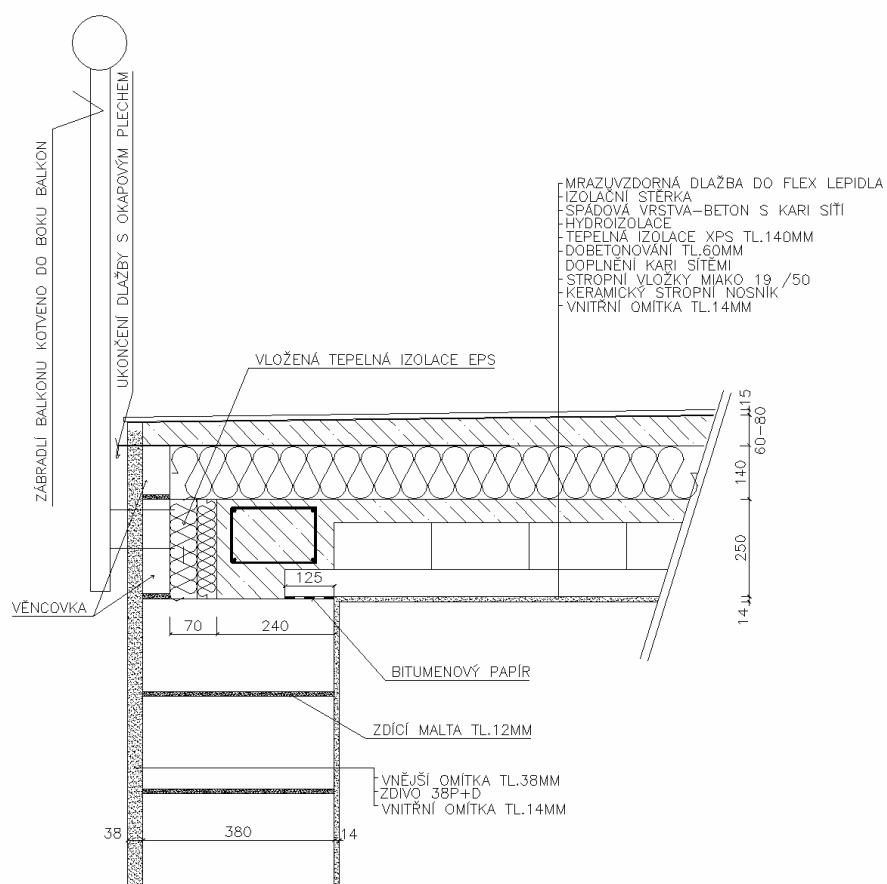




232 Detail terasy a obvodového zdiva P+D 380 mm		
lineární činitel prostupu tepla - interiér $\psi_i$ W/(m.K)	lineární činitel prostupu tepla - exteriér $\psi_e$ W/(m.K)	teplotní faktor $f_{Rsi}$ -
0,178	0,082	0,8395

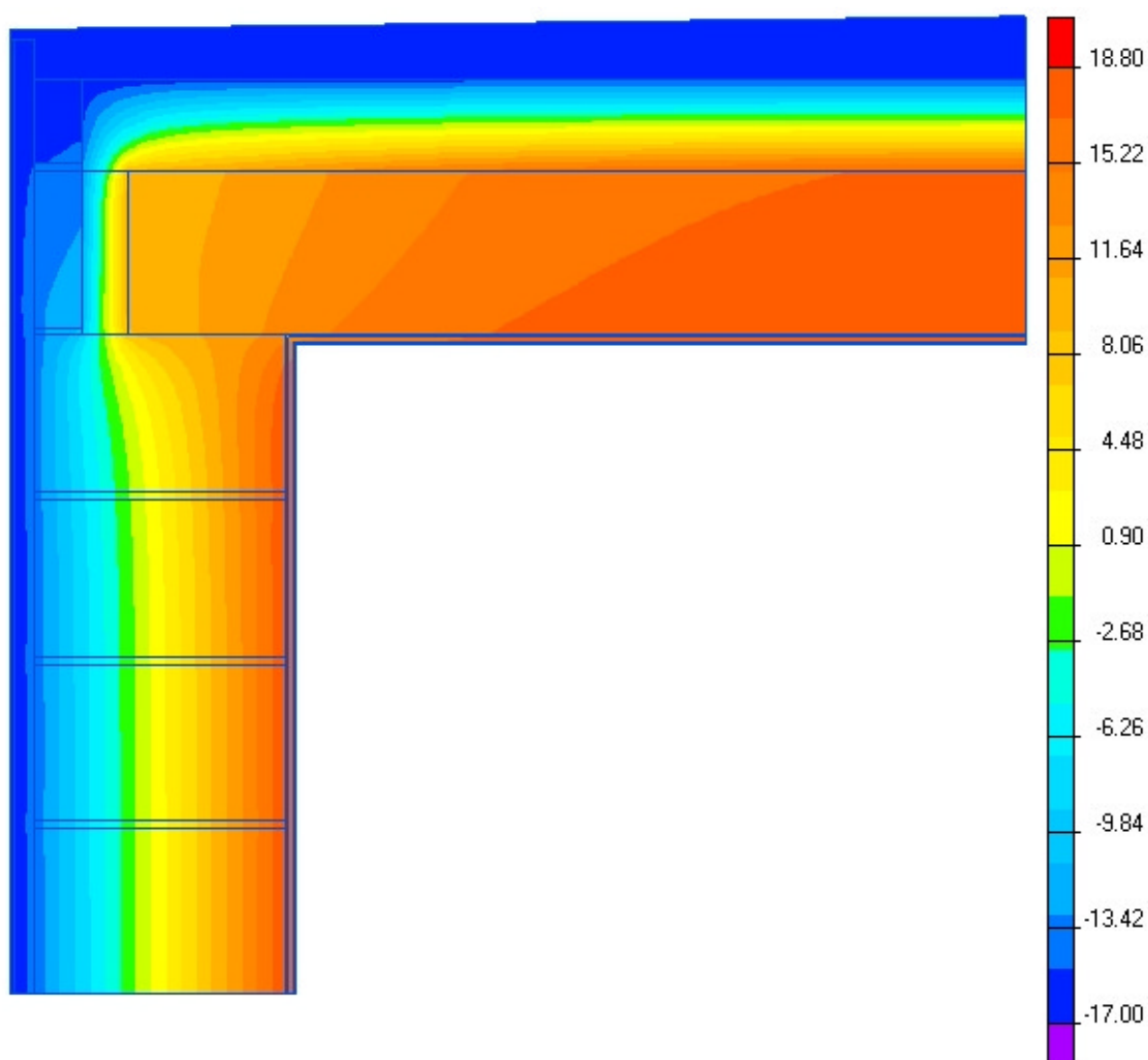




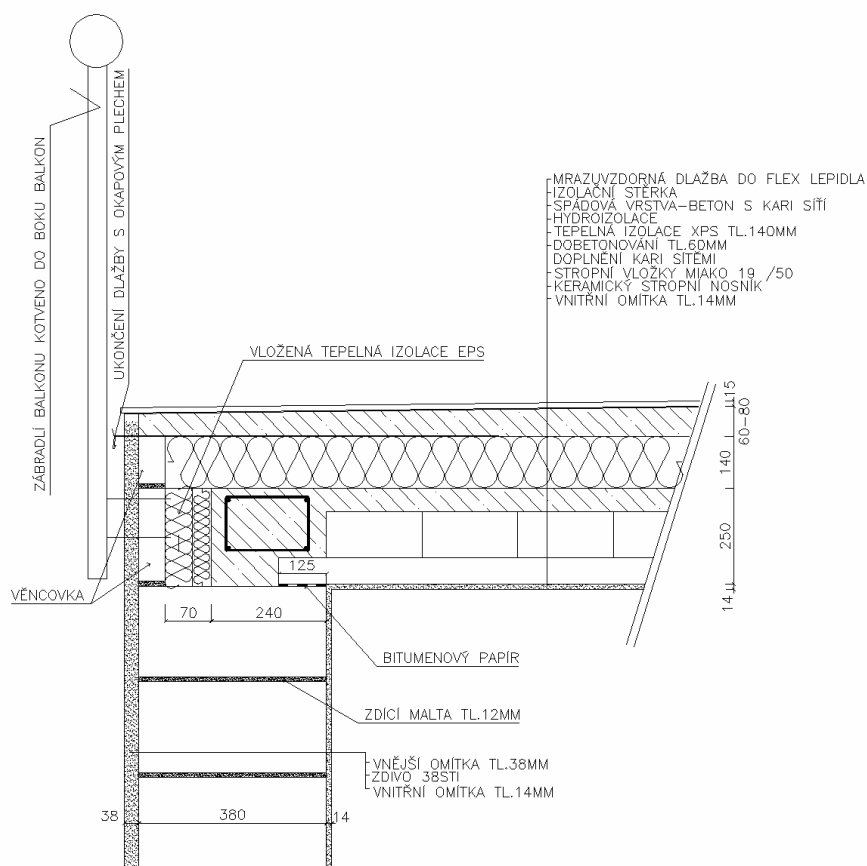




233 Detail terasy a obvodového zdiva STI 380 mm		
lineární činitel prostupu tepla - interiér $\psi_i$ W/(m.K)	lineární činitel prostupu tepla - exteriér $\psi_e$ W/(m.K)	teplotní faktor $f_{Rsi}$ -
0,177	0,081	0,8443

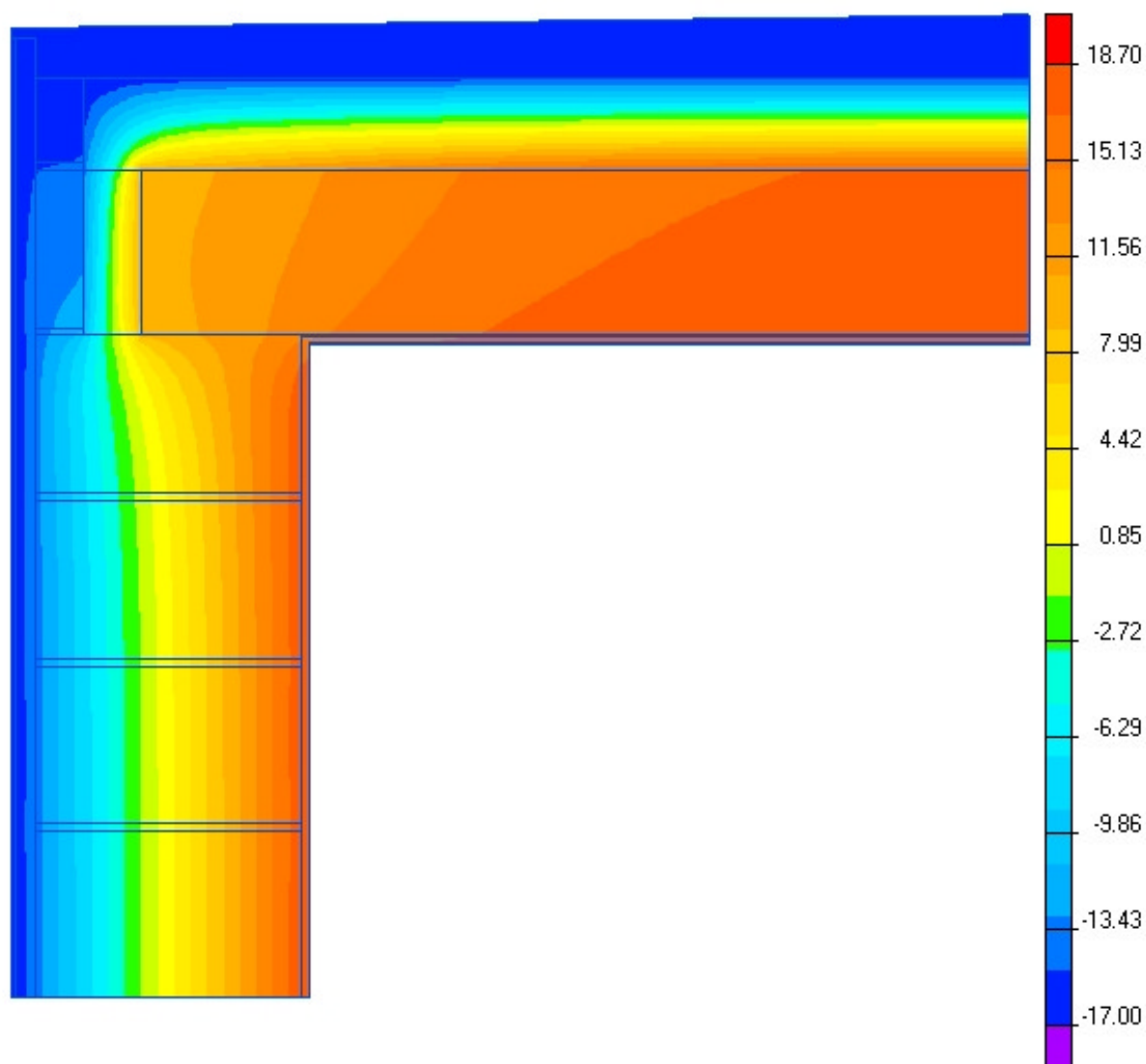




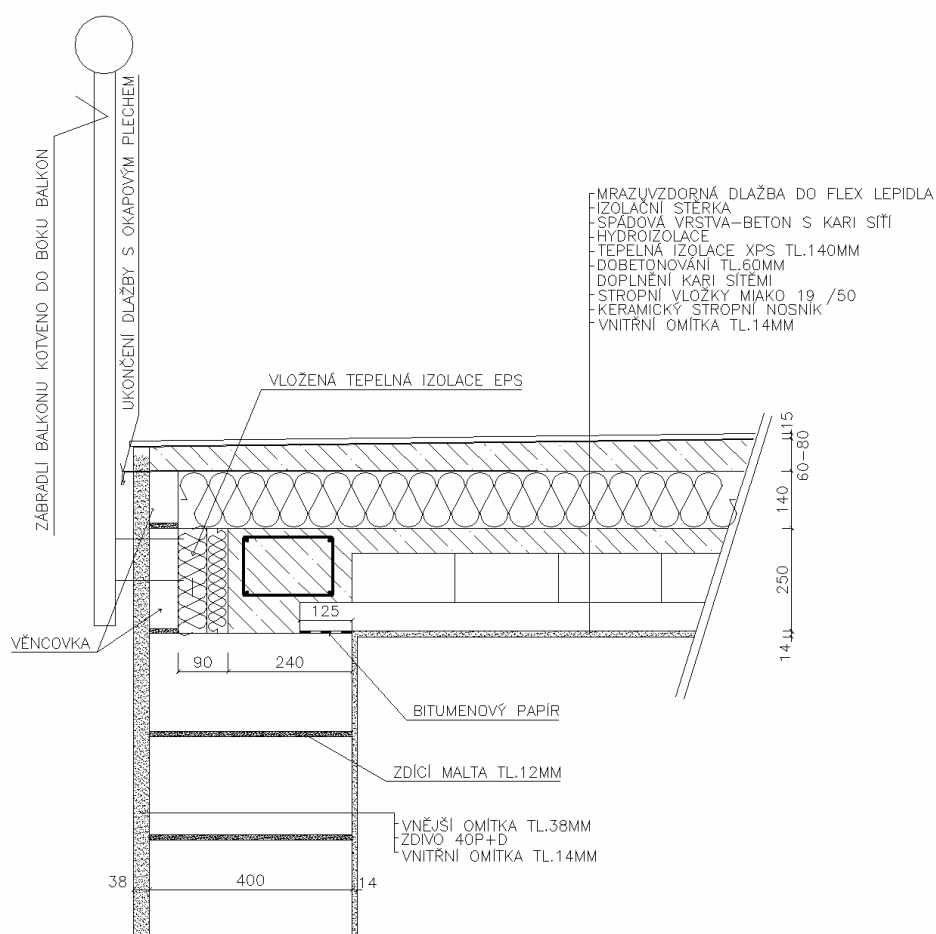




234 Detail terasy a obvodového zdiva P+D 400 mm		
lineární činitel prostupu tepla - interiér $\psi_i$ W/(m.K)	lineární činitel prostupu tepla - exteriér $\psi_e$ W/(m.K)	teplotní faktor $f_{Rsi}$ -
0,161	0,061	0,8483

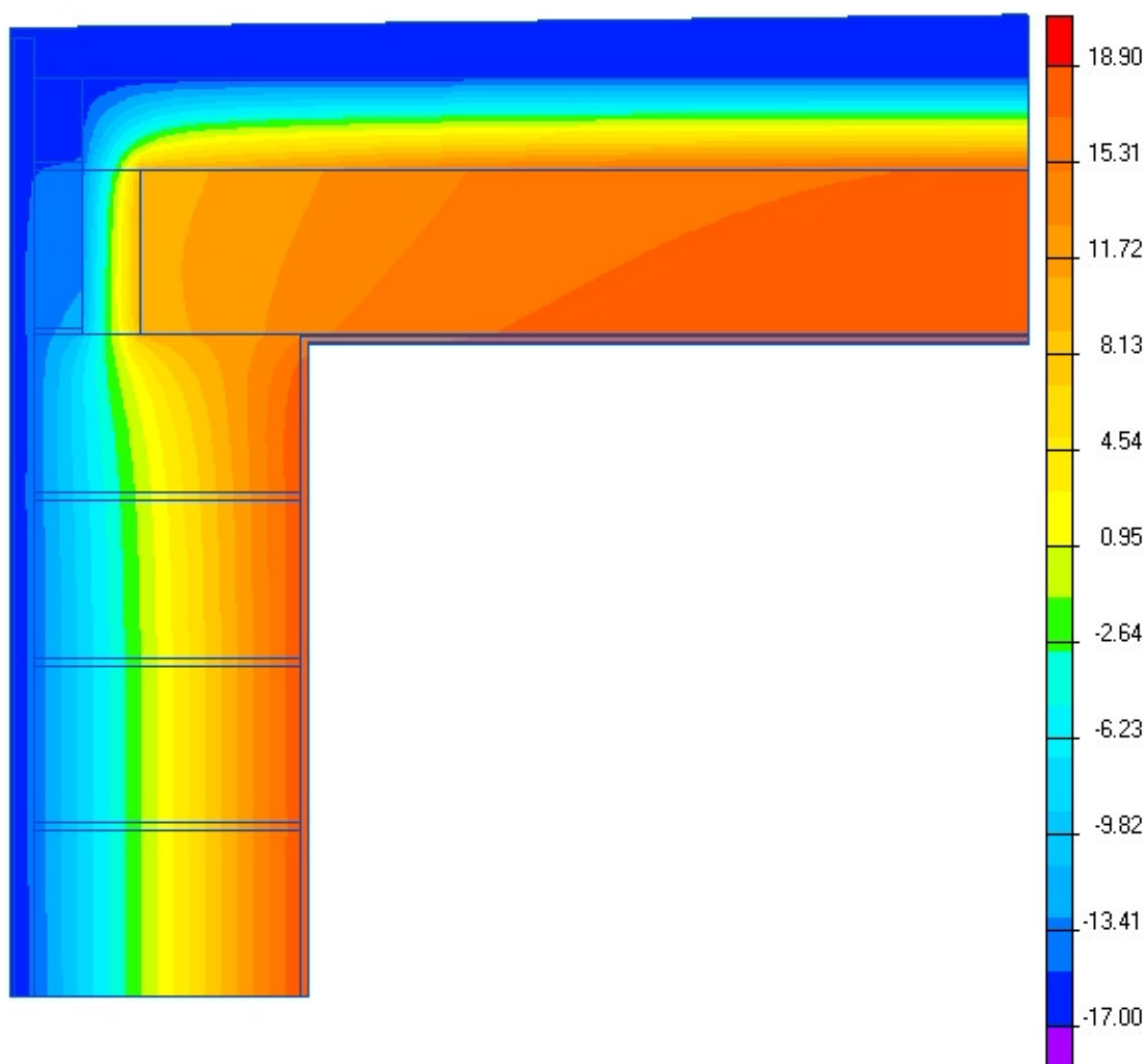




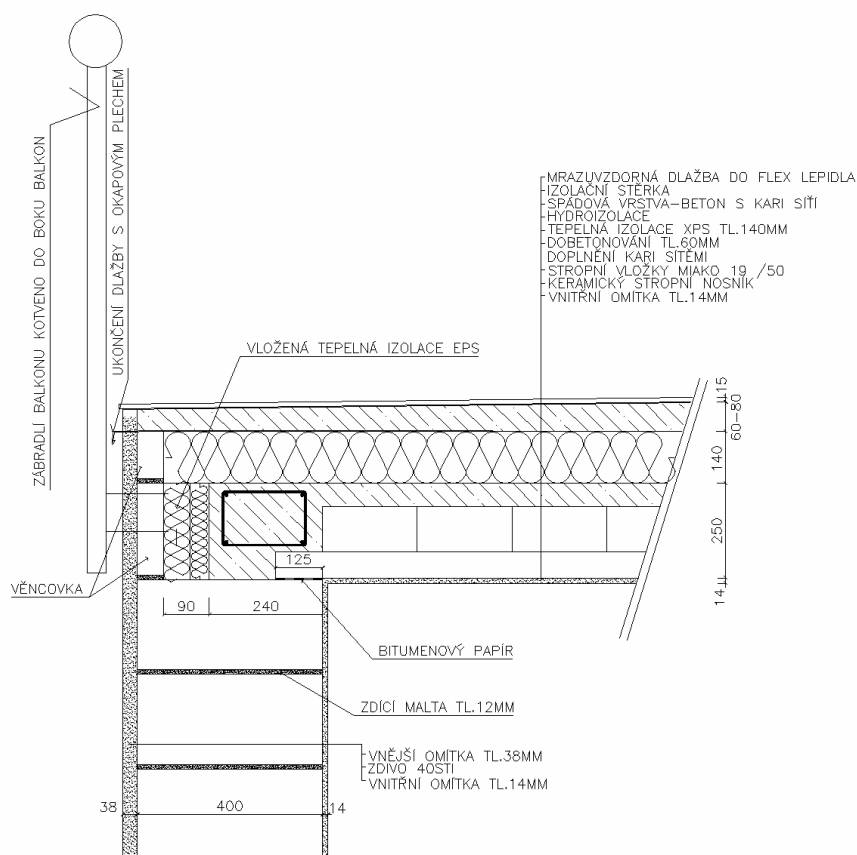




235 Detail terasy a obvodového zdiva STI 400 mm		
lineární činitel prostupu tepla - interiér $\psi_i$ W/(m.K)	lineární činitel prostupu tepla - exteriér $\psi_e$ W/(m.K)	teplotní faktor $f_{Rsi}$ -
0,160	0,060	0,8548

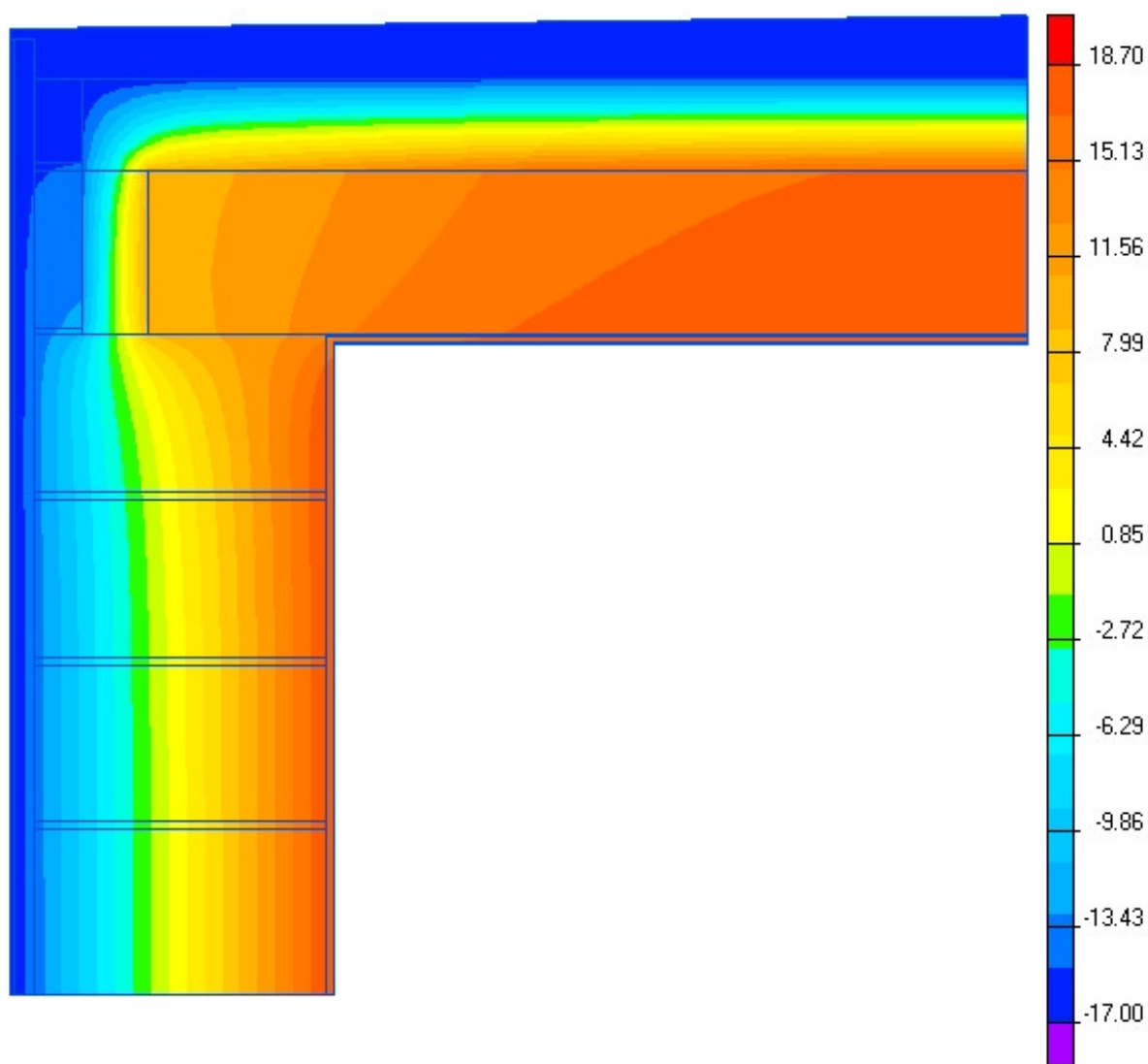






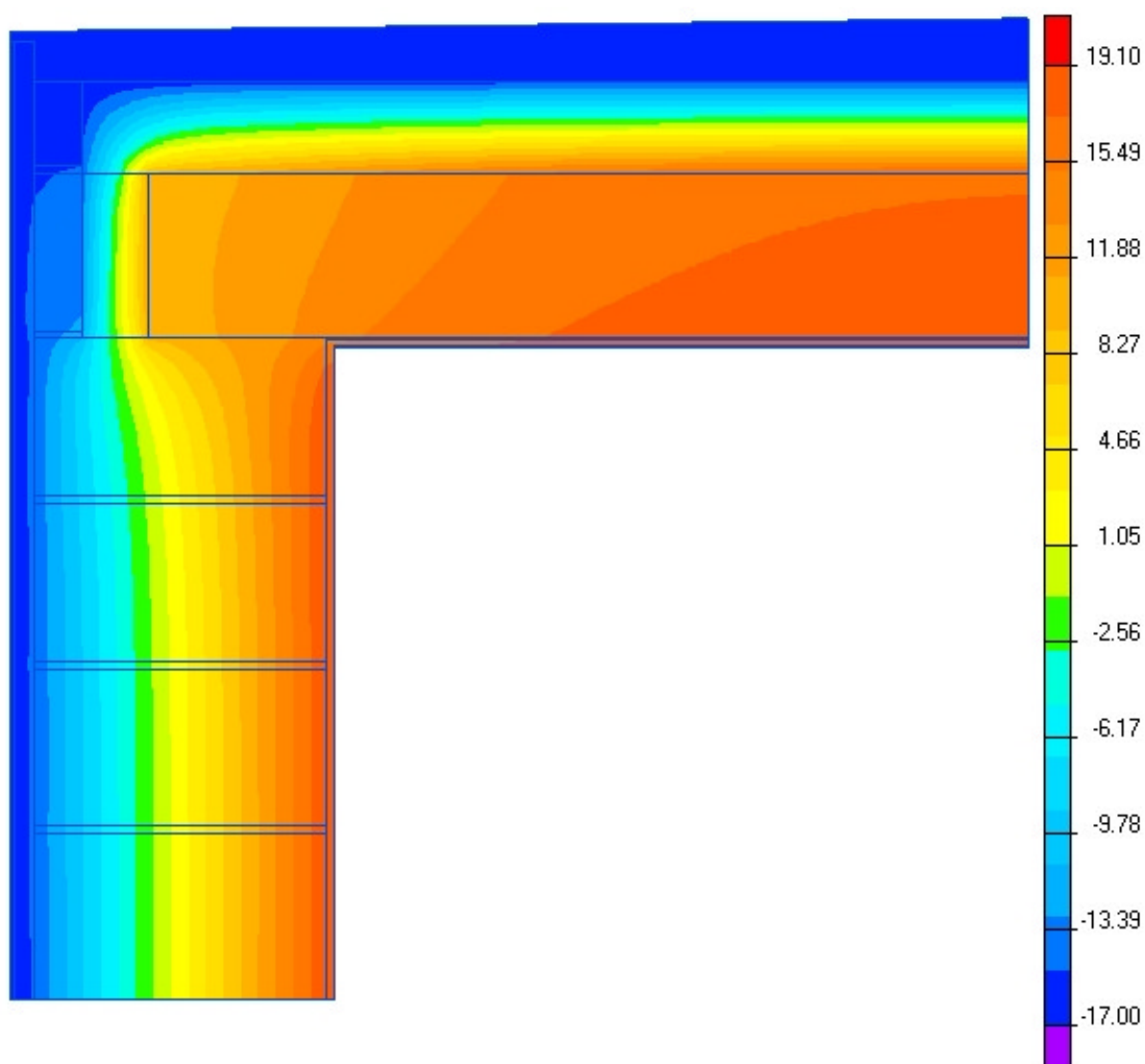


236 Detail terasy a obvodového zdiva P+D 440 mm		
lineární činitel prostupu tepla - interiér $\psi_i$ W/(m.K)	lineární činitel prostupu tepla - exteriér $\psi_e$ W/(m.K)	teplotní faktor $f_{Rsi}$ -
0,159	0,050	0,8501



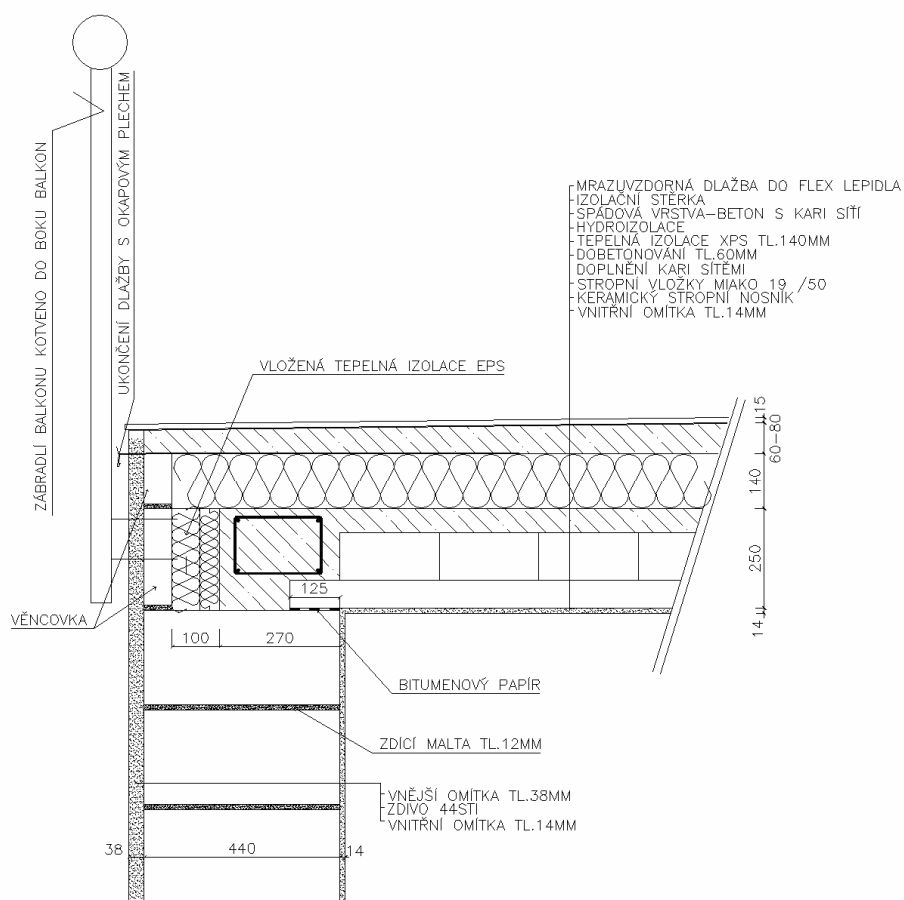


237 Detail terasy a obvodového zdiva STI 440 mm		
lineární činitel prostupu tepla - interiér $\psi_i$ W/(m.K)	lineární činitel prostupu tepla - exteriér $\psi_e$ W/(m.K)	teplotní faktor $f_{Rsi}$ -
0,159	0,049	0,8548



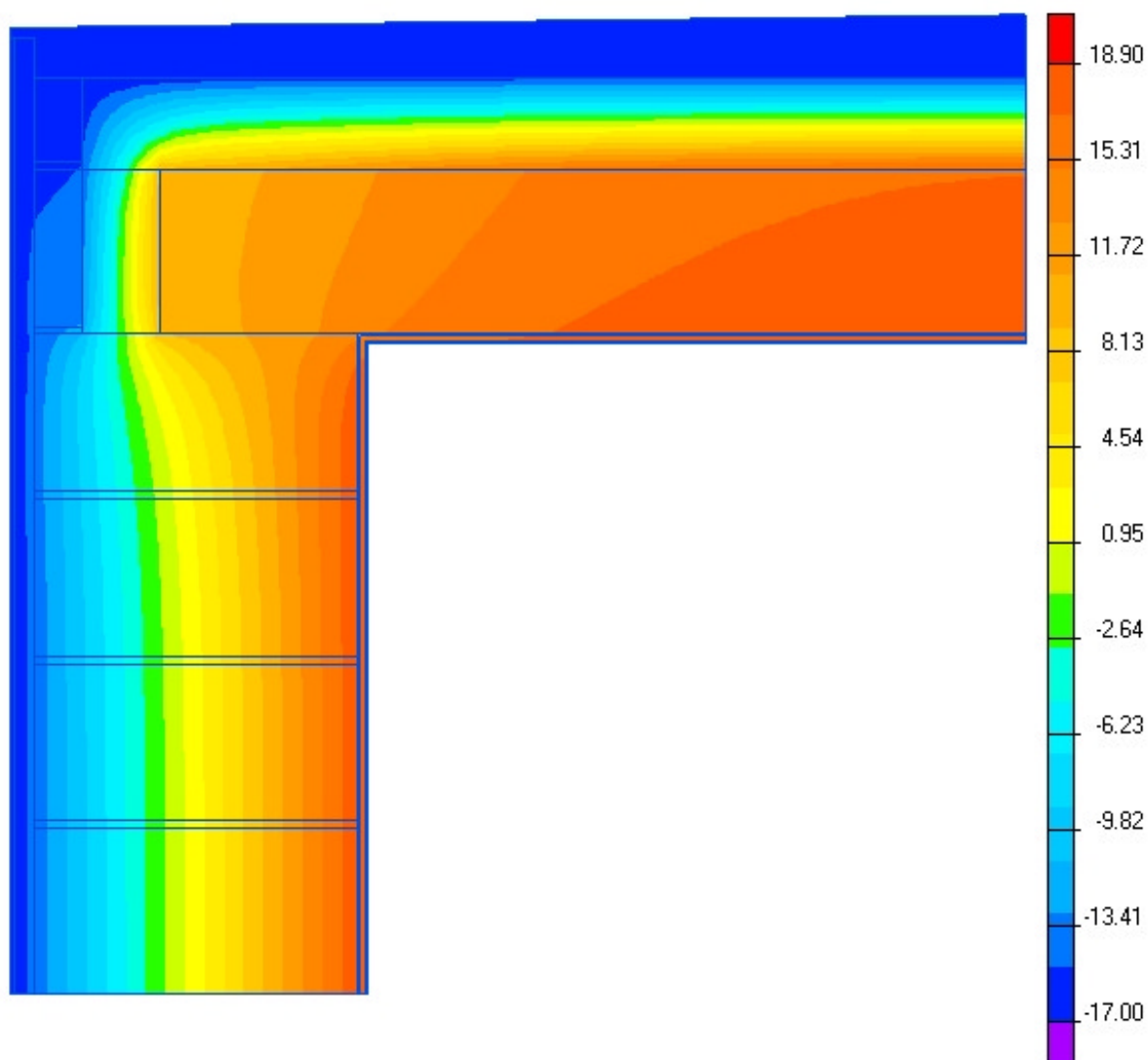


Obsah: "Výpočet typických tepelných mostů a jejich minimalizace – 250 detailů"  
 Zpracovatel: Energy Consulting – Project, s.r.o., Přemyslská 484/28, 182 00 Praha 8,  
 IČ 26113317; mobil 777 196 154, e-mail: [info@e-c.cz](mailto:info@e-c.cz)

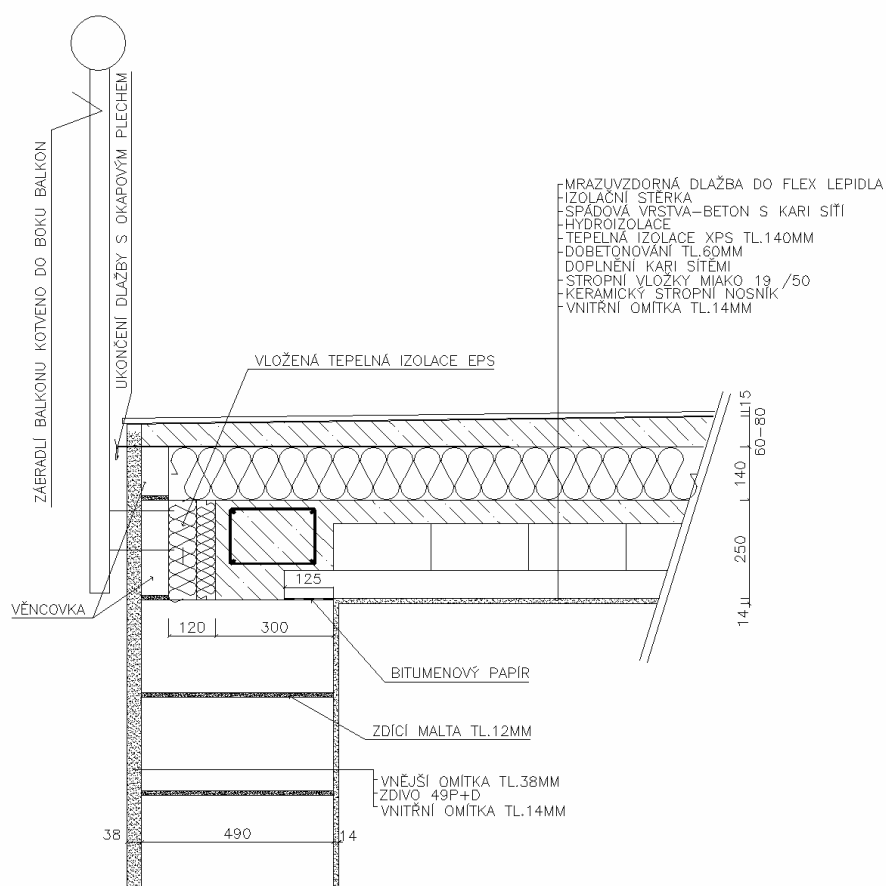




238 Detail terasy a obvodového zdiva P+D 490 mm		
lineární činitel prostupu tepla - interiér $\psi_i$ W/(m.K)	lineární činitel prostupu tepla - exteriér $\psi_e$ W/(m.K)	teplotní faktor $f_{Rsi}$ -
0,154	0,034	0,8539

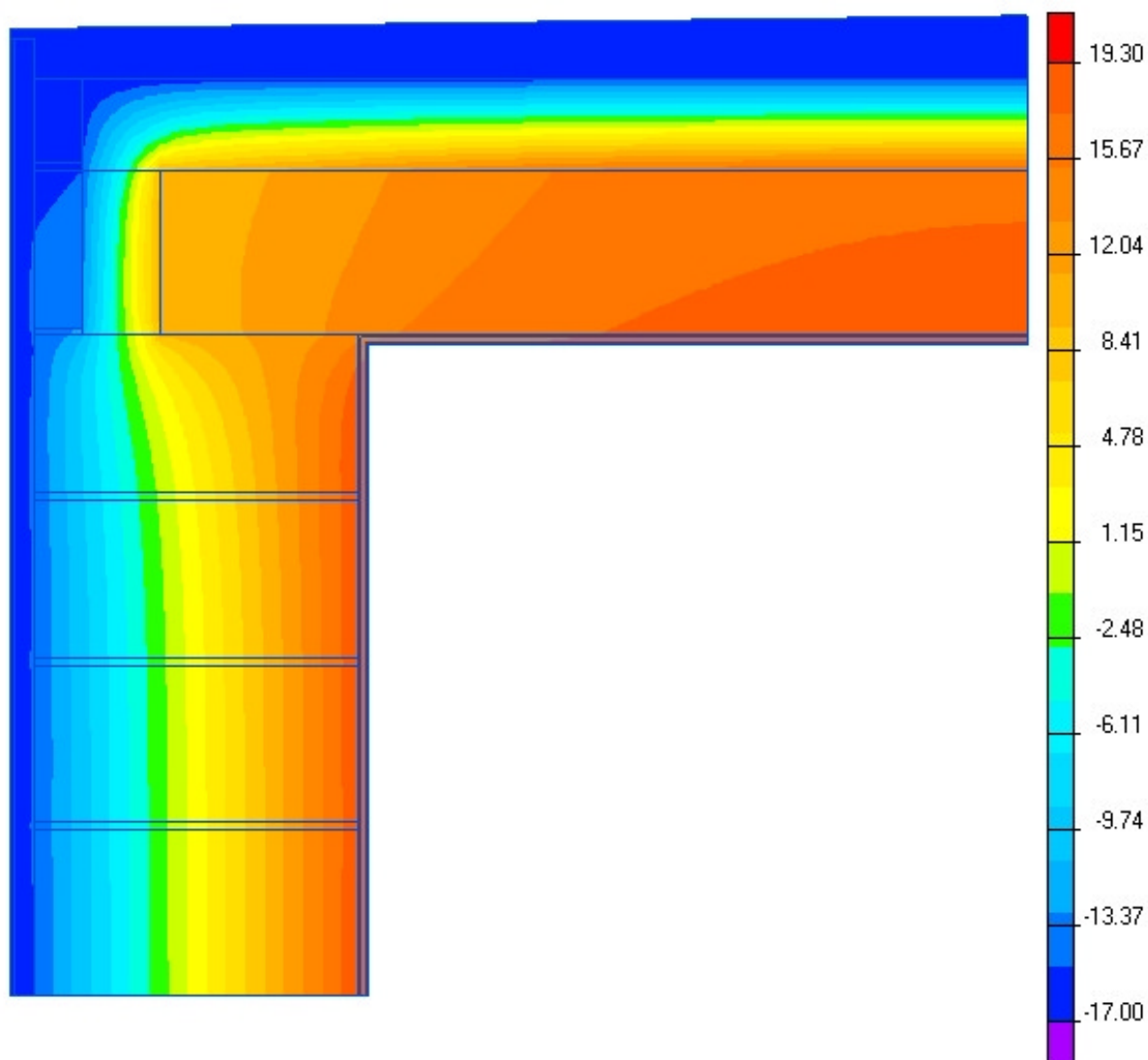






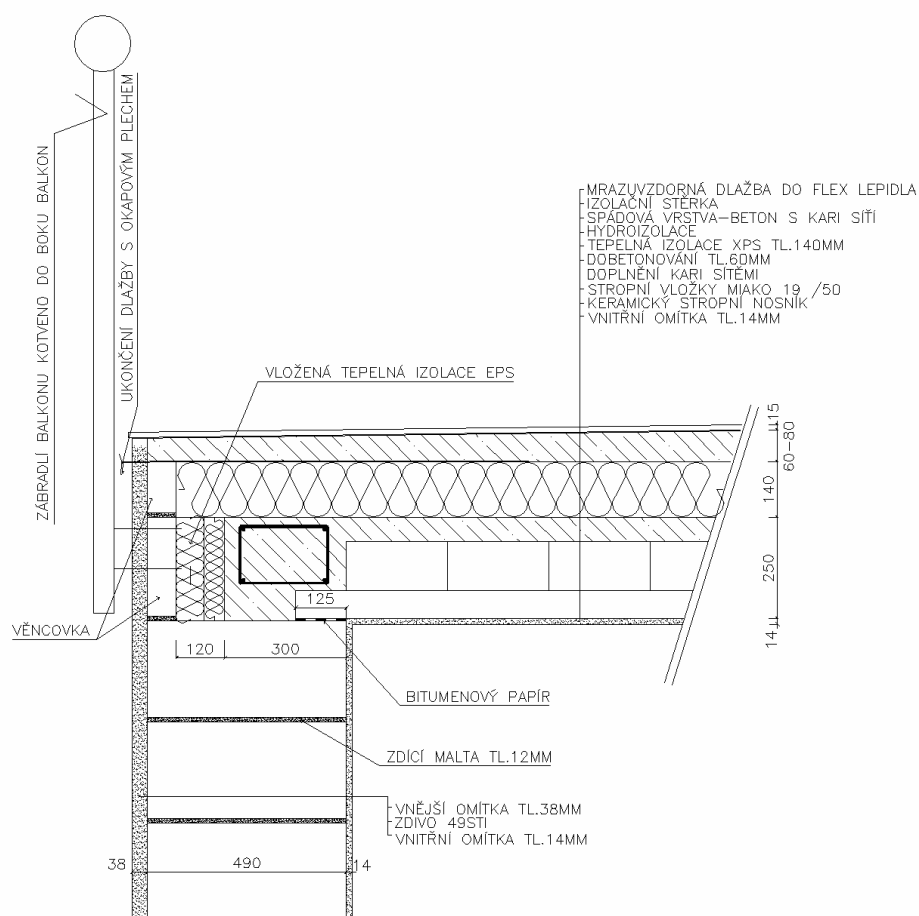


239 Detail terasy a obvodového zdiva STI 490 mm		
lineární činitel prostupu tepla - interiér $\psi_i$ W/(m.K)	lineární činitel prostupu tepla - exteriér $\psi_e$ W/(m.K)	teplotní faktor $f_{Rsi}$ -
0,153	0,033	0,8583



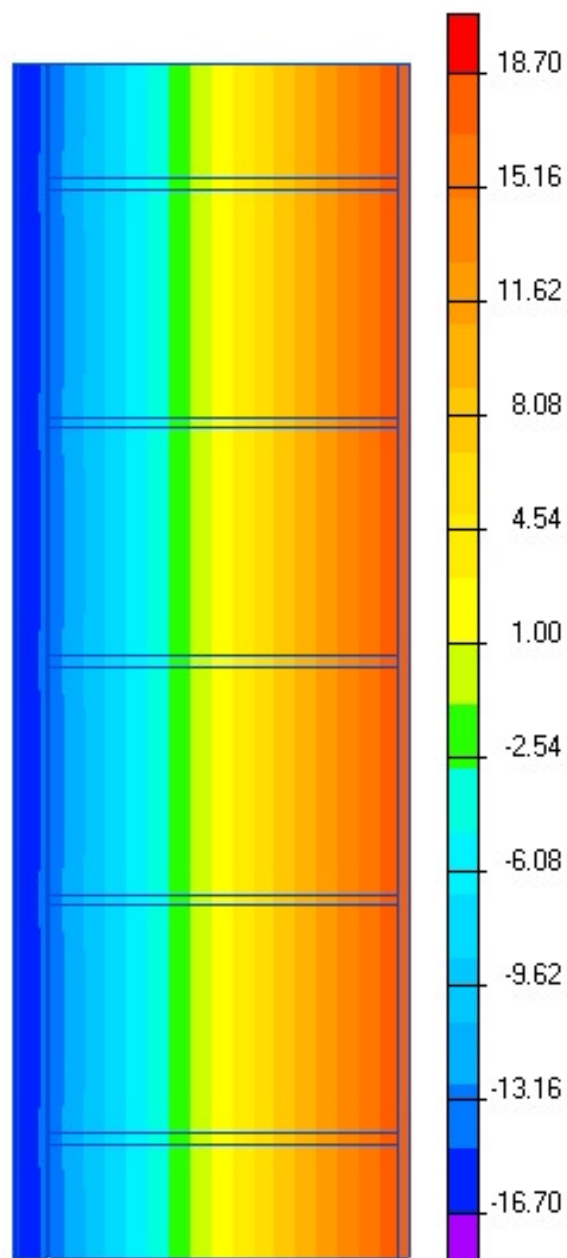


Obsah: "Výpočet typických tepelných mostů a jejich minimalizace – 250 detailů"  
 Zpracovatel: Energy Consulting – Project, s.r.o., Přemyslská 484/28, 182 00 Praha 8,  
 IČ 26113317; mobil 777 196 154, e-mail: [info@e-c.cz](mailto:info@e-c.cz)

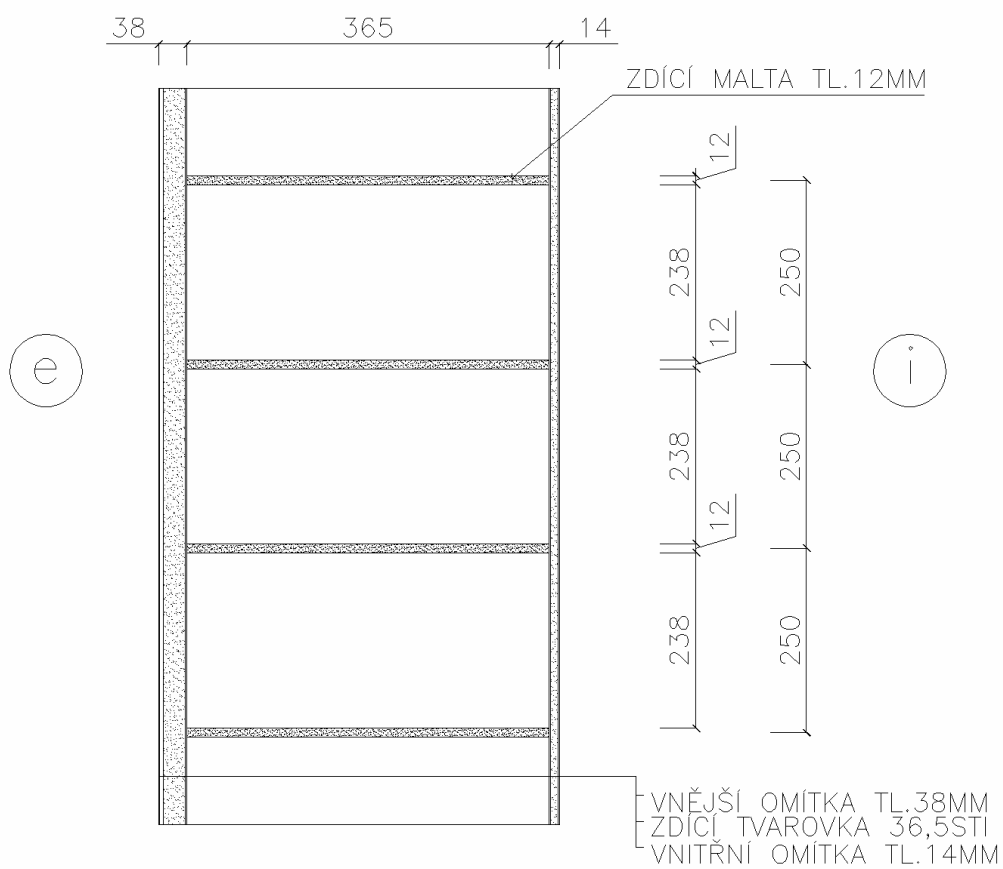




241 Detail ložné spáry zdiva s tepelně izolační maltou tl. 12 mm (normální zdivo) STI 365 mm		
lineární činitel prostupu tepla - interiér $\psi_i$ W/(m.K)	lineární činitel prostupu tepla - exteriér $\psi_e$ W/(m.K)	teplotní faktor $f_{Rsi}$ -
0,012	0,012	0,9094

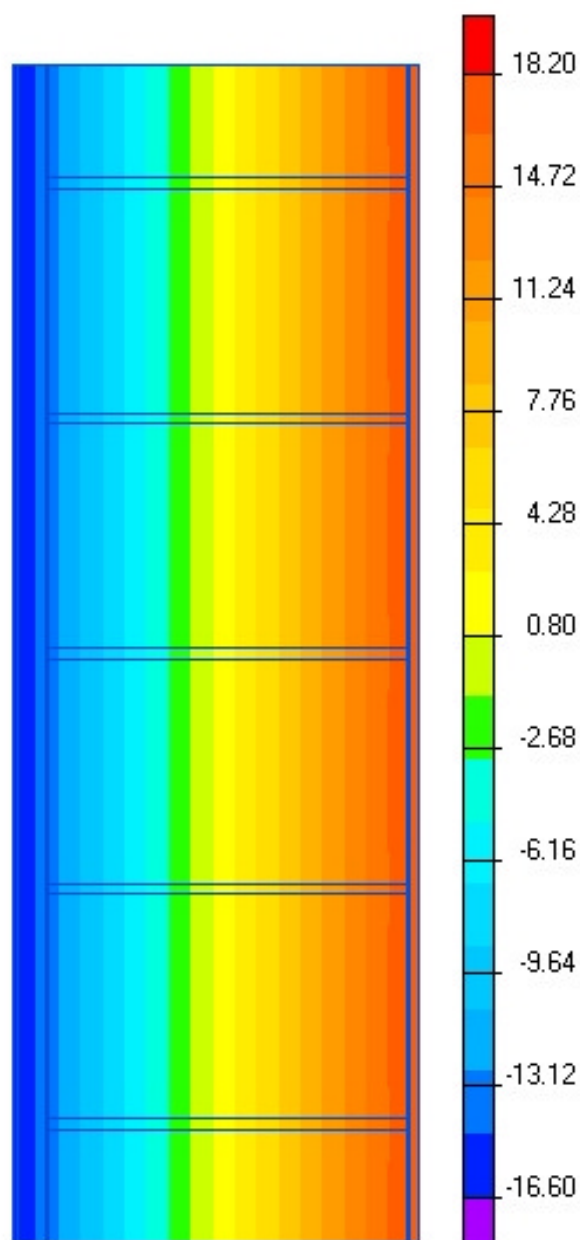






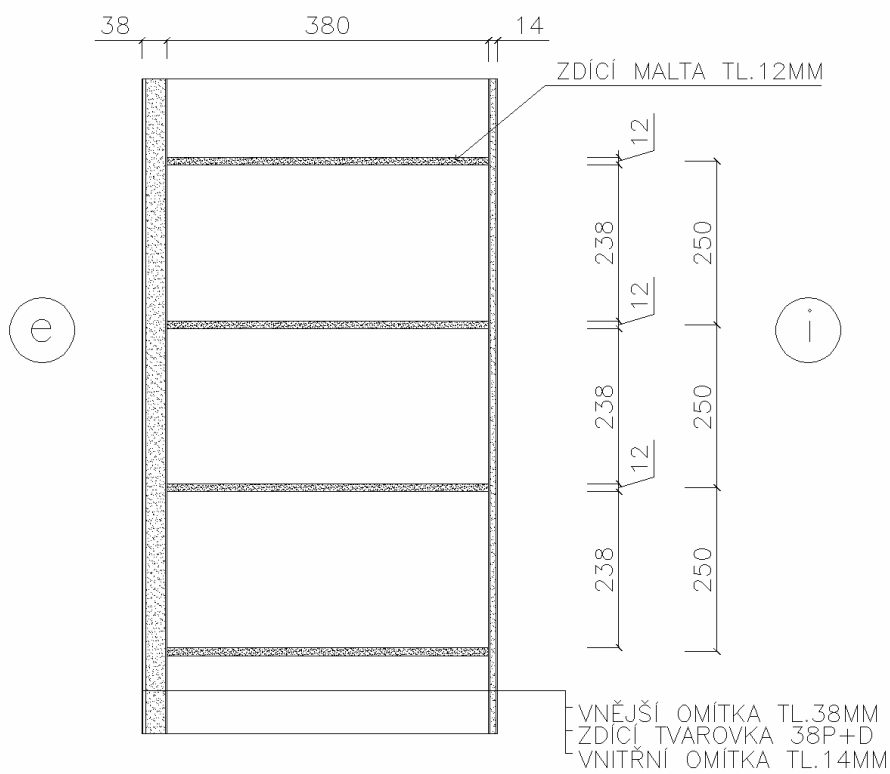


242 Detail ložné spáry zdiva s tepelně izolační maltou tl. 12 mm (normální zdivo) P+D 380 mm		
lineární činitel prostupu tepla - interiér $\psi_i$ W/(m.K)	lineární činitel prostupu tepla - exteriér $\psi_e$ W/(m.K)	teplotní faktor $f_{Rsi}$ -
0,008	0,008	0,8958



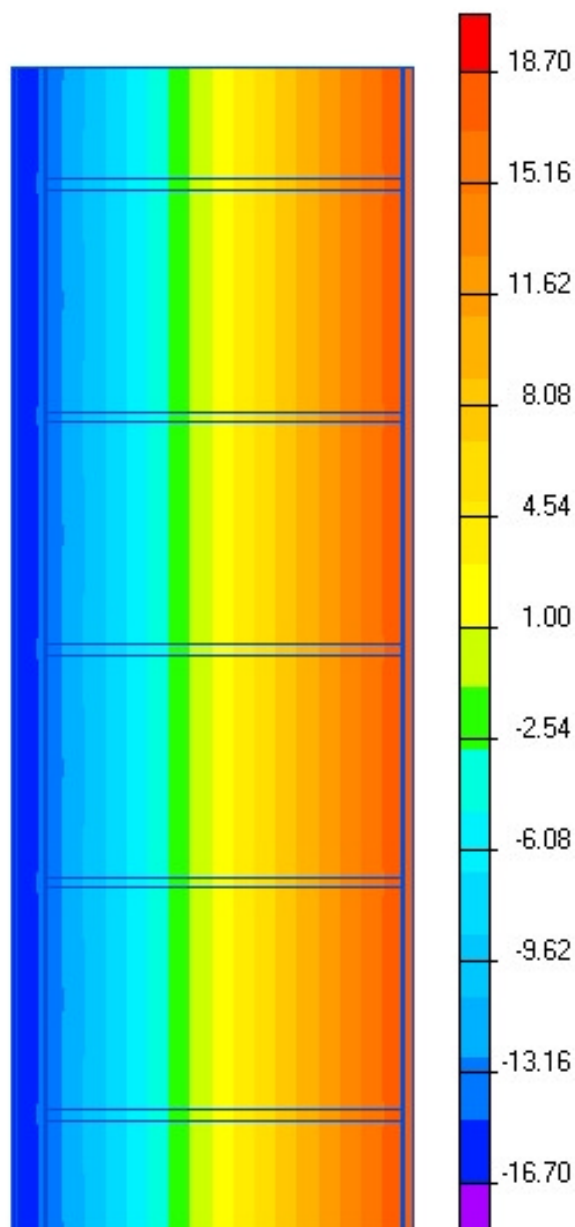


Obsah: "Výpočet typických tepelných mostů a jejich minimalizace – 250 detailů"  
Zpracovatel: Energy Consulting – Project, s.r.o., Přemyslská 484/28, 182 00 Praha 8,  
IČ 26113317; mobil 777 196 154, e-mail: [info@e-c.cz](mailto:info@e-c.cz)

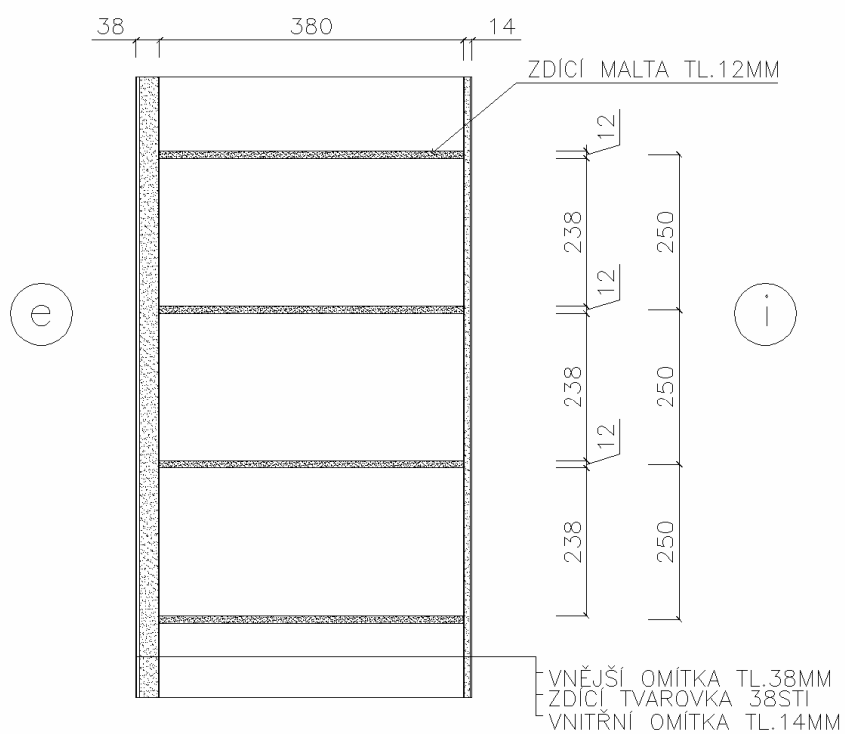




243 Detail ložné spáry zdiva s tepelně izolační maltou tl. 12 mm (normální zdivo) STI 380 mm		
lineární číselník průstupu tepla - interiér $\psi_i$ W/(m.K)	lineární číselník průstupu tepla - exteriér $\psi_e$ W/(m.K)	teplotní faktor $f_{Rsi}$ -
0,012	0,012	0,9124

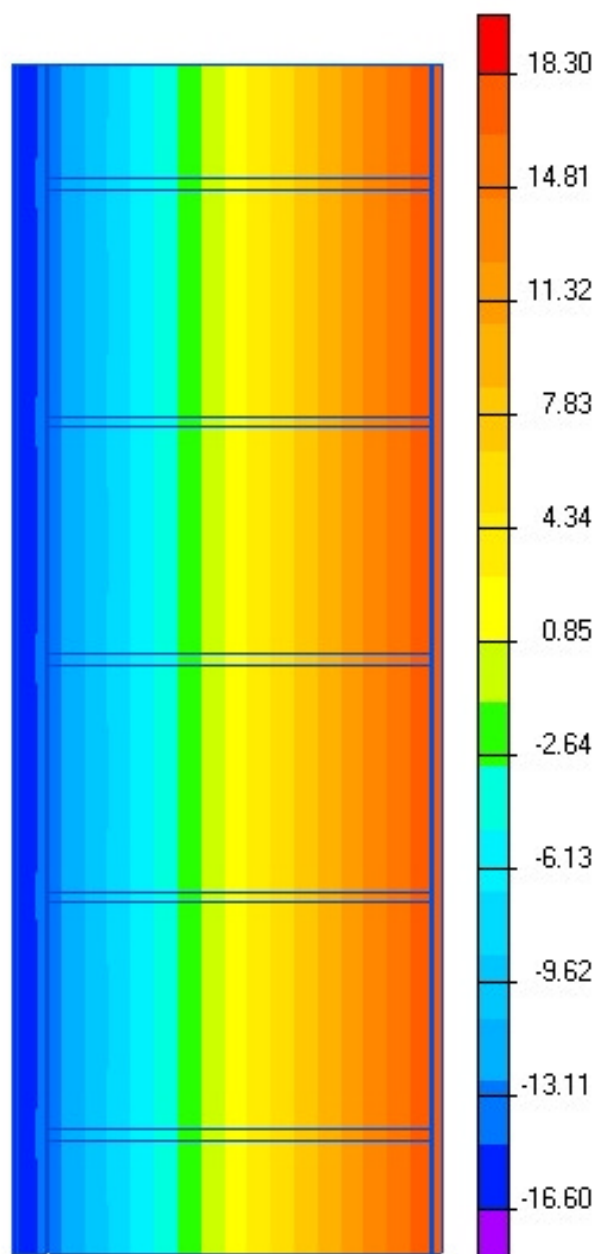




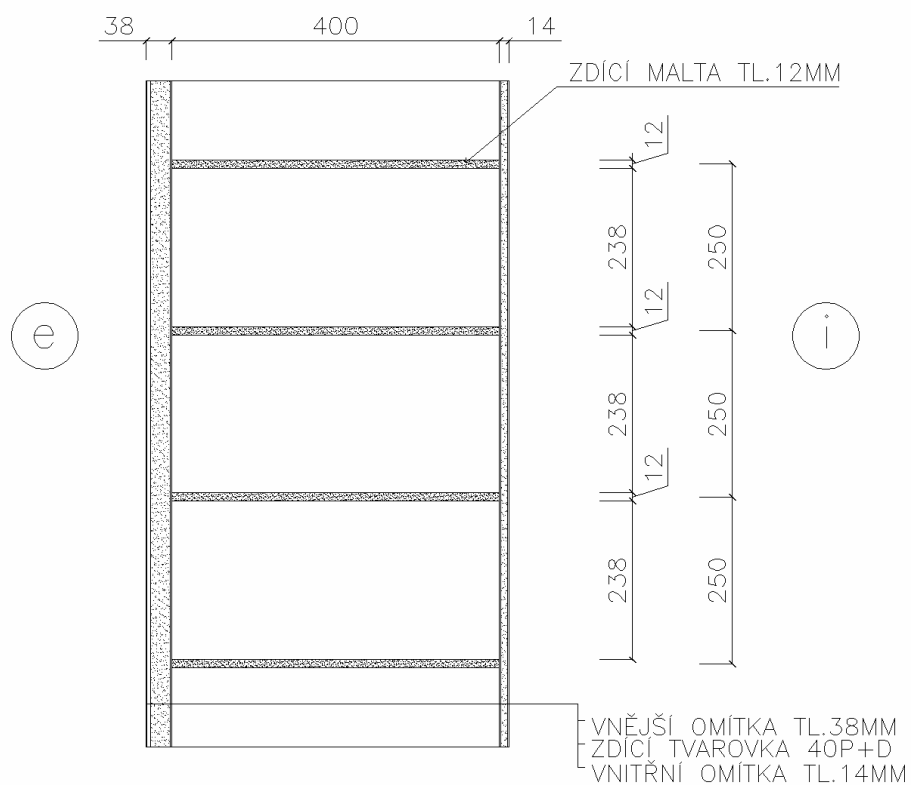




244 Detail ložné spáry zdiva s tepelně izolační maltou tl. 12 mm (normální zdivo) P+D 400 mm		
lineární činitel prostupu tepla - interiér $\psi_i$ W/(m.K)	lineární činitel prostupu tepla - exteriér $\psi_e$ W/(m.K)	teplotní faktor $f_{Rsi}$ -
0,007	0,007	0,9000

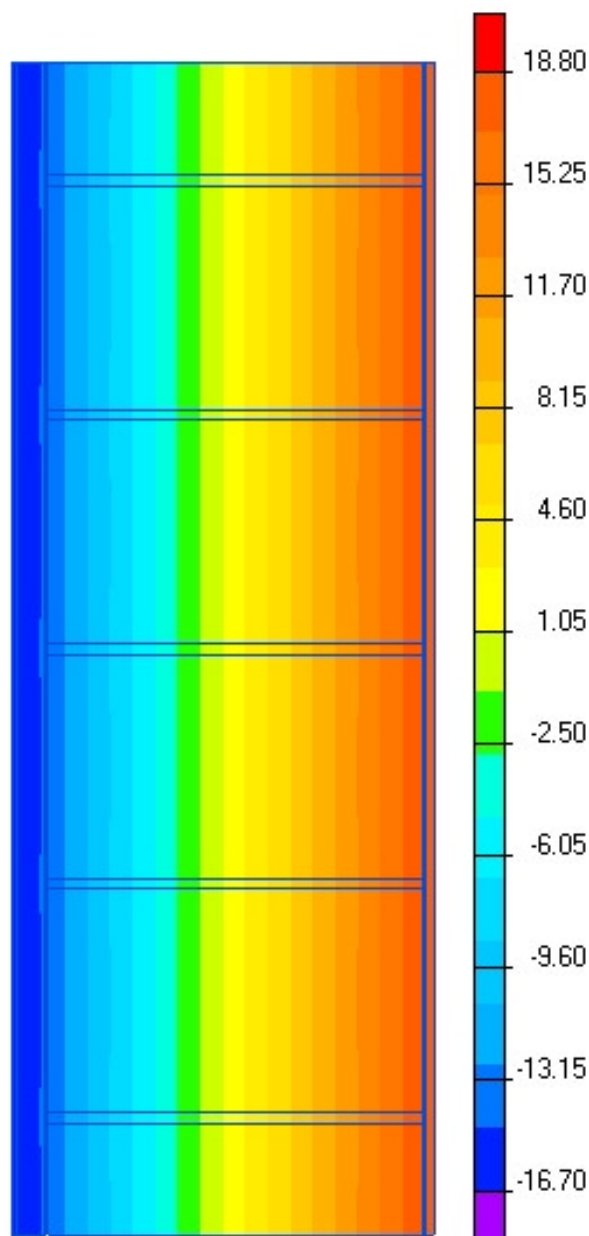




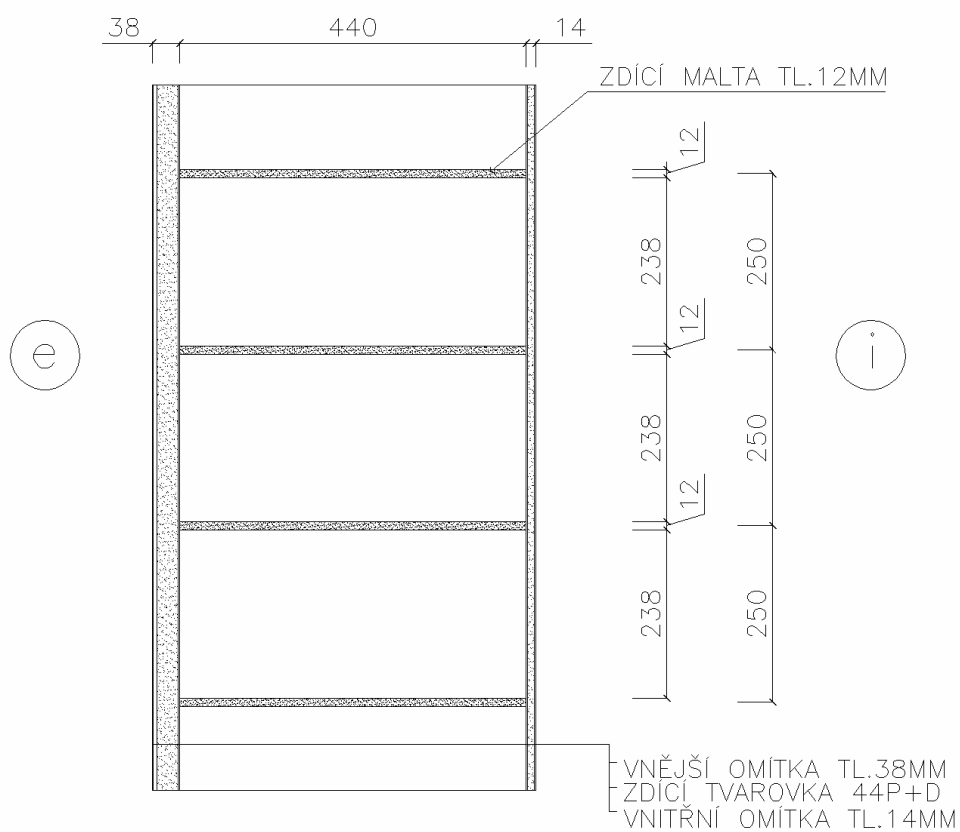




245 Detail ložné spáry zdiva s tepelně izolační maltou tl. 12 mm (normální zdivo) STI 400 mm		
lineární číselník průtoku tepla - interiér $\psi_i$ W/(m.K)	lineární číselník průtoku tepla - exteriér $\psi_e$ W/(m.K)	teplotní faktor $f_{Rsi}$ -
0,010	0,010	0,9226

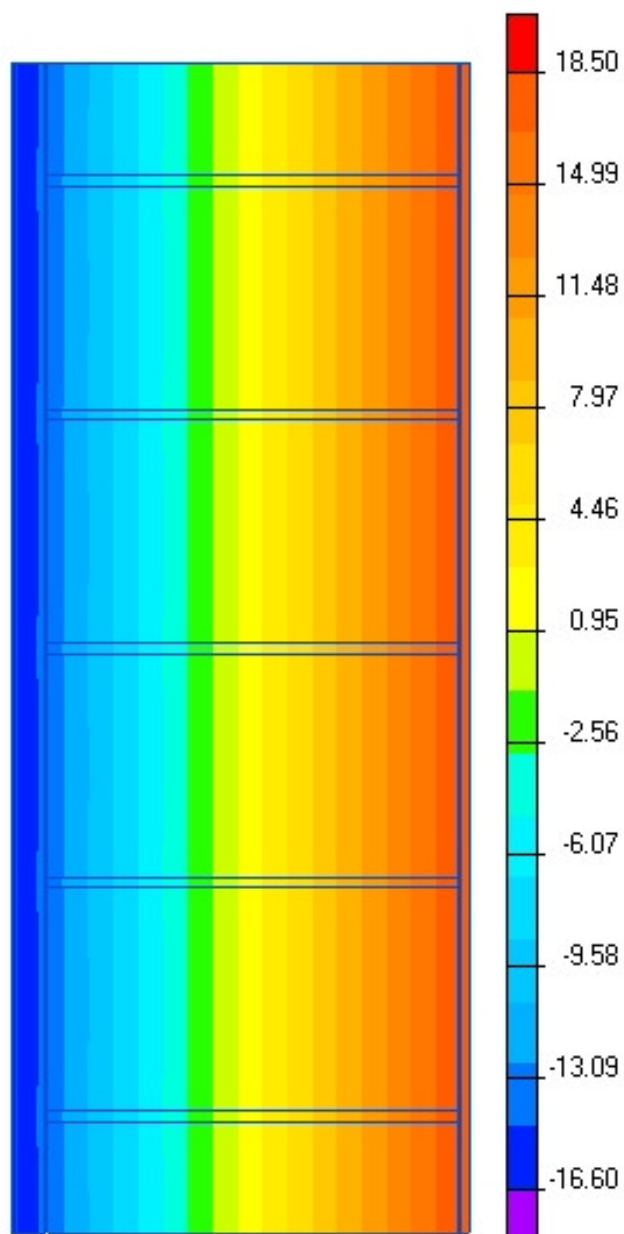




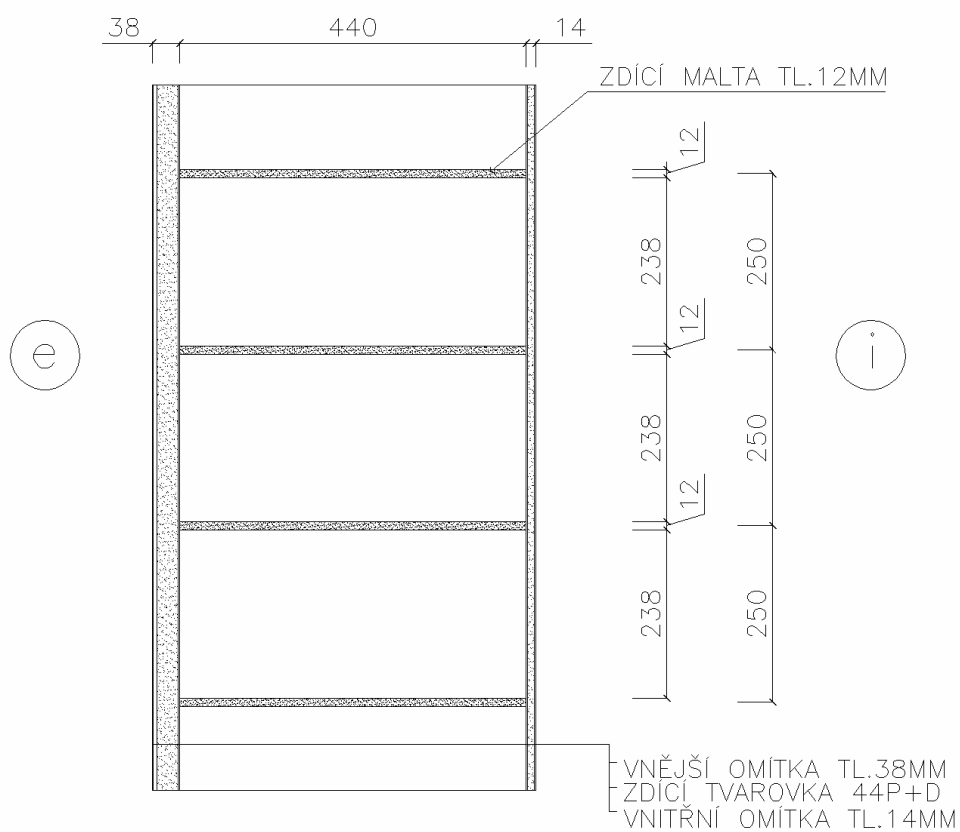




246 Detail ložné spáry zdiva s tepelně izolační maltou tl. 12 mm (normální zdivo) P+D 440 mm		
lineární činitel prostupu tepla - interiér $\psi_i$ W/(m.K)	lineární činitel prostupu tepla - exteriér $\psi_e$ W/(m.K)	teplotní faktor $f_{Rsi}$ -
0,007	0,007	0,9075

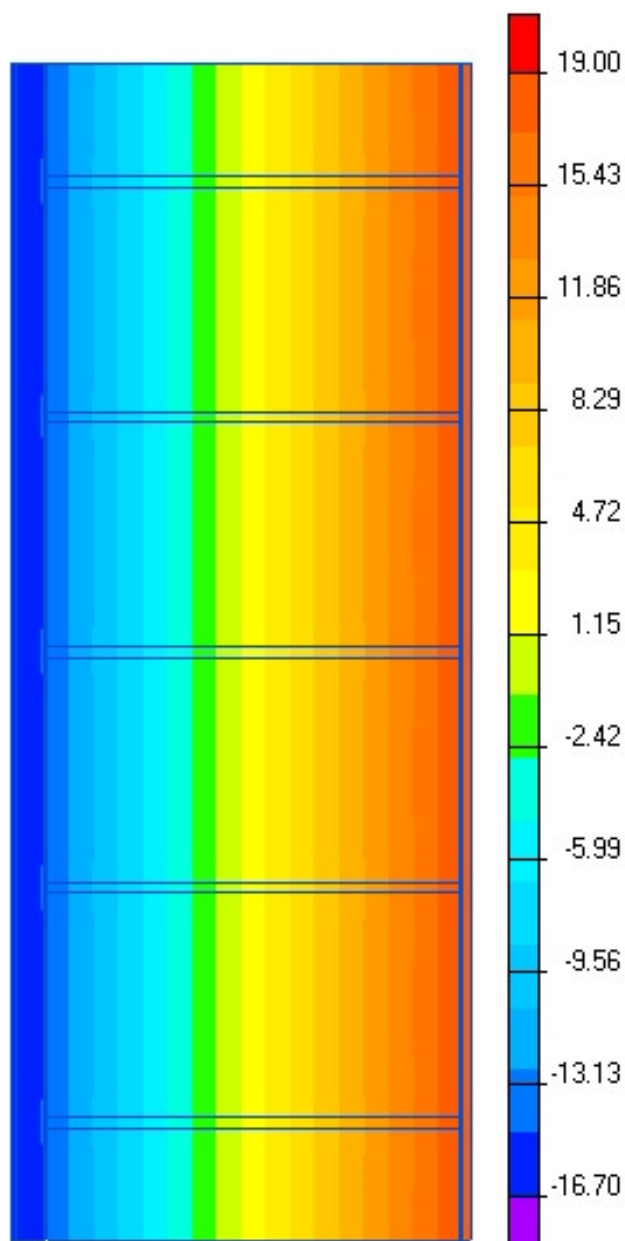




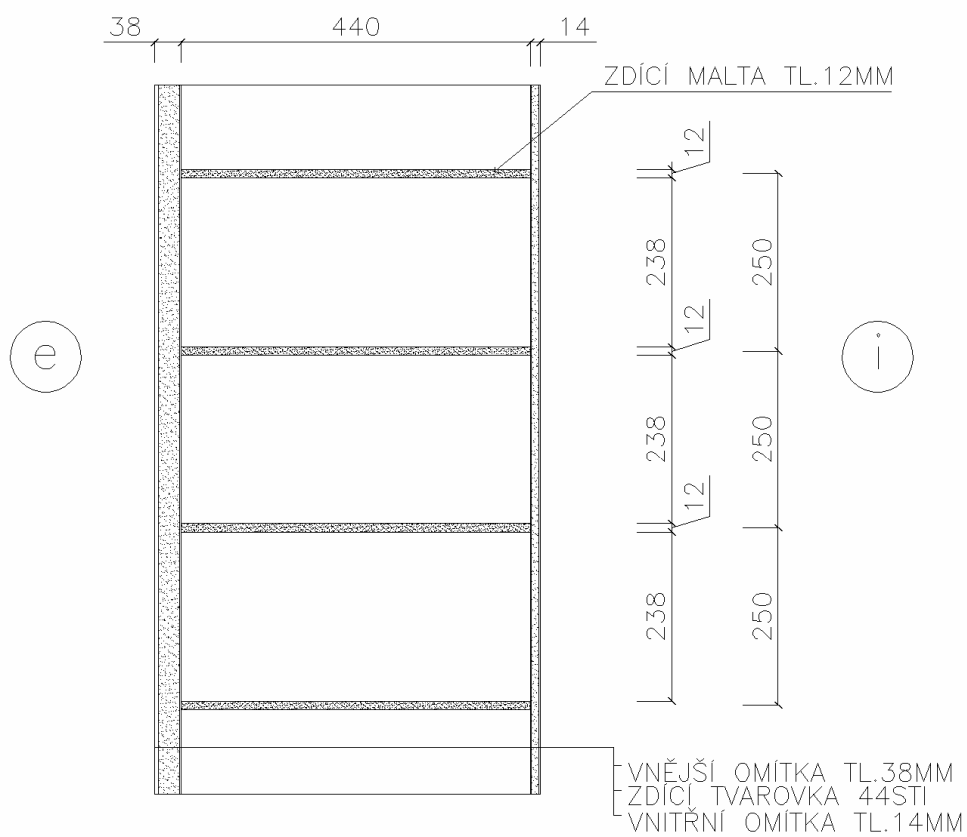




247 Detail ložné spáry zdiva s tepelně izolační maltou tl. 12 mm (normální zdivo) STI 440 mm		
lineární činitel prostupu tepla - interiér $\psi_i$ W/(m.K)	lineární činitel prostupu tepla - exteriér $\psi_e$ W/(m.K)	teplotní faktor $f_{Rsi}$ -
0,010	0,010	0,9226

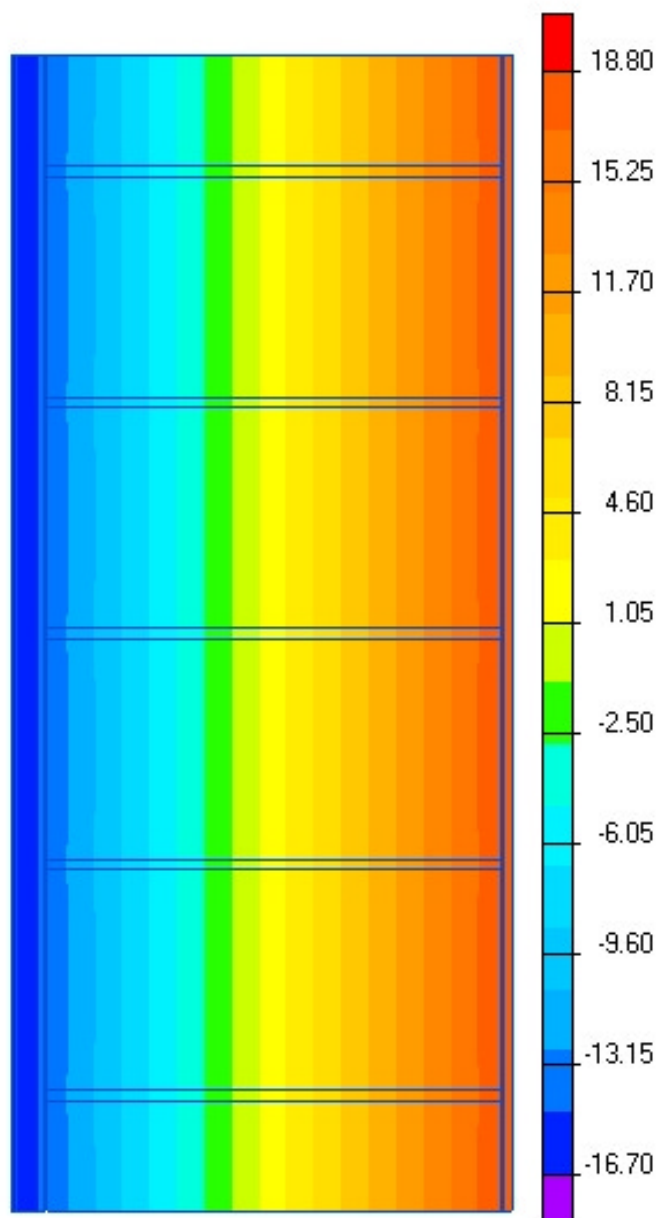




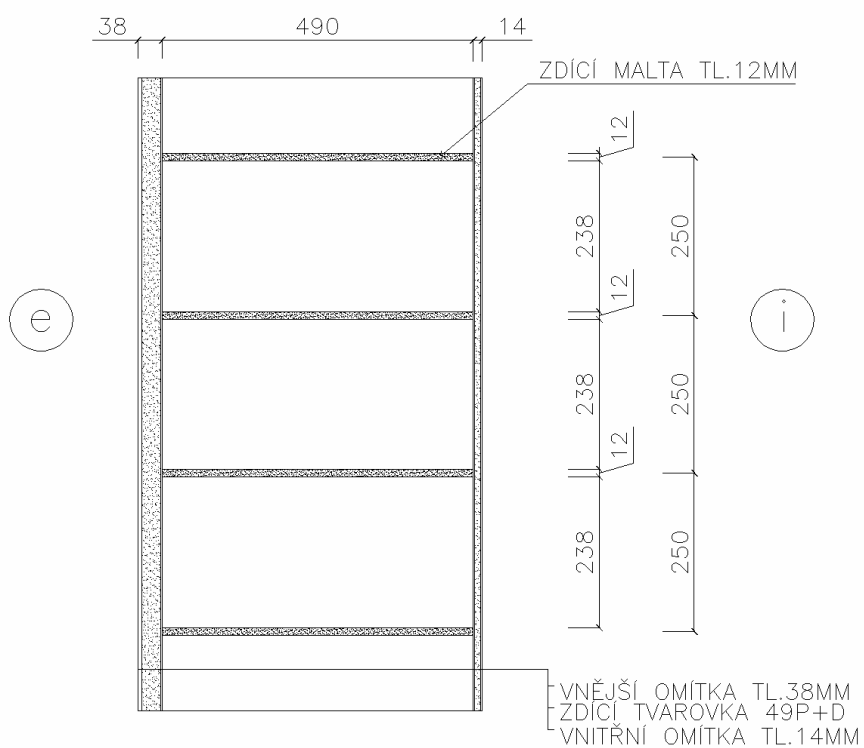




248 Detail ložné spáry zdiva s tepelně izolační maltou tl. 12 mm (normální zdivo) P+D 490 mm		
lineární činitel prostupu tepla - interiér $\psi_i$ W/(m.K)	lineární činitel prostupu tepla - exteriér $\psi_e$ W/(m.K)	teplotní faktor $f_{Rsi}$ -
0,006	0,006	0,9155

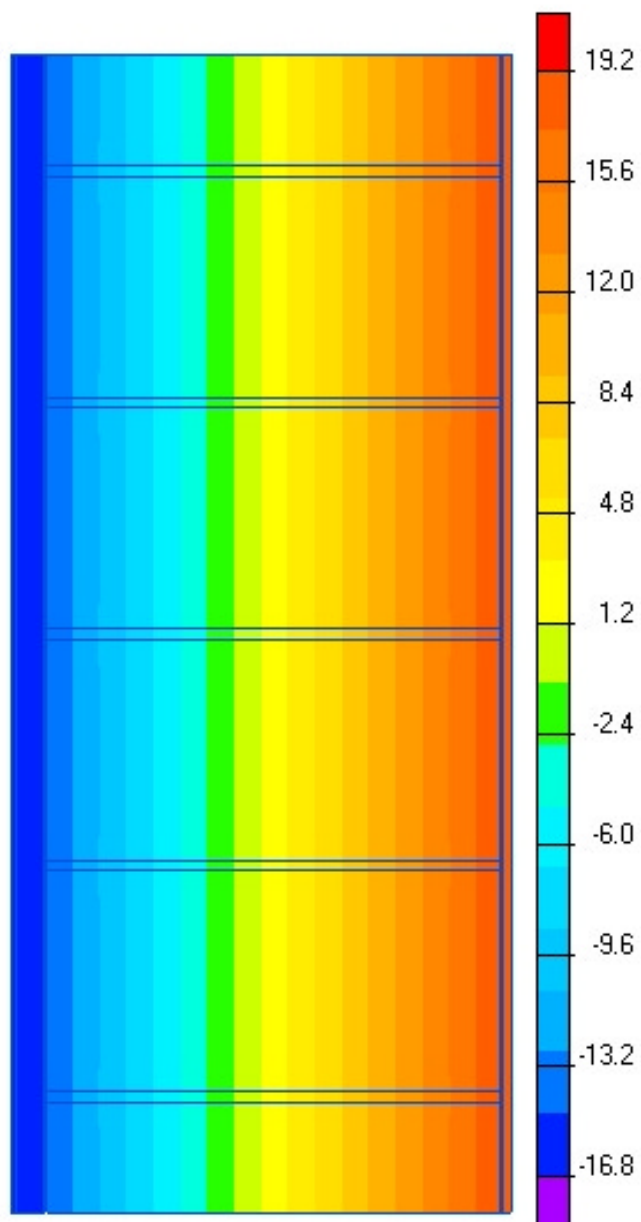




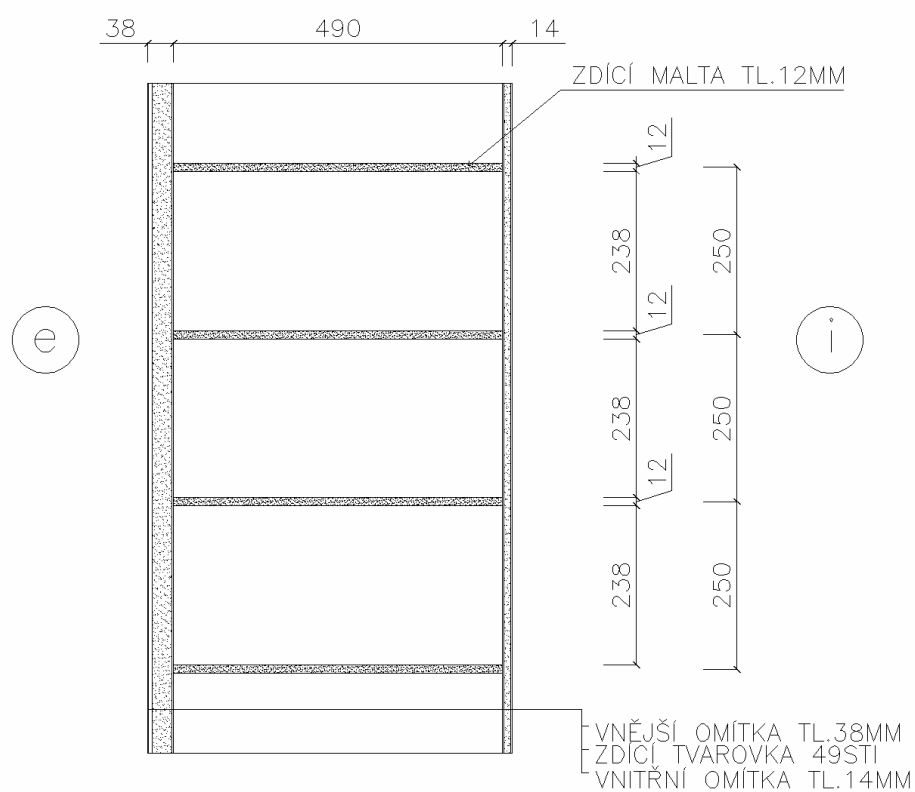




249 Detail ložné spáry zdiva s tepelně izolační maltou tl. 12 mm (normální zdivo) STI 490 mm		
lineární činitel prostupu tepla - interiér $\psi_i$ W/(m.K)	lineární činitel prostupu tepla - exteriér $\psi_e$ W/(m.K)	teplotní faktor $f_{Rsi}$ -
0,010	0,010	0,9295

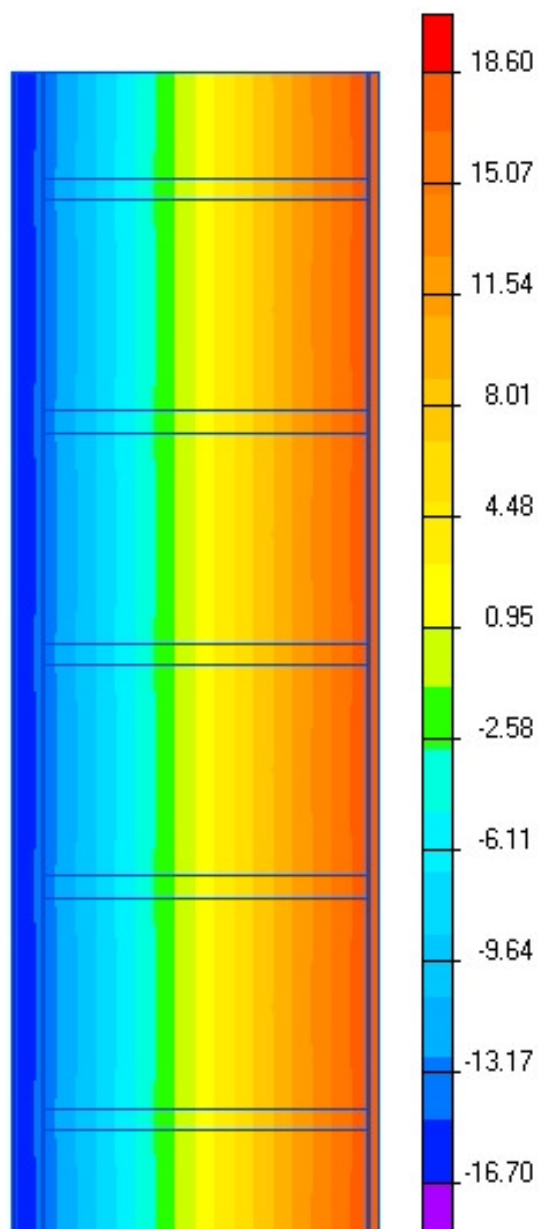




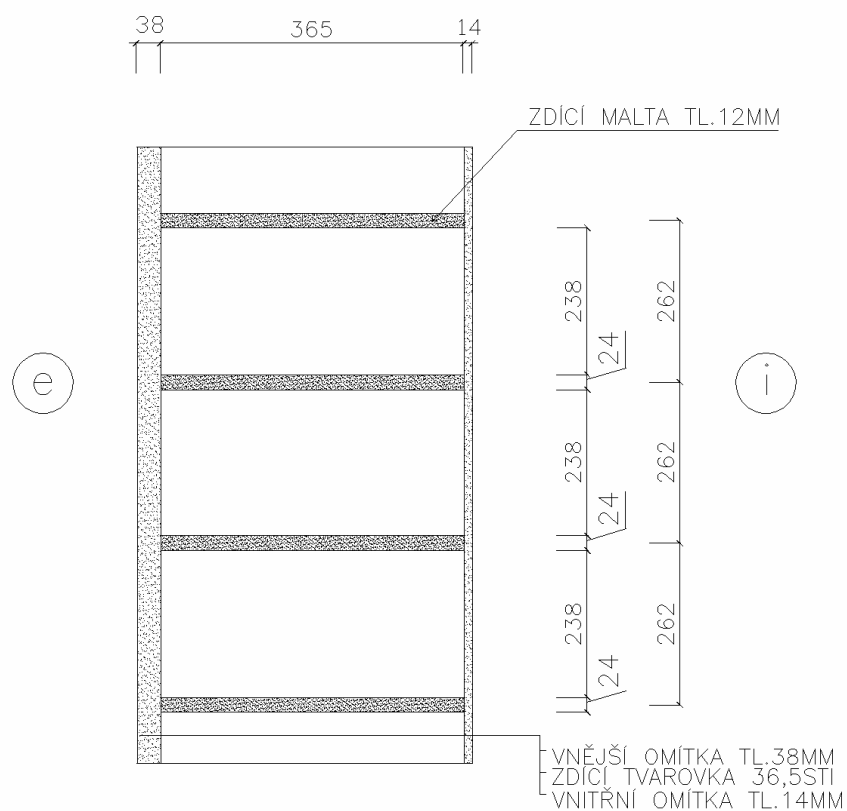




251 Detail ložné spáry zdiva s tepelně izolační maltou tl. 24 mm (nedodržená tloušťka maltového lože) STI 365 mm		
lineární činitel prostupu tepla - interiér $\psi_i$ W/(m.K)	lineární činitel prostupu tepla - exteriér $\psi_e$ W/(m.K)	teplotní faktor $f_{Rsi}$ -
0,024	0,024	0,9039

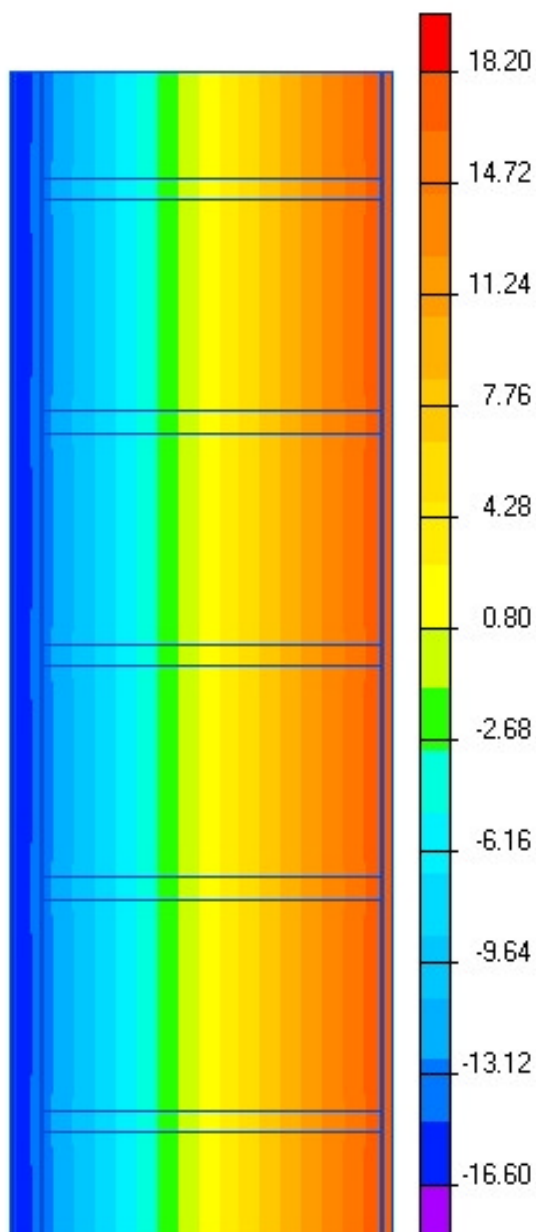




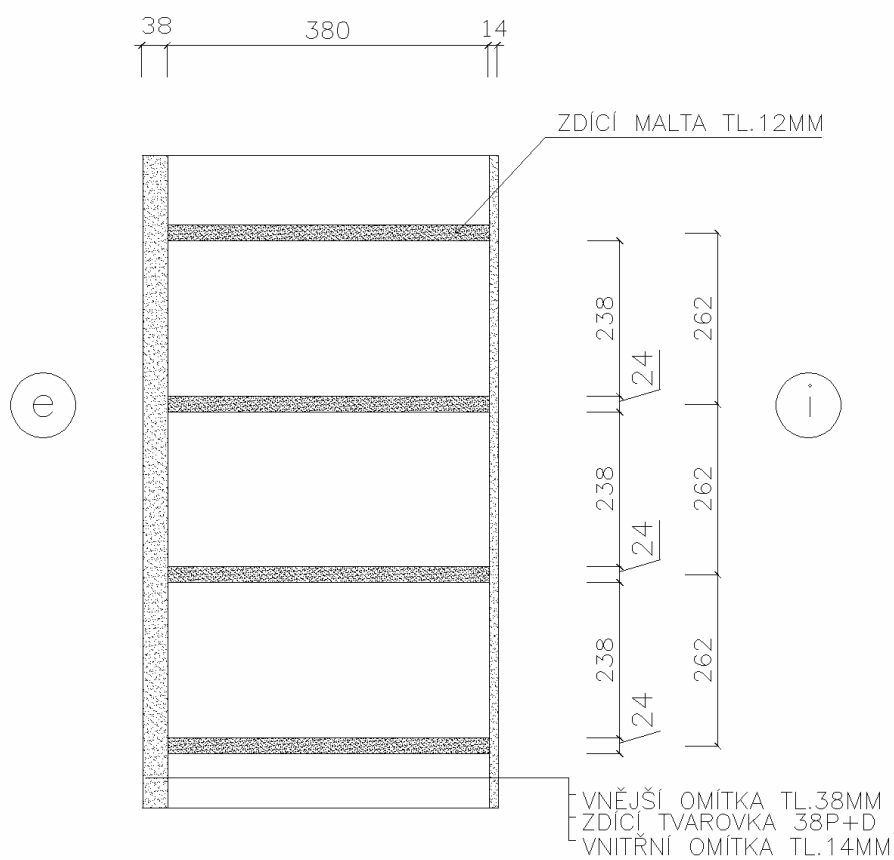




252 Detail ložné spáry zdiva s tepelně izolační maltou tl. 24 mm (nedodržená tloušťka maltového lože) P+D 380 mm		
lineární činitel prostupu tepla - interiér $\psi_i$ W/(m.K)	lineární činitel prostupu tepla - exteriér $\psi_e$ W/(m.K)	teplotní faktor $f_{Rsi}$ -
0,015	0,015	0,8924

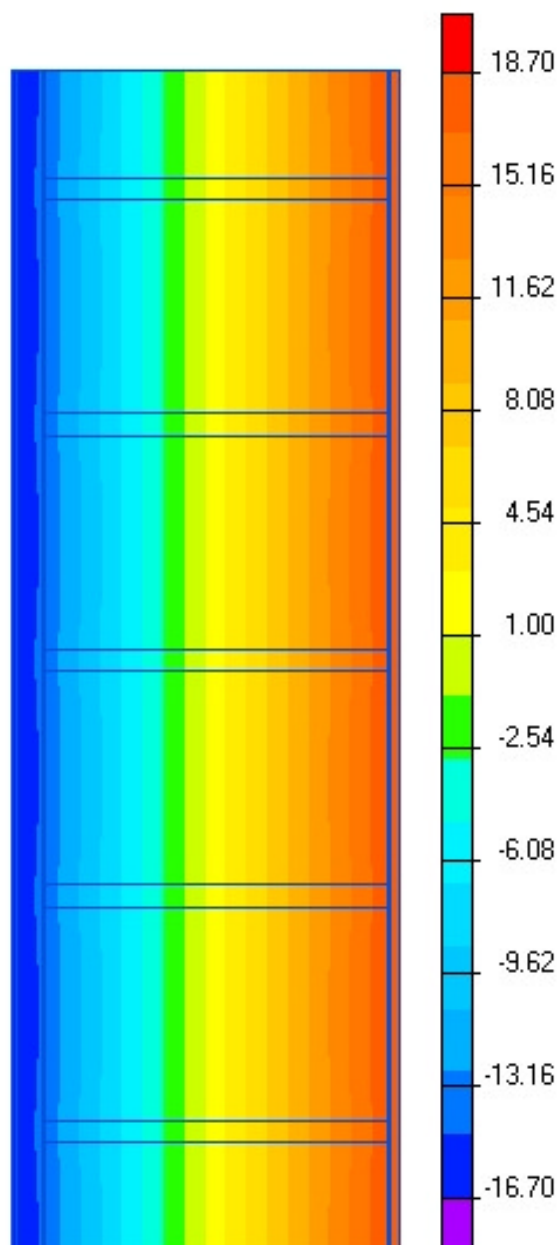




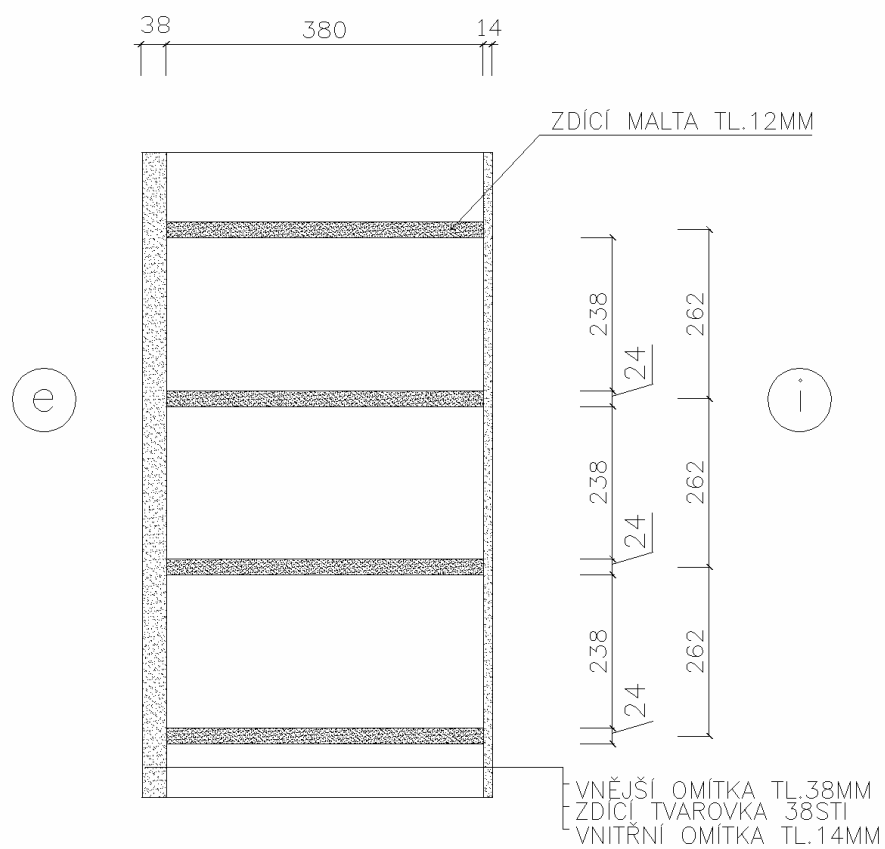




253 Detail ložné spáry zdiva s tepelně izolační maltou tl. 24 mm (nedodržená tloušťka maltového lože) STI 380 mm		
lineární činitel prostupu tepla - interiér $\psi_i$ W/(m.K)	lineární činitel prostupu tepla - exteriér $\psi_e$ W/(m.K)	teplotní faktor $f_{Rsi}$ -
0,023	0,023	0,9071

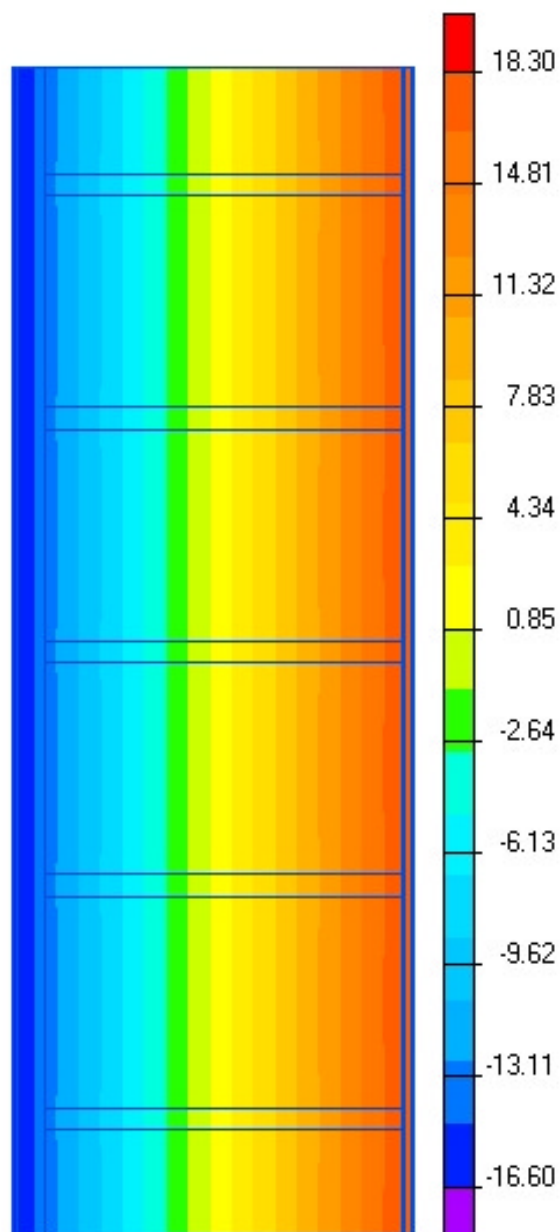




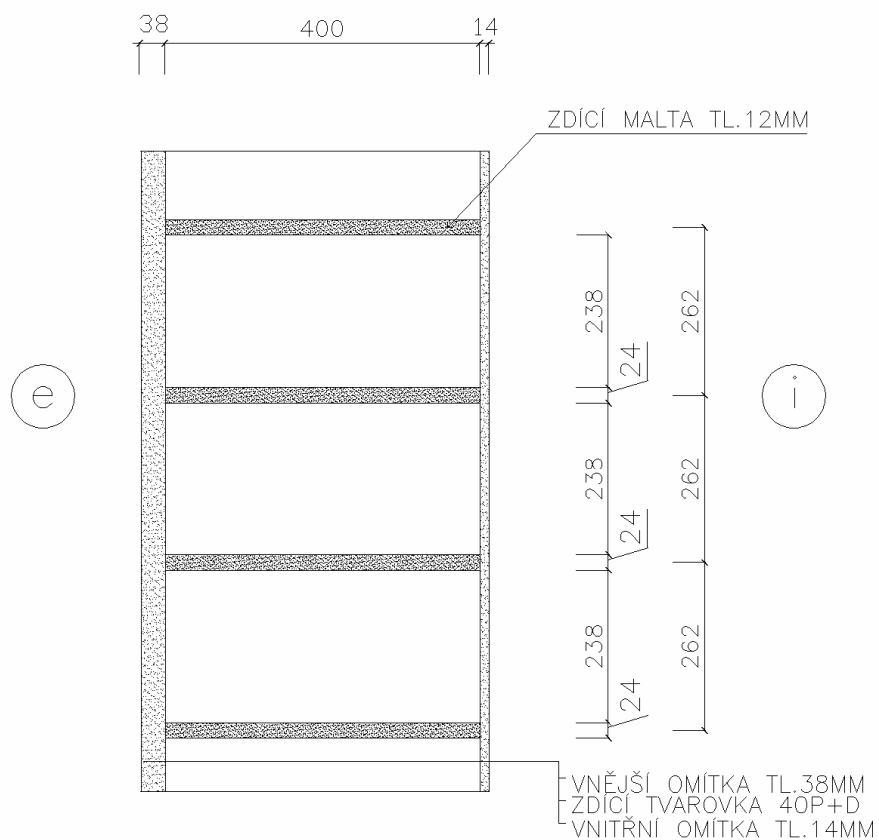




254 Detail ložné spáry zdiva s tepelně izolační maltou tl. 24 mm (nedodržená tloušťka maltového lože) P+D 400 mm		
lineární činitel prostupu tepla - interiér $\psi_i$ W/(m.K)	lineární činitel prostupu tepla - exteriér $\psi_e$ W/(m.K)	teplotní faktor $f_{Rsi}$ -
0,014	0,014	0,8967

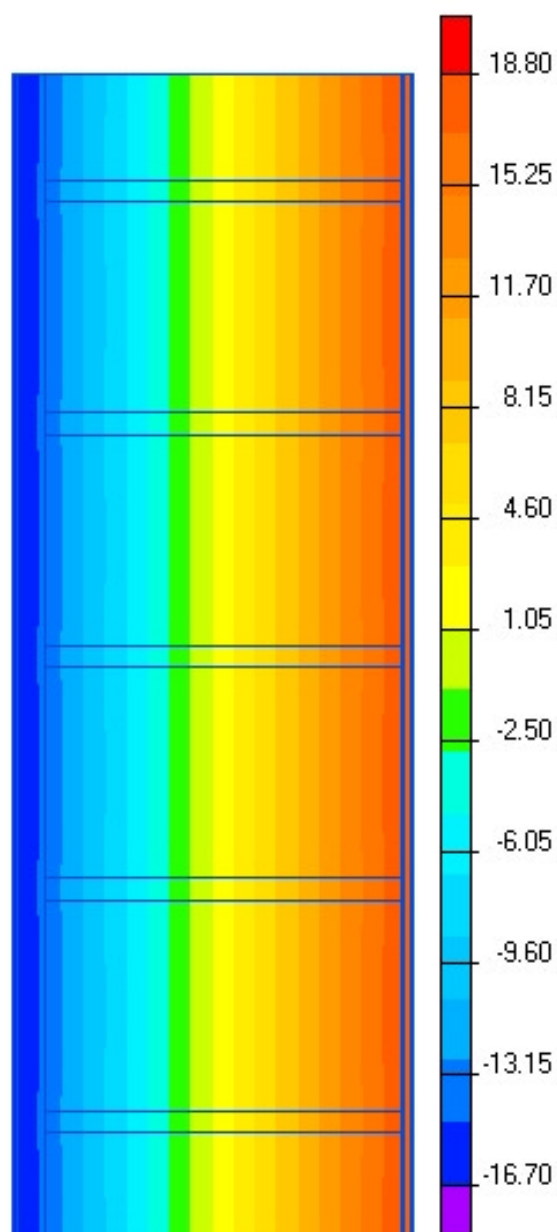




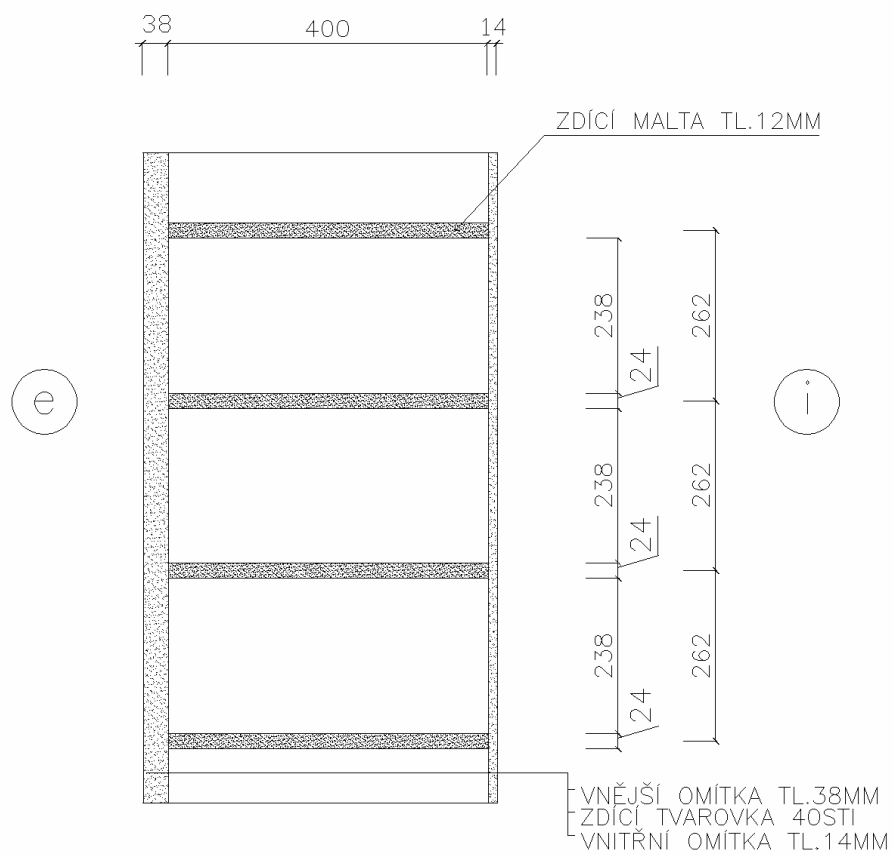




255 Detail ložné spáry zdiva s tepelně izolační maltou tl. 24 mm (nedodržená tloušťka maltového lože) STI 400 mm		
lineární činitel prostupu tepla - interiér $\psi_i$ W/(m.K)	lineární činitel prostupu tepla - exteriér $\psi_e$ W/(m.K)	teplotní faktor $f_{Rsi}$ -
0,022	0,022	0,9179

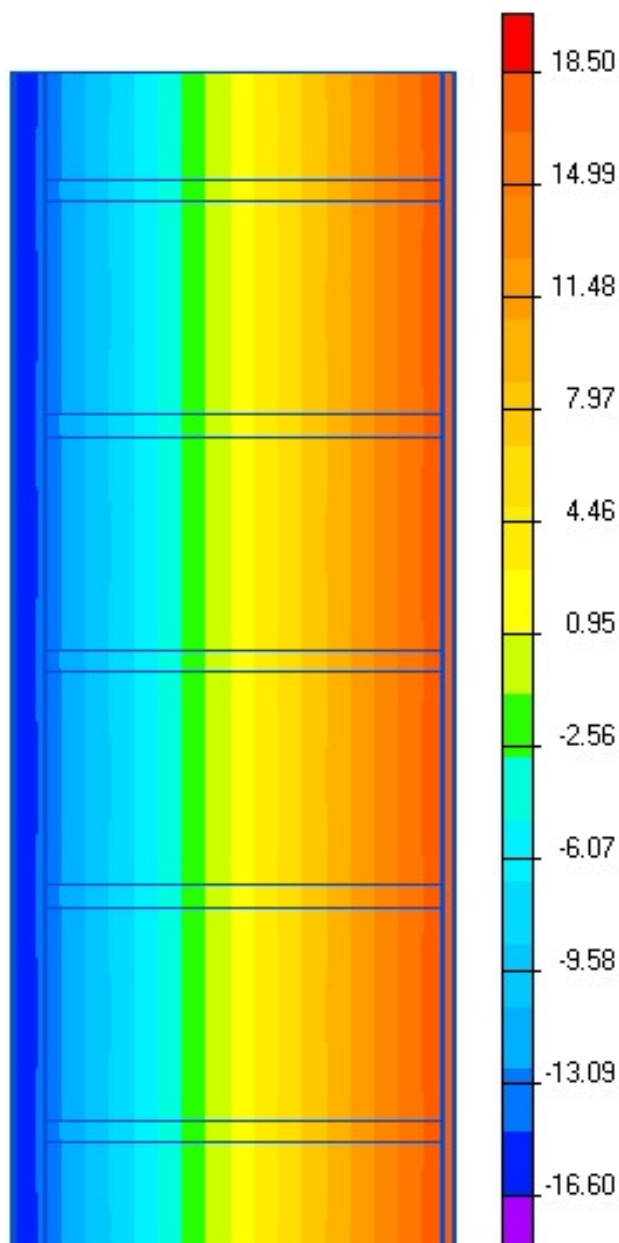




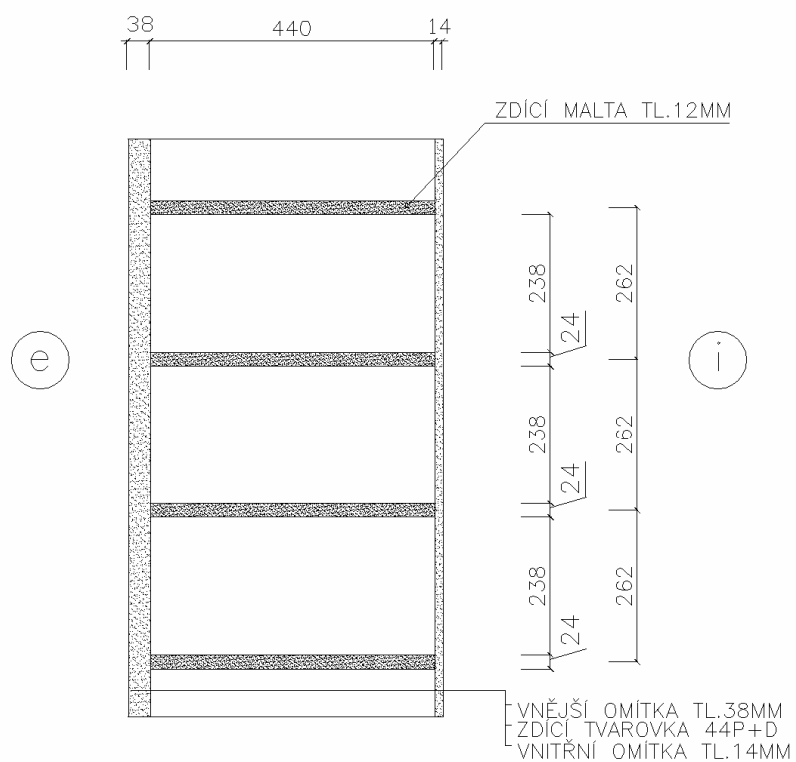




256 Detail ložné spáry zdiva s tepelně izolační maltou tl. 24 mm (nedodržená tloušťka maltového lože) P+D 440 mm		
lineární činitel prostupu tepla - interiér $\psi_i$ W/(m.K)	lineární činitel prostupu tepla - exteriér $\psi_e$ W/(m.K)	teplotní faktor $f_{Rsi}$ -
0,014	0,014	0,9045

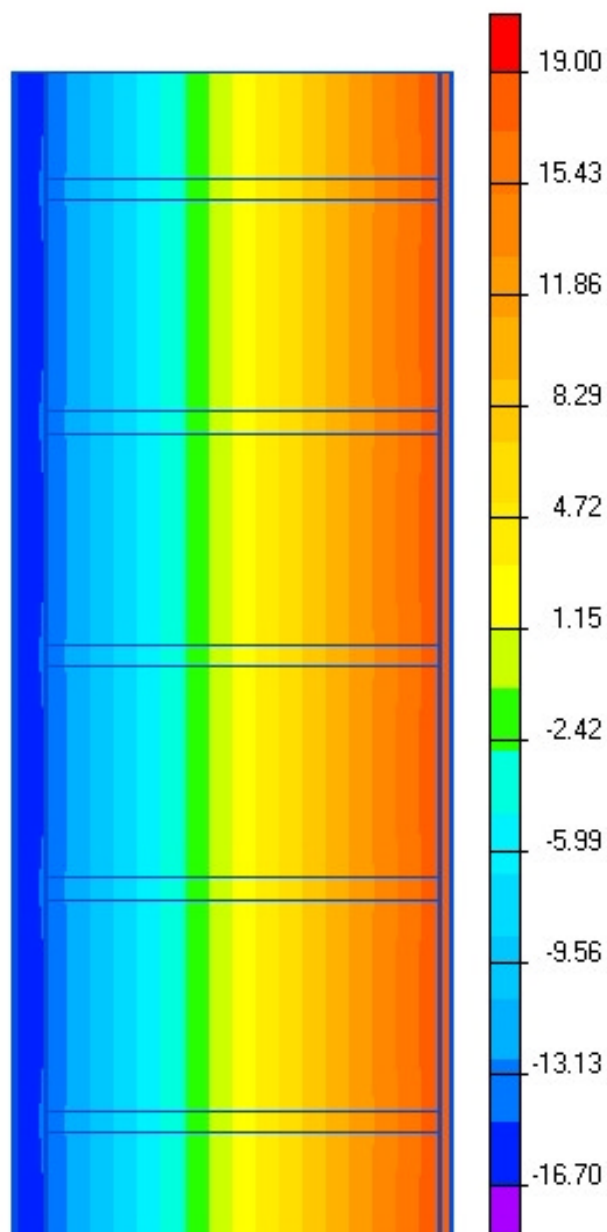




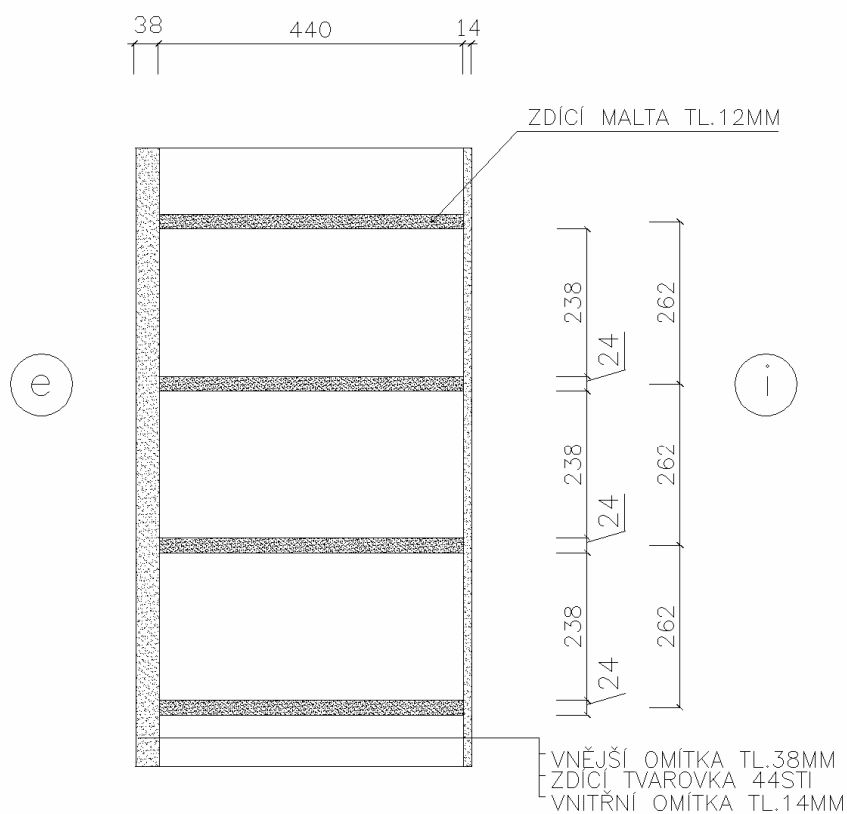




257 Detail ložné spáry zdiva s tepelně izolační maltou tl. 24 mm (nedodržená tloušťka maltového lože) STI 440 mm		
lineární číselník průtoku tepla - interiér $\psi_i$ W/(m.K)	lineární číselník průtoku tepla - exteriér $\psi_e$ W/(m.K)	teplotní faktor $f_{Rsi}$ -
0,021	0,021	0,9179

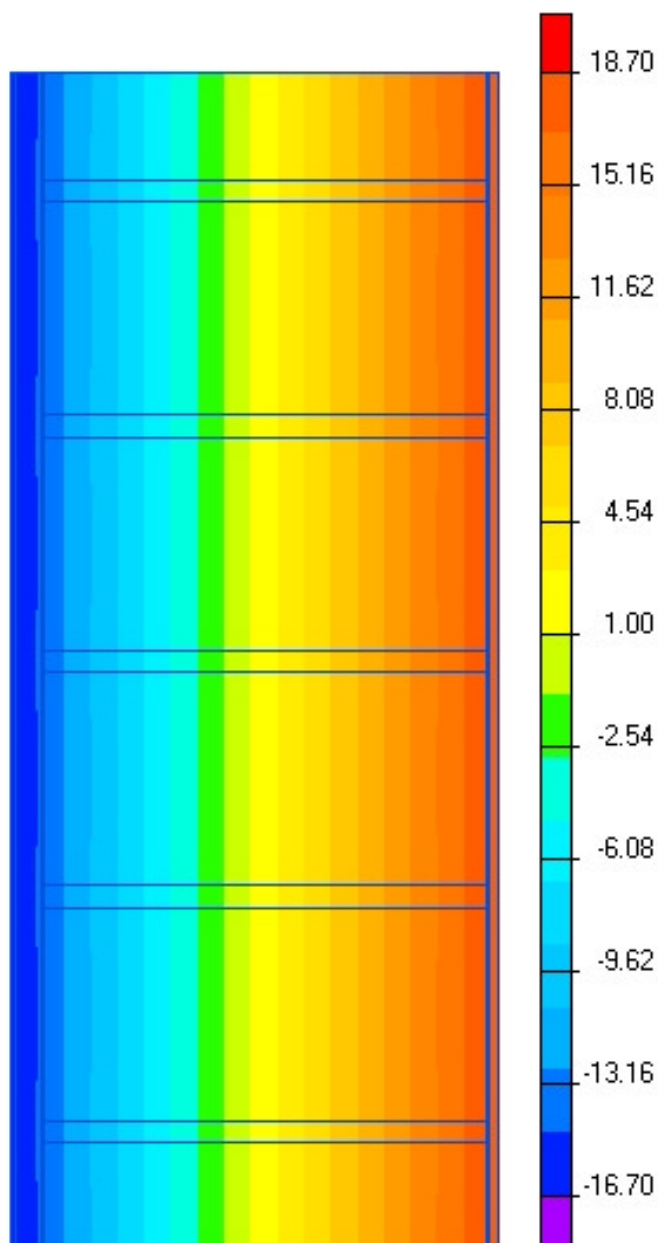




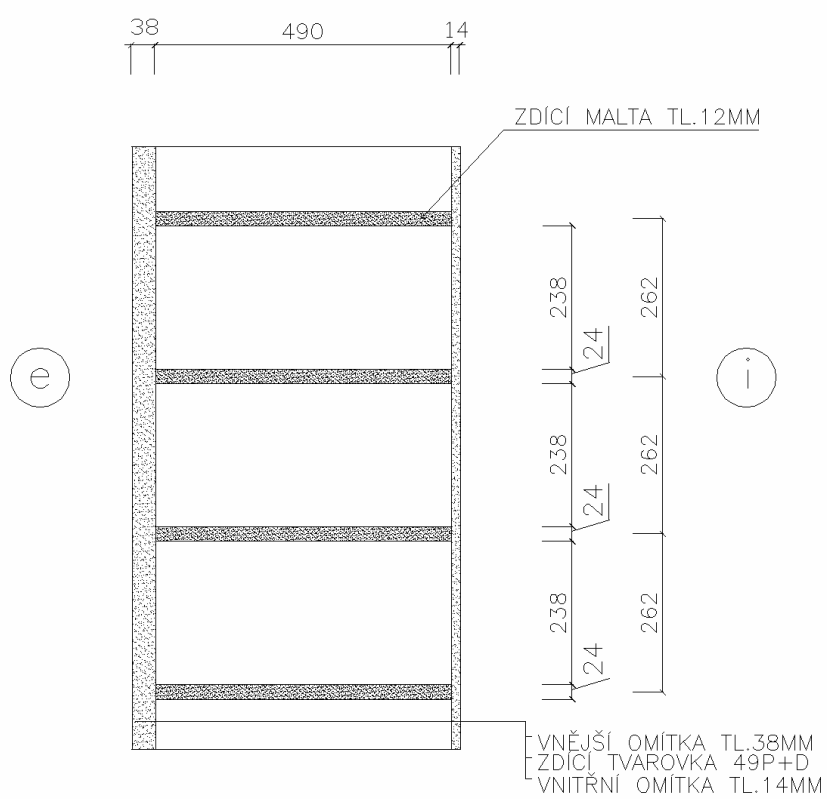




258 Detail ložné spáry zdiva s tepelně izolační maltou tl. 24 mm (nedodržená tloušťka maltového lože) P+D 490 mm		
lineární činitel prostupu tepla - interiér $\psi_i$ W/(m.K)	lineární činitel prostupu tepla - exteriér $\psi_e$ W/(m.K)	teplotní faktor $f_{Rsi}$ -
0,012	0,012	0,9127

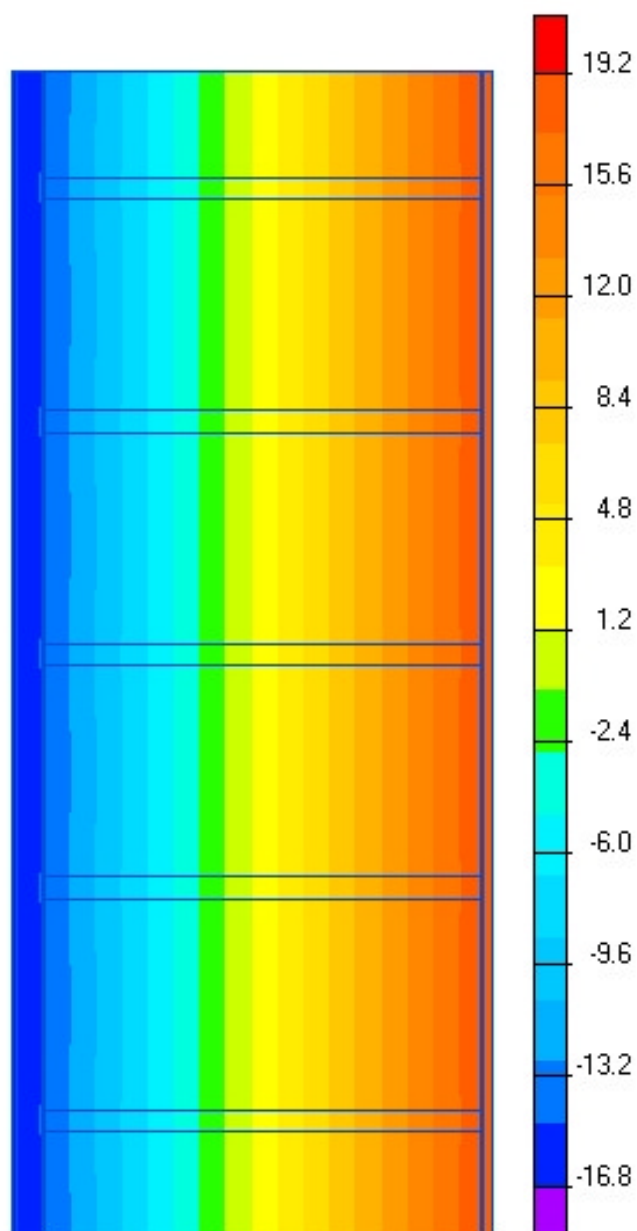






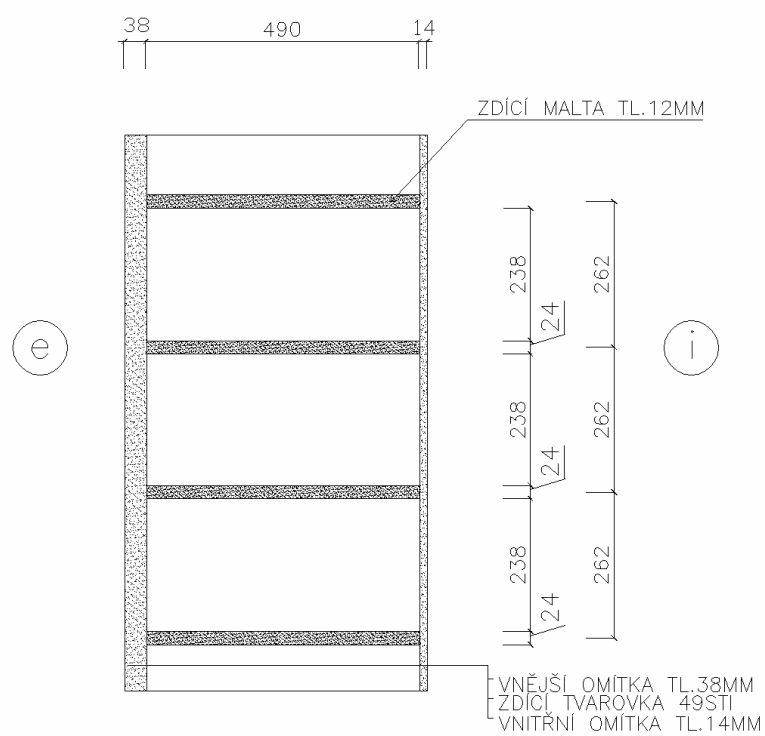


259 Detail ložné spáry zdiva s tepelně izolační maltou tl. 24 mm (nedodržená tloušťka maltového lože) STI 490 mm		
lineární činitel prostupu tepla - interiér $\psi_i$ W/(m.K)	lineární činitel prostupu tepla - exteriér $\psi_e$ W/(m.K)	teplotní faktor $f_{Rsi}$ -
0,019	0,019	0,9251



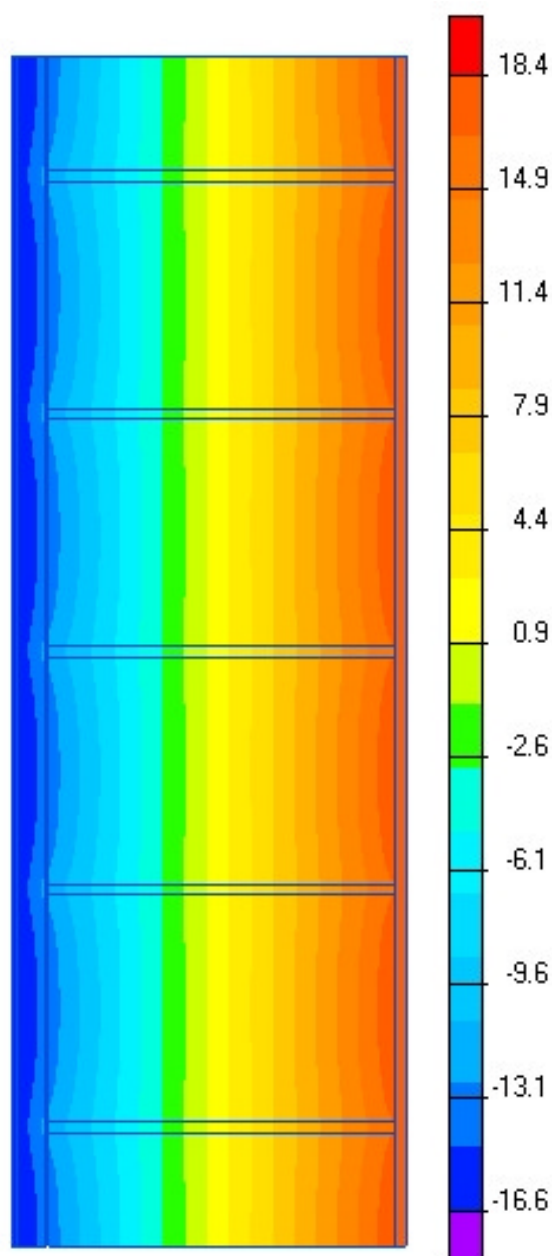


Obsah: "Výpočet typických tepelných mostů a jejich minimalizace – 250 detailů"  
Zpracovatel: Energy Consulting – Project, s.r.o., Přemyslská 484/28, 182 00 Praha 8,  
IČ 26113317; mobil 777 196 154, e-mail: [info@e-c.cz](mailto:info@e-c.cz)



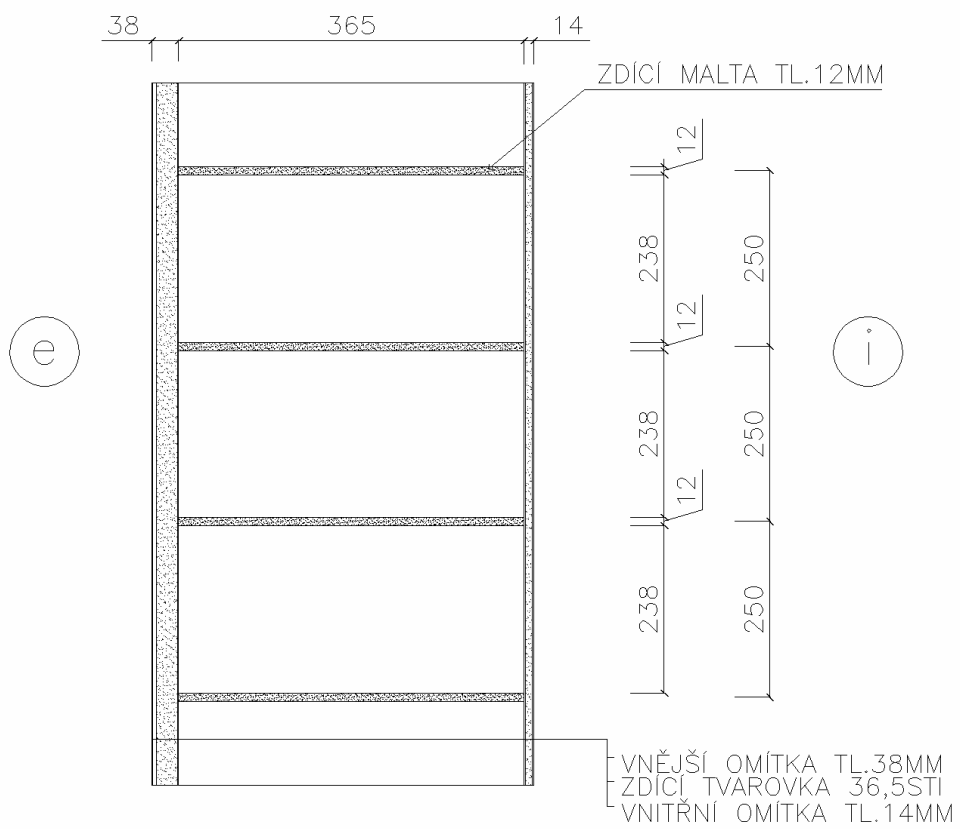


261 Detail ložné spáry zdiva s vápenocementovou maltou tl. 12 mm (nedodržení technologie zdiva) STI 365 mm		
lineární činitel prostupu tepla - interiér $\psi_i$ W/(m.K)	lineární činitel prostupu tepla - exteriér $\psi_e$ W/(m.K)	teplotní faktor $f_{Rsi}$ -
0,098	0,098	0,8685



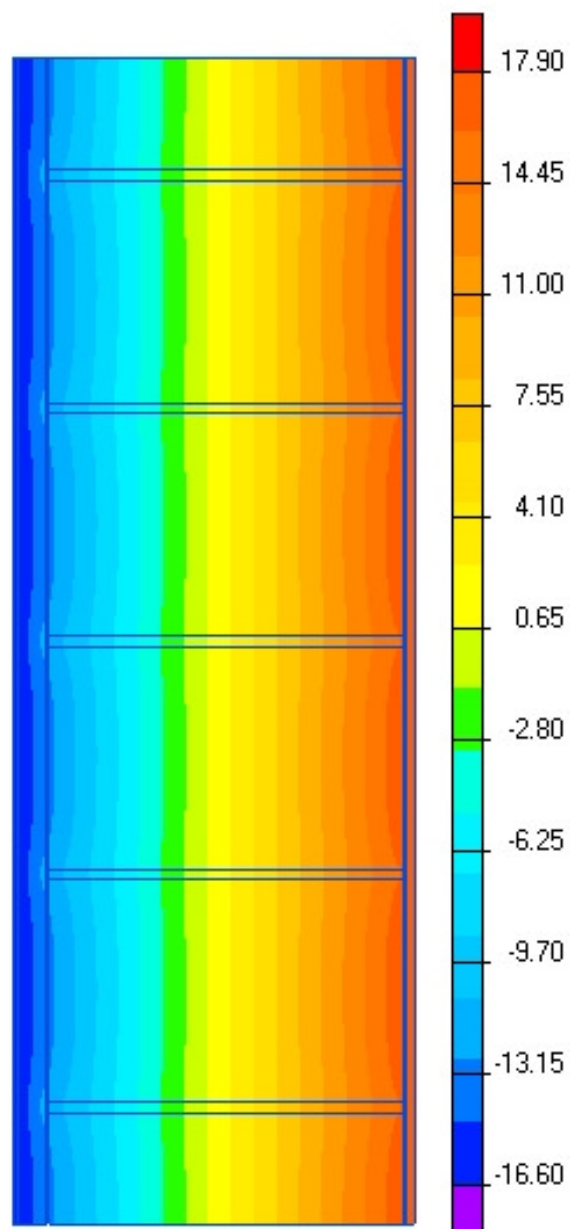


Obsah: "Výpočet typických tepelných mostů a jejich minimalizace – 250 detailů"  
Zpracovatel: Energy Consulting – Project, s.r.o., Přemyslská 484/28, 182 00 Praha 8,  
IČ 26113317; mobil 777 196 154, e-mail: [info@e-c.cz](mailto:info@e-c.cz)

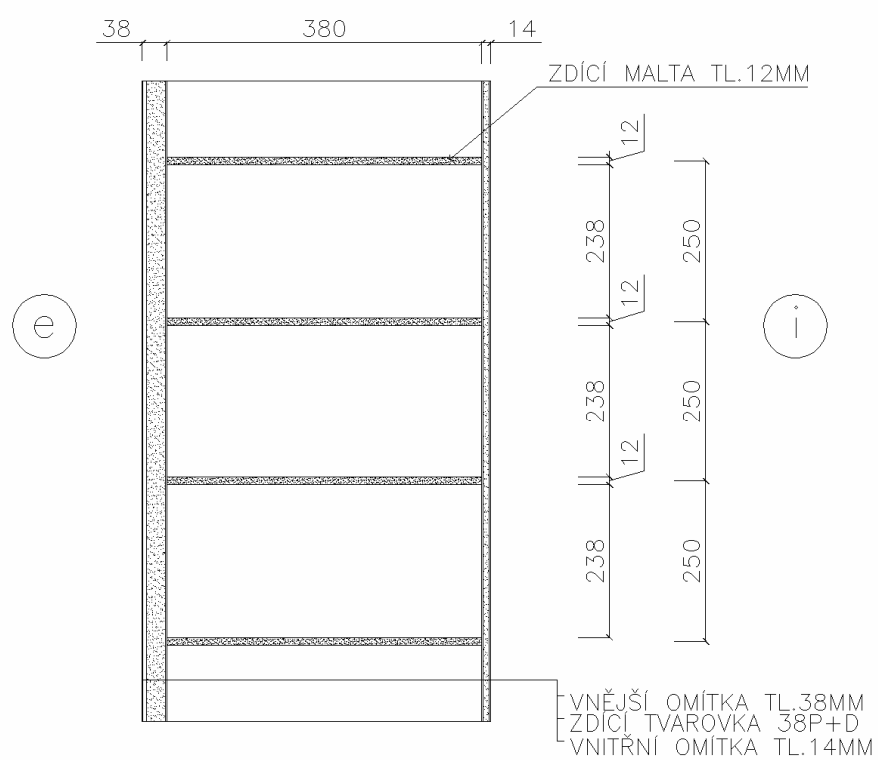




262 Detail ložné spáry zdiva s vápenocementovou maltou tl. 12 mm (nedodržení technologie zdiva) P+D 380 mm		
lineární činitel prostupu tepla - interiér $\psi_i$ W/(m.K)	lineární činitel prostupu tepla - exteriér $\psi_e$ W/(m.K)	teplotní faktor $f_{Rsi}$ -
0,088	0,088	0,8591

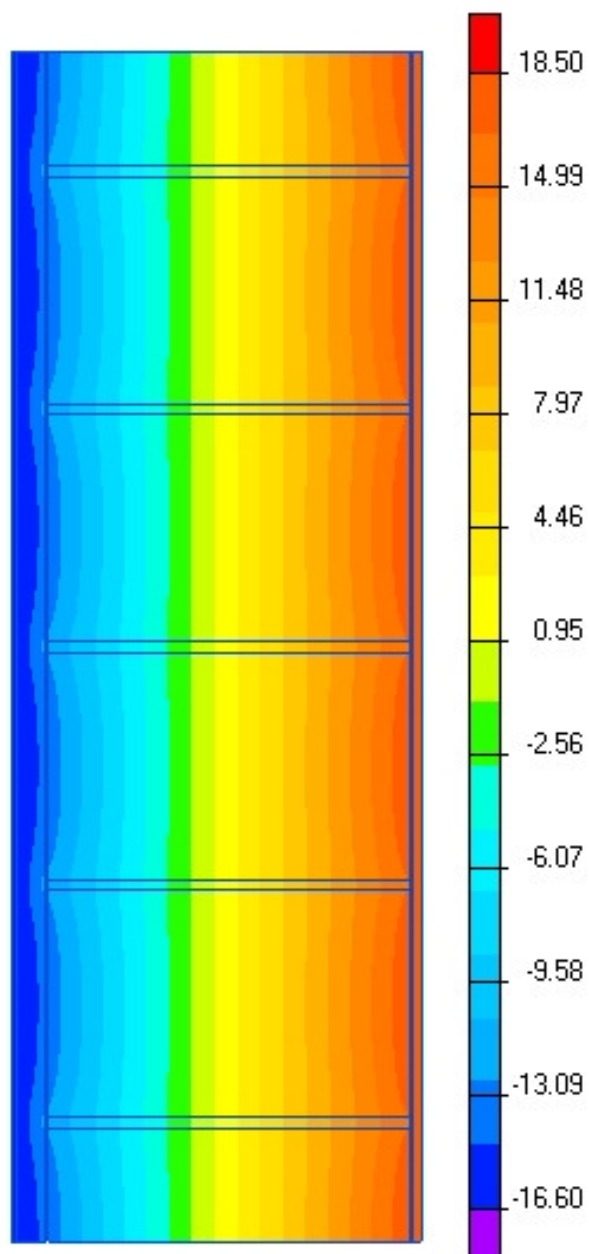




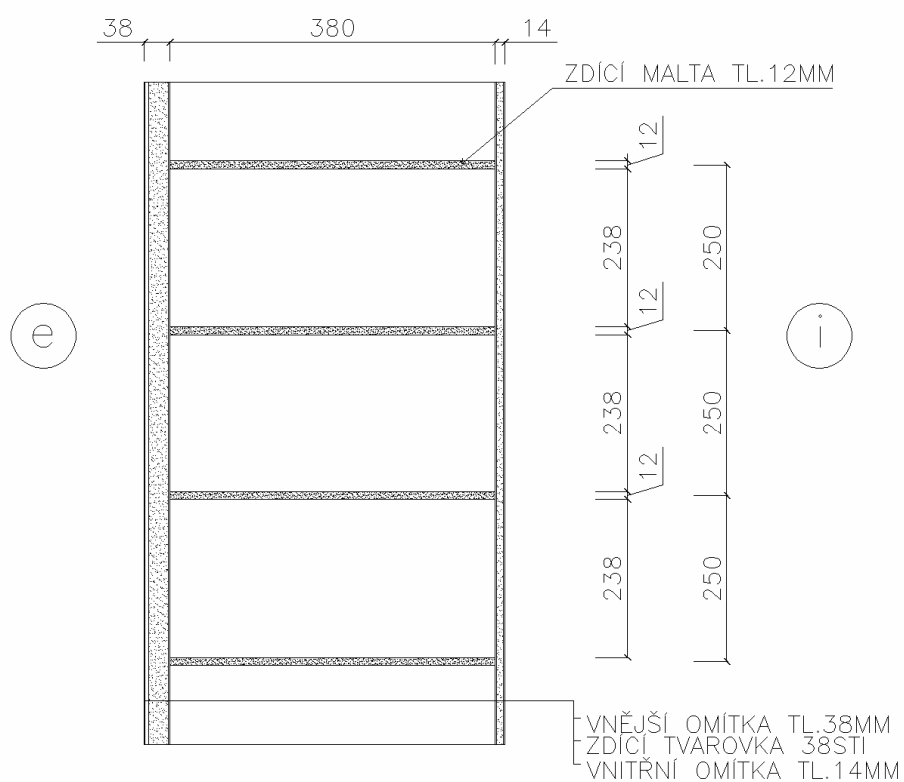




263 Detail ložné spáry zdiva s vápenocementovou maltou tl. 12 mm (nedodržení technologie zdiva) STI 380 mm		
lineární činitel prostupu tepla - interiér $\psi_i$ W/(m.K)	lineární činitel prostupu tepla - exteriér $\psi_e$ W/(m.K)	teplotní faktor $f_{Rsi}$ -
0,096	0,096	0,8725

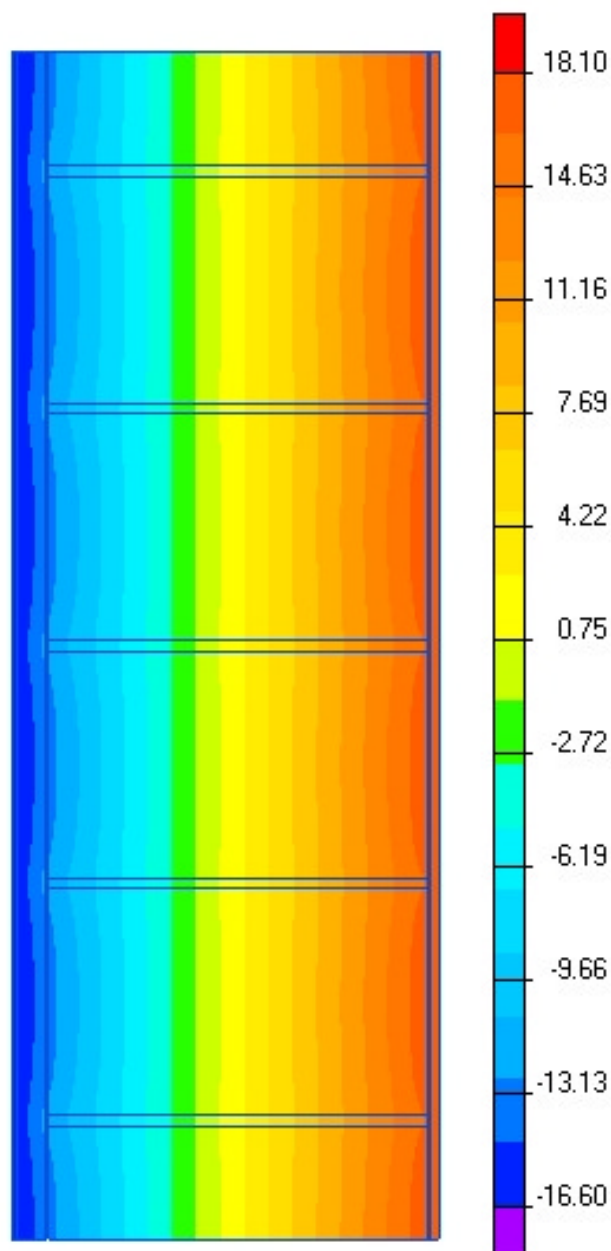




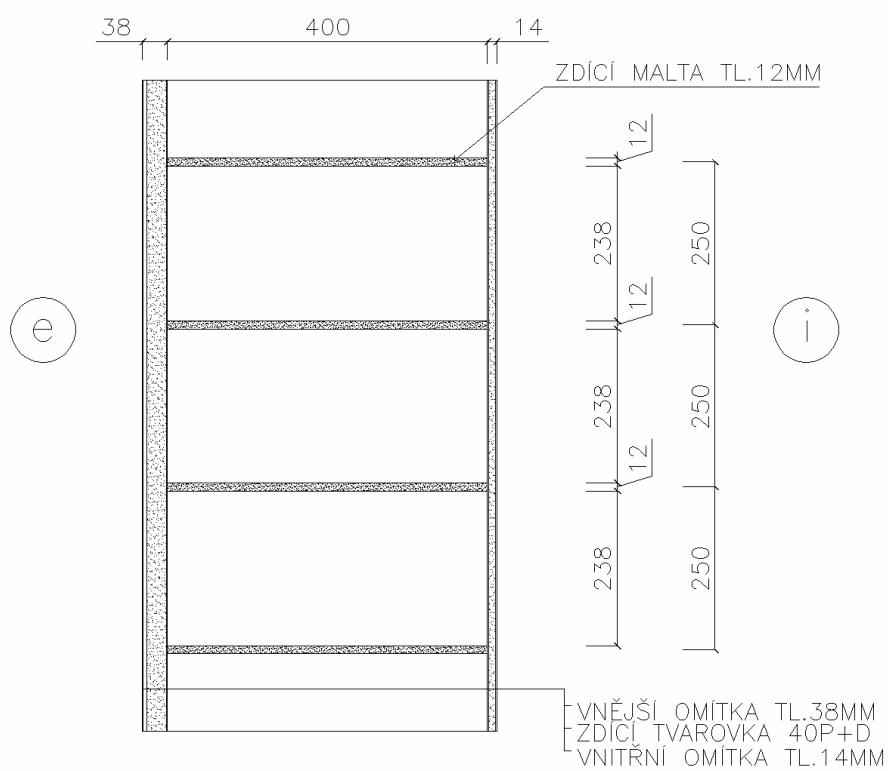




264 Detail ložné spáry zdiva s vápenocementovou maltou tl. 12 mm (nedodržení technologie zdiva) P+D 400 mm		
lineární činitel prostupu tepla - interiér $\psi_i$ W/(m.K)	lineární činitel prostupu tepla - exteriér $\psi_e$ W/(m.K)	teplotní faktor $f_{Rsi}$ -
0,085	0,085	0,8645

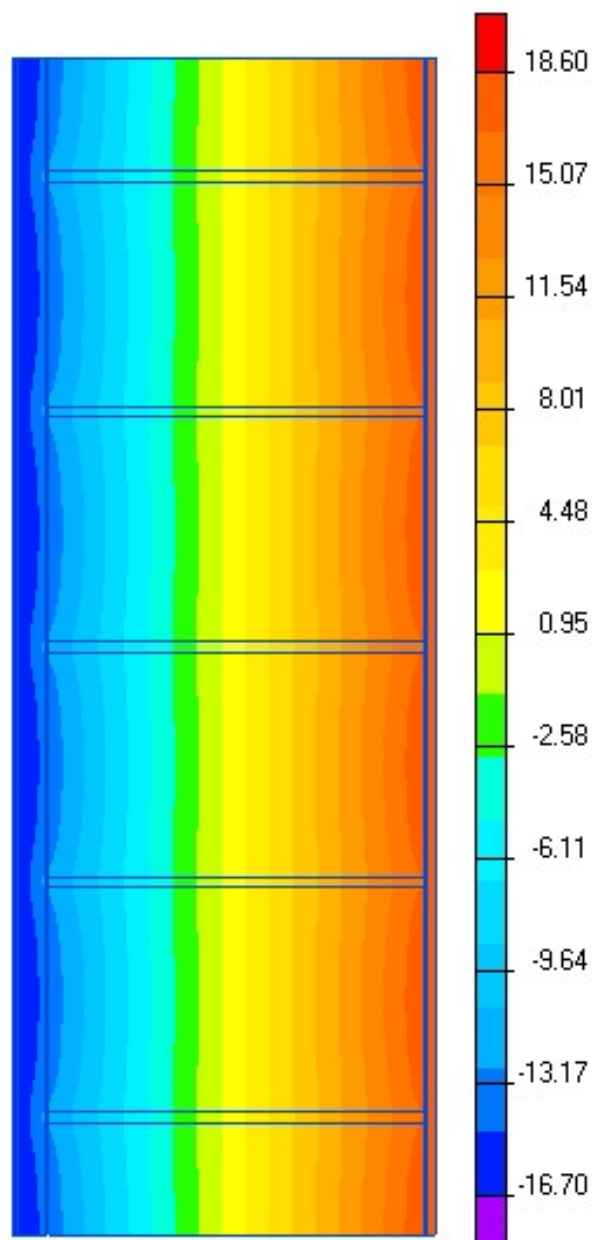




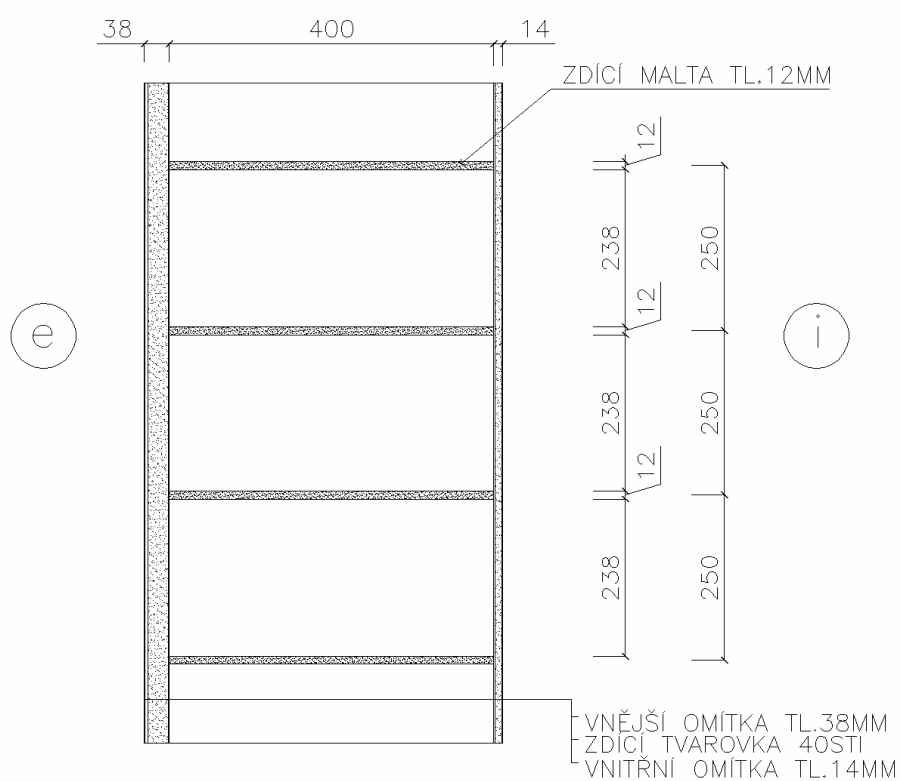




265 Detail ložné spáry zdiva s vápenocementovou maltou tl. 12 mm (nedodržení technologie zdiva) STI 400 mm		
lineární činitel prostupu tepla - interiér $\psi_i$ W/(m.K)	lineární činitel prostupu tepla - exteriér $\psi_e$ W/(m.K)	teplotní faktor $f_{Rsi}$ -
0,092	0,092	0,8865

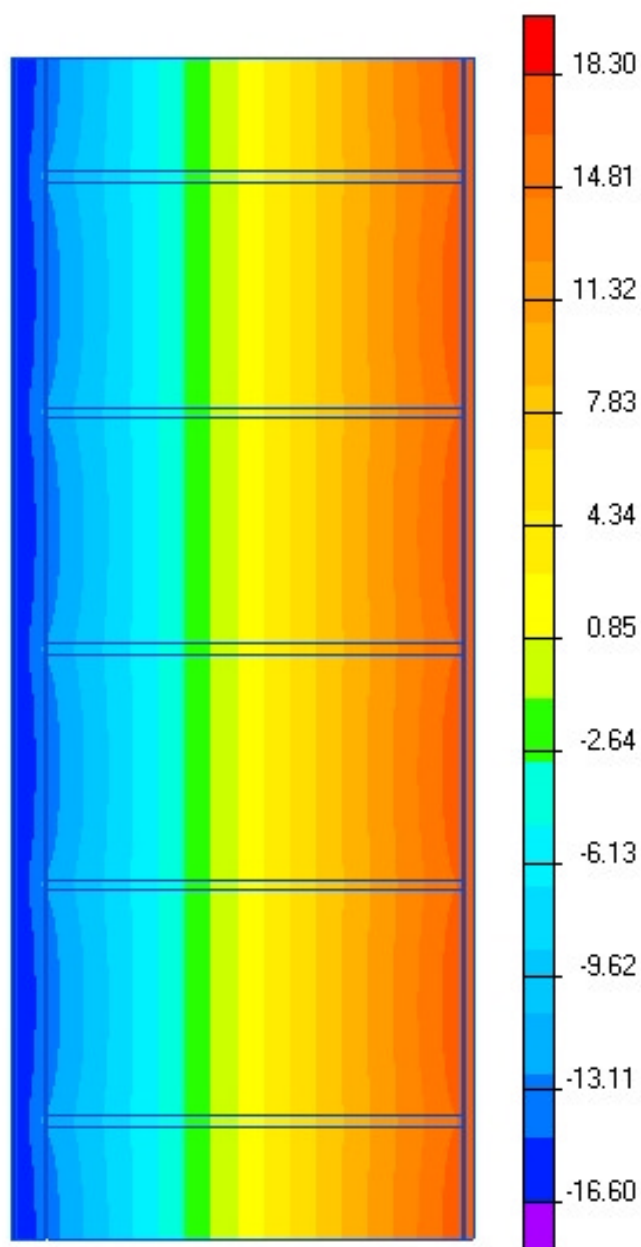




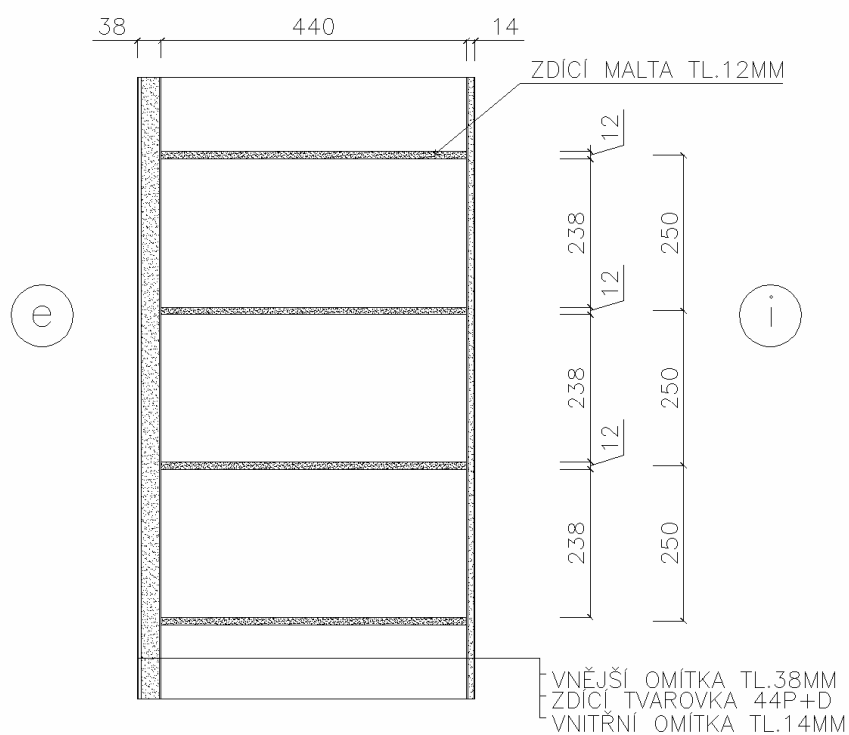




266 Detail ložné spáry zdiva s vápenocementovou maltou tl. 12 mm (nedodržení technologie zdiva) P+D 440 mm		
lineární činitel prostupu tepla - interiér $\psi_i$ W/(m.K)	lineární činitel prostupu tepla - exteriér $\psi_e$ W/(m.K)	teplotní faktor $f_{Rsi}$ -
0,080	0,080	0,8741

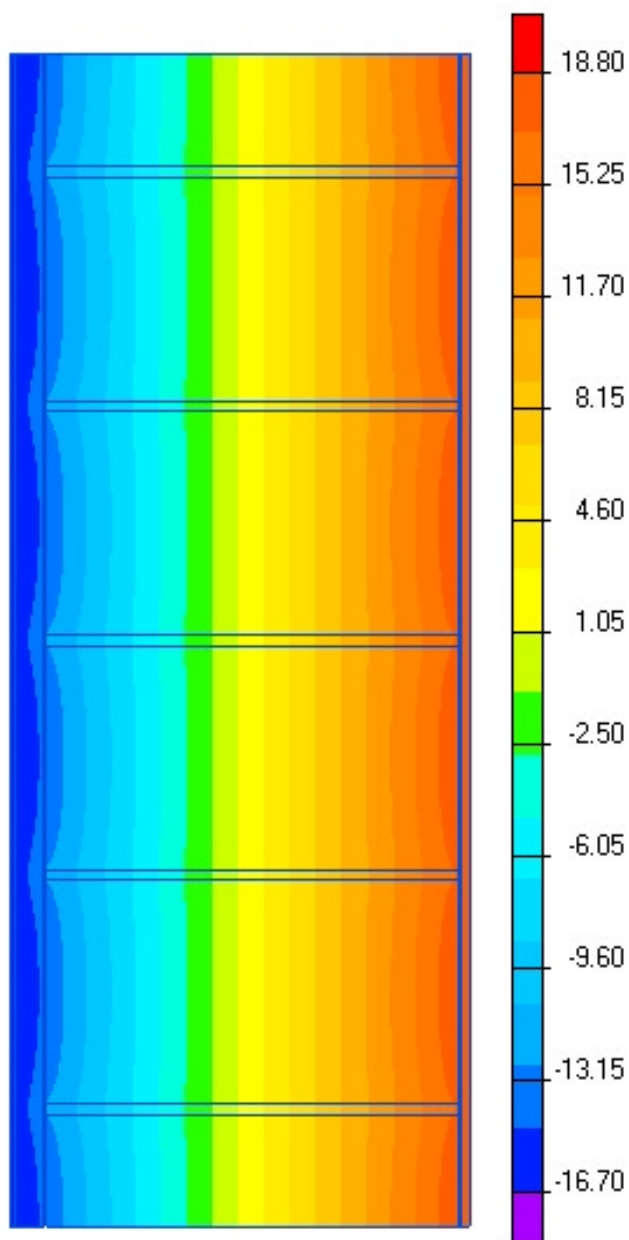




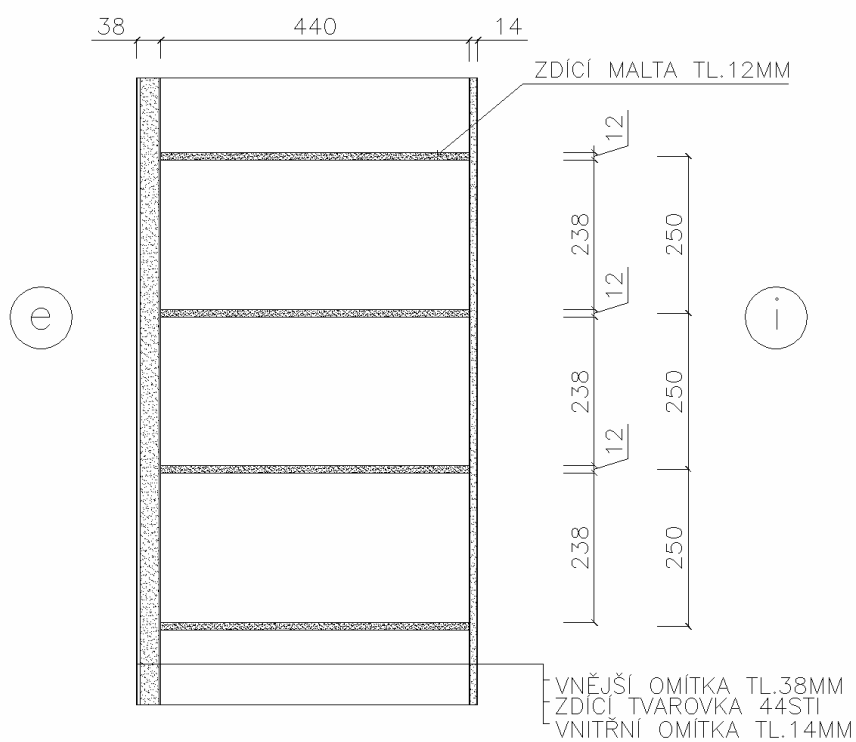




267 Detail ložné spáry zdiva s vápenocementovou maltou tl. 12 mm (nedodržení technologie zdiva) STI 440 mm		
lineární činitel prostupu tepla - interiér $\psi_i$ W/(m.K)	lineární činitel prostupu tepla - exteriér $\psi_e$ W/(m.K)	teplotní faktor $f_{Rsi}$ -
0,087	0,087	0,8865

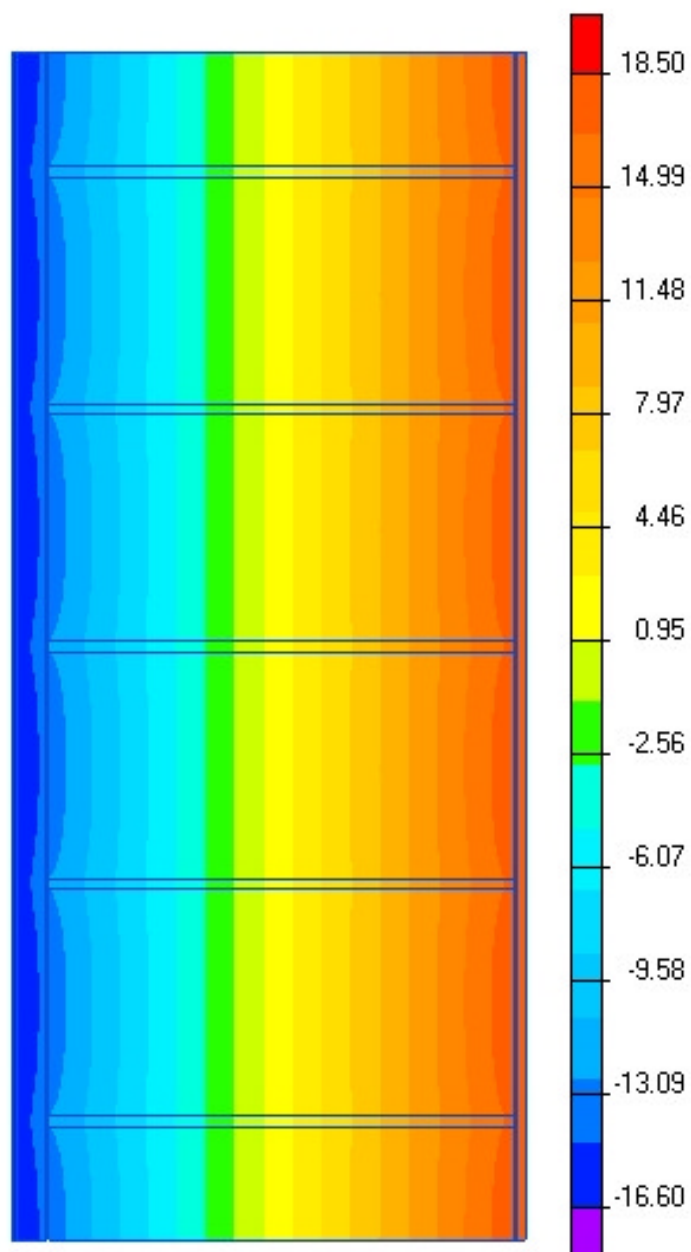




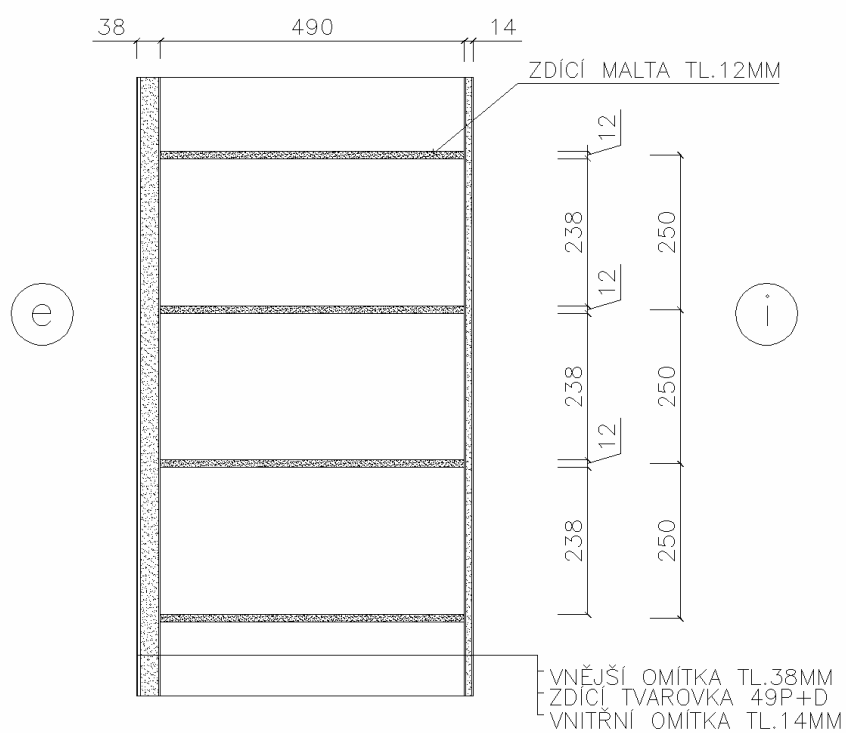




268 Detail ložné spáry zdiva s vápenocementovou maltou tl. 12 mm (nedodržení technologie zdiva) P+D 490 mm		
lineární činitel prostupu tepla - interiér $\psi_i$ W/(m.K)	lineární činitel prostupu tepla - exteriér $\psi_e$ W/(m.K)	teplotní faktor $f_{Rsi}$ -
0,074	0,074	0,8844









269 Detail ložné spáry zdiva s vápenocementovou maltou tl. 12 mm (nedodržení technologie zdiva) STI 490 mm		
lineární činitel prostupu tepla - interiér $\psi_i$ W/(m.K)	lineární činitel prostupu tepla - exteriér $\psi_e$ W/(m.K)	teplotní faktor $f_{Rsi}$ -
0,080	0,080	0,8960

